

MINISTERUL EDUCATIEI SI INVATAMINTULUI
INSTITUTUL POLITEHNIC "TRAIAN VUIA"
T I M I S O A R A
Facultatea de mecanică
Catedra de mașini hidraulice și pneumatice

Ing. MIRCEA A. BĂRGLĂZAN

BIBLIOTECA CENTRALĂ
UNIVERSITATEA "POLITEHNICA"
TIMIȘOARA

IDENTIFICAREA DINAMICA A POMPELOR CENTRIFUGE FUNCTIONIND
IN REGIMURI NESTATIONARE ENERGO-CAVITATIONALE

Teză pentru obținerea titlului de
DOCTOR - INGINER

Conducător științific :
Acad. Prof. Dr. Dou. Ing.
IOAN ANTON

- 1980 -

INSTITUTUL POLITEHNIC TIMIȘOARA	
Volume	420 203
Data	320 #

Memoriei tatălui meu

”

P R E F A T A

Prezenta lucrare a fost elaborată de subsemnatul în calitate de șef de lucrări la Catedra de mașini hidraulice a facultății de Mecanică din cadrul Institutului Politehnic "Traian Vuia" Timișoara. În perioada pregătirii doctoratului am beneficiat de condiții deosebite pentru formarea mea și ridicarea nivelului meu profesional. Concomitent cu această muncă am depus o susținută activitate didactico-educativă cu studenții, am rezolvat o serie de probleme de cercetare științifică pe bază de contracte de colaborare cu unitățile productive și am continuat preocupările pe linie social-politică și obștească. Pentru toate acestea doresc să-mi exprim întreaga recunoștință partidului, statului, guvernului și întregului popor, care au creat minunate condiții cercetării științifice în România socialistă.

Almei mater - institutului, facultății și catedrei din care fac parte - îi port cele mai vii mulțumiri pentru ambianța realizată în aprofundarea cunoștințelor științifico-tehnice de specialitate și în ceea ce privește posibilitățile de aplicare a lor în practică.

Întreaga mea activitate a fost călăuzită și îndrumată cu multă afecțiune și răbdare de conducătorul meu științific Acad. Ioan Anton cărui îi datorez totul. Mulțumirile, gratitudinea și recunoștința mea pentru posibilitățile oferite exprimă palid bogăția sentimentelor ce le port Domniei sale.

Deosebite mulțumiri și sentimente se adresează dascălilor mei, colegilor și personalului tehnic al catedrei și tuturor prietenilor care m-au învățat, ajutat și înțeles în legătură cu teza de doctorat.

Timișoara 1.04.1980

Mirocea Bărglăzan

N O T A T I I

Mărimi fizice :

- a - poziția organului principal de reglare a debitului
- A - arie ; constantă
- b - poziția organului secundar de reglare a debitului
- B - factorul linear al amplificării debitului masic ; constantă
- c - pasul paletelor (la periferie)
- C - complezanța
- c_p - căldura specifică la presiune constantă
- C_p - coeficient de presiune
- d - diametru
- D - notație
- e = 2,713...
- E - notație ; energie ; cantitate de căldură
- f - frecvență < Hz > ; coeficient de frecare
- F - forța
- f - forță masică specifică
- g - accelerația gravitațională
- G - constantă
- h - lățimea paletelor rotorului
- H - înălțime de pompare, energie specifică totală
- $i = \sqrt{-1}$ - unitatea imaginară în timp
- I - coeficient ; intensitate
- $j = \sqrt{-1}$ - unitatea imaginară în spațiu ; $ij \neq -1$
- J - moment de inerție
- k - constantă
- K - constantă ; funcție de auto- și inter-corelație ; notații
- l - lungime
- L - lungime echivalentă
- m - debit masic adimensional
- M - moment mecanic
- n - turație, viteză unghiulară < rad/s >
- N - factor de turație în matricea de transfer ; densitate numerică
- o - constantă
- O - funcție
- P - presiune statică
- P - presiune totală ; putere
- q - complex adimensional
- Q - debit volumic

- r - rază
- R - rezistență
- Re - criteriul Reynolds
- s - coeficient de obstrucție al paletelor rotorului
- S - funcția de densitate interspectrală și spectrală ; lungime tensiune superficială
- t - timpul
- T - constantă de timp ; t temperatură
- u - viteza tangențială
- U - funcție, tensiune
- v - viteza absolută
- V - volum
- w - viteza relativă în rotor
- W - ; W... - funcții de transfer
- \bar{w} - viteza în ^{planul} complex
- We - criteriul Weber
- x - deplasarea ; lungimea
- X - axă
- y - axă ; funcția pondere
- z - cotă
- Z - numărul paletelor
- α - variația relativă a deschiderii organului principal de reglare a debitului
- $\hat{\alpha}$ - unghiul între \bar{u} și \bar{v} în triunghiul vitezelor
- β - variația relativă a deschiderii organului secundar de reglare a debitului
- $\hat{\beta}$ - unghiul între $-\bar{u}$ și \bar{w} în triunghiul vitezelor
- γ - conținutul volumic de aer/vapori în apă
- δ - defazaj unghiular
- Δ - variație
- ϵ - complex adimensional
- ϖ - variația relativă a înălțimii de pompare
- η - randamentul
- γ - axă ; coordonată
- θ - notație
- θ - variația adimensională a temperaturii
- $\chi = \frac{\omega \epsilon}{u_M}$ - pulsație adimensională
- λ - unghi
- Λ - inertanță
- μ - moment mecanic adimensional

- γ - variația relativă a turației ; vîscozitate cinematică
- ξ - axă ; coordonată ...
- π = 3,14...
- ρ - densitate
- σ - coeficient de cavitație
- Σ - funcție
- z - variabilă adimensională ; durată
- φ - unghi caracteristic
- φ - potențial de viteze
- ψ - presiune totală adimensională
- ω - pulsația, frecvența de fluctuație < rad/s >
- Ω - variația relativă a densității
- ℒ - căldura latentă de vaporizare
- α = ℒ $\frac{Q_{vap}}{P_{vap}}$ - criteriu adimensional

Indici :

- a - activ
- Ac - acumulator
- aer - aer
- b - butuc
- B - bulă
- bif - bifazic
- c - critic
- C - conductă
- cav - cavitație
- e - ieșire
- ext - exterior
- g - geometric
- G - gaz
- H - înălțime de pompare
- i - intrare
- ^{inst} - instalație
- j,k - indici curenți
- l - local
- L - lichid
- m - axial
- M - maxim
- M - moment mecanic
- n - turație
- N - nucleu
- o - regim staționar
- 1,2,3.. - puncte curențe
- P - pompă

- Q - debit
- r - rezistent
- R - relativ
- st - static
- t - total
- T - termic
- Tr - triplu
- u - tangențial
- vap - vapori
- V - vană
- x - mărime oarecare
- φ_e - unghi la motorul electric primar

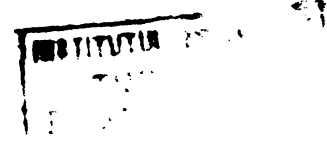
Semne :

- $\vec{\dots}$ - vector
- $\overline{\dots}$ - mărime mediată în timp (valoarea staționară corespunzătoare)
- $\tilde{\dots}$ - mărime fluctuantă exprimată în complex $\tilde{\dots} = \underline{\Delta\dots} e^{i\dots}$
- $\Delta\dots$ - amplitudinea fluctuației, de ex. $H = \bar{H} + \text{Re}\{\tilde{H}\} = \bar{H} + \text{Re}\{\underline{\Delta H} e^{i\omega t}\}$
- $|\dots|$ - determinant
- $\|\dots\|$ - matrice
- $f(\dots)$ - funcție
- $\frac{d}{dt}, \dots'$ - derivată în raport cu timpul
- $\hat{\dots}$ - unghi
- \dots° - notație
- \cong - egal aproximativ

Prescurtări :

- A - acumulator
- Ac - acționare
- AA - acumulator de aer
- AD - amplificator de debit
- AL - anemometru cu laser
- AM - amplificator de moment
- AP - amplificator de presiune
- AT - amplificator de turație
- BT - bază de timp
- C - conductă
- Cp - compresor
- CA - conductă de aspirație
- CC - cană cadru
- CR - conductă de refulare

- D - debitmetru (cu turbină)
- DE - debitmetru electromagnetic
- DL - dispozitiv de liniștire
- F - aparat de fotografiat (sau filmat)
- G - generator de oscilații sinusoidale de turajie
- I - injector
- Im - imaginar
- M - manometru
- ME - motor electric
- N - numărător
- O - oscilograf
- P - pompă
- PA - pernă de aer
- PAE - pompă de alimentare
- R - rezervor
- Re - real
- Rt - rotametrul
- RD - rezervor deschis
- RI - rezervor închis
- SU - supapă unisens
- T - termometru
- Tg - tahogenerator
- Th - tahometru
- TM - traductor de moment
- TP - traductor de presiune
- V - vană
- VH - variator hidraulic



1. INTRODUCERE

1.1 Despre regimurile nestaționare în turbomașini

Mașinile hidraulice în funcționarea lor realizează performanțe caracterizate prin mărimi fizice stereomecanice și hidromecanice. Invarianța sau modificarea în timp a unei mărimi fizice atrage după sine atributul de staționar respectiv nestaționar. Deoarece turbomașinile funcționează în regim hidraulic turbulent, mărimile caracteristice locale ale curentului de fluid variază și fluctuează în timp chiar și atunci când parametrii globali hidraulici sînt constanți. Se obișnuiește a caracteriza evoluția sau constanța în timp a mărimilor hidraulice globale prin calitatea de nepermanent respectiv permanent.

Prin regimul de funcționare tranzitoriu se definește trecerea unei mașini sau instalații de la o stare staționară sau permanentă la o altă stare staționară respectiv permanentă.

Proiectarea unei turbomașini și analiza funcționării ei este complicată din cauza fenomenelor hidraulice legate de evoluția cîmpului hidrodinamic și de particularitățile interacțiunii între părțile solide și fluide din mașină. Structura curentului fluid la curgerea prin turbomașini dobîndește o mare complexitate. Aceasta se datorește atât contururilor solide cu curbură apreciabilă utilizate pentru ghidarea curentului ce introduc repartiții neuniforme de viteze și presiuni în diferite secțiuni transversale cît și din cauza trecerii fluidului printre un număr finit de palete statice, ale aparatului director și rotorice care conferă întotdeauna o evoluție tridimensională și nepermanentă curentului (atît în mișcare absolută cît și în mișcare relativă). Dificultățile există și sporesc din cauza vîscozității fluidelor în special la regimuri deosebite de cel nominal (optimal) unde din cauza stratului limită, mișcării turbionare și desprinderilor apar curgeri secundare, zone de staționare, celule cu mișcări nepermanente, funcționare nestabilă, etc. Funcționarea în regimuri cavitaționale sau cu medii bifazice adaugă probleme noi și complică și mai mult tabloul mișcării. Cercetarea turbomașinilor în ipoteze simplificatorii a făcut posibilă obținerea unor rezultate acceptabile într-o primă aproximație, în mod obișnuit mașinile hidraulice sînt construite astfel încît să asigure performanțe cît mai bune în regimuri staționare.

Pretenții și rațiuni de ordin tehnic și economic conduc spre randamente ridicate și spre viteze mari respectiv dimensiuni

reduse și aceasta atrage după sine funcționarea acestor mașini în cavitație sau la limita sa.

În ultimul timp, prezența mașinilor hidraulice în sisteme complexe a implicat satisfacerea și a altor pretenții, din partea acestor mașini. Unele dintre acestea sînt legate de comportarea și răspunsul dinamic al turbomașinilor. Regimurile nepermanente și tranzitorii care se produc de astă dată în mașină și în special în rotorul ei au fost mult mai puțin cercetate față de regimurile staționare /15, 112, 128, 153, 154/, atît sub aspect hidrodinamic cît și sub formă hidromecanică, deși frecvența funcționării în aceste regimuri este ridicată.

Geneza regimurilor nestaționare și tranzitorii în funcționarea turbomașinilor rezidă în perturbațiile interne și externe care se produc în sistemul mecano-hidraulic în care se găsește turbomașina.

Modelarea și identificarea regimurilor nestaționare și tranzitorii ale turbomașinilor permite optimizarea funcționării instalațiilor industriale /127/. Utilitatea cunoașterii evoluției unui regim tranzitoriu /143/ sau a modificării parametrilor în regimuri nestaționare /99/ se vedește și cu ocazia aprecierii siguranței în funcționare a unor sisteme hidraulice /58, 107, 146/, la determinarea solicitărilor la care este supusă instalația /11, 52, 56, 126, 156, 158/ sau la stabilirea amplitudinii de variație a unor parametri și a duratei unui proces /54, 81, 115, 158/. Rezonanța sistemului hidraulic și funcționarea sa nestabilă sau cu autooscilații sînt aspecte uneori nedorite în funcționare, ce pot fi prevăzute și eliminate, dacă se dorește aceasta, prin analiza dinamică a instalației /14, 51, 53, 69, 98, 103, 147/. Este deci absolut necesară cunoașterea caracteristicilor dinamice ale turbomașinilor (turbinelor, pompelor, transformatoarelor și frînelor hidraulice) pentru a răspunde noilor probleme ce apar în sistemele automate hidraulice din industria constructoare de mașini, energetică, aeronautică, chimică, transport, agricultură, etc. Analiza stabilității sistemelor hidroenergetice, ale centralelor hidroelectrice cît și a regimurilor tranzitorii ale hidroagregatelor cere cunoașterea ecuațiilor dinamice ale turbinei hidraulice /35, 54, 157, 165/. Ignorînd oscilațiile mari sau mici ce pot apare în sistem, se creiază lovituri de berbec, instabilități, rezonanțe sau autooscilații ale sistemului /51/. Despre domeniile în care este utilă evaluarea dinamicii pompelor se va aminti mai detaliat în cap.1.3. Este important a menționa problemele dificile ce apar la mașinile hidraulice reversibile la trecerea dintr-un regim de funcționare în altul.

lucida prin cunoașterea caracteristicilor dinamice complete ale turbomașinilor /13/.

Regimuri nestaționare importante apar la turbotransformatoarele și turbocuplajele hidraulice utilizate în industria petrolieră și de aparate de ridicat și transportat /18, 89/.

Frânele hidrodinamice prezintă uneori un histerezis pronunțat în curbele caracteristice mai ales în regimuri tranzitorii accentuate /31, 34/.

Alteori interacțiuni hidroelastice precum la mașinile axiale mari (turbinele Kaplan) pot juca un rol esențial în dezvoltarea unor oscilații, vibrații, histerezis, instabilitate sau "flutter" etc./56/

Prezența tot mai frecventă a unor sisteme automate în componența cărora intră mașini hidrodinamice supuse regimurilor dinamice implică valențe noi în abordarea și soluționarea tehnic-științifică a problemelor regimurilor nestaționare. Toate aceste fapte pledează pentru importanța cunoașterii caracteristicilor dinamice ale turbomașinilor care sînt esențiale în descrierea comportării nestaționare și tranzitorii pentru instabilități și autooscilații atât a mașinii înșăși cit și a întregului sistem. Rezolvarea acestor probleme se va face prin îmbinarea instrumentului matematic cu cercetarea experimentală pentru o reproducere destul de fidelă și de corespunzătoare a fenomenelor reale.

1.2 Funcționarea pompelor hidrodinamice în regimuri tranzitorii și nestaționare

Pompele hidrodinamice și în special cele de tipul centrifugal formează categoria cea mai numeroasă de mașini hidrodinamice existente în circuitul industrial. Ele sînt implicate în sisteme hidraulice de o varietate deosebită în ceea ce privește configurația instalațiilor, scopul urmărit și mediul vehiculat. Deseori pompele centrifuge formează instalația tehnologică automatizată din cadrul unui proces industrial.

Sintetizarea informațiilor despre comportarea în regimurile tranzitorii și nepermanente ale pompelor este în general dificil de realizat din cauza neliniarităților întrinseci ale mașinii. Totuși o gamă restrînsă de fenomene globale pot fi cuprinse în caracterizarea dinamică a pompelor. Cunoașterea caracteristicilor dinamice ale pompelor centrifuge și axiale sînt elemente esențiale în studiul stabilității lor sau comportării lor în regimurile tranzitorii și nepermanente la care sînt supuse în cadrul sistemelor hidraulice (manuale sau automate).

tura de specialitate este mai bogată în încercări de soluționare grafică a problemelor legate de regimurile tranzitorii ale sistemelor hidraulice echipate cu turbomașini fără a ține cont în mod detaliat și corespunzător de mașina hidraulică /15, 19, 43, 67, 68, 90, 94, 102, 125, 157/. Pentru analiza dinamică, pompa centrifugă se poate reduce la un multipol informațional. Un model general consideră pompa hidrodinamică un cuadripol al mărimilor fizice : viteza unghiulară, moment mecanic, debit de lichid și înălțime de pompare. Uneori se propun parametrii stereomecanici drept mărimi de intrare și cei hidrodinamici drept mărimi de ieșire. Alteori turația și înălțimea sînt impuse din exterior, iar momentul și debitul rezultă din funcționarea pompei. Modalitățile de descriere și exprimare a caracteristicilor dinamice ale pompelor hidrodinamice sînt foarte variate. Astfel se folosesc curbe și grafice, relații și ecuații redade prin fazori, matrici sau funcții de transfer. Forma de redare a caracteristicilor dinamice ale pompei caută să fie adecvată modalităților de analiză și sinteză ce se dorește a se efectua. În bibliografia aferentă subiectului se semnalează încercări de caracterizare a pompelor pornind de la caracteristicile statice /162/ cu o analiză cuasi-statică /104/ sau prin exprimări și aproximări dinamice /40/ a performanțelor mașinii.

Deoarece curbele caracteristice statice ale pompelor sînt neliniare, problema analizei dinamice a pompelor dobîndește toate dificultățile unor sisteme neliniare multivariabile /80/ și se tratează diferit în funcție de mărimea perturbațiilor, de precizia dorită, de influența maselor inerțiale sau a stării de funcționare. Analiza dinamică a pompelor se complică dacă mașina funcționează în regim bifazic lichid-gaz sau cavitație. De multe ori în aplicațiile industriale apare situația cînd o pompă este obligată a funcționa cu mai multe componente, cu un amestec - cel mai des heterogen - de lichid cu un gaz sau de lichid cu vaporii săi. Fără o contrapresiune la aspirația pompei funcționarea sistemului este posibilă numai într-un domeniu îngust al conținutului de gaz în lichid aprox. pînă la 10 %, exprimat volumic. Diversitatea de forme pe care le ia amestecul lichid-gaz la trecerea prin mașină /132/ conduce la modalități deosebite de alterare a curbelor caracteristice statice și dinamice. Așa precum s-a arătat pompele funcționează cel mai des în vecinătatea incipientei fenomenului de cavitație sau chiar în plin domeniu cavitațional pentru a realiza performanțele impuse. Cercetarea regimurilor nestaționare bifazice aer-apă sau în general gaz-lichid și studiul pulsațiilor cavitaționale ale pompelor introduc cel puțin un parametru nou, neliniar, în analiza dinamică /25, 120, 154/ făcînd abstracție

de efectele ■ termodinamica ale fenomenelor /47/.

1.3 Aspecte ale identificării pompelor centrifuge

Identificarea pompelor centrifuge interesează în special o serie de ramuri ale industriei chimice /53, 125/ în tehnica rachetelor și propulsiei aerospațiale /69, 146, 148/ și la centralele termoelectrice clasice și cu deosebire la cele nucleare electrice /71, 140/ etc. Orice pornire și oprire a unei pompe este asociată intrinsec unui regim tranzitoriu care uneori prezintă o deosebită importanță /161/, dar în special funcționarea bifazică nestaționară a pompeilor din circuitele hidraulice de alimentare și răcire a centralelor electrice /87, 151/ și chiar a celor geotermice /43/ este foarte importantă.

În compunerea sistemelor de alimentare cu combustibil a rachetelor există pompe centrifuge a căror caracteristică dinamică trebuie bine cunoscută. Pericolul apariției rezonanței în sistemul de alimentare al propulsiei rachetelor constituie o problemă de strîngentă actualitate pentru securitatea sistemului și pentru realizarea obiectivului propus și este legată de geometria instalației și a pompei. Caracterul procesului de ardere din rachetă pune o amprentă apreciabilă asupra manevrabilității unei rachete.

Pompele pentru rachete între multe alte calități pe care trebuie să le posede este necesar să fie extrem de prompte în intervenții. De asemenea caracteristica statică a mașinii să permită o funcționare stabilă în orice regim iar trecerea prin regimurile tranzitorii să nu afecteze continuitatea coloanei de lichid sau oscilații mari și îndelungate ale parametrilor pompei sub acțiunea perturbațiilor mici aleatoare de turajie sau din cauza rezistențelor hidraulice variabile în timp ale circuitului hidraulic.

Calitățile anticavitazionale înalte sînt cerute deoarece presiunile mai mici în rezervorul de alimentare conduc la pereți mai subțiri ai acestora și implică la o greutate mai scăzută a rachetei. Sînt semnalate cazuri cînd deși elementele componente ale unui sistem hidraulic automat se găsesc într-un domeniu stabil de funcționare (luate în parte) ansamblul lor conduce la o funcționare nestabilă /126/. Dacă funcționarea pompei are loc la limita apariției fenomenului de cavitație modificarea volumului zonei de cavitație poate genera autooscilații de frecvență joasă /148/ și curenți inversați la ~~intrare~~ în pompă /51/. Concordanța oscilațiilor proprii ale corpului rachetei cu ale sistemului de alimentare cu combustibil duc la o funcționare nestabilă a ansamblului denumită "POGO" (băț care sare).

Fenomenul denumit "POGO" constă din vibrații autoexcitate

longitudinale ale structurii rachetelor și vehiculelor aerospațiale alimentate cu lichid și au fost observate că apar spontan cresc și dispar în faza de lansare a acestor vehicule multietajate fig.1.1 a.

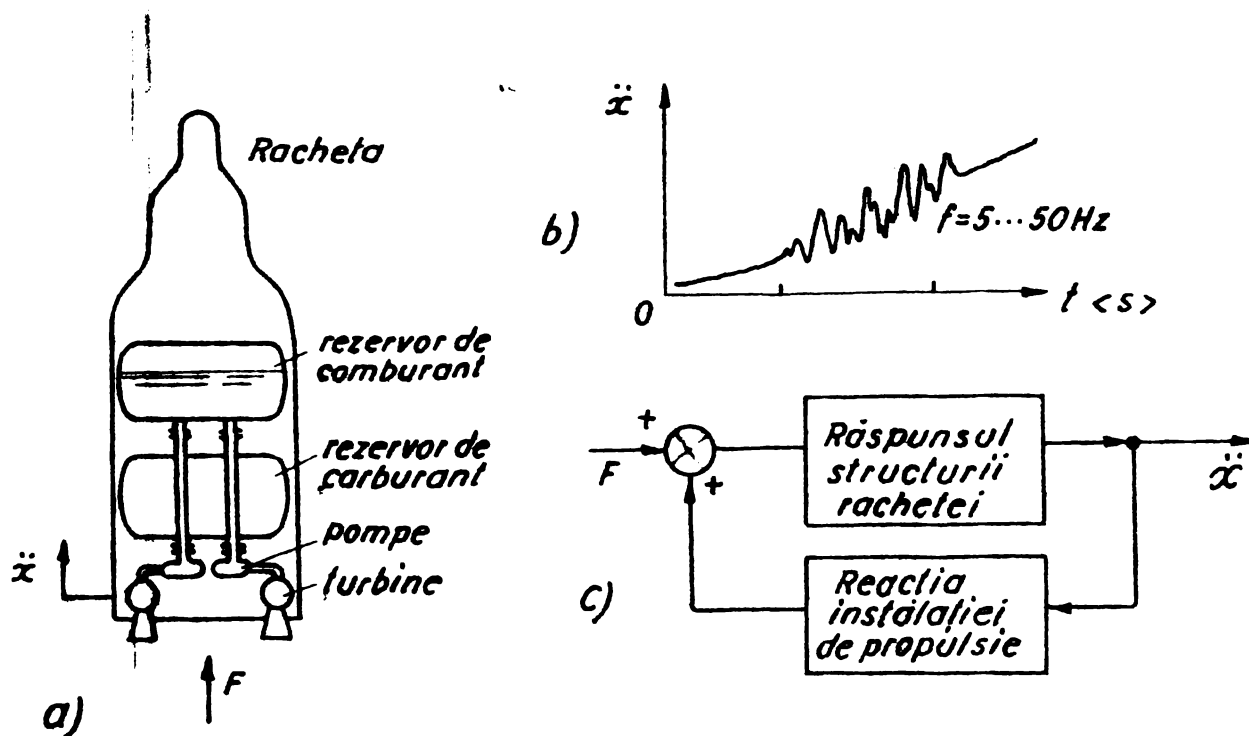


Fig. 1.1 a) Reprezentarea principală a sistemului de propulsie al unei rachete. b) Variația accelerației în timpul lansării unei rachete. c) Schema bloc a unui model liniar pentru POGO

Mișcarea defazată a capătului posterior al vehiculului similară cu cea a bățului săritor a generat denumirea de "POGO". Vibrațiile rezultate, de frecvență de la 5...50 Hz și amplitudini până la $\approx 17.g.$, din interacțiunea între structura rachetei și sistemul de propulsie al rachetei pot compromite misiunea ei fig.1.1 b. Instabilitatea ansamblului rezultă atunci când vibrațiile longitudinale ale structurii conturbă funcționarea sistemului de propulsie (respectiv a pompelor ce și așa funcționează deja în regim cavitațional) în așa manieră încât creează oscilații ale forței ascensionale care intensifică vibrațiile originare. Un model informațional linear invariant în timp (deci aproximativ) al sistemului cu fenomenul POGO este redat în fig.1.1 c. Pompa centrifugă de alimentare a rachetei primește un fluid cu fluctuații de debit și presiune și creează ea însăși alte fluctuații de debit și presiune la ieșirea ei. O serie de încercări de anihilare a fenomenului POGO au reușit doar atenuarea sa. Se dovedește imperios necesară cunoașterea caracteristicilor dinamice ale pompei și apoi analiza completă cantitativă a fenomenului.

Un aspect inedit al fenomenului POGO sînt oscilațiile de tu-

rație pe care le încearcă pompa fiind direct antrenată de turbina rachetei. Se încheie astfel un nou inel informațional care interacționează cu bucla propusă în fig.1.1 c. Lucrarea de față caută să elucideze în special acest aspect al dinamicii fenomenului POGO.

Analiza pompelor de alimentare la aruncări de sarcină și a pompelor de drenaj la regimurile nestaționare și tranzitorii cu ocazia modificării încărcării turbinelor în cadrul centralelor termoelectrice și nucleare-electrice a scos în evidență regimuri dinamice energocavitazionale pronunțate ale acestor mașini. Pentru a realiza protecția acestor sisteme în condiții tehnico-economice avantajoase este necesară cunoașterea comportării și răspunsului dinamic al pompelor. În ambele sisteme din fig.1.2 variația în timp și valoarea momentană a stării rezervorului amonte de pompă în regimul tranzitoriu favorizează funcționarea nestaționară și cu cavitație a sistemului. Temperatura și presiunea lichidului cât și cota suprafeței libere din rezervor și variația acestora în timp stabilesc starea de funcționare a instalațiilor de drenaj și alimentare a centralei. Studiul dinamicii sistemului termohidraulic se realizează numai dacă există date suficiente asupra dinamicii elementelor componente. Pompele hidrodinamice din instalație sînt unele din părțile mai puțin studiate din punct de vedere informațional.

În fine se va considera o stație de pompare clasică pentru a ilustra modalitatea de structurare a unui sistem hidraulic. Fie stația de pompare reprezentată principial în fig.1.3 a și sub formă de schemă bloc în fig.1.3 b.

Ecuatiile fundamentale și relațiile specifice oferă schemei considerate următoarea exprimare matematică :

- pentru motorul electric

$$J \frac{dn}{dt} = M_{ext} - M_p \quad (1.1)$$

ecuație dedusă din teorema momentului cantității de mișcare pentru un ansamblu solid-lichid rotindu-se în jurul unei axe fixe în spațiu

- pentru pompă curbele caracteristice statice $M_p(n, H)$ și $Q_p(n, H)$ stabilite pe baza încercărilor experimentale clasice

- pentru vană ecuația

$$H_p = H_c + K_v Q_p^2 \quad (1.2)$$

găsită din bilanțul energetic

- pentru acumulatorul hidropneumatic ecuațiile :

$$\frac{dV_{\text{aer}}}{dt} = Q_p - Q_c \quad (1.3)$$

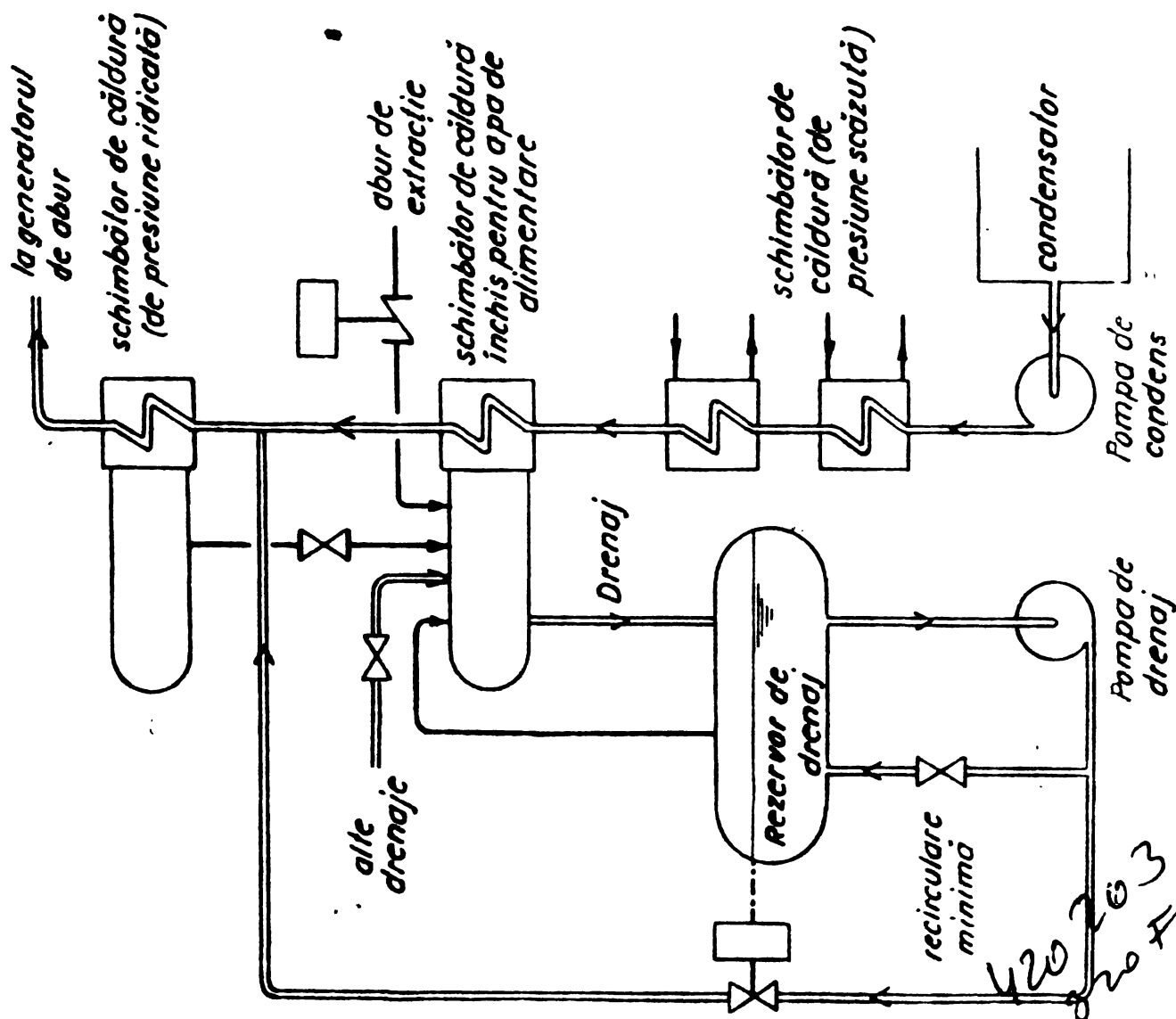


Fig. 1. 2a Instalația hidrolică de drenare (amonte) a unei centrale termoelectrice.

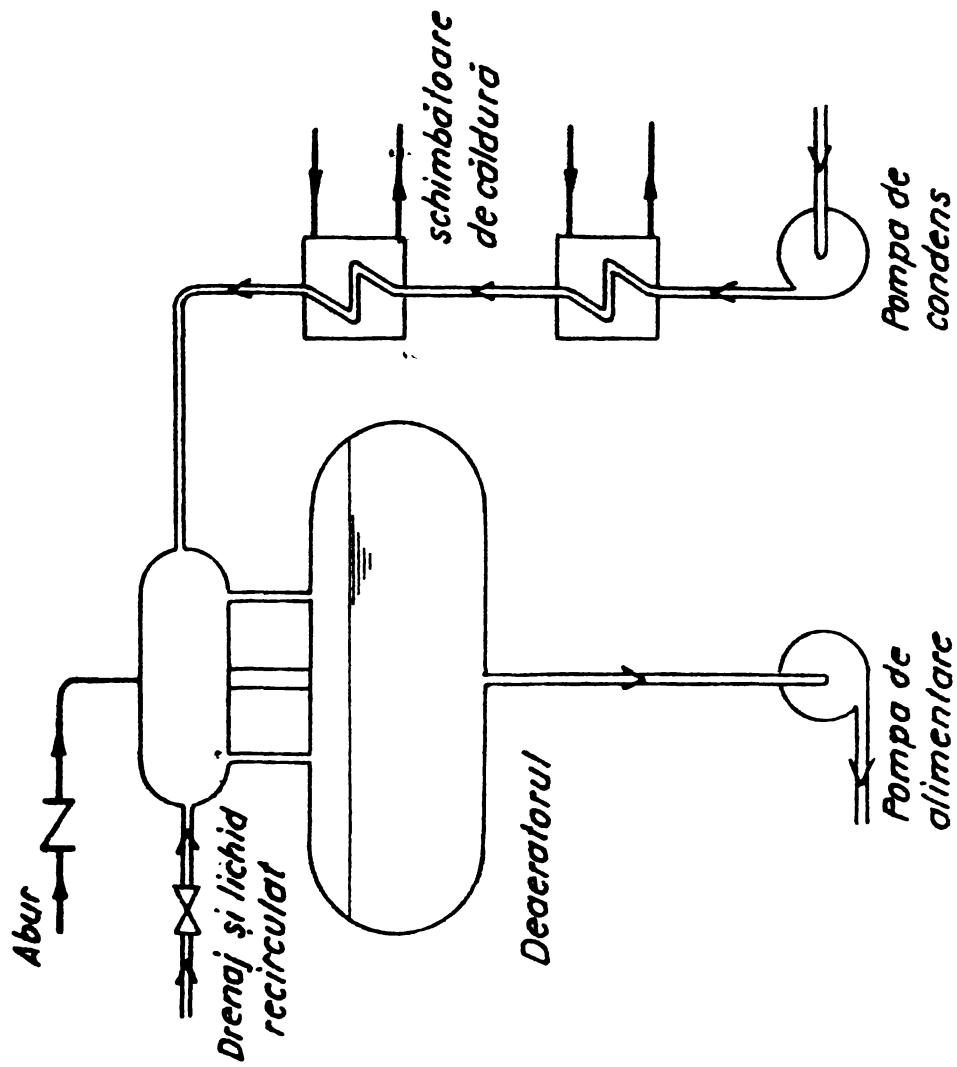


Fig. 1. 2b Instalația hidrolică de alimentare cu apă (cu deaerator) a unei centrale termoelectrice.

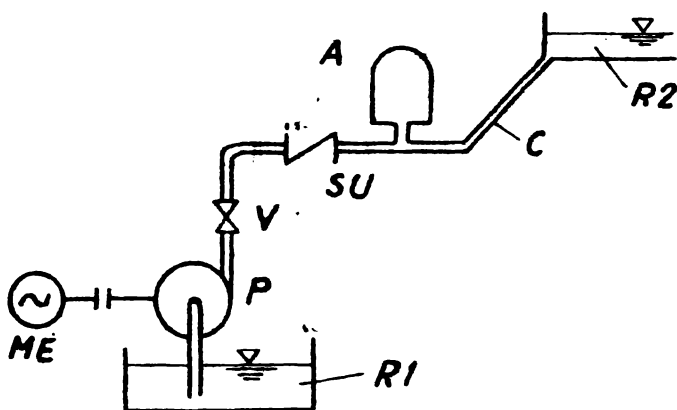


Fig. 1.3.a Schema principială a unei stații de pompare

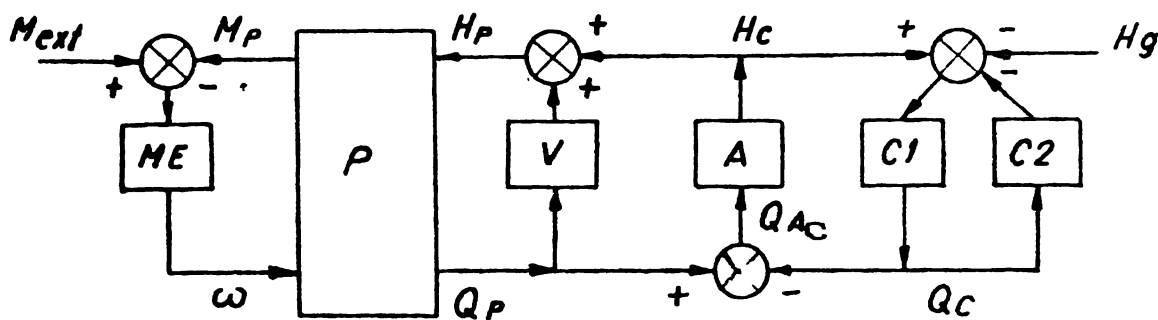


Fig. 1.3.b Schema bloc a unei stații de pompare

$$H_C = f(V_{aer}) + K_{Ac} |Q_{Ac}| Q_{Ac} \quad (1.4)$$

deduse din echilibrul masic respectiv energetic

- iar pentru conducta de refulare în ipoteza unui element cu parametri concentrați :

$$\left(\frac{1}{g} \int_0^l \frac{dP}{A} \right) \frac{dQ_C}{dt} = H_C - H_g - K_C |Q_C| Q_C \quad (1.5)$$

relație stabilită din ecuația transferului de energie.

Din aceste relații (1.1)...(1.5) se poate deduce ecuația sistemului și trece la analiza funcționării sale. Dar se observă că atât unele ecuații cât și curbele caracteristice ale pompei sînt oferite pentru regimuri staționare. Extrapolarea în regimuri nestaționare este o soluție satisfăcătoare pentru frecvențe scăzute de variație a parametrilor. Această aproximație nu este suficientă la variații mai rapide ale mărimilor caracteristice pentru procesul studiat. Desigur aprecierea frecvențelor de fluctuație este numai un aspect al identificării dinamice a stației de pompare considerate pentru că o analiză mai minuțioasă va releva elementele neliniare din relația

(1.4) și (1.5) sau va aprecia conducta de refulare drept un element cu parametri distribuiți și va acorda o atenție sporită proceselor termodinamice din acumulatorul hidraulic și din restul sistemului etc.

Concluzionând din exemplele prezentate rezultă necesitatea cunoașterii răspunsului dinamic al pompei și deci identificarea ei pentru analiza și sinteza sistemelor hidraulice complexe în care funcționează.

2. MODELE DINAMICE ALE TURBOPOMPELOR

2.1 Ecuatia dinamică linearizată a turbopompelor

Caracterizarea sistemelor hidraulice este posibilă cu ajutorul ecuațiilor fundamentale, constitutive și de material. Sistemul de ecuații obținut, în general, nu este integrabil nici măcar în regimurile staționare de funcționare și cu atât mai puțin exact soluționabil în funcționare nestaționară sau tranzitorie a instalației. Absența unor soluții complete analitice a problemelor conduce spre soluții aproximative și ipoteze simplificatorii. Mașinile hidraulice ca o parte a sistemelor hidraulice se găsesc într-o situație similară sistemului cu mențiunea că aceste elemente prezintă o complexitate deosebită din punctul de vedere al mecanicii fluidelor și al informaticii. Modelele și conceptele care s-au introdus pentru caracterizarea globală a turbomașinilor au permis rezolvarea într-o primă aproximație a unor probleme în special legate de regimurile staționare. Metodele numerice, cu algoritmi valabili pentru calculatoarele electronice, sînt un instrument prețios cu ajutorul căruia s-au dezvoltat soluții aproximative tot mai exacte pentru regimurile staționare și au permis trecerea de la metode simple și grafice la metode teoretice și experimentale mai evoluat în studiul regimurilor nestaționare în mașinile hidrodinamice.

La începutul studiilor și cercetărilor despre regimurile tranzitorii și nestaționare în sistemele hidraulice mașinile hidraulice au fost asimilate unor surse sau rezistențe (ca un orificiu). Astfel în abordarea fenomenului de lovitură de berbec în centralele hidro-electrice sau stațiile de pompare ecuația caracteristică a mașinii a fost :

$$H = k Q^2 \quad (2.1.1)$$

similară cu a unui orificiu sau oricărei alte surse de disipare a energiei hidraulice. La perturbații mici corespondentul liniar pentru turbine și pompe hidrodinamice este :

$$\Delta H = 2 \cdot k Q \cdot \Delta Q \quad (2.1.2)$$

Ecuații de forma (2.1.1) și (2.1.2) s-au folosit de la N.E. Jukovschi încoace pentru descrierea unor regimuri dinamice (în ansamblu) /143, 158, 169/. Pe baza ecuațiilor fundamentale din teoria clasică globală a turbopompelor /15, 112, 128, 153/ se pot deduce, în regim staționar, relații de forma :

$$H = k_1 Q^2 + k_2 n Q + k_3 n^2 \quad (2.1.3)$$

$$\eta n M = \rho g Q H \quad (2.1.4)$$

Pompa hidrodinamică se prezintă ca un multipol cu legături și dependențe mai complicate după cum se observă din (2.1.3) și (2.1.4) comparate cu rel. (2.1.1). Dealtfel datorită dificultăților care intervin în evaluarea lui k_1 , k_2 și k_3 , care, în ipoteze simplificatorii doar, depind numai de geometria rotorului și cinematica curentului hidraulic, se preferă în locul rel. (2.1.3) reprezentarea grafică a rezultatelor investigațiilor experimentale sub forma suprafeței $H(Q, n)$ sau familiei de curbe $H(Q, n - \text{parametru})$. Bilanțul puterilor prin mașină rel. (2.1.4) este confruntat cu probleme similare în ceea ce privește evaluarea randamentului pompei deși teoretic din (2.1.3) și (2.1.4) se poate extrage $M(Q, n)$. După determinarea caracteristicilor statice ale pompelor hidrodinamice /19, 112, 128, 154/ și în special în urma stabilirii a caracteristicilor statice complete, în cele patru cadrane, a mașinilor hidrodinamice reversibile (pompe - turbine) cu prezentarea tuturor combinațiilor posibile ale debitului (mărime și direcție) și vitezei unghiulare (incluzând sensul) /13, 107, 132, 153/ este posibil a oferi o formă linearizată a comportării acestor mașini în ipoteza că au loc mici flucuații ale parametrilor față de un regim staționar inițial (de referință). Mașinile hidraulice au caracteristici neliniare astfel că această aproximație de ordinul întâi este valabilă numai pentru oscilații mici cu frecvență scăzută ale mărimilor considerate. În contrast cu alte părți ale sistemului hidraulic, mașinile hidraulice susamintite se pot aproxima destul de bine cu un ~~element~~ element cu parametri concentrați. Acest model presupune că efectele fizice distribuite între două puncte de măsură pot fi reprezentate printr-o constantă concentrată într-un singur punct. Această situație este adevărată fiind sistemul sau respectiv mașina hidraulică este relativ simplă (să nu existe multe posibilități de reflectare a unor unde) și fiind lungimea respectiv dimensiunile fizice ale sistemului sînt mai mici decît lungimea de undă acustică la frecvențele care interesează fenomenul considerat. Ambele condiții sînt îndeplinite în cazul mașinilor hidraulice (turbomașinilor).

Aplicînd principiul conservării momentului cantității de mișcare pentru un ansamblu solid-lichid în rotație în jurul unei axe fixe în spațiu, situația obișnuită a părților mobile a turbomașinilor, se obține, după o serie de autori între care /15, 130/, ecuația :

$$T_a \dot{\nu}' = \mu_a - \mu_r, \quad (2.1.5)$$

în care timpul caracteristic de lansare a mașinii este definit prin

$$T_a = \frac{J n_0}{M_0} ,$$

variația adimensionalizată în timp a turației se consideră

$$\gamma' = \frac{d\gamma}{dt} = \frac{d}{dt} \left(\frac{n - n_0}{n_0} \right)$$

și momentul mecanic relativ este

$$\mu = \frac{M}{M_0} .$$

Această formă (2.1.5) a ecuației dinamice a pompelor, deși are avantajul simplității, a fost obținută pentru niște mărimi fizice neuzuale în domeniul pompelor.

— Folosind aceeași teoremă fundamentală, se va trece la o analiză mai detaliată a problemei. Se vor considera următoarele ipoteze :

- momentul activ (steromecanic) constant și egal cu cel rezistent dinaintea perturbației

$$t \leq 0 ; M_{a0} = M_{r0} = \frac{\rho_0 g Q_0 H_0}{\eta_0 n_0} ; \quad (2.1.6)$$

— oscilații mici ale mărimilor considerate și deci liniarizarea corectă a aproximației (suficient de exactă).

Ecuatia de mișcare a ansamblului părților rotitoare din pompa hidrodinamică și motorul primar de antrenare este :

$$J \frac{dn}{dt} = M_a - M_r . \quad (2.1.7)$$

Știind că momentul hidrodinamic rezistent este egal cu :

$$t > 0 , \quad M_r = \frac{\rho g Q H}{n \eta} , \quad (2.1.8)$$

după dezvoltarea sa în serie Taylor cu reținerea primilor termeni, se obține :

$$M_r \approx M_{r0} + \left. \frac{\partial M_r}{\partial \rho} \right|_0 \Delta \rho + \left. \frac{\partial M_r}{\partial Q} \right|_0 \Delta Q + \left. \frac{\partial M_r}{\partial H} \right|_0 \Delta H + \left. \frac{\partial M_r}{\partial \eta} \right|_0 \Delta \eta + \left. \frac{\partial M_r}{\partial n} \right|_0 \Delta n \quad (2.1.9)$$

Pe baza curbelor caracteristice de funcționare ale pompei se cunosc dependențele funcționale :

$$\begin{aligned} Q &= Q(a, b, n, H, \rho) \\ \eta &= \eta(a, b, n, H, \rho) \end{aligned} \quad (2.1.10)$$

Relația (2.1.9) și (2.1.10) exprimă legătura între debitul volumic prin pompă și randamentul pompei pe de o parte și mărimile caracteristice ale pompei și lichidului pompat pe de altă parte. Se presupune drept organ principal de reglare a debitului aparatul director (dacă există) și drept organ secundar de reglare a debitului, paletetele rotorice (la pompele axiale și diagonale cu paletete mobile). În cazul absenței organelor susmenționate din interiorul mașinii rolul lor în notația de față va fi preluat de vana de reglare de la refularea pompei. Densitatea mediului vehiculat apare drept un parametru semnificativ numai în regimurile bifazice lichid-gaz sau în regimurile cavitaționale. Calculul densității mediului vehiculat se va face în ipoteza unui amestec omogen.

În ipoteze similare cu cele exprimate referitor la momentul hidrodinamic, dezvoltările debitului și randamentului conduc la :

$$\Delta Q = Q - Q_0 = \left. \frac{\partial Q}{\partial a} \right|_0 \cdot \Delta a + \left. \frac{\partial Q}{\partial b} \right|_0 \cdot \Delta b + \left. \frac{\partial Q}{\partial n} \right|_0 \cdot \Delta n + \left. \frac{\partial Q}{\partial H} \right|_0 \cdot \Delta H + \left. \frac{\partial Q}{\partial \rho} \right|_0 \cdot \Delta \rho \quad (2.1.11)$$

$$\Delta \eta = \eta - \eta_0 = \left. \frac{\partial \eta}{\partial a} \right|_0 \cdot \Delta a + \left. \frac{\partial \eta}{\partial b} \right|_0 \cdot \Delta b + \left. \frac{\partial \eta}{\partial n} \right|_0 \cdot \Delta n + \left. \frac{\partial \eta}{\partial H} \right|_0 \cdot \Delta H + \left. \frac{\partial \eta}{\partial \rho} \right|_0 \cdot \Delta \rho \quad (2.1.12)$$

Derivând parțial în raport cu variabila cerută relația (2.1.8) și înlocuind rezultatul în (2.1.9) împreună cu rel. (2.1.11) și (2.1.12), se ajunge la :

$$\Delta M_r = M_r - M_{r0} = \frac{g Q_0 H_0}{\eta_0 n_0} \Delta \rho + \frac{g \rho_0 H_0}{\eta_0 n_0} \left[\left. \frac{\partial Q}{\partial a} \right|_0 \cdot \Delta a + \left. \frac{\partial Q}{\partial b} \right|_0 \cdot \Delta b + \left. \frac{\partial Q}{\partial n} \right|_0 \cdot \Delta n + \left. \frac{\partial Q}{\partial H} \right|_0 \cdot \Delta H + \left. \frac{\partial Q}{\partial \rho} \right|_0 \cdot \Delta \rho \right] + \frac{g \rho_0 Q_0}{\eta_0 n_0} \cdot \Delta H - \frac{g \rho_0 H_0 Q_0}{n_0 \eta_0^2} \left[\left. \frac{\partial \eta}{\partial a} \right|_0 \cdot \Delta a + \left. \frac{\partial \eta}{\partial b} \right|_0 \cdot \Delta b + \left. \frac{\partial \eta}{\partial n} \right|_0 \cdot \Delta n + \left. \frac{\partial \eta}{\partial H} \right|_0 \cdot \Delta H + \left. \frac{\partial \eta}{\partial \rho} \right|_0 \cdot \Delta \rho \right] - \frac{g \rho_0 Q_0 H_0}{n_0^2 \eta_0} \cdot \Delta n \quad (2.1.13)$$

Apoi, împreună cu rel. (2.1.7), rezultă :

$$- J \frac{dn}{dt} = \frac{g \rho_0 Q_0 H_0}{n_0 \eta_0} \left[\frac{\Delta \rho}{\rho_0} \left(1 + \frac{\rho_0}{Q_0} \left. \frac{\partial Q}{\partial \rho} \right|_0 - \frac{\rho_0}{\eta_0} \left. \frac{\partial \eta}{\partial \rho} \right|_0 \right) + \frac{\Delta a}{a_0} \left(\frac{a_0}{Q_0} \left. \frac{\partial Q}{\partial a} \right|_0 - \frac{a_0}{\eta_0} \left. \frac{\partial \eta}{\partial a} \right|_0 \right) + \frac{\Delta b}{b_0} \left(\frac{b_0}{Q_0} \left. \frac{\partial Q}{\partial b} \right|_0 - \frac{b_0}{\eta_0} \left. \frac{\partial \eta}{\partial b} \right|_0 \right) - \right.$$

$$\begin{aligned}
 & - \frac{b_0}{\eta_0} \left. \frac{\partial \eta}{\partial b} \right|_0 + \frac{\Delta n}{n_0} \left(\frac{n_0}{Q_0} \left. \frac{\partial Q}{\partial n} \right|_0 - \frac{n_0}{\eta_0} \left. \frac{\partial \eta}{\partial n} \right|_0 - 1 \right) + \\
 & + \frac{\Delta H}{H_0} \left(1 - \frac{H_0}{\eta_0} \left. \frac{\partial \eta}{\partial H} \right|_0 + \frac{H_0}{Q_0} \left. \frac{\partial Q}{\partial H} \right|_0 \right) \Bigg] . \quad (2.1.14)
 \end{aligned}$$

Pentru o scriere mai compactă a rel. (2.1.14) se introduc notațiile :

$$\begin{aligned}
 \gamma &= \frac{\Delta n}{n_0} ; \quad \alpha = \frac{\Delta a}{a_0} ; \quad \beta = \frac{\Delta b}{b_0} ; \quad \xi = \frac{\Delta H}{H_0} ; \quad \Omega = \frac{\Delta \rho}{\rho_0} \\
 q_\gamma &= \frac{n_0}{Q_0} \left. \frac{\partial Q}{\partial n} \right|_0 ; \quad q_\alpha = \frac{a_0}{Q_0} \left. \frac{\partial Q}{\partial a} \right|_0 ; \quad q_\beta = \frac{b_0}{Q_0} \left. \frac{\partial Q}{\partial b} \right|_0 ; \quad q_\xi = \frac{H_0}{Q_0} \left. \frac{\partial Q}{\partial H} \right|_0 ; \\
 q_\Omega &= \frac{\rho_0}{Q_0} \left. \frac{\partial Q}{\partial \rho} \right|_0 \\
 \varepsilon_\gamma &= \frac{n_0}{\eta_0} \left. \frac{\partial \eta}{\partial n} \right|_0 ; \quad \varepsilon_\alpha = \frac{a_0}{\eta_0} \left. \frac{\partial \eta}{\partial a} \right|_0 ; \quad \varepsilon_\beta = \frac{b_0}{\eta_0} \left. \frac{\partial \eta}{\partial b} \right|_0 ; \quad \varepsilon_\xi = \frac{H_0}{\eta_0} \left. \frac{\partial \eta}{\partial H} \right|_0 ; \\
 \varepsilon_\Omega &= \frac{\rho_0}{\eta_0} \left. \frac{\partial \eta}{\partial \rho} \right|_0 . \quad (2.1.15)
 \end{aligned}$$

Astfel, împreună cu (2.1.15), (2.1.14) devine :

$$\begin{aligned}
 \frac{J n_0}{M_{r0}} \cdot \gamma' &= \Omega (\varepsilon_\Omega - q_\Omega - 1) + \alpha (\varepsilon_\alpha - q_\alpha) + \beta (\varepsilon_\beta - q_\beta) - \\
 & - \gamma (q_\gamma - \varepsilon_\gamma - 1) + \xi (\varepsilon_\xi - q_\xi - 1) \quad (2.1.16)
 \end{aligned}$$

Construind expresiile timpilor caracteristici ai grupului de pompare (pompei) în forma :

$$\begin{aligned}
 T_a &= \frac{J n_0}{M_{r0}} \cdot \frac{1}{\varepsilon_\alpha - q_\alpha} ; \quad T_b = \frac{J n_0}{M_{r0}} \cdot \frac{1}{\varepsilon_\beta - q_\beta} ; \\
 T_n &= \frac{J n_0}{M_{r0}} \cdot \frac{1}{q_\gamma - \varepsilon_\gamma - 1} ; \quad T_H = \frac{J n_0}{M_{r0}} \cdot \frac{1}{\varepsilon_\xi - q_\xi - 1} ;
 \end{aligned}$$

și

$$T_\rho = \frac{J n_0}{M_{r0}} \cdot \frac{1}{\varepsilon_\Omega - q_\Omega - 1} , \quad (2.1.17)$$

rel. (2.1.16) dobîndește forma finală :

$$\gamma' + \frac{\gamma}{T_n} = \frac{\alpha}{T_a} + \frac{\beta}{T_b} + \frac{\xi}{T_H} + \frac{\Omega}{T_\rho} \quad (2.1.18)$$

Rel. (2.1.18) exprimă ecuația dinamică linearizată a turbo-

pompelor într-o formă generală. Ea este valabilă pentru oscilații mici și frecvențe scăzute ale parametrilor implicați în funcționarea pompei. Ea se poate utiliza cunoscând curbele caracteristice statice ale turbomașinii.

Constantele de timp sînt funcții de punctul de funcționare sau starea inițială a pompei.

Modelul ^{cuasi}-static obținut pentru ecuația dinamică a pompelor cere cunoașterea curbelor caracteristice energetice și cavitaționale sau bifazice ale mașinii. Vînd dependențe funcționale între parametrii implicați se construiește, în punctul corespunzător regimului staționar inițial, tangenta la curba respectivă și se obține legătura funcțională în aproximație liniară. De ex. : din curba $H(Q)$ pentru $q_0 = \text{const.}$, $n_0 = \text{const.}$, $a_0 = \text{const.}$ și $b_0 = \text{const.}$ se obține imediat $\left. \frac{\partial Q}{\partial H} \right|_0 \cong \frac{\Delta Q}{\Delta H} \Big|_0$, apoi q_s și în fine T_H . În mod similar se pot obține și celelalte constante de timp ale pompei.

Dacă pentru regimurile energetice există suficiente date pentru evaluarea numerică a constantelor de timp nu același lucru se poate aprecia cu privire la regimurile cavitaționale sau bifazice. Existența unor cercetări ample cu privire la curbele caracteristice cavitaționale ale pompelor centrifuge din lucrarea /6/ au permis determinarea unor valori pentru timpul caracteristic de cavitație $(T_q)_{\text{cav}}$.

Astfel în fig.2.1.1 sînt redată curbele caracteristice ca-

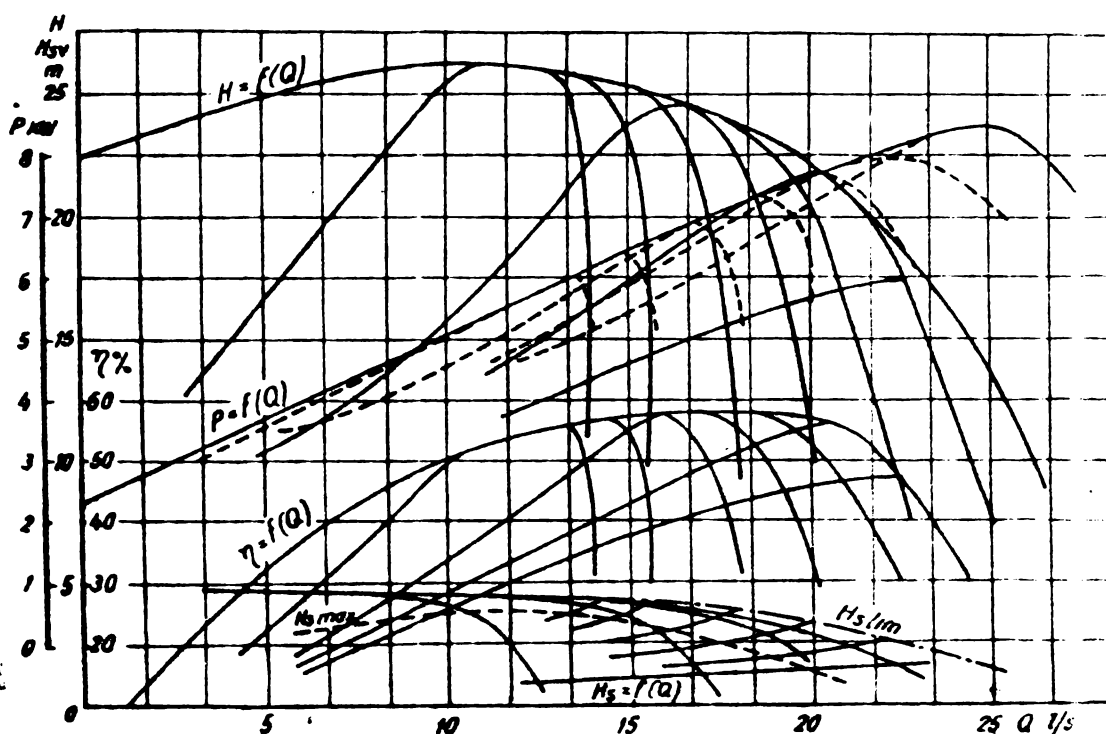


Fig. 21.1 Curbele caracteristice căzătoare ale pompei centrifuge IMB-80 (6) ce apar în regim de cavitație

vitaționale din care se poate estima acest timp caracteristic pentru un punct de funcționare oarecare dat.

Rezultatul obținut în relația (2.1.18) se particularizează similar în domeniul funcționării bifazice cu aer-apă a pompelor precum s-a descris mai înainte pentru regimuri cavitaționale. Prelucrând unele rezultate experimentale din lucrările /54/, /132/ se pot construi curbe caracteristice pentru evaluarea timpilor din ecuația dinamică a pompelor. Selectând din (2.1.17) și (2.1.15) pe T_{φ} există :

$$(T_{\varphi})_{bif} = \frac{J n_0}{M_{r_0}} \cdot \frac{1}{\epsilon_{\Omega} - q_{\Omega} - 1} \quad \text{cu}$$

$$\epsilon_{\Omega} = \frac{\rho_0}{\eta_0} \cdot \frac{\partial \eta}{\partial \varphi} \Big|_0 \quad \text{și} \quad q_{\Omega} = \frac{\rho_0}{Q_0} \cdot \frac{\partial Q}{\partial \varphi} \Big|_0$$

iar pentru $n_0 = ct.$, $a_0 = ct.$, $b_0 = ct.$, $H_0 = ct.$ este ușor a extrage :

$$\frac{\partial \eta}{\partial \varphi} \Big|_0 \approx \frac{\Delta \eta}{\Delta \varphi} \Big|_0 \quad \text{și} \quad \frac{\partial Q}{\partial \varphi} \Big|_0 = \frac{\Delta Q}{\Delta \varphi} \Big|_0$$

din familia de curbe caracteristice din fig.2.1.2. O explicitare similară indirectă se obține și din fig. 2.1.3 și fig.2.1.4 considerând că :

$$\frac{\partial Q}{\partial \varphi} \Big|_0 = \frac{\partial Q}{\partial H} \Big|_0 \cdot \frac{\partial H}{\partial \varphi} \Big|_0 \approx \frac{\Delta Q}{\Delta H} \Big|_0 \cdot \frac{\Delta H}{\Delta \varphi} \Big|_0$$

Astfel în fig. 2.1.3 $\Psi(\phi)$ permite găsirea $H(\phi)$ și evaluarea $\frac{\Delta Q}{\Delta H}$ în punctul 0, iar $\frac{H}{H_0}(\Omega)$ estimarea $\frac{\Delta H}{\Delta \varphi}$ din fig.2.1.4. O altă pompă pentru care s-au ridicat curbele caracteristice energetice funcționând cu amestec aer-apă este redată în fig.2.1.5.

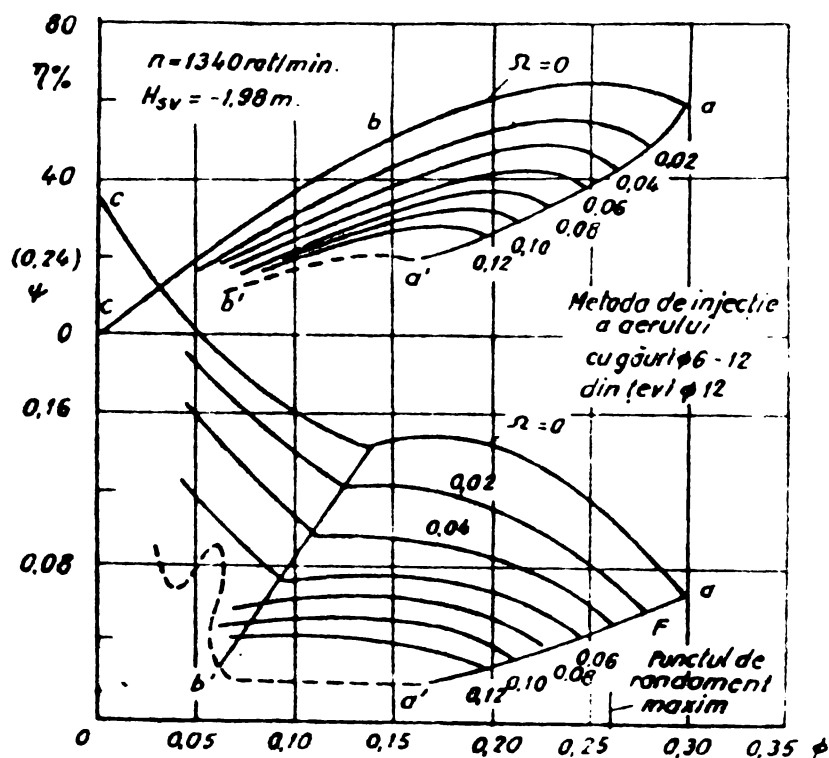


Fig. 2.1.2 Curbe caracteristice ale unei pompe funcționând

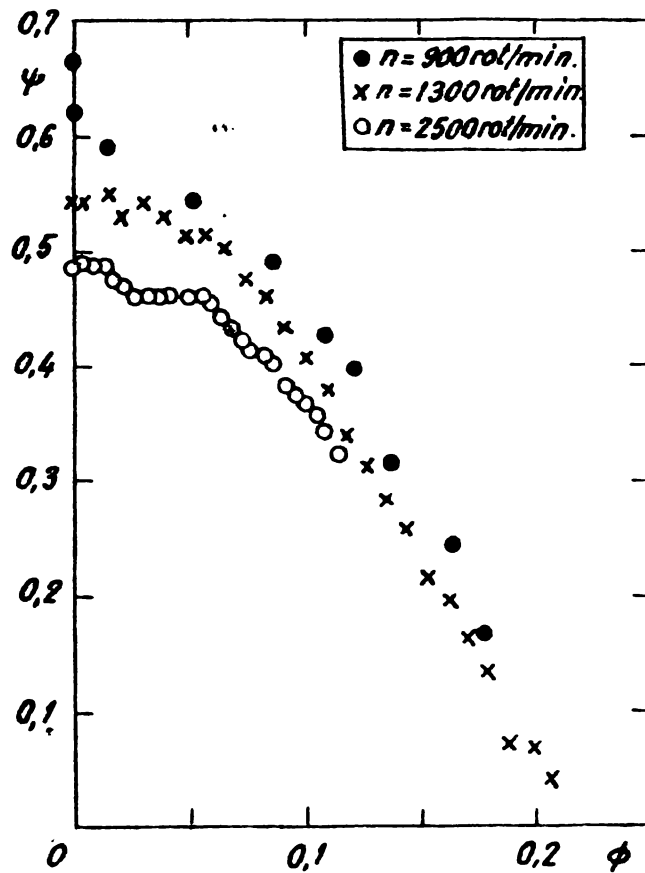


Fig. 21.3 Curbele caracteristice monofazice (apă) ale pompei model [132]

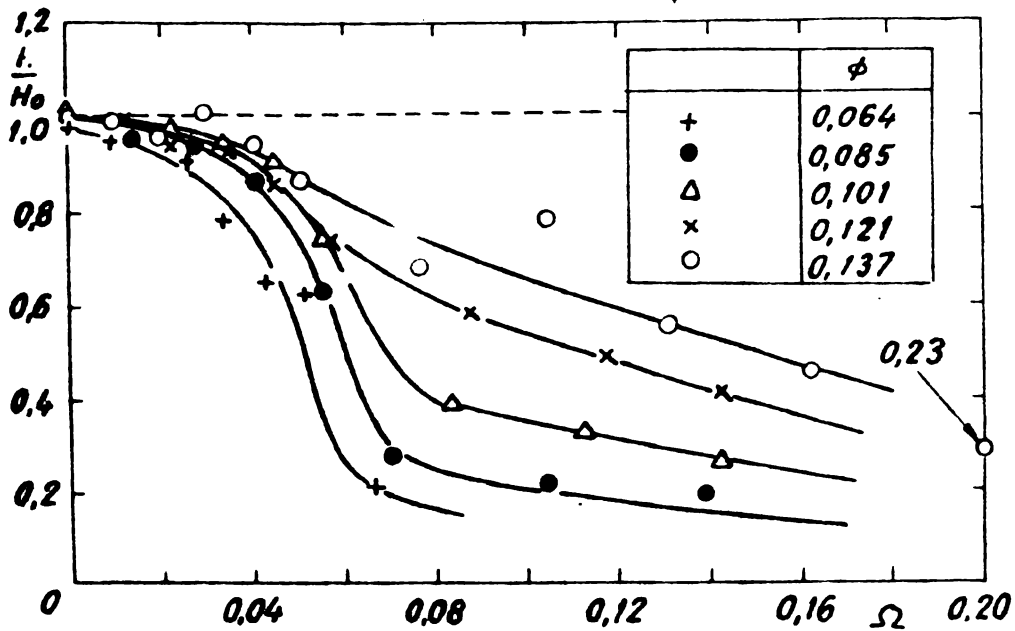


Fig. 21.4 Curbele caracteristice bifazice (aer-apă) ale pompei model [32]

Timpul caracteristic T_{ϕ} are dezavantajul că nu face deosebirea între funcționarea mașinii în regim cavitațional și bifazic (gaz - lichid). Autorul a încercat această departajare ce e drept într-un domeniu foarte îngust al funcționării bifazice (numai până la saturația apei cu aer dizolvat în ea) pentru turbine funcționând în regimuri cavitaționale în cadrul lucrării /8/. Rezultatele

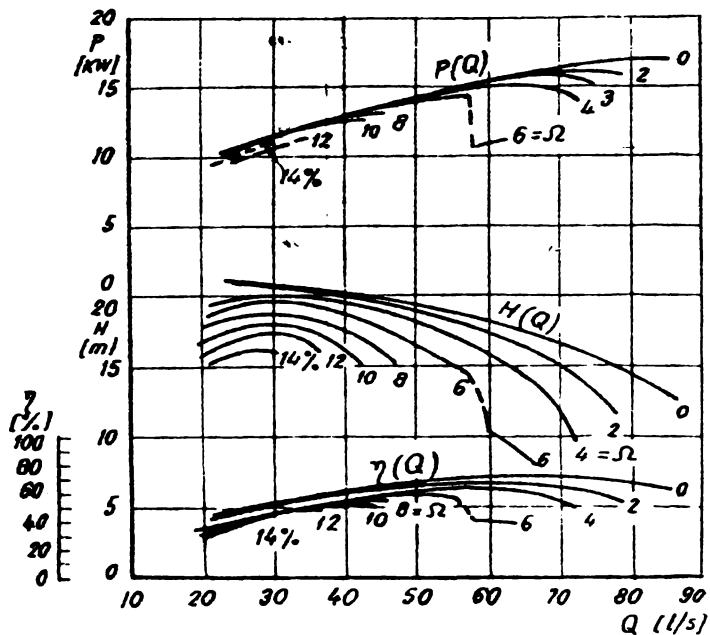


Fig. 21.5 Curbele caracteristice ale unei pompe ce funcționează cu amestec apă-aer. [157]

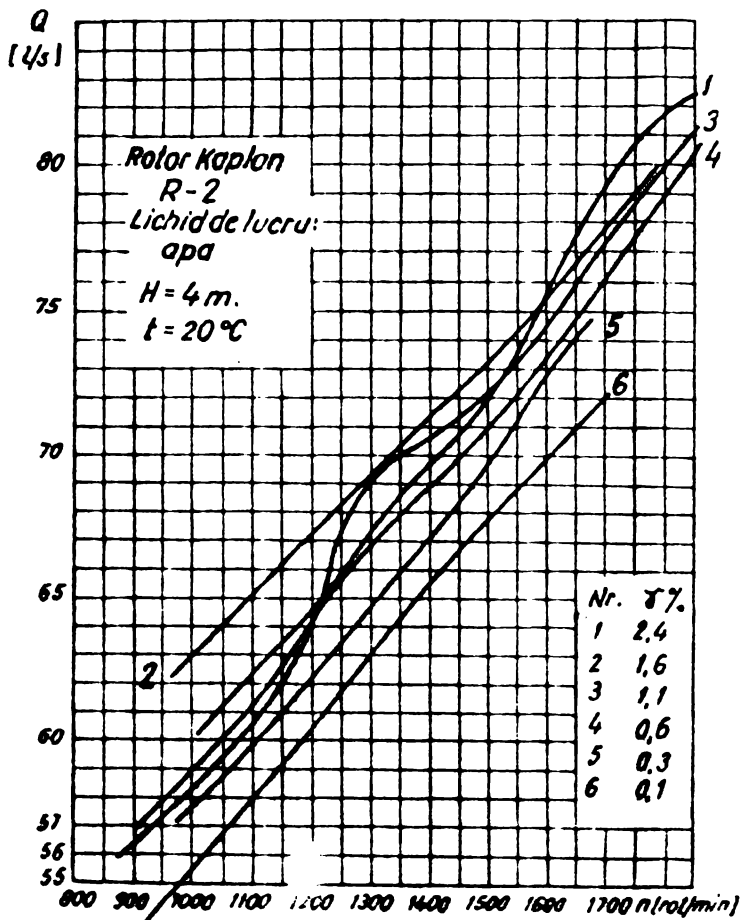


Fig. 21.6 Influența conținutului de aer din apă asupra curbelor caracteristice ale unei turbine în stațiunea MHT - 200 [8]

obținute într-o stațiune de încercare a turbinelor model, MIT-200, nu au condus la deosebiri statice și dinamice notabile în domeniul redus de variație al parametrilor susmenționați (fig.2.1.6).

În concluzie se apreciază că ecuația dinamică linearizată a pompelor rel. (2.1.18), prin introducerea unui nou timp caracteristic T_p , în ipotezele restrictive asumate, permite o analiză și sinteză mai detaliată a pompelor precum și construirea unui model sau o simulare în aproximare statică adecvată a mașinii.

2.2 Modelul structural energetic al pompelor centrifuge

Sub imboldul progreselor din automatică s-au creionat caracterizări din punctul de vedere al teoriei sistemelor asupra instalațiilor și mașinilor hidropneumatice /64, 156/. Mașinile hidraulice rotative se pot cuprinde într-un traductor informațional de forma schițată în fig.2.2.1. Modelul informațional redat este potrivit re-

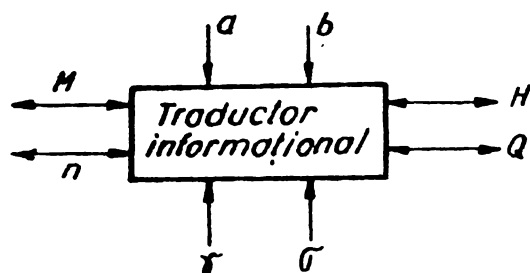


Fig.2.2.1 Schema bloc a unei mașini hidraulice rotative

gimurilor energetice cavitaționale și bifazice, iar pentru regimurile cavitaționale se vor dezvolta și alte variante în cap.2.3.

Pompa hidrodinamică privită ca element sau ca obiect de automatizare prezintă o serie de caracteristici funcționale. Forma cea mai potrivită de exprimare a acestor caracte-

ristici o constituie modelul matematic. Datorită dificultăților întâmpinate și în cadrul capitolului precedent în deducerea ecuației mașinii în prezentul capitol se alege o altă cale și anume se vor stabili expresiile funcțiilor de transfer ale pompei. În automatică identificarea sistemelor se face, între alte metode, și cu ajutorul semnalelor de probă. Acordarea unor semnale de tip impuls sau treaptă sînt greu de realizat pentru sisteme mecanice cu masă și inerție apreciabilă iar acordarea unor semnale periodice com-

plexe sau aleatoare introduc o prelucrare laborioasă a rezultatelor. Astfel încît dintre toate semnalele de probă și teoretic și experimental preferințele se îndreaptă spre semnale sinusoidale. Semnalele sinusoidale au avantajul unei materializări relativ facile și a unor prelucrări simple rezultatele conducînd direct spre diagrame de tip Bode. Desigur, pentru sisteme neliniare de tipul mașinilor hidraulice rezultatele sînt valabile numai pentru perturbații mici adică în ipoteza restrictivă a dependențelor lineare, sau introducînd influența amplitudinii semnalelor în reprezentarea funcțiilor de frecvență.

Pompele centrifuge sau orice altă mașină hidraulică în regimuri energetice poate fi considerată un cuadripol informațional al mărimilor fizice viteza unghiulară, momentul mecanic, debitul volumic și înălțimea de pompă. Legăturile între aceste elemente, defalcând blocul din fig.2.2.1, se propun a fi similare cu cele stabilite pentru alte mașini asemănătoare în /89, 114/ și sînt redată în fig.2.2.2. Corespondentul liniar, matematic într-o exprimare matricială este redat în relația :

$$\begin{Bmatrix} \tilde{H} \\ \tilde{M} \end{Bmatrix} = \begin{Bmatrix} W_{11} & W_{12} \\ W_{21} & W_{22} \end{Bmatrix} \cdot \begin{Bmatrix} \tilde{n} \\ \tilde{Q} \end{Bmatrix} \quad (2.2.1)$$

Se observă că rel. (2.2.1) redă dependența liniară între fluctuațiile complexe ale mărimilor caracteristice ale pompei. Funcțiile de transfer ale pompei W_{ij} , exprimă modul de traducere a informației în mașină în ceea ce privește amplificarea și întârzierea semnalului.

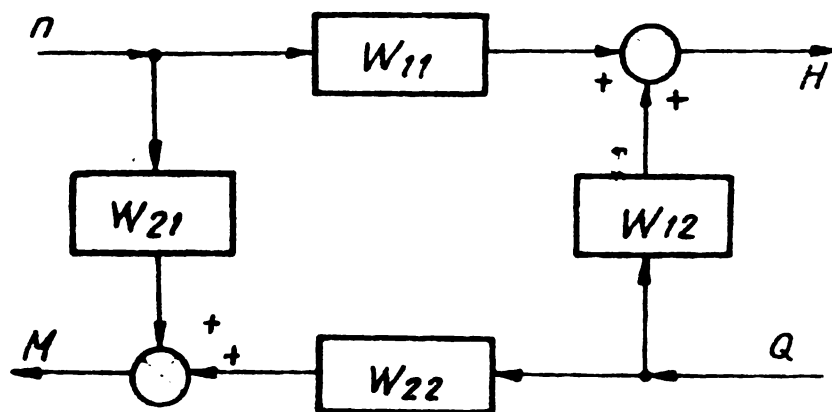


Fig. 22.2 Modelul structural energetic al unei pompe

Funcțiile de transfer în aproximație liniară se reduc la funcțiile de frecvență care depind de punctul mediu de funcționare și desigur de frecvența de fluctuație a perturbațiilor. Atît teoretic cît și experimental se va stabili expresia respectiv curba funcției respectiv locul de frecvență.

În acest scop se va utiliza o metodă similară cu cea expusă în /65, 66, 67/ cu deosebirea că se va folosi de la început un alt mod de excitație. Aceasta va permite obținerea unor relații ce constituie funcțiile de transfer ale unei pompe centrifuge de turaj specifică joasă, radială în ipoteza unei curgeri monodimensionale, nepermanente.

Mărimile fizice importante ale pompei, în scopul soluționării problemei enunțate, se vor considera compuse dintr-o parte constantă în timp, media, și o parte variabilă în timp, fluctuația. Fluctuația la rîndul ei se va considera un număr complex în expri-

mare exponențială cu o parte reală ce constituie amplitudinea fluctuației și cu exponentul imaginar al cărui coeficient conține defazajul mărimii respective. Astfel, pentru viteza unghiulară a pompei mărimea inițial excitată se poate scrie :

$$n = \bar{n} + \tilde{n} , \quad \text{iar} \quad \tilde{n} = \Delta n e^{i(\omega t + \delta_n)} . \quad (2.2.2)$$

Unghiul caracteristic al unui punct din zona rotorului în raport cu sistemul de referință va fi :

$$\varphi = \bar{\varphi} + \tilde{\varphi} \quad \text{cu} \quad \tilde{\varphi} = \Delta \varphi e^{i(\omega t + \delta_\varphi)} . \quad (2.2.3)$$

Debitul volumic va avea expresia :

$$Q = \bar{Q} + \tilde{Q} \quad ; \quad \tilde{Q} = \Delta Q e^{i(\omega t + \delta_Q)} . \quad (2.2.4)$$

Inălțimea de pompare se va exprima :

$$H = \bar{H} + \tilde{H} , \quad \text{iar} \quad \tilde{H} = \Delta H e^{i(\omega t + \delta_H)} . \quad (2.2.5)$$

Momentul activ față de motorul primar de antrenare :

$$M_a = \bar{M}_a + \tilde{M}_a \quad \text{și} \quad \tilde{M}_a = \Delta M_a e^{i(\omega t + \delta_{M_a})} . \quad (2.2.6)$$

și momentul rezistent creat de pompă va avea forma :

$$M_r = \bar{M}_r + \tilde{M}_r \quad \text{cu} \quad \tilde{M}_r = \Delta M_r e^{i(\omega t + \delta_{M_r})} . \quad (2.2.7)$$

O secțiune transversală prin rotor cu elemente geometrice și hidrodinamice semnificative pentru acest capitol sînt redată în fig.2.2.3.

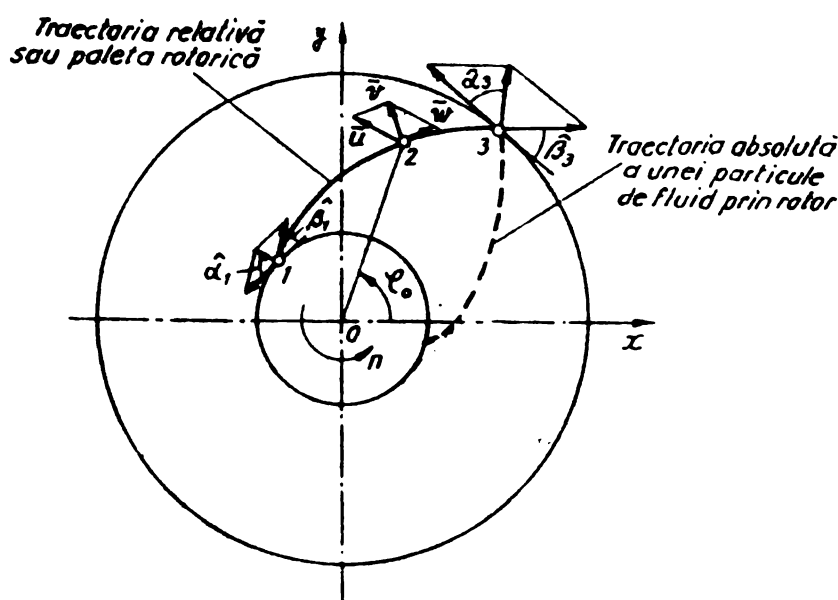


Fig.2.2.3 Reprezentare schematică a mișcării fluidului în rotorul pompei centrifuge (1-intrare, 2-punct curent, 3-ieșire)

Pentru demonstrația ce urmează se vor considera următoarele ipoteze :

$$\bar{M}_a = \bar{M}_r , \quad (2.2.8)$$

adică un regim mediu staționar, randamentul

$$\eta = \text{const.} \quad (2.2.9)$$

și relația unghiulară evidentă

$$\bar{\varphi} = \bar{n} t + \varphi_0 \quad \text{și} \quad \bar{n} = \frac{d\bar{\varphi}}{dt} \quad (2.2.10)$$

Considerând ecuația de mișcare a părților rotitoare în forma :

$$J \frac{dn}{dt} = M_a - M_r, \quad (2.2.11)$$

se înlocuiește în ea rel. (2.2.2), (2.2.6) și (2.2.7) și, ținând cont de condiția (2.2.8), precum și de relația evidentă $\frac{dn}{dt} = 0$ și că excitația sinusoidală este permanentă adică $\frac{d(\Delta n)}{dt} = 0$, rezultă :

$$J \cdot \Delta n \cdot \omega \cdot i = \Delta M_a \cdot e^{i\delta_{M_a}} - \Delta M_r \cdot e^{i\delta_{M_r}} \quad (2.2.12)$$

Legătura între unghiul caracteristic și viteza unghiulară a rotorului, prin definiție, oferă o relație în forma :

$$n = \frac{d\varphi}{dt} \quad (2.2.13)$$

Inlocuind aci rel. (2.2.2) și (2.2.3) cu condiția (2.2.10) precum și cu $\frac{d(\Delta\varphi)}{dt} = 0$, din condiția de liniaritate și excitație permanentă rezultă în final :

$$\Delta n = \Delta\varphi \cdot \omega \cdot i \cdot e^{i\delta_\varphi} \quad (2.2.14)$$

Pe baza teoremelor transferului energiei cinetice în mișcarea fluidelor simple [125, 136], ecuația bilanțului puterilor în hidroagregat în regim nestaționar cu condiția randamentului constant rel. (2.2.9) se scrie în forma :

$$M_r n = \frac{\rho g Q H}{\eta} + \rho \cdot Q \cdot \int_0^l \frac{\partial v}{\partial t} dl, \quad (2.2.15)$$

unde l reprezintă lungimea traiectoriei absolute a unei particule de lichid la trecerea ei prin rotor. Inlocuind în rel. (2.2.15) expresiile (2.2.7), (2.2.2), (2.2.4) și (2.2.5), se obține :

$$\begin{aligned} & \frac{\rho g}{\eta} \left[\bar{Q} \cdot \bar{H} + \bar{Q} \cdot \Delta H e^{i(\omega t + \delta_H)} + \bar{H} \cdot \Delta Q e^{i(\omega t + \delta_Q)} + \Delta H \cdot \Delta Q e^{i(2\omega t + \delta_{H,Q})} \right] \\ & = -\rho \left[\bar{Q} + \Delta Q e^{i(\omega t + \delta_Q)} \right] \left[\int_0^l \frac{\partial v}{\partial t} dl \right]^* + \bar{M}_r \cdot \bar{n} + \bar{M}_r \cdot \Delta n e^{i\omega t} + \\ & + \bar{n} \cdot \Delta M_r e^{i(\omega t + \delta_{M_r})} + \Delta M_r \cdot \Delta n e^{i(2\omega t + \delta_{M_r})}. \end{aligned} \quad (2.2.16)$$

Aci s-a notat pentru moment variația nepermanentă a energiei specifice cu $\left[\int_0^l \frac{\partial v}{\partial t} dl \right]^*$, expresie ce va fi calculată ulterior.

Neglijind produsul variațiilor de tipul : $\Delta H \cdot \Delta Q \dots$; $\Delta M_R \cdot \Delta n \dots$ cît și $\rho \cdot \Delta Q e^{i(\omega t + \delta_Q)} \left[\int_0^l \frac{\partial v}{\partial t} dl \right]^*$ din cauza valorilor mici pe care le au, rel. (2.2.16) trece în forma :

$$\frac{\rho g}{\gamma} (\bar{Q} \cdot \Delta H e^{i\delta_H} + \bar{H} \cdot \Delta Q e^{i\delta_Q}) = - \frac{\rho \bar{Q}}{e^{i\omega t}} \left[\int_0^l \frac{\partial v}{\partial t} dl \right]^* + \bar{M}_R \Delta n + \Delta M_R \bar{n} e^{i\delta_{M_R}} \quad (2.2.17)$$

Utilizînd teorema momentului cantității de mișcare pentru lichidul în mișcare nestaționară din interiorul rotorului în raport cu axa rotorului, se poate scrie :

$$M_R = \rho Q (v_3 r_3 \cos \hat{\alpha}_3 - r_1 v_1 \cos \hat{\alpha}_1) c + \rho \int_V \frac{dv}{dt} r \cos \hat{\alpha} \cdot dV \quad (2.2.18)$$

unde $c \cong 1$ este coeficientul lui Coriolis și V - este volumul de lichid din interiorul rotorului. Analizînd expresia (2.2.18), se observă că în primul termen din dreaptă se pune în evidență legătura momentului mecanic de torsiune cu debitul în mod direct și cu viteza unghiulară indirect prin viteza v și unghiul $\hat{\alpha}$, astfel că, prin dezvoltări linearizate, se obține :

$$\tilde{M}_R = \frac{\partial \bar{M}_R}{\partial \bar{n}} \tilde{n} + \frac{\partial \bar{M}_R}{\partial \bar{Q}} \tilde{Q} + \rho \left[\int_V \frac{dv}{dt} r \cos \hat{\alpha} \cdot dV \right]^* \quad (2.2.19)$$

Inlocuind în (2.2.19) rel. (2.2.7), (2.2.2) și (2.2.4), rezultă :

$$\Delta M_R e^{i\delta_{M_R}} = \frac{\partial \bar{M}_R}{\partial \bar{n}} \cdot \Delta n + \frac{\partial \bar{M}_R}{\partial \bar{Q}} \cdot \Delta Q e^{i\delta_Q} + \frac{\rho}{e^{i\omega t}} \left[\int_V \frac{dv}{dt} r \cos \hat{\alpha} \cdot dV \right]^* \quad (2.2.20)$$

Valorile pentru $\frac{\partial \bar{M}_R}{\partial \bar{n}}$ și $\frac{\partial \bar{M}_R}{\partial \bar{Q}}$ se pot obține din caracteristicile statice ale pompei prin linearizare și valoarea $\left[\int_V \dots \right]^*$ se va analiza mai jos.

Torsiunea arborelui pompei, într-o aproximație lineară (elastică) din rezistența materialelor, se poate exprima prin :

$$M_a = k \cdot \varphi \quad (2.2.21)$$

Dacă înlocuim în (2.2.21) rel. (2.2.6) și (2.2.3), rezultă :

$$\Delta M_a e^{i\delta_{M_a}} = k \Delta \varphi e^{i\delta_\varphi} \quad (2.2.22)$$

unde $k = \frac{GJ_p}{d^4}$ este o constantă. În ipoteza adăugării și întârzierii δ_e introduse de motorul primar de antrenare /152/, rel. (2.2.22) devine :

$$\Delta M_a e^{i\delta_{M_a}} = k \Delta \varphi e^{i(\delta_\varphi + \delta_e)} \quad (2.2.23)$$

Din ecuațiile (2.2.10), (2.2.14), (2.2.17), (2.2.20) și (2.2.23), prin eliminarea variabilelor intermediare, se pot obține funcțiile de transfer ale pompei în forma :

$$W_{11} \left(\frac{\tilde{H}}{\tilde{n}} \right) = \frac{\Delta H}{\Delta n} e^{i \delta_H}, \quad (2.2.24)$$

$$W_{12} \left(\frac{\tilde{H}}{\tilde{Q}} \right) = \frac{\Delta H}{\Delta Q} e^{i(\delta_H - \delta_Q)}, \quad (2.2.25)$$

$$W_{21} \left(\frac{\tilde{M}}{\tilde{n}} \right) = \frac{\Delta M_r}{\Delta n} e^{i \delta_{M_r}}, \quad (2.2.26)$$

$$W_{22} \left(\frac{\tilde{M}}{\tilde{Q}} \right) = \frac{\Delta M_r}{\Delta Q} e^{i(\delta_{M_r} - \delta_Q)}, \quad (2.2.27)$$

precum și alte funcții de transfer definite pentru această pompă în forma :

$$W \left(\frac{\tilde{Q}}{\tilde{n}} \right) = \frac{\Delta Q}{\Delta n} e^{i \delta_Q} \quad (2.2.28)$$

și

$$W \left(\frac{\tilde{M}}{\tilde{H}} \right) = \frac{\Delta M_r}{\Delta H} e^{i(\delta_{M_r} - \delta_H)}. \quad (2.2.29)$$

Se va trece la explicitarea expresiilor de forma $\left[\int_V \dots \right]^*$. În acest scop se utilizează de ecuația de continuitate pentru curentul fluid din rotorul turbomașinii :

$$Q = 2 \pi r h v \sin \hat{\alpha} \cdot s = 2 \pi r h w \sin \hat{\beta} \cdot s, \quad (2.2.30)$$

știind că h este lățimea canalului rotorului și $s < 1$ coeficientul de obstrucție al paletelor rotorului. Folosind relații cinematice din triunghiul vitezelor, rezultă :

$$w = \frac{r n - v \cos \hat{\alpha}}{\cos \hat{\beta}}. \quad (2.2.31)$$

Din expresiile (2.2.30) și (2.2.31) se obține :

$$Q \cdot \cos \hat{\beta} = 2 \pi r s h \sin \hat{\beta} \left[r n - v \sqrt{1 - \left(\frac{Q}{2 \pi r s h} \right)^2} \right]. \quad (2.2.32)$$

Rel. (2.2.32) exprimă dependența vitezei curentului prin rotor de debitul volumic și viteza unghiulară a rotorului. Astfel, $v = v(n, Q)$, iar restul precum $s, h, \hat{\beta}, r$ sînt constante pentru un punct dat. De aici :

$$v = \bar{v} + \tilde{v} = \bar{v} + \frac{\partial \bar{v}}{\partial Q} \tilde{Q} + \frac{\partial \bar{v}}{\partial n} \tilde{n}. \quad (2.2.33)$$

Explicitarea vitezei în rel. (2.2.32) și derivarea parțială în raport cu debitul și turația precum și înlocuirea fluctuațiilor \tilde{Q} și \tilde{n} conduce la :

$$v = \bar{v} + \frac{1}{\bar{v}} \left\{ \left[\frac{\bar{Q}}{(2\pi r h s \sin \hat{\beta})^2} - \frac{\bar{n} \operatorname{ctg} \hat{\beta}}{2\pi s h} \right] \Delta Q e^{i\delta_Q} + \left[-\frac{\bar{Q} \operatorname{ctg} \hat{\beta}}{2\pi h s} + r^2 \bar{n} \right] \Delta n \right\} e^{i\omega t} = \bar{v} + \left[v_Q \cdot \Delta Q e^{i\delta_Q} + v_n \cdot \Delta n \right] e^{i\omega t} \quad (2.2.34)$$

Derivata :

$$\frac{dv}{dt} = i\omega \left[v_Q \cdot \Delta Q e^{i\delta_Q} + v_n \cdot \Delta n \right] e^{i\omega t} \quad (2.2.35)$$

Folosind relații trigonometrice și ecuația de continuitate din rotor se poate găsi succesiv că :

$$v_Q = \frac{1}{\bar{v}} \left[\frac{\bar{Q}}{(2\pi r h s \sin \hat{\beta})^2} - \frac{\bar{n} \operatorname{ctg} \hat{\beta}}{2\pi s h} \right] = \frac{\cos \hat{\alpha}}{2\pi r h s} \left[\operatorname{tg} \hat{\alpha} - \operatorname{ctg} \hat{\beta} \right] \quad (2.2.36)$$

și că :

$$v_n = \frac{1}{\bar{v}} \left[r^2 \bar{n} - \frac{\bar{Q} \operatorname{ctg} \hat{\beta}}{2\pi h s} \right] = r \cos \hat{\alpha} \quad (2.2.37)$$

Acum integrala de linie oferă :

$$\left[\int_l \frac{dv}{dt} dl \right]^* = \omega i \left[\Delta Q e^{i\delta_Q} \int_0^l v_Q dl + \Delta n \int_0^l v_n dl \right] e^{i\omega t} \quad (2.2.38)$$

unde se va înlocui

$$\int_0^l v_Q dl = \bar{v}_Q l \quad \text{și} \quad \int_0^l v_n dl = \bar{v}_n l$$

adică se va determina o valoare medie \bar{v}_Q respectiv \bar{v}_n raportată la variația acestor mărimi dealungul traiectoriei absolute a particulei de fluid la trecerea sa prin rotor, care este l . Aceste valori medii obținute prin raportare la o lungime caracteristică a rotorului depind de punctul de funcționare al pompei (starea de funcționare a mașinii) și de geometria rotorului. În mod similar se poate scrie :

$$\left[\int_V \frac{dv}{dt} r \cos \hat{\alpha} \cdot dV \right]^* = \omega i (\Delta Q e^{i\delta_Q} \int_V v_Q r \cos \hat{\alpha} \cdot dV + \Delta n \cdot \int_V v_n r \cos \hat{\alpha} \cdot dV) e^{i\omega t} \quad (2.2.39)$$

Integralele se pot înlocui prin mărimi echivalente medii de forma :

$$\int_V v_Q r \cos \hat{\alpha} \cdot dV = L^4 v_Q^* \quad \text{și} \quad \int_V v_n r \cos \hat{\alpha} \cdot dV = L^4 v_n^*,$$

unde L este o lungime caracteristică echivalentă. Acum se pot deduce v_Q^* și v_n^* . Valoarea integralelor depinde de starea (punctul) de funcționare a mașinii și de caracteristicile geometrice ale rotorului. Astfel rezultă :

$$\left[\int_V \frac{dv}{dt} r \cos \hat{\alpha} \cdot dV \right]^* = L^4 i \omega (\Delta Q e^{i \delta_Q} v_Q^* + \Delta n v_n^*) e^{i \omega t}, \quad (2.2.40)$$

unde prin simetrie axială

$$dV = 2 \pi r h s dr. \quad (2.2.41)$$

Cu aceste elemente pregătitoare revenim la exprimarea funcțiilor de transfer. Pentru aceasta înlocuim $\Delta \mathcal{Q}$ din rel.(2.2.14) în rel. (2.2.23) și aceasta la rîndul ei în rel.(2.2.12). Rezultă :

$$\Delta n \left(\omega J + \frac{k e^{i(\delta_e + \delta_e)}}{\omega} \right) = \Delta M_r e^{i \delta_{M_r}} (-i) = \Delta M_r e^{i(\delta_{M_r} - \frac{\pi}{2})}. \quad (2.2.42)$$

Exprimînd forma exponențială în echivalentul său trigonometric (prin formula lui Euler) și separînd părțile reale și imaginare, se obține :

$$\Delta n \left[\omega J + \frac{k}{\omega} \cos(\delta_e + \delta_e) \right] = \Delta M_r \cos \left(\delta_{M_r} - \frac{\pi}{2} \right), \quad (2.2.43)$$

$$\Delta n \frac{k}{\omega} \sin(\delta_e + \delta_e) = \Delta M_r \sin \left(\delta_{M_r} - \frac{\pi}{2} \right). \quad (2.2.44)$$

Rel. (2.2.43) și (2.2.44) ridicate la patrat și adunate oferă în final :

$$\Delta M_r = \Delta n \sqrt{(\omega J)^2 + 2 k \cos(\delta_e + \delta_e) + \left(\frac{k}{\omega}\right)^2} = K_{M_r} \Delta n. \quad (2.2.45)$$

Impărțind rel. (2.2.43) la (2.2.44) rezultă :

$$\text{ctg} \left(\delta_{M_r} - \frac{\pi}{2} \right) = \frac{\omega^2 J}{k \sin(\delta_e + \delta_e)} + \text{ctg}(\delta_e + \delta_e), \quad (2.2.46)$$

de unde :

$$\delta_{M_r} = \frac{\pi}{2} + \text{arc ctg} \left[\frac{\omega^2 J}{k \sin(\delta_e + \delta_e)} + \text{ctg}(\delta_e + \delta_e) \right] = \frac{\pi}{2} + \theta_{\psi_e} \quad (2.2.47)$$

După cum se observă am obținut funcția de transfer (de frecvență) $W_{21} \left(\frac{\Delta M_r}{\Delta n} \right)$ în care raportul fluctuațiilor momentului rezistent (al pompei) în funcție de cele ale turatiei se exprimă prin

coeficientul $\frac{\Delta M_r}{\Delta n} = K_M$ care determină raportul amplitudinilor rel. (2.2.45) și defăzajul unghiular între ele rel. (2.2.47). Mărimile componente ale acestor relații sînt cunoscute sau se pot calcula din datele instalației de pompare. Variabila este pulsația fluctuației ω ($\frac{\text{rad}}{\text{s}}$) sau frecvența fluctuației $f = \frac{\omega}{2\pi}$ (Hz).

Din ecuația (2.2.2a), folosind (2.2.38) cu valorile medii în locul integralelor, se poate scrie :

$$\Delta M_r e^{i\delta_{M_r}} = \left(\frac{\partial \bar{M}}{\partial \bar{Q}} + \rho L^4 i \omega v_Q^* \right) \cdot \Delta Q e^{i\delta_Q} + \left(\frac{\partial \bar{M}}{\partial \bar{n}} + \rho L^4 i \omega v_n^* \right) \cdot \Delta n \quad (2.2.48)$$

Înlocuind în (2.2.46) formele restrînse a rel. (2.2.45) și (2.2.47) și cu ajutorul formulei lui Euler, se obține :

$$\begin{aligned} -\Delta n K_{M_r} \sin \theta_{ee} + \Delta n K_{M_r} i \cos \theta_{ee} &= \frac{\partial \bar{M}}{\partial \bar{Q}} \cdot \Delta Q \cos \delta_Q + \\ + i \frac{\partial \bar{M}}{\partial \bar{Q}} \cdot \Delta Q \sin \delta_Q + i \rho L^4 \omega v_Q^* \Delta Q \cos \delta_Q - \rho L^4 \omega v_Q^* \Delta Q \sin \delta_Q + \\ + \frac{\partial \bar{M}}{\partial \bar{n}} \cdot \Delta n + \rho L^4 i \omega v_n^* \cdot \Delta n \end{aligned} \quad (2.2.49)$$

Separînd părțile reale și imaginare ale rel. (2.2.49) în forma :

$$\begin{aligned} \text{Re} : -\Delta n K_{M_r} \sin \theta_{ee} - \frac{\partial \bar{M}}{\partial \bar{n}} \cdot \Delta n &= \frac{\partial \bar{M}}{\partial \bar{Q}} \cdot \Delta Q \cos \delta_Q - \\ - \rho L^4 \omega v_Q^* \Delta Q \sin \delta_Q \end{aligned} \quad (2.2.50)$$

$$\begin{aligned} \text{Im} : \Delta n K_{M_r} \cos \theta_{ee} - \rho L^4 \omega v_n^* \Delta n &= \frac{\partial \bar{M}}{\partial \bar{Q}} \cdot \Delta Q \sin \delta_Q + \\ + \rho L^4 \omega v_Q^* \cdot \Delta Q \cos \delta_Q \end{aligned} \quad (2.2.51)$$

ridicîndu-le la patrat, adunîndu-le și explicitînd amplitudinea fluctuației debitului, rezultă :

$$\begin{aligned} \Delta Q = \Delta n \sqrt{\frac{K_{M_r}^2 + 2K_{M_r} \sin \theta_{ee} \frac{\partial \bar{M}}{\partial \bar{n}} + \left(\frac{\partial \bar{M}}{\partial \bar{n}} \right)^2 - 2K_{M_r} \cos \theta_{ee} \rho L^4 \omega v_n^* + \left(\rho L^4 \omega v_n^* \right)^2}{\left(\frac{\partial \bar{M}}{\partial \bar{Q}} \right)^2 + \left(\rho L^4 \omega v_Q^* \right)^2}} &= \\ = \Delta n \cdot K_Q \end{aligned} \quad (2.2.52)$$

Grupînd în alt mod rel. (2.2.50) și (2.2.51) :

$$\frac{\Delta n}{\Delta Q} \left(K_{M_r} \sin \theta_{ee} + \frac{\partial \bar{M}}{\partial \bar{n}} \right) = \rho L^4 \omega v_Q^* \sin \delta_Q - \frac{\partial \bar{M}}{\partial \bar{Q}} \cos \delta_Q \quad (2.2.53)$$

$$\frac{\Delta n}{\Delta Q} (K_{M_r} \cos \theta_{ee} - \rho L^4 \omega v_n^*) + \frac{\partial \bar{M}}{\partial Q} \sin \delta_Q + \rho L^4 \omega v_Q^* \cos \delta_Q \quad (2.2.54)$$

și înmulțindu-le cu $-\frac{\partial \bar{M}}{\partial Q}$ respectiv $\rho L^4 \omega v_Q^*$ și adunându-le după explicitarea unghiului de defazaj al debitului, rezultă :

$$\delta_Q = \arccos \frac{\rho L^4 \omega v_Q^* (K_{M_r} \cos \theta_{ee} - \rho L^4 \omega v_n^*) - \frac{\partial \bar{M}}{\partial Q} (K_{M_r} \sin \theta_{ee} + \frac{\partial \bar{M}}{\partial n})}{K_Q \left[(\rho L^4 \omega v_Q^*)^2 + \left(\frac{\partial \bar{M}}{\partial Q} \right)^2 \right]} \quad (2.2.55)$$

Formulele (2.2.52) și (2.2.55) rezolvă problema funcției de transfer enunțată la (2.2.28).

Pornind de la rel. (2.2.17) :

$$\frac{\rho g}{\eta} (\bar{Q} \cdot \Delta H e^{i\delta_H} + \bar{H} \cdot \Delta Q e^{i\delta_Q}) = - \frac{\rho \bar{Q}}{e^{i\omega t}} (\bar{v}_Q l \cdot \Delta Q e^{i\delta_Q} + \bar{v}_n l \cdot \Delta n) \omega i e^{i\omega t} + \bar{M}_r \Delta n + \bar{n} \Delta M_r e^{i\delta_{M_r}} \quad (2.2.56)$$

și înlocuind $\Delta Q = K_Q \cdot \Delta n$; $\Delta M_r = K_{M_r} \cdot \Delta n$ și $\delta_{M_r} = \theta_{ee} + \frac{\pi}{2}$, rezultă :

$$\frac{\rho g}{\eta} \bar{Q} \cdot \Delta H e^{i\delta_H} = \Delta n \left\{ \bar{M}_r + K_{M_r} \cdot \bar{n} e^{i(\theta_{ee} + \frac{\pi}{2})} - \rho \bar{Q} \omega i \left[\bar{v}_Q l e^{i\delta_Q} K_Q + \bar{v}_n l \right] - \frac{\rho g}{\eta} \bar{H} K_Q e^{i\delta_Q} \right\} \quad (2.2.57)$$

Separînd părțile reale și imaginare, se obține :

$$\frac{\rho g}{\eta} \bar{Q} \Delta H \cos \delta_H = \Delta n (\bar{M}_r - K_{M_r} \cdot \bar{n} \sin \theta_{ee} + \rho \bar{Q} \omega \bar{v}_Q l K_Q \sin \delta_Q - \frac{\rho g}{\eta} \bar{H} K_Q \cos \delta_Q) = \Delta n \cdot D \quad (2.2.58)$$

$$\frac{\rho g}{\eta} \bar{Q} \Delta H \sin \delta_H = \Delta n (K_{M_r} \cdot \bar{n} \cos \theta_{ee} - \rho \bar{Q} \omega \bar{v}_n l - \rho \bar{Q} \omega \bar{v}_Q l K_Q \cos \delta_Q - \frac{\rho g}{\eta} \bar{H} K_Q \sin \delta_Q) = \Delta n \cdot E \quad (2.2.59)$$

Din ultimele două relații reiese imediat că :

$$\frac{\Delta H}{\Delta n} = \frac{\eta}{\rho g \bar{Q}} \sqrt{D^2 + E^2} \quad (2.2.60)$$

și că :

$$\delta_H = \arctg \frac{E}{D} \quad (2.2.61)$$

Cu acestea și funcția de transfer W_{11} este stabilită. Se obține valoarea funcției W_{12} prin următoarele etape :

$$\frac{\Delta H}{\Delta Q} = \frac{\Delta H}{\Delta n} \cdot \frac{\Delta n}{\Delta Q} = \frac{\eta \sqrt{D^2 + E^2}}{\rho g \bar{Q} K_Q} \quad (2.2.62)$$

și

$$\delta_H - \delta_Q = \arctg \frac{E}{D} - \arccos \frac{\rho L^4 \dots}{K_Q [(\dots)^2 + (\dots)^2]} \quad (2.2.63)$$

Pentru detalii referitor la δ_Q vezi relația (2.2.55).

Funcția W_{22} se stabilește astfel :

$$\frac{\Delta M_r}{\Delta Q} = \frac{\Delta M_r}{\Delta n} : \frac{\Delta Q}{\Delta n} = \frac{K_{M_r}}{K_Q}, \quad (2.2.64)$$

și :

$$\delta_{M_r} - \delta_Q = \frac{\pi}{2} + \theta_{ee} - \arccos \frac{\rho L^4 \dots}{K_Q [(\dots)^2 + (\dots)^2]}, \quad (2.2.65)$$

cu aceiași observație ca mai sus.

În fine, funcția de transfer solicitată prin (2.2.29) reiese din :

$$\frac{\Delta M_r}{\Delta H} = \frac{\Delta M_r}{\Delta n} : \frac{\Delta H}{\Delta n} = \frac{K_{M_r} \rho g \bar{Q}}{\eta (D^2 + E^2)^{1/2}}, \quad (2.2.66)$$

reprezentînd raportul amplitudinilor fluctuațiilor și defazajul unghiular

$$\delta_{M_r} - \delta_H = \frac{\pi}{2} + \theta_{ee} - \arctg \frac{E}{D} \quad (2.2.67)$$

Modelul structural energetic al pompei centrifuge prin funcțiile sale de transfer permite caracterizarea dinamică a pompei răspunsul dinamic la perturbații și analiza și sinteza sistemelor automate echipate cu astfel de mașini. Deși se uzează de o aproximație monodimensională rezultatele teoretice sînt justificate calitativ fizic.

2.3 Funcțiile de transfer energo-cavitaționale ale pompei

2.3.1 Definirea mărimilor caracteristice

Studiul curgerii monofazice nestaționare în conducte și rețele hidraulice prezintă unele dificultăți [27, 157]. Dacă în aceste sisteme sau instalații se mai adaugă și prezența unei a doua faze fenomenele ce au loc în mișcarea tranzitorie a ansamblului lichid-gaz sau lichid cu vaporii săi devin foarte complicate. Însăși curgerea staționară polifazică în conducte [156], rețele hidraulice sau elemente hidraulice este un subiect de cercetare actuală [132]. Cu atît mai mult funcționarea unei pompe în prezența unei a doua

faze vapori sau gaz prezintă aspecte foarte variate de la amestecul omogen la separarea bine definită a celor două faze /158,170/. Cercetarea comportării dinamice a turbomașinilor în funcționare bifazică sau cavitațională a fost studiată mai puțin datorită dificultăților ce apar în tratarea subiectului /43, 82, 106, 146/.

Importanța cunoașterii caracteristicilor dinamice ale turbomașinilor în regim bifazic și cavitațional și chiar în regim staționar a fost relevată direct și indirect de multe cercetări. Astfel pentru turbine influența conținutului de aer în apă asupra curbelor caracteristice cavitaționale a făcut obiectul unor cercetări ale autorului în cadrul unor colective și rezultatele sînt redată în lucrările /7, 8/. Pentru pompe lucrările /110, 132, 154/ pun în evidență nenumărate aspecte ale fenomenelor staționare și nestaționare bifazice, pentru transmisii hidrodinamice funcționarea bifazică este un mod obișnuit de reglare /18/, pentru frîne hidrodinamice aspecte de funcționare bifazică cu histerezis a curbelor caracteristice a fost pusă în evidență de autor /34/ cît și probleme de dinamica reglării frînelor /31/.

Se va analiza o pompă funcționînd în regim cavitațional în prezența unor mici fluctuații sau abateri de la starea medie de funcționare pentru a considera suficient de bună aproximația liniară în ceea ce privește legătura între mărimile caracteristice. Deoarece pompele centrifuge care funcționează în regimuri puternice cavitaționale sînt prevăzute cu un anterotor (inductor) axial care se prezintă similar cu o pompă axială o serie de considerente privind cavitația se vor referi la acesta. Astfel toate cercetările care se vor prezenta și rezultatele care se vor obține pentru un inductor axial al unei pompe centrifuge sînt valabile și pentru o pompă axială generalizînd în acest mod problemele și soluțiile.

Se vor considera cei mai importanți parametri a fi : diferența de presiune totală adimensională la trecerea fluidului prin pompă $\psi_0 - \psi_1$ (echivalent cu înălțimea de pompare), diferența debitului masic adimensionalizat între ieșirea și intrarea în pompă $m_0 - m_1$ și momentul hidrodinamic adimensionalizat preluat de pompă μ , pe de o parte și presiunea totală adimensională la intrare în pompă ψ_1 , debitul masic respectiv m_1 și viteza unghiulară adimensională ω pe de altă parte.

Din cauză că acești parametri fizici fluctuează în funcționare nestaționară sau tranzitorie a mașinii ei se pot exprima în formă complexă în cazul unei analize armonice. Ecuația dinamică linearizată a unei turbopompe în regim cavitațional este :

$$\begin{vmatrix} \tilde{\psi}_e \\ \tilde{m}_e \\ \tilde{\mu}_r \end{vmatrix} - \begin{vmatrix} \tilde{\psi}_i \\ \tilde{m}_i \end{vmatrix} = \begin{vmatrix} WP_{11} & WP_{12} & WP_{13} \\ WP_{21} & WP_{22} & WP_{23} \\ WP_{31} & WP_{32} & WP_{33} \end{vmatrix} \cdot \begin{vmatrix} \tilde{\psi}_i \\ \tilde{m}_i \\ \tilde{\nu} \end{vmatrix} \quad (2.3.1.1)$$

unde indicii i - semnifică intrarea și e - ieșirea din pompă. Dar,

$$\psi_{i,e} = \frac{P_{i,e}}{\frac{1}{2} \rho u_M^2} \quad (2.3.1.2)$$

iar P - presiunea totală este egală cu :

$$P = p + \rho g z + \rho \frac{v^2}{2} \quad (2.3.1.3)$$

unde p - este presiunea statică, z - cota, ρ - densitatea lichidului și v - viteza sa. De menționat că u_M este viteza tangențială a razei maxime a rotorului pentru regim mediu staționar.

De asemenea :

$$m_{i,e} = \frac{\rho Q_{i,e}}{\rho A_1 u_M} = \frac{Q_{i,e}}{A_1 u_M} \quad (2.3.1.4)$$

unde A_1 - este secțiunea de la intrarea în pompă, μ_r și ν se cunosc de la (2.1.5).

Matricea $\| WP_{jk} \|$ se va defini drept matricea de transfer energocavitațională a pompei. Termenii matricei de forma WP_{jk} sînt numere complexe dependente de frecvența de fluctuație (pulsatie), de amplitudinea fluctuației dac neliniaritatea turbomașinii trebuie luată în considerare, de starea (punctul) de funcționare a mașinii și desigur de gradul de cavitație sau curgere bifazică în mașină.

În cele ce urmează se vor defini termenii matricei și se face interpretarea și o primă evaluare a lor.

WP_{11} reprezintă raportul fluctuațiilor creșterii totale de presiune prin pompă la presiunea totală de la intrare. Acest termen se va numi amplificarea de presiune. Partea sa reală exprimă coeficientul sau factorul de amplificare dinamică de presiune a pompei. Pentru frecvențe foarte scăzute de fluctuație el se reduce la panta curbei înălțimii de pompare în funcție de presiunea de la intrare, ceea ce este echivalent cu tangenta la curba de cavitație $H - H_{sv}$, trasată pentru turație constantă. De ex. după unele măsurători ale autorului /56/, curba din fig. 2.3.1.1, se exemplifică modalitatea de determinare a coeficientului de amplificare de presiune din curbele de cavitație ale pompei. Fără cavitație sau curgere bifazică la frecvențe foarte scăzute de fluctuație partea reală a termenului

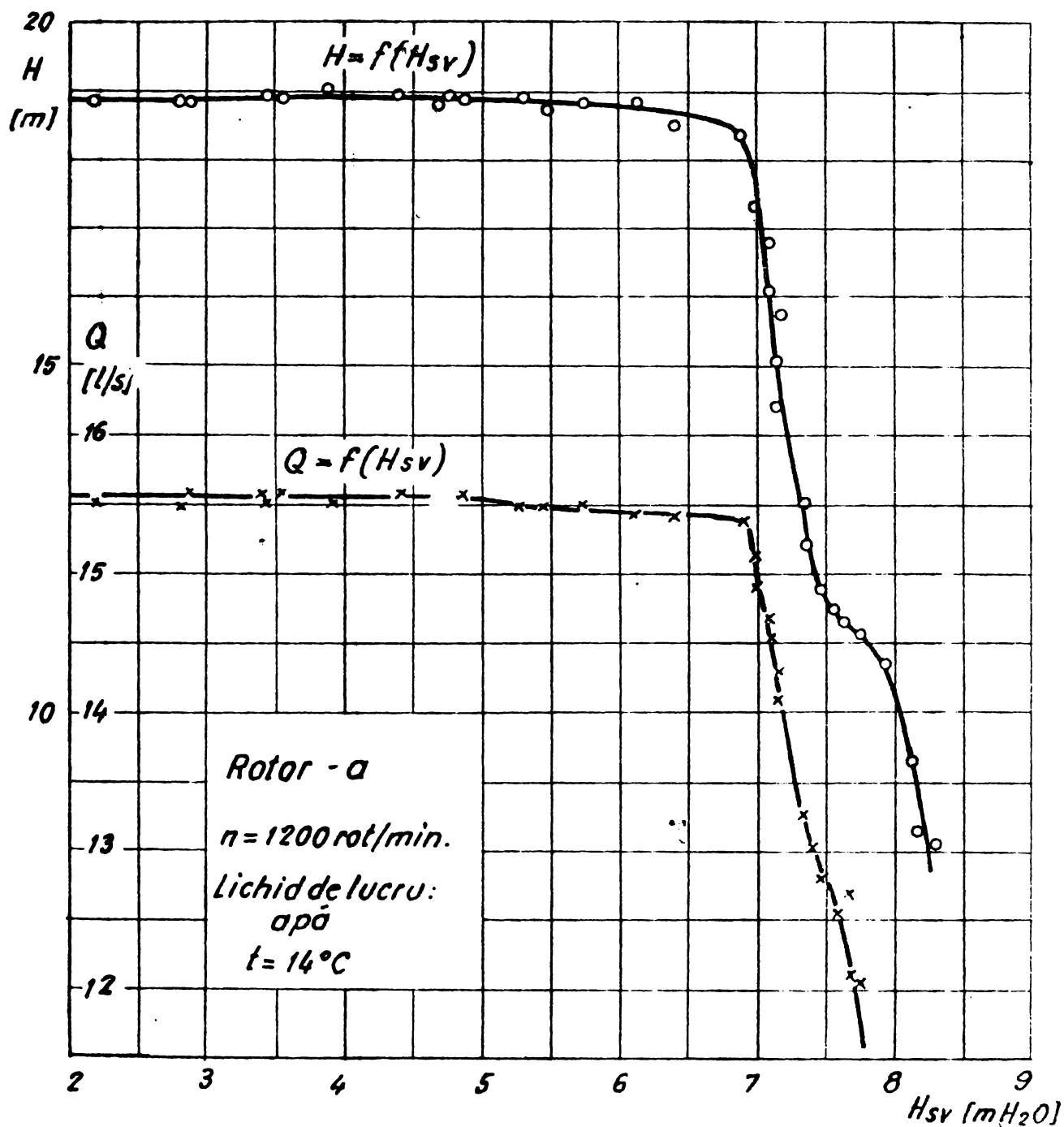


Fig. 23.1.1 Curbele caracteristice de cavitație ale pompei Brateș 250

susmenționat este nulă $Re \{ WP_{11} \} = 0$.

Partea imaginară a termenului de amplificarea dinamică a presiunii exprimă întârzierea în transmiterea informației referitor la presiune prin pompă.

WP_{12} concentrează raportul fluctuațiilor creșterii de presiune prin pompă față de debitul masic la intrarea în mașină. Prin analogie cu alte domenii ale hidrodinamicii și tehnicii /54, 55, 115/ se va introduce și aici o terminologie care să exprime adecvat fenomenele nestaționare considerate. Astfel termenul WP_{12} este impedanța inductivă a pompei luată cu semn schimbat. Partea reală $Re \{ WP_{12} \}$ oferă rezistența adimensională a pompei cu semnul negativ. Rezistența (dimensională) a pompei este :

$$R = - \frac{\Delta (P_e - P_i)}{\Delta m_i} = - \frac{\Delta (\rho g H)}{\Delta (\rho Q)_i} \quad (2.3.1.5)$$

La frecvențe scăzute rezistența R poate fi interpretată drept panta creșterii de presiune în raport cu debitul masic ceea ce este echivalent cu tangenta la curba caracteristică a pompei $H - Q$ în punctul respectiv. În formă adimensională :

$$\operatorname{Re} \{ WP_{12} \} = -R \frac{2 A_1}{u_{M1}} \quad (2.3.1.6)$$

Partea imaginară a termenului WP_{12} este analoagă cu un factor inerțial /43, 64/. Considerînd analogia cu ceea ce se întîmplă în electricitate cu o reactanță inductivă și punem în locul tensiunii (diferența de potențial), înălțimea de pompare (diferența de presiune totală) și pentru curentul electric debitul masic se poate scrie în complex :

$$\Delta(P_e - P_i) = -i f \cdot \Lambda \cdot \Delta(\rho Q_i) \quad (2.3.1.7)$$

unde $i = \sqrt{-1}$, frecvența redusă $f = \frac{\omega c}{u_M}$ în raport cu pasul paletelor rôtîrului $c = \frac{2\pi r_M}{z}$ și Λ - inertanța. Printr-o procedură similară cu (2.3.1.6) se obține inertanța adimensională

$$\operatorname{Im} \{ WP_{12} \} = -f \Lambda \frac{2 A_1}{u_{M1}} \quad (2.3.1.8)$$

Ecuția inertanței (2.3.1.7) se va demonstra riguros în cele ce urmează. Se va considera întîi cazul unor pereți solizi fixi și se va analiza ce se întîmplă cu ecuația de mișcare în ipoteza suprapunerii unor perturbații și de asemenea se va avea grijă de a trece de la presiunea statică la presiunea totală în rezultat.

Ecuția de mișcare cu neglijarea termenului masic gravitațional și vîscos este :

$$\rho \frac{d\vec{v}}{dt} = - \nabla p \quad (2.3.1.9)$$

Considerînd o mișcare monodimensională (2.3.1.9) se transformă în :

$$\rho \left(\frac{\partial v}{\partial t} + v \frac{\partial v}{\partial x} \right) = - \frac{\partial p}{\partial x} \quad (2.3.1.10)$$

Stiînd că în ipotezele din enunț :

$$P = p + \frac{1}{2} \rho v^2 \quad \text{și} \quad \frac{\partial P}{\partial x} = \frac{\partial}{\partial x} \left(p + \frac{\rho v^2}{2} \right) = \frac{\partial p}{\partial x} + \rho v \frac{\partial v}{\partial x} \quad (2.3.1.11)$$

introducînd (2.3.1.11) în (2.3.1.10) rezultă :

$$\rho \frac{\partial v}{\partial t} = - \frac{\partial P}{\partial x} \quad (2.3.1.12)$$

Presupunând că viteza este compusă dintr-o parte staționară și o fluctuație armonică se poate scrie :

$$v = \bar{v} + \tilde{v} = \bar{v} + \Delta v e^{i\omega t} \quad (2.3.1.13)$$

În această ecuație diferențele de fază în termenul ce exprimă perturbația sînt neglijate pentru diferite puncte ale elementului considerat (deși se putea introduce precum ecuația unei unde). Aceasta se justifică prin faptul că elementul hidraulic vizat, respectiv pompa este scurtă ca extindere în comparație cu lungimea de undă. Extinderea monodimensională a traiectoriei unei particule de lichid prin elementul considerat este cu mult mai mică decît un sfert din lungimea de undă.

Similar cu (2.3.1.13) pentru presiunea totală :

$$P = \bar{P} + \tilde{P} = \bar{P} + \Delta P e^{i\omega t} \quad (2.3.1.14)$$

Înlocuind (2.3.1.13) și (2.3.1.14) în (2.3.1.12) și separînd termenii dependenți de timp se obține :

$$i\omega \cdot \rho \cdot \Delta v = - \frac{d(\Delta P)}{dx} \quad (2.3.1.15)$$

Integrînd acum de-a-lungul lungimii pasajului considerat :

$$- \int_{x_1}^{x_2} d(\Delta P) = \int_{x_1}^{x_2} i\omega \cdot \rho \cdot \Delta v \, dx = i\omega \int_{x_1}^{x_2} \rho A \cdot \Delta v \frac{dx}{A} \quad (2.3.1.16)$$

De asemenea $\rho A \cdot \Delta v = \rho \cdot \Delta Q$ ce exprimă amplitudinea de fluctuație a debitului se poate considera constantă dacă elementul este mai scurt decît un sfert din lungimea de undă considerată pentru transmiterea perturbației și deci :

$$\Delta P_1 - \Delta P_2 = i\omega \rho A \cdot \Delta v \int_{x_1}^{x_2} \frac{dx}{A} = i\omega \rho \Delta Q \int_{x_1}^{x_2} \frac{dx}{A} \quad (2.3.1.17)$$

Se observă că în ipoteza că densitatea lichidului se va lua drept $\rho = \text{const.}$, rel. (2.3.1.17) este identică cu rel. (2.3.1.7) și că inertanța Λ definită mai înainte se leagă de inductanța definită acum $\int_{x_1}^{x_2} \frac{dx}{A}$ prin relația :

$$\Lambda = \frac{n z}{2 \pi} \int_{x_1}^{x_2} \frac{dx}{A} \quad (2.3.1.18)$$

și se măsoară în inversul produsului lungime și timp.

În concluzie se justifică alegerea relației (2.3.1.17) pentru definirea inertanței.

Acum se va trata cazul unor pereți (limite solide) în mișcare precum se prezintă situația în cadrul rotorilor turbomășinilor.

Ecuatia de mișcare pentru mișcare relativă în turbomașini /11, 15, 35/ :

$$\frac{\partial \vec{w}}{\partial t} + \frac{1}{\rho} \nabla P_R = \vec{w} \times (\text{rot } \vec{w} + 2 \vec{n}) + \vec{f} \quad (2.3.1.19)$$

unde presiunea față de un reper relativ totală P_R este exprimată :

$$P_R = p + \frac{1}{2} \rho (w^2 - u^2) = p + \frac{1}{2} \rho [w^2 - (\vec{n} \times \vec{r})^2] \quad (2.3.1.20)$$

Presupunînd un număr ridicat de palete cu canale înguste mișcarea monodimensională cu viteze \vec{w} ^{este} obligată să urmeze configurația pasajelor de lungime și direcție \vec{l} . Atunci vectorul $\vec{w} \times (\text{rot } \vec{w} + 2\vec{n})$ este perpendicular pe \vec{w} și deci nu are componentă în direcția lui \vec{l} . Fără forțe vîscoase, forțele masice \vec{f} sînt perpendiculare pe suprafața paletelor și de asemenea nu au componentă în direcția \vec{l} . De aceea componenta ecuației (2.3.1.19) în direcția \vec{l} este simplă :

$$\rho \frac{\partial_R w}{\partial t} = - \frac{\partial P_R}{\partial l} \quad (2.3.1.21)$$

Cu aceleași aprecieri asupra vitezei relative și presiunii totale în raport cu un reper relativ, adică :

$$w = \bar{w} + \tilde{w} = \bar{w} + \Delta w e^{i\omega t} \quad (2.3.1.22)$$

și

$$P_R = \bar{P}_R + \tilde{P}_R = \bar{P}_R + \Delta P_R e^{i\omega t} \quad (2.3.1.23)$$

Substituînd (2.3.1.22) și (2.3.1.23) în (2.3.1.21) și reținînd numai termenii dependenți de timp rezultă :

$$i \omega \rho \Delta w = - \frac{\partial (\Delta P_R)}{\partial l} \quad (2.3.1.24)$$

Integrînd de-a lungul canalului între două palete rotorice se obține :

$$\begin{aligned} \Delta P_{R_1} - \Delta P_{R_2} &= \int_{l_1}^{l_2} i \omega A \Delta w \rho \frac{dl}{A} = i \omega A \Delta w \rho \int_{l_1}^{l_2} \frac{dl}{A} = \\ &= i \omega \cdot \rho \cdot \Delta Q \int_{l_1}^{l_2} \frac{dl}{A} \end{aligned} \quad (2.3.1.25)$$

Relația obținută este de asemenea conform ipotezei (2.3.1.7)†.

Cazul unui sistem sau mașină ce conține atât treceri în mișcare absolută cît și pasaje în mișcare relativă pentru fluidele ce trec prin ea va cere ca ecuația (2.3.1.25) să fie transcrisă în termeni corespunzători sistemului absolut de referință mai concret presiuni și viteze absolute în cazul de față. Pentru viteze componente perturbată se prezintă la fel fie că e vorba de mișcarea rela-

tivă sau absolută a curentului lichid, deoarece :

$$\vec{v} = \vec{w} + \vec{u} = \vec{w} + \vec{n} \times \vec{r} \quad (2.3.1.26)$$

În ipoteza că $\vec{n} = \text{const.}$ există următoarele relații :

$$\vec{v} = \vec{v} + \vec{v} = \vec{v} + \Delta \vec{v} e^{i\omega t} = \vec{w} + \Delta \vec{w} e^{i\omega t} + \vec{n} \times \vec{r} \quad (2.3.1.27)$$

Eliminând egalitatea evidentă (2.3.1.26) ca parte din (2.3.1.27) rămâne că :

$$\Delta \vec{v} = \Delta \vec{w} \quad (2.3.1.28)$$

Pentru presiuni trebuie să stabilim legătura între presiunea totală absolută și presiunea totală față de un reper relativ. Astfel :

$$\begin{aligned} P &= p + \frac{1}{2} \rho (\vec{w} + \vec{n} \times \vec{r})^2 = P_R - \frac{1}{2} \rho [w^2 - (\vec{n} \times \vec{r})^2] + \frac{1}{2} \rho [\vec{w} + \\ &+ (\vec{n} \times \vec{r})]^2 = P_R + \frac{1}{2} \rho [2 \vec{w}(\vec{n} \times \vec{r}) + 2(\vec{n} \times \vec{r})^2] = \\ &= P_R + \rho (u w_u + u^2) \end{aligned} \quad (2.3.1.29)$$

unde s-a folosit (2.3.1.20) și că $u = n r$. w_u reprezintă componenta tangențială a vitezei relative. Dezvoltând (2.3.1.28) în termeni medii staționari și componente de fluctuație se obține :

$$\bar{P} + \Delta P e^{i\omega t} = \bar{P}_R + \Delta P_R e^{i\omega t} + \rho [u(\bar{w}_u + \Delta w_u e^{i\omega t}) + u^2] \quad (2.3.1.30)$$

de unde componentele de perturbație oferă legătura :

$$\Delta P = \Delta P_R + \rho u \cdot \Delta w_u = \Delta P_R + \rho u \Delta v_u \quad (2.3.1.31)$$

Substituind (2.3.1.31) și (2.3.1.28) în (2.3.1.25) rezultă :

$$\Delta P_1 - \rho u_1 \cdot \Delta v_{u1} - \Delta P_2 + \rho u_2 \Delta v_{u2} = i\omega \Lambda \Delta v \rho \int_{\Lambda} \frac{r^2 dr}{r} \quad (2.3.1.32)$$

Relația obținută nu se mai identifică cu relația de definiție (2.3.1.7) decât în ipoteza particulară unor palete cu intrarea și ieșirea radială a rotorului de pompă. Deci ecuația de definiție (2.3.1.7) este o bună aproximație pentru majoritatea cazurilor.

În finalul acestor cazuri se va analiza cum este influențată inertanța pompei de fluctuațiile de viteză unghiulară care pot fi generate în alt mod de excitație a mașinii. Astfel se consideră :

$$n = \bar{n} + \tilde{n} = \bar{n} + \Delta n e^{i\omega t} \quad (2.3.1.33)$$

și binecunoscuta relație de compunere a vitezelor

$$\vec{v} = \vec{w} + \vec{u} = \vec{w} + \vec{n} \times \vec{r} \quad (2.3.1.26)$$

Inlocuind cu forma perturbată aceste mărimi :

$$\vec{v} + \Delta \vec{v} e^{i\omega t} = \vec{w} + \vec{n} \times \vec{r} + \Delta \vec{n} \times \vec{r} e^{i\omega t} \quad (2.3.1.35)$$

De aici rezultă :

$$\Delta \vec{v} = \Delta \vec{n} \times \vec{r} = \Delta \vec{u} \quad (2.3.1.36)$$

și

$$P = P_R + \rho (u w_u + u^2) \quad (2.3.1.37)$$

De aici prin dezvoltare se obține :

$$P + \Delta P e^{i\omega t} = \bar{P}_R + \Delta P_R e^{i\omega t} + \rho (w_u r \bar{n} + w_u r \cdot \Delta n e^{i\omega t} + r^2 \bar{n}^2 + 2 r^2 \bar{n} \cdot \Delta n e^{i\omega t} + r^2 \cdot \Delta n^2 \cdot e^{2i\omega t}) \quad (2.3.1.38)$$

Neglijind $r^2 \cdot \Delta n^2 e^{2i\omega t} \cong 0$ și cu condiția (2.3.1.37) rezultă :

$$\Delta P \cong \Delta P_R + \rho \cdot r \cdot \Delta n (w_u + 2\bar{u})$$

Acum relația finală a inertanței ia forma :

$$\begin{aligned} \Delta P_1 - \rho r_1 \Delta n (w_{u_1} + 2\bar{u}_1) - \Delta P_2 + \rho r_2 \Delta n (w_{u_2} + 2\bar{u}_2) = \\ = i\omega \rho A \cdot \Delta w \int_{\ell_1}^{\ell_2} \frac{d\ell}{A} \end{aligned} \quad (2.3.1.39)$$

sau :

$$\Delta P_1 - \Delta P_2 - \rho \left[\Delta u_1 (w_{u_1} + 2\bar{u}_1) - \Delta u_2 (w_{u_2} + 2\bar{u}_2) \right] = i\omega \rho \Delta Q \int_{\ell_1}^{\ell_2} \frac{d\ell}{A} \quad (2.3.1.40)$$

Sub această formă relația obținută se reduce la (2.3.1.7) în una din următoarele condiții :

$$\Delta u_1 (w_{u_1} + 2\bar{u}_1) = \Delta u_2 (w_{u_2} + 2\bar{u}_2) \quad (2.3.1.41)$$

sau

$$w_{u_1} = -2\bar{u}_1 \quad \text{și} \quad w_{u_2} = -2\bar{u}_2 \quad (2.3.1.42)$$

Deși în cazuri mai complicate cu diferite moduri de excitație rel. (2.3.1.7) nu este decât în cazuri particulare satisfăcută se va considera în continuare că ea este valabilă pentru pompele a căror dinamică se va studia.

Termenul WP_{13} corelează fluctuațiile diferenței de presiuni totale cu fluctuațiile vitezei unghiulare. Partea reală a termenului WP_{13} la frecvențe scăzute de fluctuație a turației poate fi obținută din caracteristica statică a pompei $H - n$. Această curbă este în mod obișnuit reprezentată pentru debitul masic la aspirație

și înălțimea de aspirație ~~constante~~ (valori constante pentru un punct dat). Partea imaginară a termenului WP_{13} arată întârzierea pompei utilizată ca un traductor de turație - înălțime de pompare (ceea ce se folosește uneori în tehnica de măsură).

Funcția de transfer WP_{21} semnifică "complezanța" adimensională. Complezanța exprimă raportul fluctuațiilor diferenței debitelor masice de la ieșire minus cele de la intrare împărțite la fluctuația presiunii de la intrarea în pompă. Partea reală a funcției WP_{21} poate fi definită drept compactitatea mașinei și este foarte mică sau zero în regimuri energetice și la frecvențe scăzute. Partea imaginară este complezanța propriu zisă și poate fi definită prin analogie cu elasticitatea, similară cu inertanța amintită mai înainte. Astfel în analogie cu electricitatea pentru o capacitate pentru oscilații sinusoidale de presiune și debit volumic de lichid există :

$$\Delta(Q_e - Q_i) = -1 \omega C \cdot \Delta P_1 \quad (2.3.1.43)$$

unde C - este complezanța propriu zisă. Astfel încât :

$$\text{Im} \{ WP_{21} \} = - \omega C \frac{u_M^2 \rho}{2 c A_1} = - X C_* \quad (2.3.1.44)$$

pentru a deveni complezanță adimensională.

WP_{22} arată amplificarea debitului masic realizată de pompă. Partea reală și imaginară au sens fizic numai în regimuri cavitaționale sau bifazice și au valori semnificative numai la frecvențe ridicate. Pe baza unui raționament *euristic* se pare că este posibil a introduce similar cu complezanța (partea imaginară a termenului WP_{21})

$$\text{Im} \{ WP_{22} \} = - \omega B \quad (2.3.1.45)$$

Funcția de transfer WP_{23} explică amplificarea și întârzierea fluctuațiilor diferenței debitului masic prin pompă raportată la fluctuațiile vitezei unghiulare. Acest termen traduce viteza unghiulară în debite în regimuri nestaționare.

În fine funcțiile de transfer WP_{31} ; WP_{32} și WP_{33} oferă amplificarea și întârzierea unghiulară a parametrilor de intrare presiune, debit masic și turație față de momentul de torziune solicitat de pompă în funcționarea sa.

Dacă compresibilitatea lichidului ar fi foarte mică și rigiditatea structurii solide a pompei foarte mare atunci WP_{21} ar fi zero în funcționarea energetică a pompei și WP_{21} cu WP_{22} ar fi nulă în absența cavitației sau curgerii bifazice sau pentru frecvențe de

fluctuație scăzută a parametrilor. Toate părțile imaginare ale funcțiilor de transfer sînt zero în funcționare staționară sau pentru frecvențe scăzute de fluctuație a parametrilor. Dimensiunea matricii de transfer din rel. (2.3.1.1) poate fi mărită prin incorporarea și a altor mărimi fizice ce pot să fluctueze în mod independent. De asemenea se face observația că în unele turbomașini (sau aplicații ale lor)° fluctuație precum ar fi vitezei unghiulare poate să fie un efect pasiv adică un răspuns la încărcarea fluctuantă a paletelor rotorice. În alte situații, cum este cazul și al rachetelor, pompa este antrenată de o turbină acționată de un fluid astfel încît interacțiuni dinamice ale acestor elemente pot să fie prezente. În orice caz elementele matricii de transfer care vor caracteriza astfel de situații trebuie să conțină într-o formă sau alta proprietățile specifice ale lanțului de elemente mecanice ce preced pompa pînă la primul element, mașină sau motor cu părți mecanice în mișcare.

Pe baza celor prezentate se poate trece la dezvoltarea unor modele teoretice. Se va acorda o atenție sporită regimurilor cavitaționale și se va încerca deducerea unor funcții de transfer mai exacte pentru aceste regimuri. Se va încerca evitarea introducerii a prea multe ipoteze în caracterizarea fenomenelor și se va apela mai mult la observații vizuale ale curenților nestaționari cavitaționali prin pompă urmăriți în timpul experiențelor efectuate pe diferite instalații experimentale care au sugerat o serie de deducții teoretice.

Se vor studia și dezvolta relații cantitative pentru complexitatea C și factorul amplificării debitului masic care sînt elemente importante în pompele ce cavitează.

Pompele hidrodinamice în regimuri cavitaționale nestaționare, s-a observat vizual că, dezvoltă în special două forme de cavitație și anume sub forma unui nor de bule în curent și sub forma unei zone cavitaționale atașate paletei, ambele concomitent cu cavitația de rost. În capitolele ce urmează se va prezenta un model pentru răspunsul dinamic a unui curent cu nori de bule cavitaționale la trecerea printr-o rețea de palete. S-a observat că fluctuațiile volumice ale părții ce cavitează în acest curent se datorează nu numai fluctuațiilor de presiune dar și din cauza fluctuațiilor unghiului de incidență al paletei care cauzează fluctuații în cavitația atașată paletei și asupra debitului producției de bule cavitaționale în zona muchiei de atac a paletei. Ultimul efect simțit cauzează unde cinematice care interacționează...

undele dinamice cauzate de fluctuațiile de presiune. Aceste modele teoretice permit unele explicații cu privire la fenomenele de auto-oscilații ce apar în pompele ce cavitează. Fenomenul de auto-oscilație cavitațională modifică comportarea pompei schimbând-o dintr-un element esențial pasiv dinamic în absența cavitației într-un element progresiv tot mai activ odată cu extinderea cavitației. Deși pompa se găsește într-un domeniu de oscilații mici și linearizarea este variabilă este cu greu plauzibilă ipoteza că neliniaritățile ar fi singurele implicate în explicarea fenomenelor observate.

2.3.2 Modelul mișcării potențiale

O parte din matricea de transfer definită în cap. 2.3.1, referitor la o pompă hidrodinamică funcționând în regim cavitațional, este posibil a fi stabilită cu ajutorul unui model bidimensional, considerând rotorul echivalent cu rețele de profile în mișcare, într-un fluid ideal, în ipoteza unei mișcări potențiale, denumit modelul mișcării potențiale. Se va presupune un inductor de pompă centrifugă sau o pompă axială deci o rețea de profile axiale și se va corela presiunile și vitezele oscilatorii amonte și aval de rotor și se va considera că sistemul de cavități atașate profilului (paletelor) participă dinamic împreună cu mișcarea pulsatorie de banc. Se deduce mărimile complexe complezanța și amplificarea debitului marelui care de fapt reprezintă un prim efect al cavității fluctuante în cadrul rețelei de profile. Analiza ce va urma este făcută pe baza lucrărilor /2, 43, 102/ și este fondată pe o teorie linearizată a jeturilor libere. Modelul conceput este cuasi-static spre deosebire de majoritatea modelelor statice analizate de către /69, 73, 121, 140/ în care complezanța datorată cavitației unei pompe a fost atribuită pur și simplu acțiunii unui rezervor sub presiune și modificările pe care le cauzează acesta se situează de-a lungul curbelor caracteristice ale pompei. Acum se va reliefa nestaționaritatea incidentă cavității.

Se consideră o mișcare bidimensională nestaționară în jurul unei rețele de profile în regim de pompă precum în fig. 2.3.2.1. Se presupune că paletele rețelei sînt plăci plane, semi-infinite în lungime cu un unghi de instalare λ . Unghiul de incidență α se va presupune a fi mic, cavitata se presupune plată (subțire) astfel încît se poate reprezenta precum o tăietură de-a lungul paletei. Curenții lichid se presupune incompresibil, nevîscos și irrotational. Înaintea amonte de rotor (rețea) există numai o componentă a vitezei fluctuante care se îndreaptă spre rotor, notată cu $\Delta v_{M1} e^{i\omega t}$ și fără fluctuații de viteză tangențială. Înaintea aval de rotor

(rețea) curentul trebuie să fie paralel cu paletetele și pentru acest motiv ambele componente ale vitezei, cea axială $\Delta v_m 2 e^{i\omega t}$ și cea tangențială $\Delta v_u 2 e^{i\omega t}$, vor avea fluctuații. Intreaga rețea și sistem hidraulic vor oscila la aceeași frecvență.

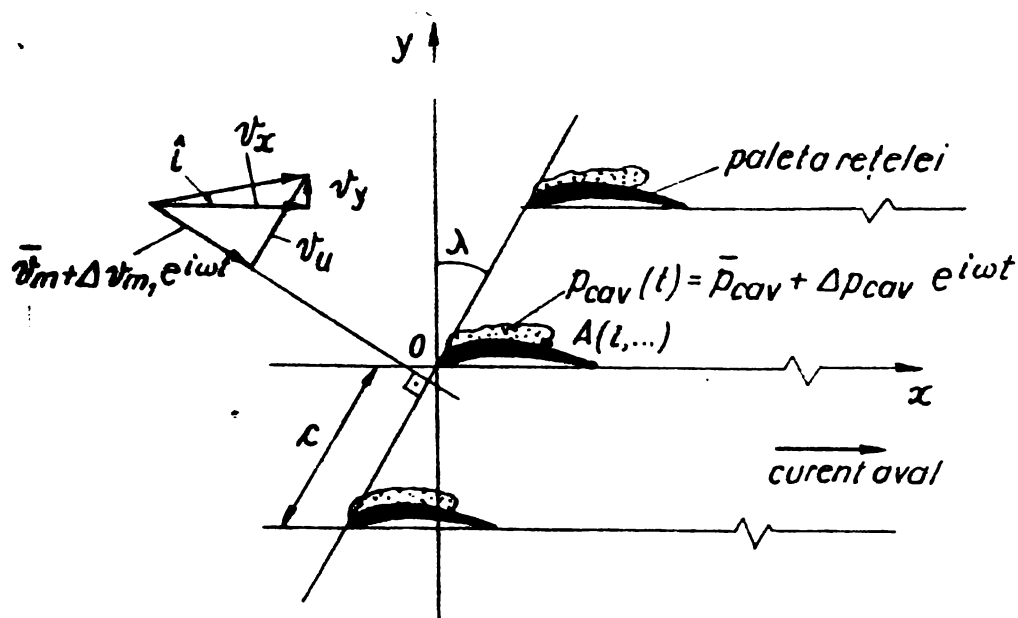


Fig. 232.1 Curgere nestaționară printr-o rețea de profile axiale, în regim cavitațional

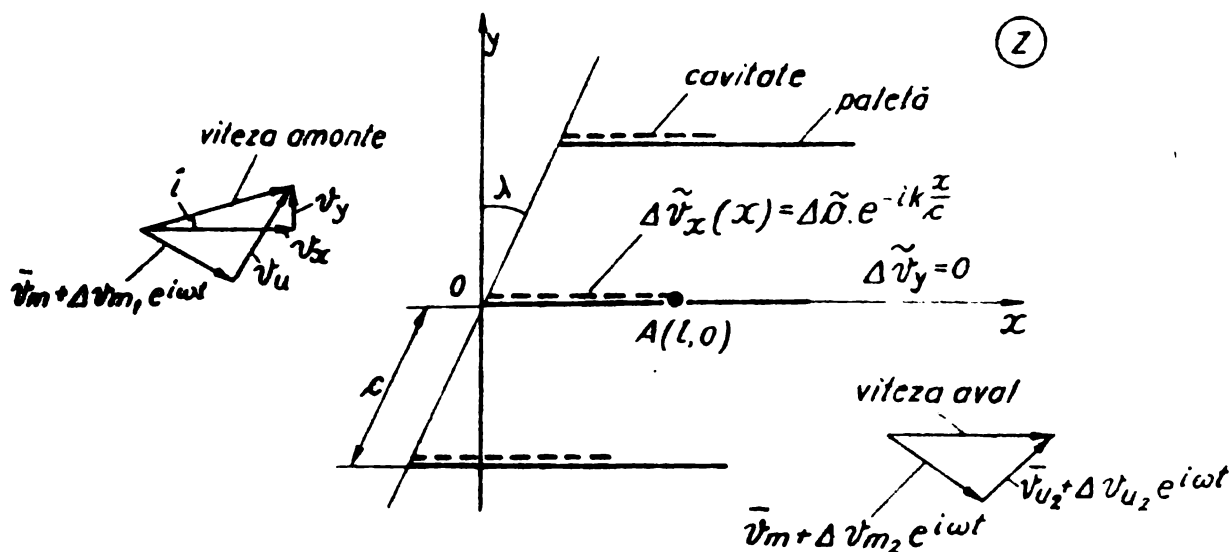


Fig. 232.2 Modelul idealizat în planul Z împreună cu condițiile la limită.

Pentru o perturbație dată a vitezei, presiunea se va modifica în toate punctele, respectiv și la infinit amonte și aval, cu valorile $\Delta p_1 e^{i\omega t}$ și $\Delta p_2 e^{i\omega t}$. În acest capitol se va determina matricea de transfer pentru modelul mișcării potențiale $\|M\|$ cu expresie :

$$\left\| \begin{array}{c} \tilde{p}_2 - \tilde{p}_1 \\ \tilde{v}_m 2 - \tilde{v}_m 1 \end{array} \right\| = \left\| \begin{array}{cc} WM_{11} & WM_{12} \\ WM_{21} & WM_{22} \end{array} \right\| \cdot \left\| \begin{array}{c} \tilde{p}_1 \\ \tilde{v}_m 1 \end{array} \right\|, \quad (2.3.2.1)$$

care la o analiză mai atentă constituie o parte a matricii $\|W\|$. Trebuie remarcată micile deosebiri ce apar referitor la presiunea totală și statică și debitul masic respectiv viteză și de asemenea faptul că matricea $\|WM\|$ este dimensională. Punctul terminus al cavității pe paletă se va considera fix. Această presupunere artificială va face separabile problemele staționare și nestaționare și este justificată numai pentru că în tratarea de față este utilă numai variația volumului golului datorită cavității și nu comportarea locală a variației lungimii cavității.

Se vor nota componentele vitezei în direcția X și Y cu v_x și cu v_y , unde

$$v_x = \bar{v}_{x_\infty} + \Delta \tilde{v}_x \quad \text{și} \quad \frac{|\Delta \tilde{v}_x|}{\bar{v}_{x_\infty}}, \frac{|\Delta \tilde{v}_y|}{\bar{v}_{x_\infty}} \ll 1.$$

Aceasta înseamnă că pe cavitata din rețea ecuația lui Euler linearizată oferă :

$$\frac{\partial (\Delta \tilde{v}_x)}{\partial t} + \bar{v}_{x_\infty} \frac{\partial (\Delta \tilde{v}_x)}{\partial x} = 0, \quad (2.3.2.2)$$

din cauză că \bar{v}_x este constant și în spațiu și în timp. Scădând fluctuația vitezei perturbată pe cavitata :

$$\Delta \tilde{v}_x = \Delta \bar{v}_{x \text{ cav}} + \Delta \tilde{v}_{\text{cav}}(x) e^{i\omega t}, \quad (2.3.2.3)$$

se găsește că

$$\Delta \tilde{v}_{\text{cav}} = \Delta \tilde{0} \cdot e^{-ik \frac{x}{c}}.$$

Aici $k = \frac{\omega_0}{v_x}$ este o frecvență redusă și $\Delta \tilde{0}$ - o constantă care poate fi determinată din soluție. De-a lungul paletai în orice zonei de cavitata $\Delta \tilde{v}_y$ este zero. Planul linearizat z este prezentat în fig.2.3.2.2 cu condițiile la limită corespunzătoare.

Viteza de perturbație complexă $w = v_x - j v_y$ este o funcție analitică de $z = x + jy$ la fiecare moment, prin condițiile de incompresibilitate și irotaționalitate. Pentru a găsi soluțiile pentru w este convenabil a transforma conform planul linearizat z în semiplanul superior al unui plan auxiliar prin următoarea transformare indicată de [2, 149, 167] :

$$z = \frac{c}{2\pi} \left[e^{-j\lambda} \ln \left(1 - \frac{\xi}{\xi_1} \right) + e^{j\lambda} \ln \left(1 - \frac{\xi}{\xi_1} \right) \right] \quad (2.3.2.4)$$

în care punctul de bifurcație $\xi_1 = \sqrt{c} e^{j(\pi/2-\lambda)}$ corespunde punctului de la infinit amonte în planul z . Notînd :

$$w = \bar{w}(\xi) + \Delta \tilde{w} = \bar{w}(\xi) + \Delta w(\xi) e^{i\omega t}, \quad (2.3.2.5)$$

unde

$$\Delta \tilde{w} = \Delta \tilde{v} = \Delta \tilde{v}_x + j \Delta \tilde{v}_y, \quad (2.3.2.6)$$

se pot stabili condițiile la limită pentru $\Delta \tilde{v}_x$ și $\Delta \tilde{v}_y$ în planul ξ , precum se vede în fig. 2.3.2.3.

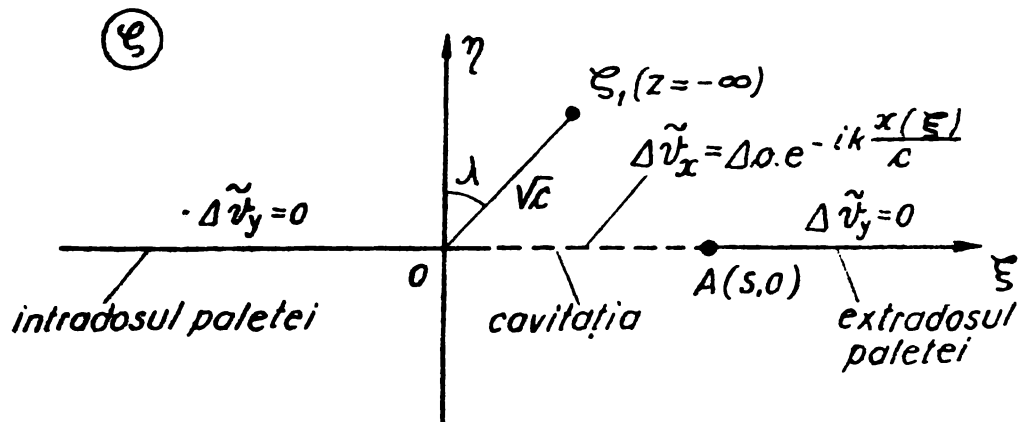


Fig. 232.3 Planul transformării conforme cu condițiile de limită.

Acestea sînt :

$$\begin{aligned} \Delta \tilde{v}_y &= 0, & \xi < 0, & \eta = 0, \\ \Delta \tilde{v}_x &= \Delta o e^{-ik \frac{x(\xi)}{c}}, & 0 < \xi < s, & \eta = 0, \\ \Delta \tilde{v}_y &= 0, & \xi > s, & \eta = 0, \end{aligned} \quad (2.3.2.7)$$

unde, după [167],

$$\frac{x(\xi)}{c} = \frac{1}{\pi} \left\{ \frac{\cos \lambda}{2} \ln \left(1 - \frac{\xi}{\sqrt{c}} \sin \lambda + \frac{\xi^2}{c} \right) - \sin \lambda \cdot \text{arc tg} \left(\frac{\xi \cos \lambda}{\sqrt{c} - \sin \lambda} \right) \right\} \quad (2.3.2.8)$$

Soluția acestei probleme la limită de tip mixt enunțată de Hilbert, se găsește în [38] după Muskhelshvili și este :

$$\begin{aligned} \Delta \tilde{w}(\xi) &= \frac{\Delta \tilde{o}}{\pi \sqrt{\xi(\xi-s)}} \int_0^s \frac{e^{-ik \frac{x(\xi)}{c}}}{\sqrt{\xi(s-\xi)}} \frac{d\xi}{\xi-\xi} + \\ &+ \frac{\Delta \tilde{A} + \Delta \tilde{B}}{\sqrt{\xi(\xi-s)}} \end{aligned} \quad (2.3.2.9)$$

Aici $\Delta \tilde{o}$, $\Delta \tilde{A}$ și $\Delta \tilde{B}$ sînt constante reale în spațiu, complexe în timp, ce se vor determina. S este dat din ecuația (2.3.2.3) prin substituția $\xi = s$ și $x(\xi) = 1$. Următoarele trei condiții

pentru determinarea lui $\Delta\tilde{o}, \Delta\tilde{A}$ și $\Delta\tilde{B}$ sînt de forma:

1) la infinit amonte, adică atunci cînd $\xi \rightarrow \xi_1$,

$$\Delta\tilde{w} = \Delta\tilde{v}_{m1} \cos \lambda + j \Delta\tilde{v}_{m1} \sin \lambda, \quad (2.3.2.10)$$

de unde, ecuația (2.3.2.8), ne va conduce la :

$$\frac{\Delta\tilde{o}}{\sqrt{s_1(s_1-s)}} \int_0^s \sqrt{\xi(s-\xi)} e^{-ik\frac{x(\xi)}{c}} \frac{d\xi}{\xi - \xi_1} + \frac{\Delta\tilde{A} \xi_1 + \Delta\tilde{B}}{\sqrt{s_1(s_1-s)}} = \Delta\tilde{v}_{m1} (\cos \lambda + j \sin \lambda); \quad (2.3.2.11)$$

2) la infinit aval adică dacă $|\xi| \rightarrow \infty$,

$$\Delta\tilde{w} = \Delta\tilde{v}_{m2} \cos \lambda + \Delta\tilde{v}_{u2} \sin \lambda + j(\Delta\tilde{v}_{m2} \sin \lambda - \Delta\tilde{v}_{u2} \cos \lambda); \quad (2.3.12)$$

de unde, ecuația (2.3.2.8), ne va conduce la :

$$\Delta\tilde{A} = \Delta\tilde{v}_{m2} \cos \lambda + \Delta\tilde{v}_{u2} \sin \lambda + j(\Delta\tilde{v}_{m2} \sin \lambda - \Delta\tilde{v}_{u2} \cos \lambda); \quad (2.3.13)$$

3) de asemenea la suficientă distanță ^{în} aval de rețea curentul trebuie să fie paralel cu paletetele, astfel încît :

$$\Delta\tilde{v}_{m2} \sin \lambda = \Delta\tilde{v}_{u2} \cos \lambda. \quad (2.3.2.14)$$

Cele trei condiții de mai sus definesc (determină) unic pe $\Delta\tilde{o}$, $\Delta\tilde{A}$, $\Delta\tilde{B}$, care vor dobîndi expresiile :

$$\Delta\tilde{A} = \frac{\Delta\tilde{v}_{m2}}{\cos \lambda},$$

$$\Delta\tilde{o} = o_1 \Delta\tilde{v}_{m1} + o_2 \Delta\tilde{v}_{m2}, \quad (2.3.2.15)$$

$$\Delta\tilde{B} = \sqrt{c} (B_1 \Delta\tilde{v}_{m1} + B_2 \Delta\tilde{v}_{m2}),$$

unde o_1, o_2, B_1, B_2 sînt constante dependente de frecvență.

Acum se poate afla legătura între $(\tilde{p}_2 - \tilde{p}_1, \tilde{v}_{m2} - \tilde{v}_{m1})$ și $(\tilde{p}_1, \tilde{v}_{m1})$. Dacă $x \rightarrow -\infty$, ecuația de mișcare a lui Euler dă :

$$p \rightarrow -i\omega\rho \Delta\tilde{v}_{x1} x e^{i\omega t} + \Delta\tilde{p}_1 e^{i\omega t} + \bar{p}_1, \quad (2.3.2.16)$$

unde p_1 este presiunea medie staționară la infinit amonte și $\Delta\tilde{v}_{x1} = \Delta\tilde{v}_{m1} \cos \lambda$. Similar dacă $x \rightarrow +\infty$, se poate scrie :

$$p \rightarrow -i\omega\rho \Delta\tilde{v}_{x2} x e^{i\omega t} + \Delta\tilde{p}_2 e^{i\omega t} + \bar{p}_2, \quad (2.3.2.17)$$

unde $\Delta \tilde{v}_x 2 = \Delta \tilde{v}_m 2 \cos \lambda + \Delta \tilde{v}_u 2 \sin \lambda$. De asemenea, scriind componenta vitezei în direcția x prin $\bar{v}_x + \Delta \tilde{v}_x e^{i\omega t}$, se poate verifica următoarea ecuație linearizată de mișcare

$$\frac{\partial}{\partial t}(\bar{v}_x + \Delta \tilde{v}_x e^{i\omega t}) + \frac{\partial}{\partial x} \left(\frac{1}{2} \bar{v}_x^2 + \bar{v}_x \cdot \Delta \tilde{v}_x e^{i\omega t} \right) = - \frac{1}{\rho} \frac{\partial p}{\partial x} \quad (2.3.2.18)$$

Extrăgând doar partea nestaționară se poate scrie :

$$i \omega \Delta \tilde{v}_x + \frac{\partial}{\partial x} (\bar{v}_x \cdot \Delta \tilde{v}_x) = - \frac{1}{\rho} \frac{\partial p}{\partial x} \quad (2.3.2.19)$$

Integrând această ecuație de la $(-\infty, 0)$ la $(0^+, 0^+)$ în complex se ajunge la

$$\bar{v}_x \left(\sqrt{1 + \sigma} \cdot \Delta \tilde{v}_0 - \Delta \tilde{v}_m 1 \cos \lambda \right) - i \omega \int_{-\infty}^0 \frac{d \Delta \tilde{v}_x(x, 0)}{dx} dx = \frac{1}{\rho} (\Delta \tilde{p}_{cav} - \Delta \tilde{p}_1) \quad (2.3.2.20)$$

Ecuația (2.3.2.16) a fost folosită la integrare prin părți a rel. (2.3.2.20). Aici $\Delta \tilde{p}_{cav}$ este presiunea oscilatorie pe cavitate și σ este coeficientul de cavitație definit prin

$$\sigma = \sigma_{inst} = \frac{\bar{p}_1 - \bar{p}_{cav}}{\frac{1}{2} \bar{v}_x^2} \quad (2.3.2.21)$$

unde \bar{p}_{cav} este presiunea medie staționară pe (în) cavitate.

În mod similar infinitul amonte și aval se pot corela prin :

$$\bar{v}_x \left[(1 - \operatorname{tg} \lambda \operatorname{tg} \lambda) \Delta \tilde{v}_m 2 / \cos \lambda - \Delta \tilde{v}_m 1 \cos \lambda \right] - i \omega \int_{-\infty}^0 \frac{d \Delta \tilde{v}_x(x, 0)}{dx} dx - i \omega \int_0^{\infty} \frac{d \Delta \tilde{v}_x(x, 0)}{dx} dx = - \frac{1}{\rho} (\Delta \tilde{p}_2 - \Delta \tilde{p}_1) \quad (2.3.2.22)$$

Urmând indicația dată în /lol/, integralele se pot pune în forma următoare :

$$\int_{-\infty}^0 \frac{d \Delta \tilde{v}_x(x, 0)}{dx} dx = c(G_1 \Delta \tilde{v}_m 1 + G_2 \Delta \tilde{v}_m 2), \quad (2.3.2.23)$$

$$\int_0^{\infty} \frac{d \Delta \tilde{v}_x(x, 0)}{dx} dx = c(H_1 \Delta \tilde{v}_m 1 + H_2 \Delta \tilde{v}_m 2), \quad (2.3.2.24)$$

unde G_1, G_2, H_1 și H_2 sînt constante dependente de frecvență. Folosind (2.3.2.15), (2.3.2.23) și (2.3.2.24) se pot rescrie ecuațiile (2.3.2.20) și (2.3.2.22) în forma :

$$\|\Psi\| = \|W_m\| \cdot \|N\| + \|\Psi_{cav}\|, \quad (2.3.2.25)$$

unde

$$\|\Psi\| = \frac{1}{\rho \bar{v}_x^2} \begin{vmatrix} \Delta \tilde{p}_1 \\ \Delta \tilde{p}_2 \end{vmatrix}; \quad \|N\| = \frac{1}{\bar{v}_x} \begin{vmatrix} \Delta \tilde{v}_{m1} \\ \Delta \tilde{v}_{m2} \end{vmatrix}; \quad \|\Psi_{cav}\| = \frac{\Delta \tilde{p}_{cav}}{\rho \bar{v}_x^2} \begin{vmatrix} 1 \\ 1 \end{vmatrix}$$

și

$$\|W_m\| = \begin{vmatrix} \sigma_1 \sqrt{1+\sigma} - \cos \lambda - i k G_1 & \sigma_2 \sqrt{1+\sigma} - i k G_2 \\ \sigma_1 \sqrt{1+\sigma} + i k H_1 & \sigma_2 \sqrt{1+\sigma} - \frac{1-t_0 i \cdot t_0 \lambda}{\cos \lambda} + i k H_2 \end{vmatrix}. \quad (2.3.2.26)$$

Astfel s-a obținut relația între $(\Delta \tilde{p}_1, \Delta \tilde{p}_2)$ și $(\Delta \tilde{v}_{m1}, \Delta \tilde{v}_{m2})$.

Se va prezenta în continuare o modalitate de aplicare a relațiilor stabilite pentru un sistem hidraulic simplu fig.2.3.2.4. Pen-

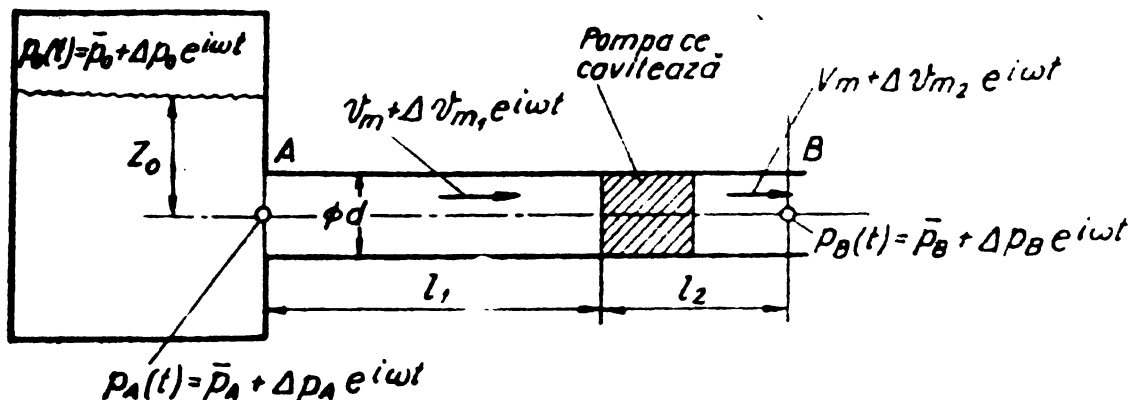


Fig. 232.4 Sistem hidraulic cu o pompă funcționind în regim de cavitație, conectată printr-o conductă lungă cu un rezervor mare.

tru simplitate se poate considera $p_{cav} = 0$ și $\frac{l_1}{d}, \frac{l_2}{d} \gg 1$

Ecuația transferului de energie cinetică (bernoulli) între suprafața rezervorului și punctul A are expresia :

$$\bar{p}_0 + \Delta p_0 e^{i\omega t} + \rho g z_0 = \bar{p}_A + \Delta p_A e^{i\omega t} + \frac{\rho}{2} (\bar{v}_m + \Delta v_{m1} e^{i\omega t})^2 + \rho \frac{\partial \phi}{\partial t}, \quad (2.3.2.27)$$

aici ϕ fiind potențialul vitezei. Scriind aceeași descompunere pentru acest potențial $\phi = \bar{\phi} + \Delta \phi e^{i\omega t}$, parte nestăționară a ecuației (2.3.2.27) este :

$$\Delta p_0 = \Delta p_A + \rho \bar{v}_m \Delta v_{m1} + i \omega \rho \Delta \phi. \quad (2.3.2.28)$$

În această relație Δp_A este compus dintr-o parte reziduală Δp_1 și o parte inerțială. Pentru a le separa se consideră problema echivalentă cu a unei rețele schițată în fig. 2.3.2.5.

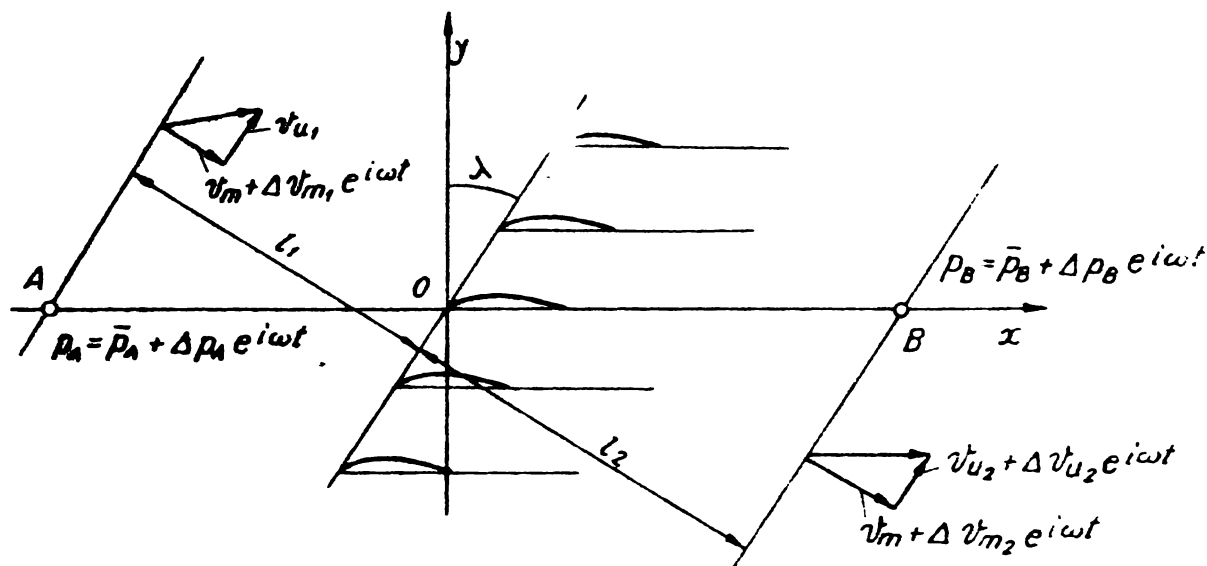


Fig. 2.32.5 Curgerea prin rețeaua de profile echivalentă pompei din fig. 232.4

Deoarece l_1 este mare aici se poate aproxima presiunea cu (2.3.2.16)

$$p_A(t) \approx i \omega \rho \Delta v_{m1} \cos \lambda \cdot \left(\frac{l_1}{\cos \lambda} \right) e^{i\omega t} + \Delta p_1 e^{i\omega t} + p_0, \quad (2.3.2.29)$$

astfel încît se poate identifica

$$\Delta p_A = i \omega \rho l_1 \Delta v_{m1} + \Delta p_1 \quad (2.3.2.30)$$

Punînd aceasta în ecuația (2.3.2.28), rezultă că

$$\Delta p_1 = \Delta p_0 - \rho \bar{v}_m \Delta v_{m1} - i \omega \rho l_1 \Delta v_{m1} + i \omega \rho \Delta \phi_A. \quad (2.3.2.31)$$

Introducînd o lungime efectivă l_0 a conductei de aplicație, definită prin

$$i \omega l_0 \Delta v_{m1} = i \omega l_1 \Delta v_{m1} + i \omega \Delta \phi_A, \quad (2.3.2.32)$$

se obține :

$$\Delta p_1 = \Delta p_0 - (\rho \bar{v}_m + i \omega l_0 \rho) \Delta v_{m1}. \quad (2.3.2.33)$$

În mod similar, în măsura în care l_2 este lung, se poate aproxima

$$\Delta p_2 \approx \Delta p_B + i \omega \rho l_2 \Delta v_{m2} / \cos^2 \lambda. \quad (2.3.2.34)$$

Substituind ecuațiile (2.3.2.33) și (2.3.2.34) în ecuația (2.3.2.25) și rezolvînd-o în raport cu v_m și ținînd cont că

$$\bar{v}_x = \frac{\bar{v}_m \cos \hat{i}}{\cos(\lambda + \hat{i})},$$

se obține în final

$$\frac{\Delta v_{m1}}{v_m} = \frac{\Delta p_o (W_{m22} - i k \frac{l_2}{c \cos^2 \lambda}) - \Delta p_B W_{m12}}{v_m^2 D}, \quad (2.3.2.35)$$

$$\frac{\Delta v_{m2}}{v_m} = \frac{\Delta p_o W_{m21} + \Delta p_B (W_{m11} + \cos(\hat{i} + \lambda) / \cos \hat{i} + i k l_o / c)}{\rho v_m^2 D}, \quad (2.3.2.36)$$

unde D este

$$D = \left[1 + \frac{\cos \hat{i}}{\cos(\hat{i} + \lambda)} (W_{m11} + i k \frac{l_o}{c}) \right] \cdot (W_{m22} - i k \frac{l_2}{c \cos^2 \lambda}) - W_{m12} \cdot W_{m21} \frac{\cos \hat{i}}{\cos(\hat{i} + \lambda)}. \quad (2.3.2.37)$$

Acum Δv_{m1} și Δv_{m2} sînt complet determinați în raport cu presiunile cunoscute prin matricea $\|W_m\|$. Pentru a reliefa efectul dinamic al complezanței se consideră spre comparație o curgere bifazică cu domeniile lichide și gazoase bine delimitate "slug flow".

În curgerea bifazică "slug" tot curentul se deplasează în fază și de asemenea poate să existe

$$\Delta p_1 = \Delta p_2 \quad \text{și} \quad \Delta v_{m1} = \Delta v_{m2} = \Delta v_m.$$

În acest caz, din ecuațiile (2.3.2.33) și (2.3.2.34) se obține

$$\frac{\Delta v_m}{v_m} = \frac{\Delta p_o - \Delta p_B}{\rho v_m^2} \frac{1}{\left[1 + i k \frac{\cos \hat{i}}{\cos(\hat{i} + \lambda)} \left(\frac{l_o}{c} + \frac{l_2}{c \cos^2 \lambda} \right) \right]}, \quad (2.3.2.38)$$

unde l_o este definit la fel prin noile condiții :

$$i \omega l_o \Delta v_m = i \omega l_1 \Delta v_m + i \omega \phi_A.$$

Comparînd ecuația (2.3.2.38) cu (2.3.2.35) și (2.3.2.36), este ușor de observat că matricea $\|W_m\|$ poate fi considerată ca fiind o măsură a efectului rezidual dinamic datorită sistemului de cavități în regim nestaționar de pe palete în plus față de oscilația generală a curentului precum un tot unitar în curgerea "slug".

În prezența paletelor sau canalelor rotorice dar fără cavitație va exista în continuare $\Delta v_{m1} = \Delta v_{m2} = \Delta v_m$, dar, în general,

$p_1 - p_2 = v_m \cdot \Delta v_m \operatorname{tg}^2 \lambda$ prin ecuația lui Bernoulli în regim nepermanent. În acest caz, cantitățile din paranteza dreaptă din ec. (2.3.2.38) vor conține încă un termen adițional $\operatorname{tg}^2 \lambda$.

Acum se poate defini și complezanța cavitațională în forma :

$$C^* = - \frac{1}{c^2} \frac{\partial V^* / \partial t}{\partial \sigma^* / \partial t}, \quad (2.3.2.39)$$

unde V^* este volumul cavității în raport cu unitatea de adâncime a planului și

$$C^* = \frac{p_1(t) - p_{cav}(t)}{\frac{1}{2} \rho \bar{v}_x^2}, \quad (2.3.2.40)$$

și unde

$$p_1(t) = \bar{p}_1 + \Delta p_1 e^{i\omega t}, \quad (2.3.2.41)$$

$$p_{cav}(t) = \bar{p}_{cav} + \Delta p_{cav} e^{i\omega t}. \quad (2.3.2.42)$$

Aceste forme permit exprimarea complezanței cavitaționale

$$C^* = - \frac{1}{c^2} \frac{d(\Delta v_{m2} - \Delta v_{m1}) e^{i\omega t}}{j\omega (\Delta p_1 - \Delta p_{cav}) e^{i\omega t} / \frac{1}{2} \rho \bar{v}_x^2}, \quad (2.3.2.43)$$

ultimă relație putîndu-se rearanja în forma :

$$C^* = - \frac{\Delta v_{m2} / \bar{v}_m - \Delta v_{m1} / \bar{v}_m}{2 i k (W_{m11} \frac{\Delta v_{m1}}{\bar{v}_m} + W_{m12} \frac{\Delta v_{m2}}{\bar{v}_m})}. \quad (2.3.2.44)$$

Complezanța obținută oferă în mod clar o valoare complexă adică aceasta exprimă răspunsul dinamic adițional și anume că în afara oscilațiilor pur inerțiale a unui curent "slug" există un termen rezistiv și reactiv. De asemenea se remarcă accentuată dependență în raport cu frecvența a rezultatului obținut. Dar, rezultatul obținut are și puncte slabe și scăderi în ceea ce privește curentul real prin rotor și rețeaua de palete ^{care} este tridimensional vîscos și rotațional și gradienti de presiune și viteză există în toate direcțiile. Sînt prezente curgeri secundare și stratul limită își arată efectele. Cavitatea nu este infinit subțire cum s-a presupus și raportul între adîncimea cavității și pasul paletei poate să fie apreciabil. Unele din aceste neajunsuri se pot depăși printr-un model îmbunătățit al curgerii cavitaționale linearizate nestaționare care se va dezvolta urmînd calea prezentată pe larg în lucrările /2, 168/. Se va încerca calculul complezanței prin noul model mai ales pentru că modelul

prezentat pînă acum are o comportare singulară, dacă frecvența de fluctuație scade, contrară datelor experimentale și limitei staționare.

Se va folosi modelul dat de Tulin /101/ pentru curentul fluid nestaționar linearizat supercavitațional cu curgere liberă cu cinematica cavității mai apropiată de realitate. În acest model se presupune că în timpul mișcării nestaționare cavitățile formează o suprafață materială închisă. Se reduce în prealabil rețeaua printr-o transformare conformă la un singur profil hidrodinamic și se reconsideră curgerea liberă linearizată a unui curent de fluid în regiune nestaționară în jurul unui corp cu muchia de atac teșită. Considerăm ^{ca} corpul este staționar, presiunea în cavitate p_{cav} și de asemenea ^{ca} doar presiunea infinit amonte și aval variază în timp. Muchia de atac se consideră o parabolă, deci

$$Y = \sqrt{2 r_1 x} \quad (2.3.2.45)$$

și lungimea cavității $l(t) \gg r_1$, unde r_1 este raza muchiei de atac.

Linearizarea uzuală folosită este :

$$(v_x, v_y) = (\bar{v}_{x_\infty} + \Delta \tilde{v}_x, \Delta \tilde{v}_y), \quad (2.3.2.46)$$

cu indicele ∞ indicînd condiții depărtate amonte din care condițiile la limită cinematice asupra muchiei de atac staționară sînt :

$$\frac{dy}{dx} = \frac{\Delta \tilde{v}_y}{\bar{v}_{x_\infty}}, \quad \Delta \tilde{v}_y = \bar{v}_{x_\infty} \sqrt{\frac{r_1}{2x}}. \quad (2.3.2.47)$$

Pe suprafața liberă de separație, viteza se poate descompune într-o parte spațială și una armonică în timp $\Delta \tilde{v}_x = \Delta v_x(x) e^{i\omega t}$. Prin substituție în ecuația lui Euler în forma linearizată de-a lungul liniei de curent libere, ^{deci} de presiune constantă :

$$\frac{\partial \Delta \tilde{v}_x}{\partial t} + \bar{v}_{x_\infty} \frac{\partial \Delta \tilde{v}_x}{\partial x} = 0, \quad (2.3.2.48)$$

se găsește de-a lungul acestei linii de curgere libere că luînd pe $\Delta \sigma$ o constantă, există :

$$\Delta v_x(x, t) = \Delta \sigma \cdot e^{i\omega(t - \frac{x}{\bar{v}_{x_\infty}})} + \text{const.} \quad (2.3.2.49)$$

Ecuațiile (2.3.2.47) și (2.3.2.49) formează o problemă mixtă la limită, soluționată de Guerst și prezentată în /101/, de potențial complex al mișcării :

$$w = v_x - i v_y = \bar{v}_{x_\infty} + A \sqrt{\frac{z-l}{z}} + B \sqrt{\frac{z}{z-l}} + D - \frac{\Delta o}{\pi} e^{i\omega t} \sqrt{z(z-l)} \cdot \int_0^l \frac{d\xi e^{-i\omega \xi / \bar{v}_{x_\infty}}}{\sqrt{\xi(1-\xi)} (\xi - z)} \quad (2.3.2.50)$$

unde A, B, D sînt constante care trebuie determinate. Se reamîncă de astă dată că lungimea cavității este o funcție de timp $l(t)$.

Constantele necunoscute se determină din condiția cinematică de închidere a ^{cavității} ~~ei~~, din presiunea în regiun staționară departe de profilul solid și din condiția de tangență la corpul solid a liniilor de curent, descrisă de ecuația (2.3.2.47).

Ordonatele $Y(x, t)$ a limitelor cavității sînt guvernate de relația

$$\Delta \tilde{v}_y(x, t) = \frac{\partial Y}{\partial t} + \bar{v}_{x_\infty} \frac{\partial Y}{\partial x} \quad (2.3.2.51)$$

a cărei soluție, dată de Parkin, conform /3/, este de forma

$$Y(x, t) = \frac{1}{\bar{v}_{x_\infty}} \int_0^x \Delta \tilde{v}_y(\xi, t - \frac{x-\xi}{\bar{v}_{x_\infty}}) d\xi \quad (2.3.2.52)$$

Prin condiția cinematică de închidere se înțelege $Y(l, t) = 0$, de unde rezultă că

$$0 = \int_0^{l(t)} \Delta \tilde{v}_y(\xi, t - \frac{l(t)-\xi}{\bar{v}_{x_\infty}}) d\xi \quad (2.3.2.53)$$

Integrala este greu de calculat cu \tilde{v}_y din ecuația (2.3.2.50). Deoarece oscilațiile mecanice sînt de frecvențe scăzute, deci interesează soluția ecuației pentru limita inferioară a frecvențelor mișcării nestaționară, este posibilă dezvoltarea ecuației (2.3.2.53) în serie, obținînd

$$0 = \int_0^{l(t)} d\xi \cdot \left\{ \Delta \tilde{v}_y(\xi, t) - \frac{l-\xi}{v_x} \frac{\partial \Delta \tilde{v}_y}{\partial t}(\xi, t) + \frac{1}{2} \left(\frac{l-\xi}{\bar{v}_{x_\infty}} \right)^2 \frac{\partial^2 \tilde{v}_y}{\partial t^2}(\xi, t) \dots \right. \quad (2.3.2.54)$$

expresie în care,
~~ca~~ pentru scopurile de față, se vor neglija termenii de grad superior lui 2.

Există o dezvoltare bazată pe lungimea medie a cavității l_0 și frecvența redusă $k_\omega = \frac{\omega l_0}{\bar{v}_{x_\infty}}$, astfel încît potențialul vitezei din ecuația (2.3.2.50) este necesar a fi cunoscut numai prin primul termen în k_ω . Pentru a efectua acestea, este convenabil a introduce o variabilă adimensională

$$\zeta = \frac{z}{l(t)} \quad (2.3.2.55)$$

cu ajutorul căreia ecuația (2.3.2.50) poate fi retranscrisă sub forma

$$w = \bar{v}_{x_\infty} + A \sqrt{\frac{\zeta-1}{\zeta}} + B \sqrt{\frac{\zeta}{\zeta-1}} + D - \frac{\Delta_0 e^{i\omega t}}{\pi} \sqrt{\zeta(\zeta-1)} \cdot \int_0^t \frac{e^{i\omega \xi / \bar{v}_{x_\infty}} d\xi}{(1-\xi)(\xi-\zeta)} \quad (2.3.2.56)$$

Introducînd a doua ~~simplificare~~ ^{simplificare} după ~~duerst~~ ^{duerst}, adică :

$$P = \bar{P} + \Delta P e^{i\omega t} \quad \text{cu } |\Delta P| \ll \bar{P} \quad (2.3.2.57)$$

și condiția ca $k_\omega = \frac{\omega l}{\bar{v}_{x_\infty}} \ll 1$, problema este soluționabilă.

Ecuatia (2.3.2.56) \bar{v}_{x_∞} se poate exprima după cum urmează

$$w = \bar{v}_{x_\infty} + A \sqrt{\frac{\zeta-1}{\zeta}} + B \sqrt{\frac{\zeta}{\zeta-1}} + D - \frac{\Delta_0}{\pi} e^{i\omega t} U(\zeta, k_\omega) \quad (2.3.2.58)$$

$$v_y(\zeta, t) = - \sqrt{\frac{1-\zeta}{\zeta}} + B \sqrt{\frac{\zeta}{1-\zeta}} + \frac{\Delta_0}{\pi} e^{i\omega t} U(\zeta, k_\omega), \quad (2.3.2.59)$$

unde

$$U(\zeta, k) = \sqrt{\zeta(1-\zeta)} \cdot \int_0^1 \frac{d\xi e^{i\omega \xi}}{\sqrt{\xi(1-\xi)} \cdot (\xi-\zeta)} \quad (2.3.2.60)$$

cu observația că, pentru $k_\omega \rightarrow 0$,

$$U(\zeta, k_\omega) = -i k_\omega \pi \sqrt{\zeta(1-\zeta)} + O(k_\omega^2). \quad (2.3.2.61)$$

Acum se poate remarca dependența funcției de potențial w numai de variabilele ζ și t . Din ecuația (2.3.2.58), ^{rezultă că} integrala de închidere este o funcție numai de ζ și t . În cele ce urmează se presupune că :

$$A = \bar{A} + \Delta A e^{i\omega t} \quad |\Delta A| \ll \bar{A} \quad (2.3.2.62)$$

$$B = \bar{B} + \Delta B e^{i\omega t} \quad |\Delta B| \ll \bar{B} \quad (2.3.2.63)$$

și se substituie ecuațiile (2.3.2.58)...(2.3.2.61) în ecuația (2.3.2.54). În această, ultimă ecuație se rețin numai termenii lineari în \bar{A} , ΔA , etc. prin k_ω și numai termenii proporționali cu $e^{i\omega t}$ se rețin în partea nestaționară (adică nu se consideră armonice de ordin superior). Astfel, rezultă că

$$0 = \int_0^1 d\zeta \left(-\bar{A} \sqrt{\frac{1-\zeta}{\zeta}} + \bar{B} \sqrt{\frac{\zeta}{1-\zeta}} \right) \quad (2.3.2.64)$$

și

$$0 = \int_0^1 d\bar{z} \left\{ -\Delta A \sqrt{\frac{1-\bar{z}}{\bar{z}}} + \Delta B \sqrt{\frac{\bar{z}}{1-\bar{z}}} + \frac{\Delta_0}{\pi} U(\bar{z}, k_\omega) - i k_\omega (1-\bar{z}) \cdot \right. \\ \left. \left[-\Delta A \sqrt{\frac{1-\bar{z}}{\bar{z}}} + \Delta B \sqrt{\frac{\bar{z}}{1-\bar{z}}} + \frac{\Delta_0}{\pi} U(\bar{z}, k_\omega) - \bar{z} \frac{\Delta l}{l} \left(-\bar{z} \frac{d}{d\bar{z}} \sqrt{\frac{1-\bar{z}}{\bar{z}}} \right. \right. \right. \\ \left. \left. \left. + \bar{B} \frac{d}{d\bar{z}} \sqrt{\frac{\bar{z}}{1-\bar{z}}} \right) \right] \right\} . \quad (2.3.2.65)$$

Ecuatia (2.3.2.64) reprezintă termenul corespunzător închiderii cavității în regim staționar, ^{car} rel. (2.3.2.65) indică contribuția prin $O(k_\omega)$. În această ultimă relație dependența lui \bar{z} de t este luată în considerare.

Perturbațiile de viteză se cer să dispară la infinit, astfel dacă $z \rightarrow \infty$, potențialul vitezei w dobândește expresia

$$w \rightarrow \bar{v}_{x_\infty} + A + B + D + \Delta_0 e^{i\omega t} \left(1 - \frac{i k_\omega}{2}\right) , \quad (2.3.2.66)$$

sau

$$\bar{A} + \bar{B} + D = 0 , \quad (2.3.2.67) \\ \Delta A + \Delta B + \Delta_0 \cdot \left(1 - \frac{i k_\omega}{2}\right) = 0 .$$

Condiția cinematică împreună cu ec. (2.3.2.47) dă pentru $x \rightarrow 0$:

$$v_y(\bar{z}, t) \rightarrow -\frac{\Lambda}{\sqrt{\bar{z}}} = \bar{v}_{x_\infty} \sqrt{\frac{r_l}{2x}} . \quad (2.3.2.68)$$

Cu :

$$\bar{z} = \frac{x}{\bar{z} + \Delta l e^{i\omega t}} ,$$

prin separarea părților staționare și nestaționare și reținând numai frecvențele fundamentale, ^{se obțin,} următoarele :

$$-\bar{A} \sqrt{\bar{l}} = \bar{v}_{x_\infty} \sqrt{\frac{r_l}{2}} , \quad (2.3.2.69) \\ \frac{\Delta l}{\bar{l}} = -2 \frac{\Delta A}{\bar{A}} .$$

În final, din ecuația (2.3.2.66) se observă că exact după muchia de atac pe linia de curgere liberă ($x = 0^+$) viteza orizontală este :

$$\tilde{v}_x(0^+, 0) = \tilde{v}_{x_{cav}} = 0 + \Delta_0 e^{i\omega t} . \quad (2.3.2.70)$$

Astfel, dacă se dă r_l și $\tilde{v}_{x_{cav}}$, toți ceilalți parametri sînt determinabili din ecuațiile (2.3.2.69), (2.3.2.67), (2.3.2.64) și (2.3.2.65). În particular,

$$\Delta A = \frac{\Delta_0}{2} (1 - i k_\omega) . \quad (2.3.2.71)$$

Potențialul de viteză departe de corp are dezvoltarea :

$$w \rightarrow \bar{v}_{x\infty} + \frac{I(t)}{z} \left\{ \frac{\bar{B}-\bar{A}}{2} + e^{i\omega t} \left(\frac{\Delta B - \Delta A}{2} + \frac{i k_{\omega} \Delta o}{8} \right) \right\} + O\left(\frac{1}{z^2}\right)$$

recunoscînd în cel, de al doilea termen al acestei expresii o sursă, Nu este o sursă staționară [$\bar{B} = \bar{A}$ din ecuația (2.3.2.64)] ci o sursă fluctuantă cu o anumită intensitate care se exprimă prin :

$$\tilde{q}(t) = \Delta q e^{i\omega t} \quad (2.3.2.73)$$

Amplitudinea intensității acestei surse, după substituția lui ΔB și ΔA va avea expresia

$$\Delta q = -i \frac{\rho}{4} \tilde{U} \Delta o I k_{\omega} \quad (2.3.2.74)$$

cărei este a valoare proporțională cu perturbația nestaționară a vitezei pe cavitate. Acum rezultatul obținut include într-o formă naturală frecvența nulă sau limita staționară. În acest regim, frecvența redusă este nulă și termenul dinamic care se adăugă, ultimul termen din ecuația (2.3.2.58), dispăre pe baza rezultatului din (2.3.2.61). Funcția $U(\zeta, k_{\omega})$ exprimă mișcarea nestaționară putînd fi neglijată în calculele cuasi-stactice.

Complezanța curentului este :

$$C = \frac{\partial \tilde{V}_{cav}}{\partial \tilde{p}_{\infty}} = \frac{\partial \tilde{V}_{cav} / \partial t}{\partial \tilde{p}_{\infty} / \partial t} \quad (2.3.2.75)$$

unde numărătorul se identifică cu debitul sursei definite mai sus și anume $\Delta q e^{i\omega t}$. Variația presiunii într-un punct îndepărtat se obține din integrarea ecuației de mișcare (Euler) în spațiu și derivarea ei în raport cu timpul, deci :

$$\frac{\partial \tilde{p}_{\infty}}{\partial t} = \rho \bar{v}_{x\infty} \frac{\partial \tilde{v}_{x\text{cav}}}{\partial t} - \rho \int_0^{\infty} \frac{\partial^2 \tilde{v}_x}{\partial t^2} dx \quad (2.3.2.76)$$

Primul termen din dreapta lui (2.3.2.76) exprimă valoarea cuasi staționară $\Delta o i \omega e^{i\omega t}$. Termenul al doilea, datorat accelerației fluidului, este integrala în spațiu a derivatei în timp din primul termen. Acesta poate fi neglijat pentru frecvențe scăzute, pentru curenți dezvoltăți tridimensional sau pentru oscilații ale unui fluid într-un canal.

În aceste ipoteze se obține

$$C^* = \frac{\Delta q}{\rho \bar{v}_{x\infty} i \omega \Delta o} \quad (2.3.2.77)$$

Din (2.3.2.73) și (2.3.2.76) se găsește :

$$C^* = - \frac{3}{4} \frac{\pi l^2}{\rho \bar{v}_x^2} \quad (2.3.2.77)$$

Această valoare este adecvată pentru modelul cinematic închis a lui Tulin dar se potrivește și pentru aproximațiile cuasi-stactice bazate pe secvențe de stări staționare. Cu acest model se trece la analiza într-un rotor de pompă centrifugă cu inductor sau într-un rotor de pompă axială. Curgerea într-un inductor, deși este foarte complicată, se va presupune absența vreunei componente radiale a vitezei.

Rețeaua de profile plane în planul $z = x + iy$ este transformată conform în planul ζ cu rel. (2.3.2.4). Potențialul complex al vitezei pentru palete groase după /45/ este :

$$\frac{w(\zeta)}{\bar{v}_x l} = B \left(\frac{\zeta}{\zeta - S} \right)^{1/2} - A \left(\frac{\zeta - S}{\zeta} \right)^{1/2} + (1 + \sigma_l)^{1/2} - \frac{i(1 - S) \cos \lambda}{\zeta} \quad (2.3.2.78)$$

unde, $1 - S$, exprimă grosimea relativă a paletei și coeficientul de cavitație local $\sigma_l = \frac{p_i - p_{cav}}{1/2 \rho w_i^2}$, raportat la secțiunea de la intrarea în mașină. În mod similar cu cele dezvoltate la începutul acestui capitol, constantele A și B se pot obține din condițiile amonte și aval de rețea (inductor) și o condiție legată de continuitate legată de s . În final, soluția ed. (2.3.2.78) și σ_l se pot obține în funcție de ($s, \hat{i}, \lambda, c, \bar{v}_x l$ și S), unde S reprezintă lungimea cavității în planul transformării conforme fig.2.3.2.3.

Cunoscând ordonatele profilului și forma cavității prin integrare se obține aria cavității A_{cav} , care este o funcție de raza inductorului r , coeficientul de cavitație local σ_l și coeficientul de debit $\frac{v_m}{u(r)}$.

Unghiul de instalare $\lambda(r)$ și coeficientul de obstrucție $s(r)$ sînt elemente geometrice ale rețelei de palete fixate odată cu geometria paletei, dar unghiul de incidență $\hat{i}(r)$ variază cu debitul și turația prin factorul $\frac{v_m}{u}$. De asemenea, se va presupune viteza meridională $v_m = \text{const}$ și independență de raza rotorului r ,
Deci ,

$$\hat{i}(r) = \frac{\pi}{2} - \lambda(r) - \text{arc tg} \left(\frac{r_M}{r} \frac{v_m}{u} \right) \quad (2.3.2.79)$$

unde r_M este raza maximă a profilului de la periferia paletei,

adică raza rotorului axial sau inductorului. Presupunând că $v_m \ll u$, rezultă că $w \approx u$, deci coeficientul de cavitație local definit mai sus se poate rescrie

$$\sigma_l \approx \frac{p_1 - p_{cav}}{\frac{1}{2} \rho u_1^2},$$

acesta putîndu-se corela cu coeficientul de cavitație total al inductorului, definit prin

$$\sigma_t = \frac{p_1 - p_{cav}}{\frac{1}{2} \rho u_M^2}, \quad (2.3.2.80)$$

încît, în final,

$$\sigma_l = \sigma_t \left(\frac{r_M}{r} \right)^2. \quad (2.3.2.81)$$

Volumul total al cavității din rețeaua de palete a rotorului se poate calcula din

$$V\left(\frac{v_m}{u_M}, \sigma_t\right) = \int_{r_2}^{r_M} A_{cav}(r, \sigma_l, \frac{v_m}{u_M}) z_p dr, \quad (2.3.2.82)$$

unde z_p este numărul paletelor rotorice.

Calculul complezanței, în ipoteza unui model bazat pe mișcare potențială și cu cavitația drept un domeniu atașat paletei, se face pe baza definițiilor și formulelor (2.3.1.43) și (2.3.1.54), adică :

$$\begin{aligned} W I_{21} &= \frac{\Delta(\tilde{m}_e - \tilde{m}_1)}{\Delta\tilde{\psi}} \bigg|_{\substack{\tilde{\psi}=0 \\ v_{m1}=\text{const}}} = \frac{\rho u_M \Delta(\tilde{Q}_e - \tilde{Q}_1)}{2 A_1 \Delta\tilde{p}_i} \bigg|_{\substack{n=\text{const.} \\ v_{m1}=\text{const}}} \\ &= - \frac{1}{2} \frac{\rho u_M^2 \omega}{A_1 c} \cdot \frac{\partial V}{\partial p_i} \bigg|_{\substack{n=\text{const.} \\ v_{m1}=\text{const.}}} \end{aligned} \quad (2.3.2.83)$$

Comparînd (2.3.2.54) cu (2.3.2.83), se observă că complezanța dimensională este

$$C = \frac{\partial V}{\partial p_i} \quad (2.3.2.84)$$

și se calculează din (2.3.2.82), prin calculul în prealabil a lui $\frac{\partial A_{cav}}{\partial \sigma_l}$. Valorile astfel obținute pe caz: unui câmpionament lung și lăburos, s-au dovedit a fi mai mici de 3 pînă la zece ori față de datele experimentale [111, 125]. Această neconcordanță este prea ma-

re pentru a fi explicată pe baza ipotezelor simplificatoare introduse în raționament și a presupunerilor utilizate. Discrepanța obținută se datorează, probabil, și aportului altor forme de cavitație, decât cea atașată paletelor, în realizarea complexității acestor flui.

Termenul amplificării debitului masic ce rezultă în răspuns a variației volumului cavității din cauza fluctuațiilor debitului masic sau vitezei la intrare (ceea ce schimbă unghiul de incidență al curentului), toate în ipoteza unei presiuni constante l. amplificație și a unei turații constante, este

$$W I_{22} = \frac{\Delta(\tilde{m}_e - \tilde{m}_i)}{\Delta \tilde{m}_i} \left| \begin{array}{l} \gamma = 0 \\ \psi_i = \text{const.} \end{array} \right. = -i \frac{\omega}{A_i} \frac{\partial V}{\partial v_m} \left| \begin{array}{l} n = \text{const.} \\ p_i = \text{const.} \end{array} \right. \quad (2.3.285)$$

Comparând (2.3.2.85) cu (2.3.1.55), rezultă factorul amplificării debitului masic :

$$B = \frac{1}{A_i} \frac{\partial V}{\partial v_m} \left| \begin{array}{l} n = \text{const.} \\ p_i = \text{const.} \end{array} \right. \quad (2.3.2.86)$$

în formă adimensională

$$B = \frac{u_w}{c A_i} \frac{\partial V}{\partial v_m} \left| \begin{array}{l} n = \text{const.} \\ p_i = \text{const.} \end{array} \right. \quad (2.3.2.87)$$

Din aceeași expresie (2.3.2.82) se poate deduce și factorul amplificării debitului masic. Deoarece legătura nu se observă direct între volum și viteza meridională, se vor face următoarele derivări

$$\frac{\partial V}{\partial v_m} = \frac{\partial V}{\partial \sigma_i} \frac{\partial \sigma_i}{\partial v_m} + \frac{\partial V}{\partial i} \frac{\partial i}{\partial v_m} \quad , \quad (2.3.2.88)$$

unde $\frac{\partial V}{\partial \sigma_i}$ și $\frac{\partial V}{\partial i}$ sînt directe, iar

$$\frac{\partial \sigma_i}{\partial v_m} = - \frac{\sigma_i v_m}{v_m^2 + u_m^2} \quad , \quad (2.3.2.89)$$

$$\frac{\partial i}{\partial v_m} = - \frac{\sin(i + \lambda)}{(v_m^2 + u_m^2)^{1/2}} \quad . \quad (2.3.2.90)$$

În final

$$B = \frac{1}{c A_i} \left[\frac{2}{1 - \left(\frac{r_b}{r_m}\right)^2} \int_{r_b/r_m}^1 \sin(i + \lambda) \left[2 \sigma_i \cos(i + \lambda) \frac{\partial}{\partial \sigma_i} + \sin(i + \lambda) \frac{\partial A^*}{\partial \sigma_i} \right] \left(\frac{r}{r_m}\right) u\left(\frac{r}{r_m}\right) \right] \quad (2.3.2.91)$$

Deci pentru evaluarea factorului amplificării deosebită masic trebuie doar să cunoaștem variația ariei cavității cu unghiul de incidență $\frac{\partial A^*}{\partial \hat{z}}$ și cu coeficientul de cavitație $\frac{\partial A^*}{\partial \sigma_c}$. Acestea se pot obține din analiza rețelei. În general

$$\frac{\partial A^*}{\partial \sigma_c} \ll \frac{\partial A^*}{\partial \hat{z}}$$

Deoarece $\hat{z} + \beta \approx \frac{\pi}{2}$

$$B_* \approx \frac{2}{c A_1 \left[1 - \left(\frac{r_b}{r_M} \right)^2 \right]} \int_{r_b/r_M}^1 \frac{\partial A}{c^2 \partial \hat{z}} \frac{r}{r_M} d\left(\frac{r}{r_M} \right) \quad (2.5.2.92)$$

din relațiile de pînă aici se poate scrie

$$\left. \frac{\partial C_*}{\partial \sigma_c} \right|_{v_M = \text{const}} \approx \left. \frac{\partial B_*}{\partial \left(\frac{v_M}{u_1} \right)} \right|_{\sigma_M = \text{const}} \quad (2.5.2.93)$$

dar în valoare absolută $B_* > C_*$ după /e/.

Termenul WI_{23} exprimă variația volumului cavității cauzate de paletă generată de fluctuații ale turației (vitezei unghiulare) a rotorului mașinii. Aceste fluctuații pot să fie generate din exterior /43/ sau sînt răspunsul la o încălcare fluctuantă a unei legături dinamice între curgerea fluidului și sistemul de păstrare al rotorului mai ales în cazul antrenării de mare turație de rotor sau gaz /114, 136/. Dacă prin $\tilde{\nu}$ se va înțelege fluctuația în amplitudine și fază a vitezei unghiulare sau turației adică realizată în raport cu viteza unghiulară respectiv turația medie. Valoarea cuasistatică a acestui termen se poate obține din curbele caracteristice ale pompei adică :

$$WI_{23} = \frac{\Delta(\tilde{m}_e - \tilde{m}_1)}{\Delta \tilde{\nu}} \Bigg|_{\substack{\tilde{\psi}_1 = 0 \\ \tilde{m}_1 = 0}} = i \frac{\omega}{A_1} \left(\frac{\partial V}{\partial u_1} \right) \Bigg|_{\substack{\tilde{p}_1 = \tilde{p}_2 = 0 \\ \tilde{Q}_1 = 0}} \quad (2.5.2.94)$$

Analog complexanței și amplificării deosebită masic se definește un factor de influență asupra cavității din partea turației prin :

$$WI_{23} = -i \omega N_t \quad (2.5.2.95)$$

Factorul N_t este total pentru rotor. El se poate obține și ca un factor local

$$N_t = \frac{2}{1 - (r_b/r_M)^2} \int_{r_b/r_M}^1 \left(\frac{v_{u1}}{u} \right) \left(\sigma_r, \frac{r}{r_M} \right) d\left(\frac{r}{r_M} \right) \quad (2.5.2.96)$$

Din ultimele trei relații și cu cele din capitolul anterior și din relațiile precedente, rezultă :

$$N_1 = - \frac{u_M r^2}{r_M^2} \left[\frac{\partial A^*}{c^2 \partial \hat{i}} \cdot \frac{\partial \hat{i}}{\partial u_1} + \frac{\partial A^*}{c^2 \partial \sigma_1} \cdot \frac{\partial \sigma_1}{\partial u_1} \right] \quad (2.3.2.97)$$

$$= \sin(\hat{i} + \lambda) \frac{r^2}{r_M^2} \left[2 \sigma_1 \sin(\hat{i} + \lambda) \frac{\partial A^*}{c^2 \partial \sigma_1} - \cos(\hat{i} + \lambda) \frac{\partial A^*}{c^2 \partial \hat{i}} \right].$$

Cunoscînd derivatele $\frac{\partial A^*}{\partial \sigma_1}$ și $\frac{\partial A^*}{\partial \hat{i}}$, care au fost calculate pentru factorii precedenți din analiza rețelei de propagare (calitatea generată și amplificarea debitului masic), și efectuînd integrala (2.3.2.96), se obține factorul N_t . Din motive asemănătoare, coeficientul precedenți $\hat{i} + \lambda \cong \frac{\pi}{2}$ și de aici :

$$N_1 \cong 2 \left(\frac{r}{r_M} \right)^2 \sigma_1 \frac{\partial A^*}{c^2 \partial \sigma_1} \cong 2 \sigma_t \frac{\partial A^*}{c^2 \partial \sigma_1} \quad (2.3.2.98)$$

După integrare :

$$N_t \cong - 2 \cdot \sigma_t \cdot C \quad (2.3.2.99)$$

Legătura simplă obținută între coeficientul de transfer și coeficientul de cavitație din partea turajului și compresibilitatea generată este foarte importantă în evaluarea rolului jucat de fluctuațiile de viteză unghiulară în acest fel, înlocuind în (2.3.2.99) definițiile lui σ_t și C , se obține următoarea relație :

$$\frac{\Delta \tilde{n}}{\bar{n}} \gg \frac{\sigma_t \rho u_1^2}{\Delta \tilde{p}_1} \quad (2.3.2.100)$$

atunci influența fluctuațiilor vitezei unghiulare se poate lua în calcul și asupra funcției de transfer și invers. Astfel, din relațiile precedente s-a definit o nouă funcție de transfer :

$$W^* = \frac{\Delta \tilde{p}_1}{\Delta \tilde{n}} = 2 \sigma_t \quad (2.3.2.101)$$

care exprimă variația presiunii de la intrare în pompă în funcție de variația vitezei unghiulare în aproximația simplificată.

Din formula (2.3.2.101) acest rezultat este în bună măsură confirmat parțial de rezultatele obținute în capitolul anterior, deoarece cu acest prilej, se pune în evidență că coeficientul de transfer $(Re + Im)$ a funcției de transfer este în mare măsură dependent de compresibilitatea generată și de compresibilitatea generată se datorează parțial ipotezelor simplificate făcute în analiza anterioară făcute cît și prin ignorarea efectelor de rotație și de rost.

2.3.3 Modelul spectrului de bule

Experimental s-a observat că deseori în cazul pompelor centrifugale în turbopompe funcționând în regim cavității se poate observa un spectru larg de bule. Se va analiza răspunsul dinamic al unui curent format dintr-un spectru (nor) de bule cavităționice asupra fluctuațiilor de presiune. Aici este necesară și o parte din teoria cavităționice și o analiză mai generală a fenomenelor cavităționice produse asupra unui curent cavităționic care în unele printr-o regiune de presiune scăzută în care bulele înfrâng presiunea și se sparg (implodează). Modelul de față, expus în [1, 46, 151] și se bazează pe o critică a rezultatelor.

Cavitația apare într-un număr variat de locuri în turbopompe. Centrele de nucleație și nucleele prezente în curentul de fluid care intră în pompă pot să crească exploziv (în condiții de cavităție) în număr și în care sînt purtate de curent în condiții de cavităție. În condiții de cavităție la aspirația și pe extradosul paletelor se pot forma bule care nu este posibil să stabilească o linie de demarcație între diferite forme de cavităție aceasta se va analiza în secțiunile următoare ale teului de bule. Pe măsură ce coeficientul de cavităție (coeficientul de aspirației) se mărește se formează o zonă de cavităție în jurul paletelor și se va realiza o zonă de cavităție în jurul paletelor în zona de depresiune în jurul paletelor în condiții de cavităție de obicei apare condensarea de aer purtat de curent. Se identifică și un fenomen de cavităție de tipul de rest, care la pompa anală funcționând în condiții de cavităție se manifestă sau în industria pompelor pentru a fi evitată în condiții de cavităție cu zone de intensă turbulență, se va analiza în secțiunile următoare [22, 46, 85, 88]. Cavitația se poate manifesta și în condiții de cavităție mult deosebite de debitul nominal și în condiții de cavităție axa unui vârtej [100] realizat de curentul de fluid care este generat de către bule antrenate ~~de curent~~ în condiții de cavităție inversat. Foarte multe fenomene de cavităție în turbopompe sînt ilustrate în fig.2.3.3.1.

După cum s-a arătat în capitolele precedente sînt necesare cercetări teoretice și experimentale cu privire la mecanismul de formare și dezvoltare a cavității substanțial între cele două surse de complexitate respectiv, a cavității de aspirație și a cavității din turbopompe. După cum s-a arătat în secțiunile precedente cavităția spectrului de bule este generată în condiții de cavităție datorate unei mulțimi de bule care se formează în condiții de cavităție.

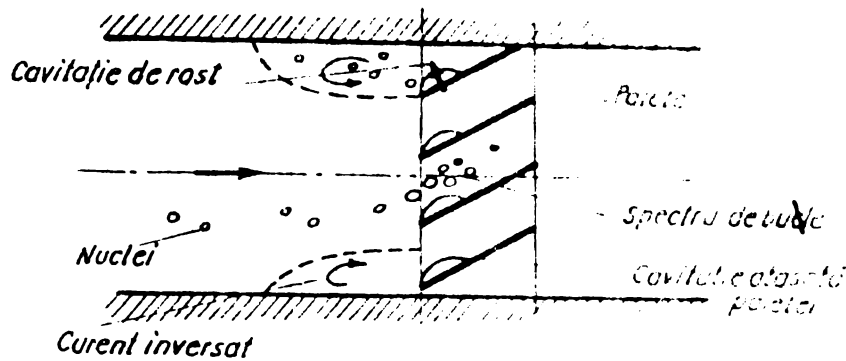


Fig. 233.1 Ilustrarea schematică a diferitelor forme de cavitație într-un inductor de pompă centrifugă sau de pompă axială (turbo-pompă).

unui curent de bule cavitânde. Deși întotdeauna se observă că în fața se îndreaptă spre apă drept linia de înțelegere, în cazul unei serie de pompe lucrează cu alte lichide și în condiții de fierbere la temperaturi criogenice este utilă a prezenta și o serie de fenomene dinamice care intervin în studiul acestor fenomene. Efectele termice atât asupra curentului de fluid cât și asupra turbulențelor care depind de scările caracteristice ale pompei sunt considerate și evaluate. În ceea ce privește studiul fizic au stat în atenția multor autori [10, 11, 12, 13] și problema cavitației și fierberii a fost tratată în mod detaliat. În continuare va particulariza o formulă generală care descrie caracteristicile care facilitează stabilirea condițiilor în care pompa va cavita sau va fierbe.

Pentru soluționarea problemelor de cavitație și fierbere se fac unele simplificări referitor la condițiile de lucru. Acestea sunt: 1) mișcarea relativă între pompa și fluidul pompat este neglijată; 2) mișcarea relativă între pompa și fluidul pompat este neglijată; 3) bulele sunt suficient de mici încât să nu se influențeze reciproc la creșterea și scăderea dimensiunii bulelor după ecuația Rayleigh-Plesset [14].

$$r \frac{d^2 r}{dt^2} + \frac{3}{2} \left(\frac{dr}{dt} \right)^2 = \frac{p_1(r) - p(\infty)}{\rho_L} \quad (2.1)$$

unde prin r - s-a notat raza bulei; $p_1(r)$ - presiunea internă în bule; ρ_L - densitatea lichidului; ρ - densitatea vaporilor; $p(\infty)$ - presiunea în fluid la distanța sa cinematică.

Dacă se dă variația presiunii în funcție de timp, $p(t)$, soluția acestei ecuații este $r(t)$. Presiunea internă în bule este dată de ecuația de bilanț parțială a vaporilor în bule:

$p_{vap}(T_B)$ și presiunea parțială a gazului în bulă $p_g(t)$. Se mai presupune că masa de gaz din bulă rămâne constantă (conservată) la urmărirea fenomenului de cavitație deoarece masa de gaz în bulă este mult mai mare. Se presupune că în momentul t_1 din care se va dezvolta bulă în schimbarea presiunii în faza inițială amonte p_∞ astfel că :

$$(p_g)_{r_1} = p_\infty + \frac{2\sigma}{r_1} \quad (2.2)$$

În această zonă temperatura bulii este egală cu temperatura T_∞ a lichidului de lichid T_∞ așa încât presiunea de vaporizare este $p_{vap}(T_\infty)$ și presiunea parțială a gazului :

$$(p_g)_{r_1} = p_\infty + \frac{2\sigma}{r_1} - p_{vap}(T_\infty) \quad (2.3)$$

Obținind presiunea parțială a gazului în funcție de temperatură din legea gazelor perfecte temperate $p = \rho R T$ (2.1) poate fi înlocuit cu :

$$p_g(T_B) - p(t) = -(p - p_\infty) - [p_\infty - p_{vap}(T_\infty)] \left[\frac{r_1}{r} \right] - p_{vap}(T_\infty) + \left[p_\infty + \frac{2\sigma}{r_1} - p_{vap}(T_\infty) \right] \left[\frac{r_1}{r} \right] \quad (2.4)$$

unde ultimul termen reprezintă presiunea parțială a gazului în momentul t_1 . Se consideră variații mici ale temperaturii și presiunii în serie Taylor, reținem numai termenii de ordinul întâi :

$$p_{vap}(T_B) - p_{vap}(T_\infty) = - \theta_B \left(\frac{\partial p_{vap}}{\partial T} \right) (T_B - T_\infty) = - \theta_B \rho_{vap} \alpha \quad (2.5)$$

unde $\theta_B = \frac{T_B - T_\infty}{T_\infty}$ și α este căldura latentă de vaporizare a lichidului și ρ_{vap} este densitatea vaporilor saturați. Ultima relație rezultă din ecuația de continuitate și din ecuația de bilanț al forțelor modalități de adimensionalizare :

$$2 r_1 \frac{d^2 r_1}{dt_1^2} + 3 \left(\frac{dr_1}{dt_1} \right)^2 + \rho_l v^2 + \sigma \left(\frac{1}{r_1} \right) = \frac{1}{t_1} + \frac{1}{r_1} = (\theta_B + 1) \left(\frac{1}{t_1} \right) \quad (2.6)$$

în care v și l sînt viteza și lungimea caracteristică de lungime $l = \frac{r_1}{\theta_B + 1}$ și $t_1 = \frac{r_1}{v}$; $\rho_l = \frac{p - p_{vap}}{R T}$; $\rho_{vap} = \frac{p_{vap}}{R T}$; $\alpha = \frac{p_{vap}}{R T}$; $\psi = \frac{1}{\theta_B + 1}$; $\chi = \frac{1}{\theta_B + 1}$;

Diferența între cavitație și fierbere este că, în cazul cavității /10, 40, 131/ rezidă în următoarele :

Cavitația în general apare la temperaturi mai scăzute decât ale lichidului unde creșterea bulelor este amplificată numai prin expansiunea lichidului și nu de către difuzia termică. Temperatura de saturație a bulei rămâne aproximativ constantă. Astfel ca pentru o anumită dată a coeficientului de presiune $C_p(t)$ creșterea bulelor de cavitație se poate descrie complet de către ecuația (2.3.5) pentru $\theta = 0$. La temperaturi mai ridicate creșterea bulelor este de tipul de microporată din cauza fluxului cu care căldura este absorbită la suprafața de separație în sensul vaporizării lichidului. În această situație procesul se numește fierbere pentru a-l distinge de cavitație. Desigur în fiecare lichid există un domeniu de temperaturi sub care bulele va crește esențial prin cavitație și peste care creșterea va apare. La o analiză mai atentă a acestor fenomene trebuie necesară ecuația termodinamică a creșterii bulelor și ecuația de conservare a masei. Ecuația termodinamică a energiei care este scrisă în (2.6) și permite soluția simultană a razei $r(t)$ și temperaturii $\theta_B(t)$ în timp. Ecuația energiei care soluționează problema este scrisă în lichid /131/ :

$$\frac{\partial T}{\partial t_1} + \frac{r^2}{Y^2} \frac{dr}{dt} \frac{\partial T}{\partial Y} = D \left(\frac{\partial^2 T}{\partial Y^2} - \frac{1}{Y} \frac{\partial T}{\partial Y} \right) \quad (2.7)$$

unde D - este coeficientul de difuzie termică și Y este temperatura la un punct situat la raza r de la suprafața bulei.

Ecuația lui Fick pentru fluxul de masă la suprafața bulei este:

$$R_{m0} = 4 \pi r^2 k_L \left(\frac{\partial T}{\partial Y} \right) \quad (2.8)$$

în care k_L - este coeficientul de conductibilitate termică al lichidului.

Căldura absorbită de masa de lichid este:

$$\dot{Q}_G = \frac{4}{3} \pi r_N^3 \left[p_\infty - p_{vap}(T_\infty) + \frac{2\sigma}{r_N} \right] \left(\frac{1}{t_G - t_\infty} \frac{dr}{dt} + \frac{1}{r_N} \frac{dr}{dt} \right) \quad (2.9)$$

și de către masa de vapori din bulă :

$$\dot{Q}_{vap} = \frac{p_{vap}(T_B)}{T_B} \frac{4}{3} \pi r_{vap}^3 \left(\frac{1}{r_{vap} - 1} \frac{dr_{vap}}{dt} + \frac{1}{r_{vap}} \frac{dr_{vap}}{dt} \right) \quad (2.10)$$

unde cu γ - s-a notat exponentul politropic, \hat{m}' - este masa molară

de producere a vaporilor la suprafața de separație și ρ_{vap} - densitatea vaporilor saturați. Masa vaporilor din bulă este $4\pi r^2 \rho_{vap}(T_B)/3$ sau :

$$\hat{m}' = \frac{4\pi r^2 \rho_{vap}(T_B)}{3} \left[\frac{3}{r} \frac{dr}{dt} + \left(\frac{1}{\rho_{vap}} \frac{d\rho_{vap}}{dT} \right) \frac{dT_B}{dt} \right] \quad (2.3.3.11)$$

Fluxul căldurii rămase să evaporeze lichidul este :

$$E_r - E_G - E_{vap}$$

Producția masică de vapori la interfață va fi :

$$\hat{m}' = \frac{E_r - E_G - E_{vap}}{\alpha(T_B)} \quad (2.3.3.12)$$

Eliminînd din cele de mai sus \hat{m}' și cu relația de stare obținem ecuația energiei :

$$\begin{aligned} & \frac{dr}{dt} \left\{ \alpha(T_B) \rho_{vap}(T_B) + \left(\frac{r_H}{r} \right)^3 \frac{\rho_B}{\rho_\infty} \left[p_\infty - p_{vap}(\infty) + \frac{2\sigma}{r} \right] \right\} + \\ & + \frac{r}{3T_B} \frac{dT_B}{dt} \left\{ p_{vap}(T_B) \left(\frac{\alpha(T_B) \rho_{vap}(T_B)}{\rho_{vap}(T_B)} - 1 \right)^2 + \right. \\ & \left. + \frac{p_{vap}(T_B)}{\gamma_{vap} - 1} + \left(\frac{r_H}{r} \right)^3 \frac{T_B}{T_\infty} \frac{[p_\infty - p_{vap}(\infty) + \frac{2\sigma}{r}]}{\gamma - 1} \right\} \\ & = k_L \left(\frac{\partial T}{\partial Y} \right)_{Y=r} \quad (2.3.3.13) \end{aligned}$$

Ecuația adimensională pentru cazul în care se neglijează efecte termice neglijabile $\theta_B \ll 1$ și α , ρ_{vap} , E_{vap} și este :

$$\begin{aligned} & \frac{dr_1}{dt_1} \left[\alpha \gamma_{vap} + \left(\frac{r_H}{r_1} \right)^3 \left(\sigma + \frac{4}{c_{1L} We} \right) \right] + \frac{r_1}{3} \frac{\partial \theta}{\partial t_1} \left\{ \gamma_{vap} \left[(\alpha - 1)^2 + \right. \right. \\ & \left. \left. + (\gamma_{vap} - 1)^{-1} \right] + \left(\frac{c_{1L}}{r_1} \right)^3 (\gamma - 1)^{-1} \left(\sigma + \frac{4}{c_{1L} We} \right) \right\} = \\ & = \frac{2k_L T_\infty}{\rho_L v^2} \left(\frac{\partial \theta}{\partial t_1} \right)_{t_1=r_1} \quad (2.3.3.14) \end{aligned}$$

Forma adimensională a ecuației (2.3.3.13) este :

$$\frac{\partial \theta}{\partial t_1} + \frac{r_1^2}{Y_1^2} \frac{dr_1}{dt_1} \frac{\partial \theta}{\partial Y_1} + \frac{D}{\ell v} \left(\frac{\partial^2 \theta}{\partial Y_1^2} + \frac{2}{Y} \frac{\partial \theta}{\partial Y} \right) \quad (2.3.3.15)$$

Pentru cercetarea dinamicii unui curent de cavitație în fierbere se va proceda în mod similar cum s-a făcut în subcapitolul precedent și anume se va considera un curent radial și o perturbare oscilatorie. Ambele părți pot avea efecte termice proprii, diferite. Deoarece soluția completă a setului de ecuații (2.3.3.6), (2.3.3.14) și (2.3.3.15) este prea complicată se va recurge la o abordare fenomenologică de soluționare a problemei urmând următoarea schemă: Erenen în /12/. Se intenționează a se studia un curent de cavitațional și complexanța sa cu efectele termice asupra acestuia complexanțe. Creșterea bulelor într-un curent mediu de fierbere este cu mult mai lentă decât în cazul cavitației astfel încât fierberea poate calcula ca o primă aproximație a cavitației pentru un curent mediu uniform. Dar pentru a ști în ce situație se poate face acest lucru se va stabili o formulă care să indice dacă avem sau nu o relație într-un fenomen dat.

Fierberea. Dacă se neglijează termii de inerție în ecuația (2.3.3.6) și influența temperaturii asupra densității și viscozității gazos atunci :

$$\theta_B = \frac{1}{\alpha \psi_{vap}} \theta_p(t) \quad (2.3.3.16)$$

Dacă stratul de difuzie este foarte subțire față de raza de cavitație atunci o soluție aproximativă locală este dată de ecuația (2.3.3.14) și este :

$$\theta = A e^{\left[\frac{D}{v \ell} \epsilon^2 t - \epsilon (Y - Y_1) \right]} \quad (2.3.3.17)$$

cu A și ϵ - constante locale eliminabile prin condiția de continuitate :

$$\left(\frac{\partial \theta}{\partial Y_1} \right)_{Y_1=r_1} = - \sqrt{\frac{v \ell}{D}} \theta_B \frac{d \theta}{d Y_1} \quad (2.3.3.18)$$

Un studiu al proprietăților termice ale bulelor de fierbere solide arată că la temperaturi de fierbere în fierbere de suprafață de determinat din ecuația energiei este :

$$\alpha \psi_{vap} \frac{dr_1}{dt_1} \cong \frac{2 k_1 T_{\infty}}{\rho_1 v \ell} \left(\frac{\partial \theta}{\partial Y_1} \right)_{Y_1=r_1} \quad (2.3.3.19)$$

Substituind θ_B din relația (2.3.3.16) în ecuația (2.3.3.19) rezultă că :

$$\frac{dr_1}{dt_1} \approx - \frac{T_\infty c_{pL} \rho_L}{\alpha^2 \psi_{\text{vap}} P_{\text{vap}}} \sqrt{\frac{D}{2v}} c_p \frac{dC_p}{dt_1} \quad (2.3.3.20)$$

Condiția de fierbere ^{față} de cavitație care ca termen inerțiali din (2.3.3.6) să fie mici în comparație cu coeficientul presiune C_p . Deci o condiție :

$$\left(\frac{dr_1}{dt_1}\right)^2 \ll C_p \quad (2.3.3.21)$$

Comparînd cu (2.3.3.20) rezultă o condiție pentru $\frac{dC_p}{dt_1}$. Dar $\frac{dC_p}{dt_1}$ este de ordinea lui σ astfel că înlocuind acestea în (2.3.2.20) rezultă :

$$\sqrt{\frac{v^3 \sigma}{l}} \ll \frac{2 \mathcal{L}^2 \rho_{\text{vap}}^2}{D^{1/2} c_{pL} T_\infty \rho_L} = \Sigma(T) \quad (2.3.3.22)$$

Această relație definește o temperatură T_c pentru un proces particular dat. Dacă proprietățile fizice sînt mult mai mici decît proprietățile termodinamice ale lichidului sau vaporilor $\Sigma(T)$ atunci va apărea cavitația, în caz contrar se va instala fierberea.

Valorile funcției $\Sigma(T)$ pentru apă, oxigen și hidrogen sînt prezentate în fig. 2.3.3.2. Pentru o temperatură mai mică s-a

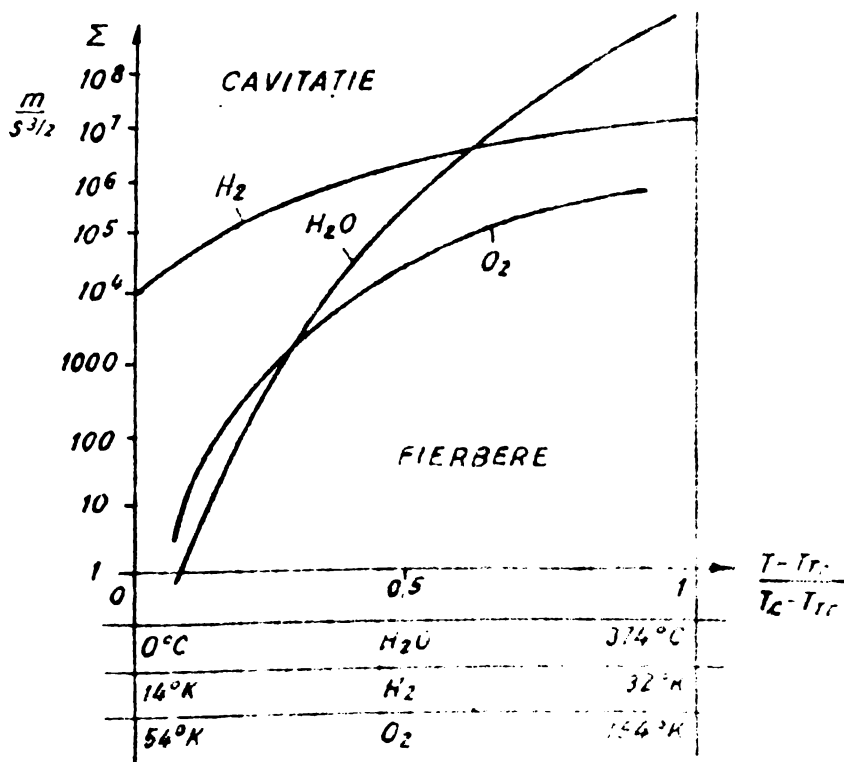


Fig. 233.2 Funcție termodinamică $\Sigma(T)$ după [40] pentru apă, oxigen și hidrogen

introdus o temperatură adimensională relativă la punctul triplu T_{tr} și punctul critic T_c de temperatură.

De exemplu : pentru o viteză de $v = 100$ m/s cu o lungime caracteristică de $L = 0,5$ m cu coeficientul $\sigma = 0,1$ avem :

$\sqrt{\frac{v^3 \sigma}{\rho}} \cong 400$ m/s^{3/2} și oxigenul va cavita sub $18,5^\circ\text{C}$, hidrogenul va fierbe mereu și apa va cavita sub 60°C .

Această analiză este utilă mai ales pentru lichide neosebite de apă unde bunul simț poate să înșele.

Pentru a studia răspunsul unui curent cavitant la o perturbare impuse din exterior întâi trebuie soluționată problema regimului staționar mediu. În acest regim creșterea și suspensia bulei se poate obține din ecuația (2.3.3.6) cu $\theta_1 = 0$ prin aproximație numerică cu metoda Runge-Kutta utilizând condițiile inițiale

$$r_1(0) = r_{1N} \quad \text{și} \quad \left(\frac{dr_1}{dt_1}\right)_{t_1=0} = 0 \quad (2.3.3.23)$$

S-a admis

$$We = 10^8 ; \quad Re = 10^7$$

și

$$c_p(t_1) = 0 \quad t_1 \leq 0 \quad \text{și} \quad t_1 \geq 1 \quad (2.3.3.24)$$

$$c_p(t_1) = \bar{c}_{pM} \sin^2 \pi t_1 \quad \text{cu} \quad \bar{c}_{pM} < 1 \quad 0 < t_1 < 1$$

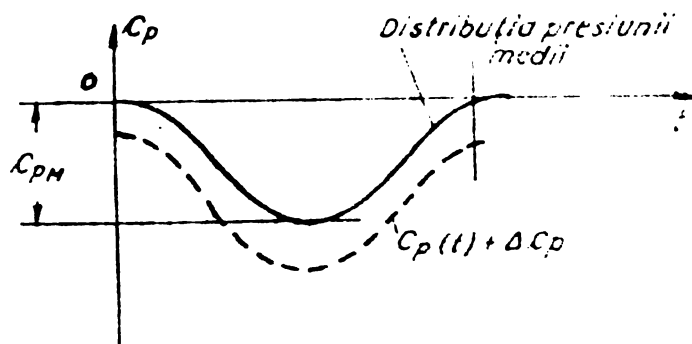


Fig. 233.3 Variația admisă a presiunii

Deși printr-o analiză Fourier se poate determina o lege de variație a presiunii în timp (de exemplu pentru cazul $We = 200$ este dată o astfel de încercare a autorului [17]), se poate obține pentru simplitate forma de mai sus în special în cazul în care rezultatele numerice obținute indică o slabă influență a curentului $c_p(t_1)$ cît mai ales o influență a valorii \bar{c}_{pM} asupra evoluției bulei. Deoarece $\bar{c}_{pM} \propto \sigma^{-1/2}$ și σ este de obicei ordin de mărime din ecuația lui Laplace în funcție de dimensiuni mari ale vitezei în sens considerat în [17] avem $\bar{c}_{pM} \propto v^{-1/2}$

deci variabila temporală se poate cu aproximație înlocui cu una spațială x în măsura în care se discută de curentul principal.

Densitatea ~~numerică~~ a nucleelor în curent în bandă de raze r_N și $r_N + dr_N$ se notează cu $N^*(r_{1N}) dr_N$ de bule pe unitatea de volum de lichid, unde $N^*(r_{1N})$ este densitatea de distribuție numerică a bulelor. Se presupune că nu se creează sau distrag bule. Volumul total al bulelor pe unitatea de secțiune transversală a curentului înmulțită cu lungimea $l dx$ (în loc de $l dt$) da turbolența n și :

$$\int_{r_{1N}} \frac{4\pi}{3} N^*(r_{1N}) [r_o(x)]^3 l dx dr_{1N} \quad (2.3.3.25)$$

unde $N(r_{1N}) = N^* l^4$ este densitatea de distribuție adimensională.

Să reliefa importanța densității de distribuție în analiza ce urmează. Datele experimentale sînt sărace cu privire la forma acestei distribuții. Totuși lucrările lui [4, 72, 100] permit o apreciere chiar dacă nu se referă la intrarea în turbopompă. Se apreciază că la intrarea în pompele din circuitul industrial se tînușă de bule să fie mai mare decît la apa caldă. Unele alți din rațiunile de încercare a pompelor.

Complezanța definită în cap. 2.3.1 este aplicată la modelul de spectru de bule într-o analiză de turbolență. Dacă o perturbare a curentului principal este de tipul $c_p(x)$ și $v_o(x)$ de o frecvență atît de scăzută, ω , încît turbolența este ea însăși o soluție a ecuației curentului principal. Perturbația se consideră a fi o mică modificare unghiulară a vitezei locale,

Δc_p așa precum se vede în fig.2.3.6.a :

$$c_p^*(x) = c_p(x) + \Delta c_p \quad (2.3.3.26)$$

Curentul afluent realizează de obicei o turbolență liberă și de aici nucleele corespunzătoare se vor forma în variabila r_{1N} . Dar cantitatea de gaz în aceste nuclele modificate va fi aceluși precum în cele originale atunci din ec. (2.3.3.6), cu condițiile asonante și legea gazelor perfecte rezultă :

$$\left(\frac{r_{1N}^*}{r_{1N}}\right)^3 = \frac{\sigma + 4/10e r_{1N}}{\sigma + \Delta c_p + 4/10e r_{1N}^*} \quad (2.3.3.27)$$

Dacă perturbarea este mică se poate scrie în jurul valorii de referință ecuații pentru r_{1N}^* este :

$$\frac{r_{1N}^*}{r_{1N}} \approx 1 - \frac{\Delta c_p}{3\sigma + 12/10e r_{1N}^* + \Delta c_p} \quad (2.3.3.28)$$

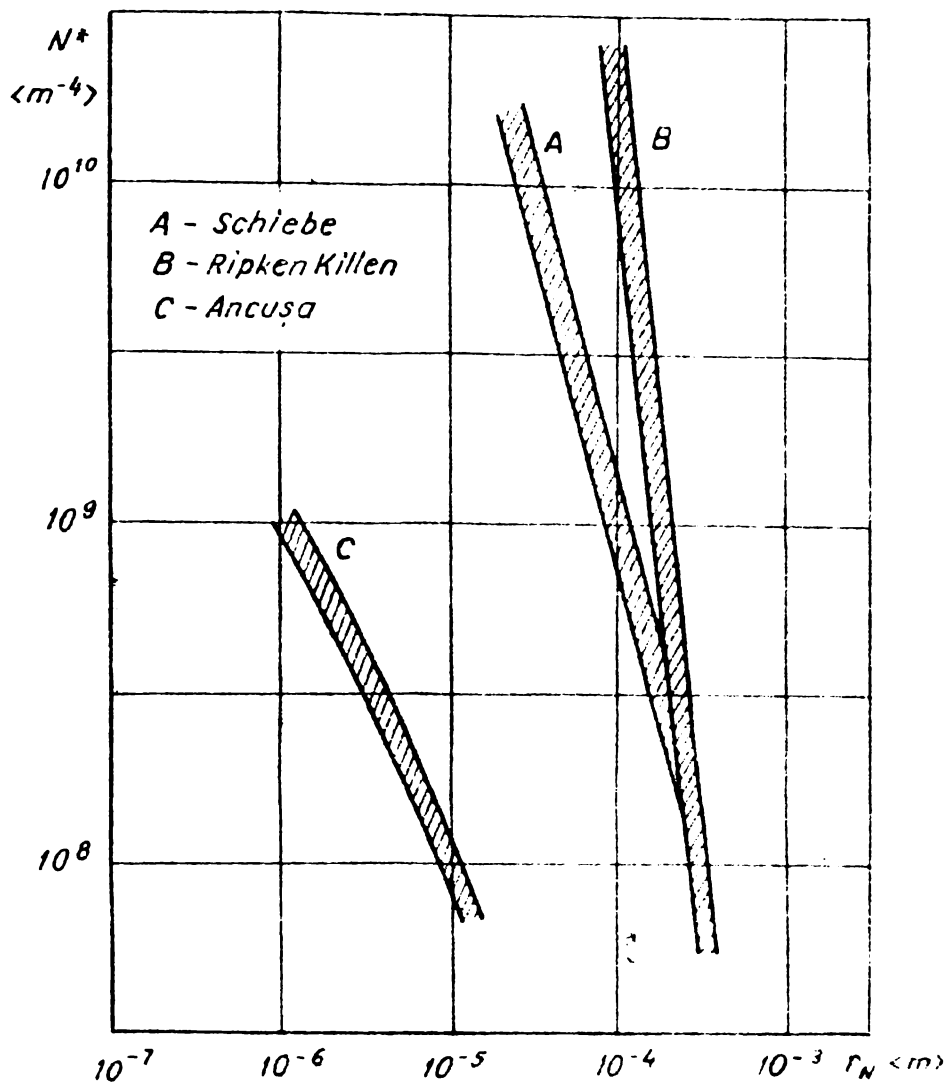


Fig. 233.4 Rezultatele experimentale și evaluări teoretice a funcției de densitate de distribuție numerică a bulelor după [100] [4] [105]

Inseamnă că mișcarea bulei în starea perturbată este dată de soluția ecuației (2.3.3.6), cu θ_{11} înlocuit cu r_1 înlocuit cu r_{1W}^* , cu σ înlocuit cu $\sigma + \Delta c_p$ și $c_p(t)$ înlocuit cu $c_p(x)$. Volumul total al bulelor într-un element de volum este dat de (2.3.3.25) cu $r_1(x)$ înlocuit cu $r_1^*(x)$. Atunci coeficientul volumului unitar cu presiunea se calculează din (2.3.2.27) și (2.3.2.84) și complezanța adimensională este dată de:

$$C_1(x) = - \frac{4 \pi}{3 \Delta c_p} \left\{ [r_1(x)]^3 - [r_1^*(x)]^3 \right\} \quad (2.3.3.29)$$

complezanța totală fiind :

$$C_t = \int C_1(x) dx \quad (2.3.3.30)$$

respectiv

$$C_3 = \int C_t (r_{11})^3 (r_1) dr_{11} \quad (2.3.3.31)$$

Fiindcă unele rezultate se vor referi la complezanțe locale

unitare C_t sau complezanțe pe unitatea de densitate numerică a bulelor C_t s-au dat rel. (2.3.3.29) și (2.3.3.30). Unele compromisuri trebuie făcute privind limitele de integrare a rel. (2.3.3.30): Este adevărat că nucleii existenți în curent înainte de $x = 0$, $t = 0$ au o oarecare complezanță ca și bulele ce rămân în curent aval de regiunea de presiune scăzută, de interes pentru noi. Oricum din cauza valorii scăzute a complezanței în aceste zone le neglijăm și integrăm de la $x = 0$, $t = 0$ la unul din minimele ce apar în procesul imploziei bulelor /138/. Valorile calculate pentru complezanța unitară totală C_t pînă la prima și respectiv a doua implozie a bulelor este redată în fig. 2.3.3.5 pentru diferite valori ale razei nucleului r_{1N} și coeficientului de cavitație σ . Contribuția substanțială la integrare provine din zona de dimensiuni maxime ale bulei și se observă că, completarea prin perioada a doua de evoluție a bulei aduce o pondere redusă în valoarea lui C_t .

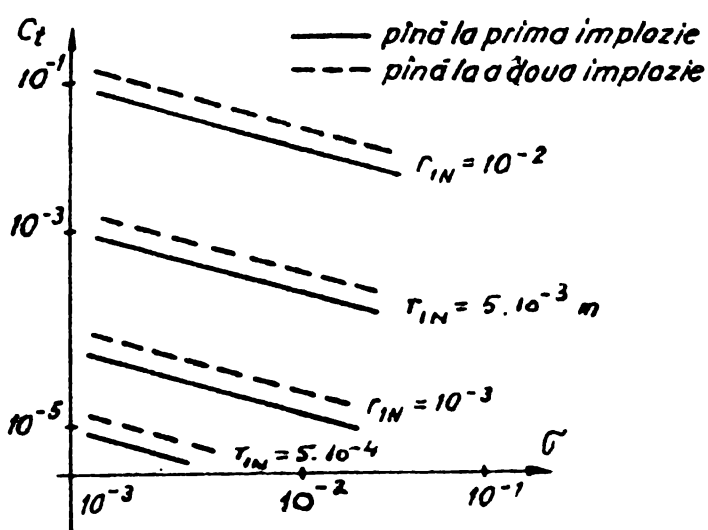


Fig. 2.3.3.5 Valorile cuasistatice ale complezanței unitare totale după (12)

Din fig.2.3.3.5 se poate deduce legea empirică

$$C_t \cong 10^3 r_{1N}^2 / \sqrt{\sigma} \quad (2.3.3.32)$$

Pentru funcția de distribuție a densității numerice a bulelor din fig.2.3.3.4 se poate exprima aproximativ

$$N(r_{1N}) = 10^{-7} (r_{1N})^{-4} \text{ pentru } r_{1N} \geq 5 \cdot 10^{-5} \text{ m,} \quad (2.3.3.33)$$

unde s-au neglijat bulele sub $5 \cdot 10^{-5}$ m.

Luînd valoarea tipică pentru lungimi $l = 0,3$ m complezanța totală din (2.3.3.31), (2.3.3.32) și (2.3.3.33) este :

$$C_B \cong \sigma^{-1/2} \quad (2.3.3.34)$$

Se observă ca un dezavantaj al tratării de față că nu introduce dependența lungimii caracteristice de mărimile hidrodinamice ale curentului și geometrice ale pompei (unghi de incidență, coeficient de cavitație etc.).

Comparațiile teoretice și experimentale realizate de Brennen /40/ arată același ordin de mărime al complezanței cu abateri datorate probabil aproximărilor făcute (mai ales absența unei curbe a distribuției densității numerice a bulelor) și unor elemente neadecvate în măsurătorile experimentale. (fig. 2.3.3.6.)

Peste o anumită limită a frecvenței de pulsație a perturbației (nedeterminată încă actualmente) efectele dinamice nu se mai pot neglija și analiza dinamică linearizată se impune. Bulele individuale în mișcarea lor de-a lungul traectoriei vor fi supuse unei variații de presiune de forma :

$$C_p(x_1) = \bar{C}_p(x_1) + \underline{\Delta C}_p e^{i\omega t_1} \quad (2.3.3.35)$$

Se consideră amplitudinea fluctuațiilor de presiune $\underline{\Delta C}_p$ o constantă reală suficient de mică pentru ca aproximația lineară să fie valabilă și atunci mișcarea rezultantă a bulei va fi de forma

$$r_1(x_1) = \bar{r}_1(x_1) + \underline{\Delta r}_1(x_1) e^{i\omega t_1} \quad (2.3.3.36)$$

unde desigur $\underline{\Delta r}_1$ reprezintă fluctuațiile radiale ale bulei la o anumită poziție de-a lungul traectoriei. Oricum fluctuațiile în rază și presiune realizate la o bulă individuală vor fi date de formulele (2.3.3.35) și (2.3.3.36) cu x_1 înlocuit de t_1 . Substituind în (2.3.3.6) cu $\theta_B \approx 0$ și extrăgând identitatea mișcării medii, neglijând termenii quadratici se ajunge la următoarea relație între

$\underline{\Delta r}_1$ și $\underline{\Delta C}_p$:

$$\begin{aligned} & \frac{d^2 \underline{\Delta r}_1}{dx_1^2} + \frac{d \underline{\Delta r}_1}{dx_1} \left(2 i\omega + \frac{3}{\bar{r}_1} \frac{d\bar{r}_1}{dx_1} + \frac{4}{Re \bar{r}_1^2} \right) + \underline{\Delta r}_1 \left[\frac{1}{\bar{r}_1} \frac{d^2 \bar{r}_1}{dx_1^2} - \omega^2 + \right. \\ & + \frac{3 \bar{r}_1^2 (r_{1N} \bar{r}_1 + \frac{4}{We})}{2 \bar{r}_1^5} - \frac{2}{\bar{r}_1^3 We} + 3 i\omega \frac{1}{\bar{r}_1} \frac{d\bar{r}_1}{dx_1} + \\ & \left. + \frac{4}{Re \bar{r}_1^2} \left(1 - \omega - \frac{1}{\bar{r}_1} \frac{d\bar{r}_1}{dx_1} \right) \right] = - \frac{\underline{\Delta C}_p}{2 \bar{r}_1} \quad (2.3.3.37) \end{aligned}$$

Această ecuație diferențială de ordinul doi are coeficienții funcții cunoscute de x_1 întrucât mișcarea medie a razei bulei s-a determinat. Soluții pentru $\frac{\underline{\Delta r}_1}{\underline{\Delta C}_p}$ se pot obține cu metoda Runge-Kutta.

Dacă complexanța dată de rel. (2.3.3.29) este linearizată în mod similar se remarcă proporționalitatea între complexanța unitară locală și $\frac{\Delta r_1}{\Delta C_p}$:

$$C_p = -4 \pi r_0^2 \frac{\Delta r_1}{\Delta C_p} \quad (2.3.3.38)$$

Aceasta se integrează ușor în scopul determinării complexanței unitare totale. $\frac{\Delta r_1}{\Delta C_p}$ și C_p - sînt numere complexe. Soluția limită a ecuației (2.3.3.37) pentru frecvențe ridicate se datorește termenului $\omega^2 \cdot \Delta r_1$ care crește odată cu frecvența de pulsație $\omega \rightarrow \infty$ astfel încît :

$$\frac{\Delta r_1}{\Delta C_p} \rightarrow \frac{1}{2 \bar{r}_1 \omega^2} \quad \text{și} \quad C_p \rightarrow -\frac{2 \pi \bar{r}}{\omega^2} \quad (2.3.3.39)$$

Din această relație se conchide că odată cu creșterea frecvenței de pulsație a perturbației : 1) Partea reală a complexanțelor totale C_t și C_B , va devia de la o valoare inițială pozitivă cuasi-statică la valori negative care apoi vor tinde la zero la frecvențe foarte mari. 2) Partea imaginară se va apropia de zero la ambele limite superioare și inferioară cu un extrem (probabil minim) pentru frecvențe intermediare.

Exemplele de calcul prezentate în /39/ care sînt redată aici oferă în raport cu poziția sau timpul adimensional x_1 respectiv t_1 pentru diferite frecvențe reduse, dimensiuni de nucleu și coeficienți de cavitație în fig.2.3.3.7 și fig.2.3.3.8. Acestea au fost integrate pentru a obține complexanța unitară totală C_t pînă la primul minim (implozie) și valorile se prezintă în fig.2.3.3.9 și fig.2.3.3.10 ca o funcție de frecvență pentru cîteva valori parametrice ale dimensiunilor nucleilor și coeficienților de cavitație. De asemenea se arată frecvențele naturale ale nucleilor inițiali date de relația :

$$\omega_N = \frac{1}{r_{1N}} \left[\frac{3G}{2} + \frac{4}{We r_{1N}} - 2 \left(\frac{2}{r_{1N} Re} \right)^2 \right]^{1/2} \quad (2.3.3.40)$$

Această valoare se poate deduce din (2.3.3.37) punînd condiția unui curent de presiune uniformă :

$$\bar{r}_1 = \bar{r}_{1N} ; \frac{d\bar{r}_1}{dx_1} = \frac{d^2\bar{r}_1}{dx_1^2} = 0 \quad \text{și} \quad \frac{d(\Delta r_1)}{dx_1} = \frac{d^2(\Delta r_1)}{dx_1^2} = 0$$

astfel încît rămî :

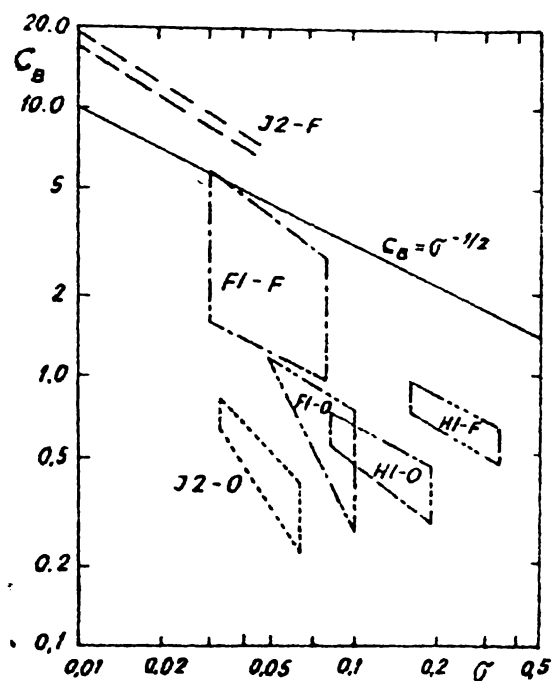


Fig. 233.6 Comparația între dependența teoretică propusă și rezultatele experimentale asupra unor pompe cu privire la complexanța totală a bulilor C_B în funcție de coeficientul de cavitație σ

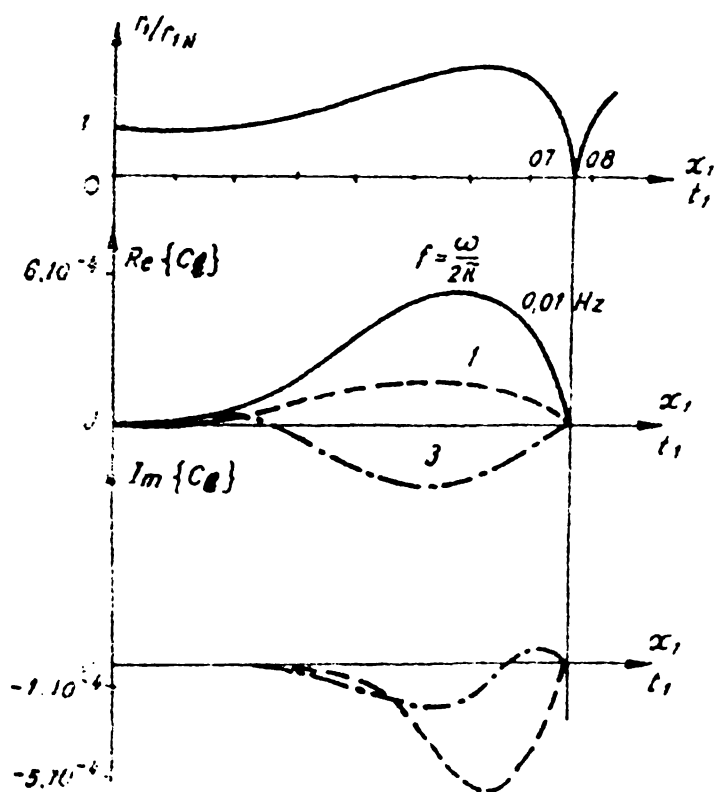


Fig. 233.7 Valoarea complexanței locale unitare pînă la prima implație a bulei cu $r_{1N} = 10^{-3}$ și $\sigma = 0.01$ pentru diferite frecvențe de pulsație a perturbației.

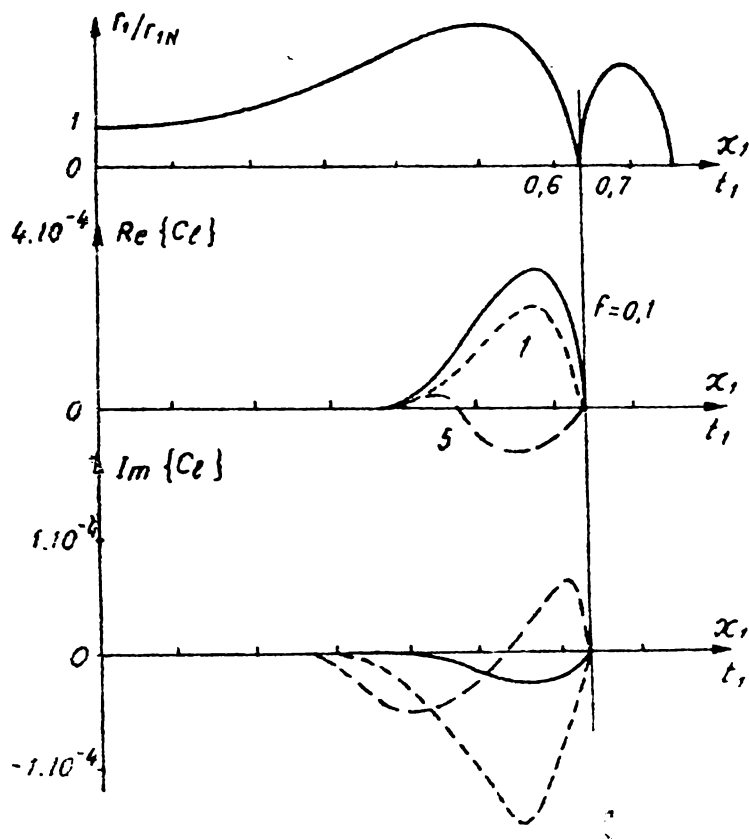


Fig. 233.8 Valoarea complexanței locale pînă la prima implozie a bulei cu $r_{1N} = 10^{-3}$ și $\bar{v} = 0,1$ pentru diferite frecvențe de pulsație a perturbației.

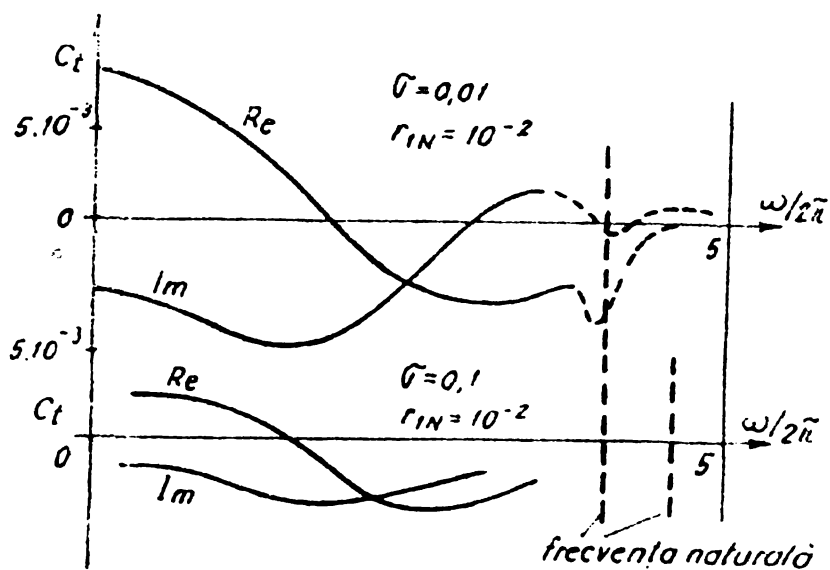


Fig. 233.9 Dependența de frecvență a complexanței unitare totale.

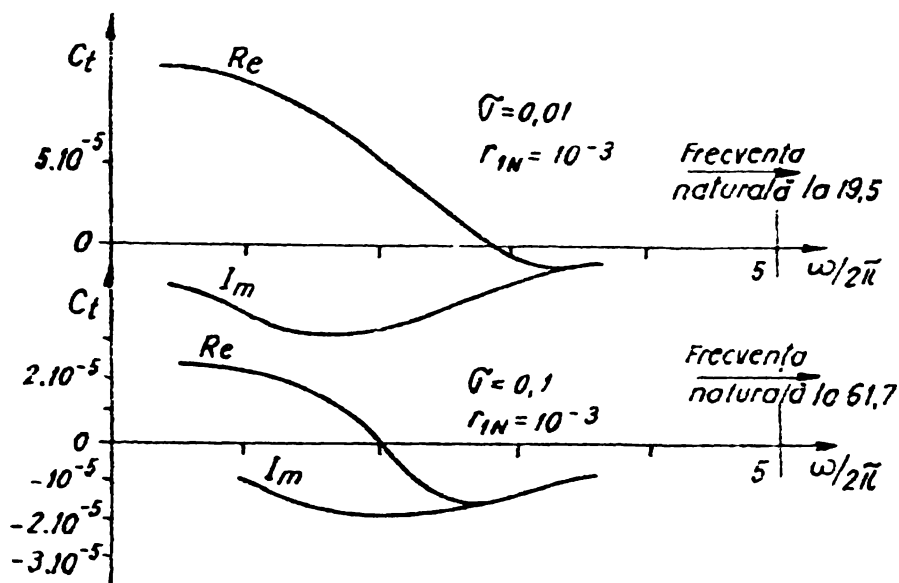


Fig. 2.3.3.10 Dependența de frecvență a complexanței unitare totale.

$$\frac{\Delta r_1}{\Delta C_p} = \left[2 r_{1N} \left(\omega^2 - \frac{4}{r_{1N}^3 We} - \frac{3 \sigma}{2 r_{1N}^2} - \frac{4i \omega}{r_{1N}^2 Re} \right) \right]^{-1} \quad (2.3.3.41)$$

Calculul acestor frecvențe de rezonanță pentru valorile uzuale ale nucleilor de cavitație a arătat că rezonanța nu prea apare aici deoarece la turbopompe frecvențele sînt în mod uzual între $\omega = 10^{-2}$ și 1 sub frecvențele de rezonanță ale bulelor în mod obișnuit. Din fig. 2.3.3.9 și 2.3.3.10 se observă că mărimea complexanței scade față de valoarea cuasistatică odată cu creșterea frecvenței. Aceasta nu este confirmată și de rezultatele experimentale din cap. 4 (fig. 4.2.51; 4.2.55; 4.2.59).

Pe baza ecuațiilor stabilite și enunțate în acest capitol se poate trece la calculul efectelor termice asupra complexanței cavitaționale în varianta modelului dinamic. Teoretic și practic s-a constatat o influență redusă și în general în sensul scăderii valorii complexanței.

Calculul complexanței unui curent de bule se poate face pornind de la ecuația stabilită de autor în lucrarea /20/ luînd în considerare analiza cuasistatică și linearizată dinamică și se obțin în mod similar valorile complexanței.

Calcululele efectuate referitor la răspunsul dinamic al unui curent de lichid cu un larg spectru de bule, în domeniu cavitațional, în prezența unei perturbații armonice de presiune au arătat că în ambele analize (cea cuasistatică și cea dinamică) complexanța cavitațională a curentului se poate obține. Cercetările efectuate sugerează că este posibilă o reducere a valorilor teoretice din cauza

- 1) restricțiilor de ordin termic în ceea ce privește creșterea medie a bulei în timpul trecerii prin regiunea de presiune scăzută ;
- 2) frecvențelor mai ridicate care nu au fost luate în considerare în calcule ;
- 3) efectelor termice auxiliare ale mișcării oscilatorii ale bulei.

Rezultatele analizei în regimuri dinamice nestaționare se vor extinde în continuare pentru un model simplificat de inductor axial al unei pompe centrifuge sau pentru un rotor de pompă axială. Modelarea este destul de grosieră însă permite obținerea funcțiilor de transfer în regimuri cavitaționale ale mașinii.

Consecințele dinamice ale unui curent hidrodinamic cu un spectru larg de bule ce trec prin canalele dintre două palete a unui rotor de pompă axială sau un regim bifazic între paletetele unui inductor axial al unei pompe centrifuge sînt deosebit de interesante. Se presupune absența componentei radiale și curentul din rețeaua de profile de grosime constantă este indicat în fig. 2.3.3.11.

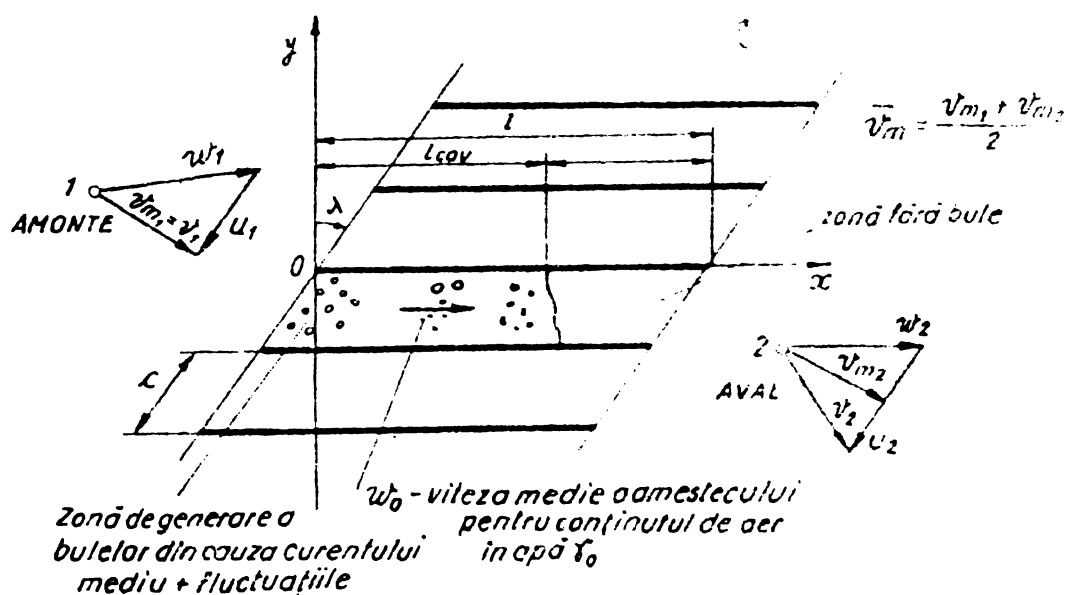


Fig. 2.3.3.11. Reprezentarea schematică a rețelei utilizate pentru modelul spectrului de bule, la curgere prin turbomașini, în regim cavitațional.

Se presupune o viteză amonte de rotor pur axială $\vec{v}_1 = \vec{v}_m 1$ și de asemenea $\vec{u}_1 = \vec{u}_2 = \vec{u} = \text{const}$ dar \vec{w}_1 și $\vec{v}_m 1$ au o componentă medie și o fluctuație $\vec{w}_1 = \bar{\vec{w}}_1 + \tilde{\vec{w}}_1$; $\vec{v}_m 1 = \bar{\vec{v}}_m 1 + \tilde{\vec{v}}_m 1$.

Răspunsul dinamic al unui curent de bule cavitaționale într-o rețea de profile este mai complicat chiar pentru un model mai grosolan al curgerii dar care permite o analiză în regimuri nestaționare și tranzitorii.

Variația parametrilor curentului în secțiunea transversală

a unui canal rotorice se va neglija astfel încît de fapt se va considera o analiză monodimensională și mărimile implicate se vor modifica numai de-a lungul axei x conform fig.2.3.3.11. Punctul la care bulele se sparg se va nota cu l_{cav} și mai jos de acest punct se va considera că acest canal rotorice conține numai lichid ieșirea din rotor fiind situată la $x = l > l_{cav}$.

Volumul bulelor în canalele rotorice în orice regim cavitațional staționar este în primul rînd o funcție de coeficientul de cavitație σ și de unghiul de incidență i . Deși în practică există și efecte datorate numărului Reynolds, numărului Weber și de asemenea efecte termice cît și datorate geometriei profilelor ce formează un canal, în analiza ce va urma, toate acestea se vor neglija. Se va aprecia o medie spațialo-temporală a conținutului volumic a fazei gazoase sau vapori în regiunea $0 < x < l_{cav}$ la valoarea γ_0 și se va considera că nu apare o alunecare între cele două faze lichidă și gazoasă/vapori în această regiune.

Deși grosimea paletelor se va neglija efectul lor se poate cu ușurință introduce și rezultă din ecuația de continuitate că viteza medie în canalul rotorice este

$$\bar{w}_0 = \frac{\bar{v}_m}{(1 - \gamma_0) \cos \lambda} \quad \text{în zona } 0 < x < l_{cav}$$

și

$$\frac{\bar{v}_m}{\cos \lambda} \quad \text{în zona } l_{cav} < x < l \quad (2.3.3.42)$$

Pentru calcule este necesar a cunoaște valori ale lui γ_0 . Desigur γ_0 crește cu scăderea valorii lui σ . În afara observațiilor directe care sînt dificil de realizat și măsurat sau evaluat în ceea ce privește valoarea lui γ_0 se oferă o modalitate de determinare efectivă a acestei valori în lucrarea lui Acosta /20/. În această lucrare s-a arătat de asemenea că pierderile adiționale de înălțime de pompare în turbopompele axiale funcționînd în cavitație se pot atribui în mare măsură absenței unui recuperator eficient de presiune în curentul hidrodinamic în apropierea regiunii unde bulele cavitaționale se sparg (implodează).

Cu alte cuvinte datorită amestecului în această regiune se disipează orice creștere a presiunii posibilă datorită reducerii vitezei de la $\frac{\bar{v}_m}{(1 - \gamma_0) \cos \lambda}$ la $\frac{\bar{v}_m}{\cos \lambda}$. Dacă se definește coeficientul de înălțime de pompare (sarcină) prin $\gamma_{st} = \frac{h_{st}}{\rho u_{st}^2}$ atunci

reducerea acestei valori asociată cu cavitația va fi de ordinul :

$$\Delta \psi_{st} = \frac{\gamma_0 (2 - \gamma_0)}{2(1 - \gamma_0)^2 \cos^2 \lambda} \left(\frac{\bar{v}_m}{u_M} \right)^2 \quad (2.3.3.43)$$

Cunoscînd aceste relații funcționale $\Delta \psi_{st}(\gamma_0, \frac{\bar{v}_m}{u_M})$ și dîndu-se performanțele cavitaționale ale unui inductor în forma

$\Delta \psi_{st}(\sigma, \frac{\bar{v}_m}{u_M})$ se poate deduce o estimare grosieră a relației dintre cantitatea de vapori din apă γ_0 și coeficientul de cavitație σ . Odată cu oscilația curentului amonte se produce o variație a unghiului de incidență i . Aceasta va realiza o fluctuație în numărul și volumul bulelor generate la muchia de atac în unitatea de timp. Mai mult chiar se va presupune că această neomogenitate în fracțiunea volumică de vapori sau densitatea amestecului va fi transportată prin canalele rotorice cu viteza amestecului w_0 . Aceasta conduce la un termen fluctuant de forma

$$\underline{\Delta \gamma_0} e^{i\omega t - i\omega \frac{x}{w_0}}$$

în fracțiunea de vapori sau de forma

$$- \rho_l \underline{\Delta \gamma_0} e^{i\omega t - i\omega \frac{x}{w_0}}$$

în densitatea amestecului în canalele rotorice la momentul t . Se va presupune că amplitudinea $\underline{\Delta \gamma_0}$ este proporțională cu amplitudinea fluctuațiilor unghiului de incidență și de aceea proporțională cu amplitudinea fluctuațiilor debitului masic la intrarea în rotor $\underline{\Delta m_1}$. Deci

$$\underline{\Delta \gamma_0} = - B^* \cdot \underline{\Delta m_1} \quad (2.3.3.44)$$

Se va demonstra că factorul de proporționalitate B^* este analog în efectul său dinamic cu factorul de amplificarea debitului masic.

În regiunea $0 < x < l_{cav}$ a canalului paletelor, presiunea $p(x)$, densitatea amestecului $\rho(x)$, fracțiunea volumică de cavitație $\gamma(x)$ și viteza amestecului w_0 se descompun în parte medie și partea fluctuantă precum urmează :

$$\begin{aligned} p(x) &= \bar{p} + \underline{\Delta p(x)} e^{i\omega t} & \rho(x) &= \bar{\rho} + \underline{\Delta \rho} e^{i\omega t} \\ \gamma(x) &= \gamma_0 + \underline{\Delta \gamma_0(x)} e^{i\omega t} & w_0(x) &= \bar{w}_0 + \underline{\Delta w_0} e^{i\omega t} \end{aligned} \quad (2.3.3.45)$$

unde se presupune că \bar{p} , $\bar{\rho} = \rho_l (1 - \gamma_0)$, γ_0 și \bar{w}_0 se presupun a fi independente de x . Densitatea locală a amestecului $\underline{\Delta \rho(x)} = - \rho_l \underline{\Delta \gamma_0}$ sau a fracțiunii ocupate de vapori va fi de asemenea o funcție de presiunea locală $\underline{\Delta p(x)}$. Pentru a reprezenta aceasta este necesar :

cunoașterea compresibilității amestecului K^* care se va presupune uniformă. Măsurarea acestei valori în fenomene nestaționare bifazice în alt context și anume, simularea loviturii de berbec în instalații hidroenergetice, a făcut obiectul unor cercetări a autorului lucrării de față /247/. Revenind, dacă această fluctuație împreună cu presiunea este suprapusă peste neomogeneitatea descrisă mai înainte, atunci densitatea amestecului este dată de :

$$\underline{\Delta \rho}(x) = \rho_l B^* \underline{\Delta m}_1 e^{-i\omega \frac{x}{v_m}} + K^* \underline{\Delta p}(x) \quad (2.3.3.46)$$

Dacă aria transversală a canalului paletelor rotorului pompei A_p este constantă atunci debitul masic mediu al lichidului este $\bar{\rho} \bar{w}_0 A_p$ și debitul masic fluctuant al lichidului este

$$A_p \left[\bar{\rho} \underline{\Delta w}_0(x) + \bar{w}_0 \underline{\Delta \rho}(x) \right].$$

Este convenabil în scopul analizei dinamice a canalelor paletelor de a defini o fluctuație adimensională a amplitudinii debitului masic $\underline{\Delta m}^*$ ca o parte a debitului masic mediu (aceasta va diferi cu un factor de forma $\frac{\bar{v}_m}{u_M}$ de debitele masice adimensionale $\underline{\Delta m}_1$ și $\underline{\Delta m}_2$)

$$\underline{\Delta m}^*(x) = \frac{\underline{\Delta w}_0(x)}{\bar{w}_0} + \frac{B}{1 - \gamma} \underline{\Delta m}_1 e^{-i\omega \frac{x}{w_0}} + \frac{K^*}{\bar{\rho}} \underline{\Delta p}(x) \quad (2.3.3.47)$$

Din condiții de continuitate valorile lui $\underline{\Delta m}^*(x)$ la $x = 0$ și $x = l_c$ trebuie să fie egale cu amplitudinea fluctuațiilor debitului masic mult amonte și aval de pompă, respectiv :

$$\underline{\Delta m}^*(0) = \frac{\underline{\Delta m}_1 u_M}{\bar{v}_m} ; \quad \underline{\Delta m}^*(l_{cav}) = \underline{\Delta m}^*(l) = \frac{\underline{\Delta m}_2 u_M}{\bar{v}_m} \quad (2.3.3.48)$$

Dinamica canalelor paletelor rotorice va fi descrisă din relațiile care derivă din ecuația de continuitate și de mișcare. În măsura în care aria transversală a rotorului este constantă ecuația de continuitate se poate scrie :

$$\frac{\partial \rho}{\partial t} + \frac{\partial}{\partial x} (\rho w_0) = 0, \quad (2.3.3.49)$$

sau în termenii de fluctuație definiți la (2.3.3.45) :

$$i\omega \underline{\Delta \rho} + \bar{\rho} \frac{\partial \underline{\Delta w}_0}{\partial x} + \bar{w}_0 \frac{\partial \underline{\Delta \rho}}{\partial x} = 0. \quad (2.3.3.50)$$

Ecuația de mișcare pentru aceleași fluctuații se prezintă în forma :

$$\frac{\partial \Delta p}{\partial x} + i \omega \bar{\rho} \Delta w_0 + \bar{\rho} \bar{w}_0 \frac{\partial \Delta w_0}{\partial x} = - \rho_L \bar{w}_0 f^* \Delta w_0 \quad (2.3.3.51)$$

unde s-a introdus un termen caracteristic de frecare pentru a lua în considerare și simula rezistența de frecare la curgerea prin paletele rotorului, unde $f^* = \frac{f}{R_h}$ adică coeficientul de pierderi hidraulice distribuite f raportat la raza hidraulică R_h . Substituind (2.3.3.46) în (2.3.3.50) se obține :

$$i \omega K^* \Delta p + \bar{w}_0 K^* \frac{\partial \Delta p}{\partial x} + \bar{\rho} \frac{\partial \Delta w_0}{\partial x} = 0 \quad (2.3.3.52)$$

Soluția sistemului (2.3.3.51) și (2.3.3.52) în raport cu $\Delta p(x)$ și $\Delta w_0(x)$ este :

$$\Delta p(x) = \bar{\rho} \bar{w}_0^2 \left[\xi_1 G e^{\eta_1 \frac{x}{l_{cav}}} + \xi_2 I e^{\eta_2 \frac{x}{l_{cav}}} \right] \quad (2.3.3.53)$$

$$\Delta m^*(x) = G e^{\eta_1 \frac{x}{l_{cav}}} + I e^{\eta_2 \frac{x}{l_{cav}}} + B \Delta m^*(0) e^{-i \omega \frac{x}{\bar{w}_0}} \quad (2.3.3.54)$$

unde

$$B = \frac{B^*}{1 - \gamma_0} \frac{\bar{v}_m}{u_M}$$

și s-au folosit rel. (2.3.3.47) și (2.3.3.48). Aici G și I sînt constante, iar η_1 și η_2 sînt soluții a ecuației de dispersie :

$$\eta^2 = K \frac{\bar{v}_m}{u_M} \varepsilon \left(\eta + i \omega \frac{l_{cav}}{\bar{w}_0} \right) \left[\eta + i \omega \frac{l_{cav}}{\bar{w}_0} + \varepsilon l_{cav} (1 - \gamma_0) \right] \quad (2.3.3.55)$$

unde s-a notat cu $K = K^* u_M^2$ și $\varepsilon = \frac{\bar{v}_m}{u_M (1 - \gamma_0)^2 \cos^2 \lambda}$ și în (2.3.3.53)

$$\xi_{1,2} = \frac{i}{\omega l_{cav} K^* \bar{w}_0} \eta_{1,2} \quad (2.3.3.56)$$

Urmează din (2.3.3.53) și (2.3.3.54) că presiunile și debitele masice parțiale la limita zonei de cavitație cu spectru larg de bule este corelată :

$$\left\| \begin{array}{c} \Delta p(l_{cav}) - \Delta p(0) \\ \Delta m^*(l_{cav}) - \Delta m^*(0) \end{array} \right\| = \left\| \begin{array}{cc} WB_{11} & \frac{1}{2} \bar{\rho} \bar{w}_0^2 WB_{12} \\ 2WB_{21} / \bar{\rho} \bar{w}_0^2 & WB_{22} \end{array} \right\| \cdot \left\| \begin{array}{c} \Delta p(0) \\ \Delta m^*(0) \end{array} \right\| \quad (2.3.3.57)$$

unde :

$$WB_{11} = -1 + (\eta_1 e^{\eta_1} - \eta_2 e^{\eta_2}) / (\eta_1 - \eta_2) \quad (2.3.3.58)$$

$$WB_{12} = - \frac{2(1-M)}{(1-K \epsilon \bar{v}_m / u_M)} \left[1 - \frac{\omega l_{cav}}{\bar{w}_0} + f l_{cav}(1 - \gamma_0) \right] (e^{\eta_1} - e^{\eta_2}) / (\eta_1 - \eta_2) \quad (2.3.3.59)$$

$$WB_{21} = - \frac{i \omega l_{cav} K \epsilon \bar{v}_m / u_M}{2 \bar{w}_0} (e^{\eta_1} - e^{\eta_2}) / (\eta_1 - \eta_2) \quad (2.3.3.60)$$

$$WB_{22} = -1 + M e^{-i \omega l_{cav} / \bar{w}_0} + (1-M)(\eta_1 e^{\eta_2} - \eta_2 e^{\eta_1}) / (\eta_1 - \eta_2) \quad (2.3.3.61)$$

Acste elemente cuprind funcțiile de transfer a regiunii cu bule de cavitație din partea curențului hidrodinamic. Deși mai sînt necesare unele completări la cele demonstrate este util a examina unele cazuri fizice particulare care apar în cazul turbopompelor.

Astfel dacã $\eta_1, \eta_2 \ll 1$; ($K \lambda \ll 1$ și $\omega \frac{l_{cav}}{\bar{w}_0} \ll 1$) atunci elementele funcției de transfer dobîndesc o formă mai simplă :

$$WB_{11} \cong K \lambda \frac{\bar{v}_m}{u_M} \left[2i \frac{\omega l_{cav}}{\bar{w}_0} + f l_{cav}(1 - \gamma_0) \right] \quad (2.3.3.62)$$

$$WB_{12} \cong -2(1-M) \left[1 - \frac{\omega l_{cav}}{\bar{w}_0} + f l_{cav}(1 - \gamma_0) \right] \quad (2.3.3.63)$$

$$WB_{21} \cong -i \omega \frac{l_{cav}}{\bar{w}_0} \frac{K \lambda \bar{v}_m}{2 u_M} \quad (2.3.3.64)$$

$$WB_{22} \cong -i \omega \frac{l_{cav}}{\bar{w}_0} M \quad (2.3.3.65)$$

Analizînd rezultatele obținute și comparîndu-le cu definiția dată mărimilor caracteristice din funcțiile de transfer al unei turbopompe în cap. 2.3.1 se observă că funcția de transfer WB_{12} conține un termen inertial și unul rezistiv, că funcția de transfer WB_{21} conține complexanța K și că termenul WB_{22} conține amplificarea debitului masic. Acste rezultate sînt o posibilitate de confirmare a raționamentelor făcute.

Pentru a construi funcția de transfer a pompei se vor corela variațiile de presiune și debit masic de la $x = 0$ și $x = l_{cav}$ cu va-

lorile amonte și aval de rețea. Relația între fluctuațiile debitului masic s-au descris în rel. (2.3.3.48), rămâne a analiza presiunile.

Deoarece în regimuri staționare se obișnuiește definirea curbelor caracteristice statice în termeni referitori la înălțimea de pompare și nu în raport cu presiunea statică de la aspirația și refularea pompei se va trece la presiuni totale în analiza ce urmează.

Notînd cu 1 respectiv 2 intrarea și ieșirea din rotorul pompei presiunea totală o descompunem într-o componentă constantă și una oscilatorie și se poate scrie

$$P = \bar{P} + \underline{\Delta P} e^{i\omega t} \quad (2.3.3.66)$$

Prin adimensionalizare (împărțire cu $\frac{1}{2} \rho_L u_M^2$) și linearizare rezultă :

$$\underline{\Delta \psi}_1 = \frac{\underline{\Delta p}_1}{\frac{1}{2} \rho_L u_M^2} + 2 \frac{\bar{v}_m}{u_M} \cdot \underline{\Delta m}^* \quad (2.3.3.67)$$

unde $\underline{\Delta p}_1$ este presiunea statică oscilatorie. Dacă se presupune intrarea fără șoc pe palete (aprox. că viteza relativă a fluidului este paralelă cu paletele la intrare) la $x = 0$ conform fig. 2.3.11 rezultă că :

$$P_1 + \left[\frac{\partial}{\partial t} \left(\frac{\bar{v}_m}{u_M} \right) \right]_1 - \left[\frac{\partial}{\partial t} \left(\frac{\bar{v}_m}{u_M} \right) \right]_{x=0} = p(0) + \frac{1}{2} \rho_L [w(0)]^2 \quad (2.3.3.68)$$

Termenul $\frac{\partial}{\partial t} \left(\frac{\bar{v}_m}{u_M} \right)$ reprezintă diferența de presiune datorită inerției debitului masic între punctul 1 și intrarea în rotorul de palete (sau muchia de atac a paletei pompei). Datele experimentale sînt date uneori în raport cu P_1 din care acești termeni inerțiali s-au extras deci se vor omite. Din ecuația de continuitate rezultă **relațiile** linearizate ale perturbației ca fiind legate prin

$$\underline{\Delta p}(0) = \frac{1}{2} \rho_L u_M^2 \left[\underline{\Delta \psi}_1 - 2 \frac{\bar{v}_m}{u_M} \frac{\underline{\Delta m}_1^*}{(1 - \gamma_0)^2 \cos^2 \lambda} \right] \quad (2.3.3.69)$$

Această fluctuație completează legătura necesară pe partea de aspirație pînă la intrarea pe paletele rotorice.

Aval de zona cavitațională cu bule trebuie întii să se scrie $\underline{\Delta p}(l_{cav})$ la $\underline{\Delta p}(l)$. Se introduce același coeficient de corecție, precum în rel. (2.3.3.51), pentru $l_{cav} < x < l$ (aceasta se înlocuiește o condiție necesară ci doar pentru simplitate).

Acum legătura între $\underline{\Delta p}(l_{cav})$ și $\underline{\Delta p}(l)$ se poate obține

fie construind partea inertială și rezistivă sau luând limitele corespunzătoare și aplicându-se zonei $l_{cav} < x < l$:

$$\underline{\Delta p(l)} = \underline{\Delta p(l_{cav})} - \frac{\rho_L (l - l_{cav}) \bar{v}_m^2}{\cos^2 \lambda} \left(\frac{i \omega \cos \lambda}{\bar{v}_m} + f \right) \underline{\Delta m_2^*}(l) \quad (2.3.3.70)$$

În final $\Delta p(l)$ se poate corela cu presiunea totală aval $\Delta \Psi_2$ într-o manieră similară cu cea prin care s-au obținut relațiile de la intrare. Deci :

$$\underline{\Delta p(l)} = \frac{1}{2} \rho_L u_M^2 (\Delta \Psi_2 + 2 \underline{\Delta m_2^*} \operatorname{tg} \lambda - 2 \frac{\bar{v}_m}{u_M} \underline{\Delta m_2^*} \frac{1}{\cos^2 \lambda}) \quad (2.3.3.71)$$

Cel de al doilea termen din paranteza (2.3.3.71) este mai important și este analog pantei obișnuite a curbei $H(Q)$. Acesta se poate remarca și punând $\underline{\Delta p(0)} = \underline{\Delta p(l)}$ și $\underline{\Delta m_1^*} = \underline{\Delta m_2^*}$ și scăzând (2.3.3.69) din (2.3.3.71) . Panta curbei este modificată prin diferența între presiunile $\underline{\Delta p(0)}$ și $\underline{\Delta p(l)}$ din cauza diferitelor surse de pierderi care apar într-o pompă. Toate aceste pierderi se pot cuprinde în coeficientul de pierderi f .

Funcția de transfer a pompei WP se poate construi folosind rel. (2.3.3.69) - (2.3.3.71) din funcția de transfer a bulelor WB. Elementele matricii de transfer a pompei WP sînt funcții de următoarele mărimi : unghiul de instalare a rețelei λ , complexul geometric $l \cos \lambda / c$ coeficientul $\frac{\bar{v}_m}{u_M}$, frecvența adimensională a pompei $\frac{\omega c}{u_M}$, un parametru de rezistență a canalelor paletelor $f l \frac{\bar{v}_m}{u_M} \frac{1}{\cos^2 \lambda} = FF$, lungimea relativă a zonei cavitînde l_{cav}/l (de fapt funcția de σ), conținutul mediu volumic de vapori în apă γ_0 , complezanța (sau compresibilitatea) K , factorul amplificării debitului masic Q .

Dacă se notează :

$$D = -2 \operatorname{tg} \lambda + \frac{2 \bar{v}_m}{u_M \cos^2 \lambda} - 2 i \omega \frac{l \cos \lambda}{c} \left(1 - \frac{l_{cav}}{l} \right) / \cos^2 \lambda - 2 \left(1 - \frac{l_{cav}}{l} \right) F \quad (2.3.3.72)$$

Rezultă :

$$WP_{11} = WB_{11} + D WP_{21} \quad (2.3.3.73)$$

$$WP_{12} = \epsilon (1 - \gamma_0) WB_{12} + Q(1 + WB_{22}) - 2 \epsilon (1 + WP_{11}) \quad (2.3.3.74)$$

$$WP_{21} = WB_{21} / \epsilon (1 - \gamma_0) \quad (2.3.3.75)$$

$$WP_{22} = WB_{22} - 2 WB_{21} / (1 - \gamma_0) \quad (2.3.3.76)$$

unde :

$$f \mathcal{I}_{cav}(1 - \gamma_0) = F \frac{\mathcal{I}_{cav}}{\mathcal{I}} / \varepsilon (1 - \gamma_0) \quad (2.3.3.77)$$

Limita de frecvențe scăzute a acestor funcții de transfer se obține folosind rel. (2.3.3.62) - (2.3.3.65) și se consideră valori scăzute pentru ω , K , γ_0 și M și rezultă :

$$\begin{aligned} WP_{11} \rightarrow & K \frac{\bar{v}_m}{u_M} F \frac{\mathcal{I}_{cav}}{\mathcal{I}} / (1 - \gamma_0) + \frac{1}{2} i \omega K \frac{\mathcal{I}_{cav} \lambda}{c} \frac{\mathcal{I}_{cav}}{\mathcal{I}} \left[2 \operatorname{tg} \lambda + \right. \\ & \left. + \left(2 - \frac{\mathcal{I}_{cav}}{\mathcal{I}} \right) F + 2 \varepsilon (1 - \gamma_0^2) \right] \end{aligned} \quad (2.3.3.78)$$

$$WP_{12} \rightarrow -i \omega \left(2 \frac{\mathcal{I}_{cav}}{\mathcal{I}} / \cos \lambda - 2 \operatorname{tg} \lambda - 2 F \right) \quad (2.3.3.79)$$

$$WP_{21} \rightarrow -\frac{1}{2} i \omega K_{cav} \frac{\cos \lambda}{c} K \quad (2.3.3.80)$$

$$WP_{22} \rightarrow -i \mathcal{I}_{cav} \omega \frac{\cos \lambda}{c} \left[(1 - \gamma_0) M \frac{u_M}{\bar{v}_m} - K \varepsilon \right] \quad (2.3.3.81)$$

Si în aceste relații termenul WP_{12} conține o parte inercială și una rezistivă, WP_{21} are complezanță și factorul amplificației debitului masic se prezintă în WP_{22} . În plus WP_{22} este funcție de complezanță deși termenul dependent de complezanță are valoare mai mici decât cel dependent de amplificarea debitului masic. Astfel s-a demonstrat o posibilitate de calcul a matricilor de transfer în ipoteza celor două modele unul bazat pe mișcarea potențială aliniată pe dinamica unui spectru de bule.

3. CERCEȚĂRI EXPERIMENTALE DESPRE DINAMICA TURBOPOMPELOR

3.1 Metode de încercare dinamică

Caracteristicile dinamice ale turbopompelor exprimă dependența mărimilor de ieșire, precum debitul volumic și înălțimea de pompare, în raport cu timpul, în funcție de mărimile de intrare, precum viteza unghiulară și momentul mecanic, ele însele variabile în timp.

Pompa hidrodinamică într-o apreciere dinamică riguroasă se prezintă sub forma unui model matematic exprimat printr-un sistem de ecuații integro-diferențiale, neliniare, cu parametrii distribuiți.

În tratarea teoretică a mașinii (vezi cap.2) pentru soluționarea problemelor propuse s-a aproximat modelul mașinii cu un element liniar și cu parametri de stare concentrați. Validitatea modelului adoptat cât și valorile reale ale parametrilor și constantelor caracteristice dinamice se pot găsi numai pe cale experimentală. De aici rezultă necesitatea metodelor experimentale în care se măsoară mărimile de intrare și de ieșire și se deduc valorile variabilelor, mărimilor de stare și funcțiilor de transfer. Există trei categorii de metode pentru determinarea experimentală a caracteristicilor dinamice ale pompelor /63, 74, 127/ :

- metode active folosind semnale de probă,
- metode pasive utilizând mărimile din funcționarea normală,
- metode adaptive mizând pe modele ajustabile.

Metodele de identificare utilizând semnale de probă sînt ușor de aplicat și se folosesc des, dar conturbă procesul de funcționare al mașinii. Semnalele de probă utilizabile sînt aperiodice sau periodice cu reprezentanți tipici pentru turbomașini sub forma unor funcții treaptă (în realitate rampă) și respectiv sinusoidale. Semnalele deterministe sub forma unui impuls (de fapt triunghi) și semnalele aleatoare sub forma zgomotului alb sînt mai greu aplicabile turbomașinilor /39, 75, 93/. Metodele de identificare folosind mărimile din funcționarea normală /60, 76/ nu necesită aplicarea unor semnale de probă ci mizează pe regimurile tranzitorii și micile perturbații inerente proceselor reale. Această metodă este aptă pentru acele procese ce nu admit întreruperi sau simulări experimentale. Datele culese din funcționarea reală a mașinii permit găsirea unui model matematic cât mai reprezentativ. Calculele însă, la această metodă, sînt mai laborioase, iar funcțiile de corelație și funcțiile de transfer pot fi afectate de erori (datorită zgomotelor). Metodele folosind modele ajustabile sînt precise, eficiente, însă necesită un efort considerabil de elaborare și de calcul.

În subcapitolele ce urmează se vor prezenta două stațiuni experimentale pe care s-au făcut măsurători și care permit aplicarea metodei active de identificare a pompelor hidrodinamice din componența lor, prin semnale de probă periodice sinusoidale.

Proiectarea unor astfel de stațiuni este mai complicată prin faptul că alături de condițiile ce trebuiesc îndeplinite pentru testarea caracteristicilor statice ale mașinii se adaugă noi și nu întotdeauna compatibile restricții datorită încercărilor de evaluare a performanțelor în regim dinamic. Astfel funcționarea nestabilă tranzitorie sau oscilațiile și vibrațiile în apropierea rezonanței cât și auto-oscilațiile atât din partea ~~elementelor~~ solide cât și lichide sau a ambelor și de asemenea fenomenul de cavitație sau cel care bifazică fac această problemă dificil de rezolvat. Date utile despre stațiuni de încercare sau încercări de a simula regimuri dinamice în pompe se găsesc în /148/, încercări prin generarea de auto-oscilații în /97, 98, 119/ sau de a modifica numai presiunea la intrare în pompă în /132, 164/. Totodată prin încercările dinamice prezentate în /5, 124, 155, 52, 147/ se oferă indicații prețioase pentru construcția stațiunilor de încercare dinamică a turbopompelor.

3.2 Stațiunea LMHT

Stațiunea pentru încercarea dinamică a pompelor hidrodinamice din Laboratorul de mașini hidraulice a Institutului Politehnic "Traian Vuia" din Timișoara, denumită stațiunea LMHT, se compune dintr-un circuit hidraulic, mașini de antrenare, aparatură de măsură și instalațiile auxiliare conform fig.3.2.1 și celor expuse în lucrările autorului /28, 36/ precum și pe baza fotografiilor din fig.3.2.2...3.2.4.

Circuitul hidraulic, dezvoltat în plan orizontal, este compus dintr-un rezervor R, conducta de aspirație CA, pompa centrifugă P și conducta de refulare CR. Rezervorul R este închis, pe lângă un plut cu lichid are o pernă de aer la partea superioară și are prevăzute două vane profilate V1 și V2 acționate de către dispozitivele Ac1 și Ac2. Conducta de aspirație CA, are un tronson transparent pentru vizualizarea condițiilor de realizare a curentului bifazic prin introducerea aerului cu injectorul I. Pompa centrifugă de tipul CRIS-50 este așezată cu axul orizontal și refularea la partea inferioară și este racordată prin tronsoane de conductă tronconică de rețeaua hidraulică. Pompa centrifugă CRIS-50 a cărei dinamică de studiază are parametrii : înălțime de pompare $H_0 = 22$ m, debitul volumic $Q_0 = 12$ m³/h, turația arborelui $n_0 = 3000$ rot/min, și este realizată de uzina de pompe "Aversa" din București. Conducta de refulare

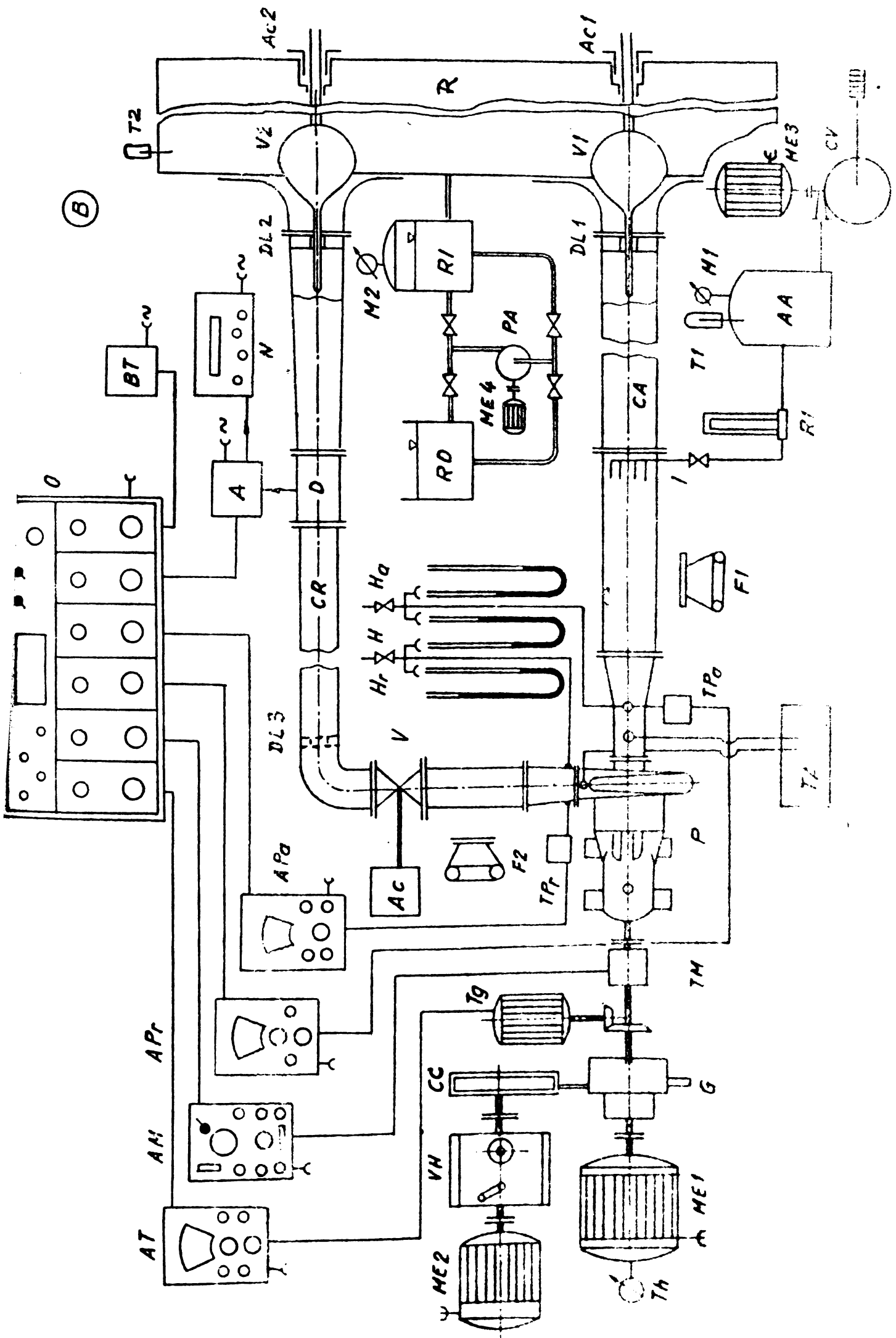
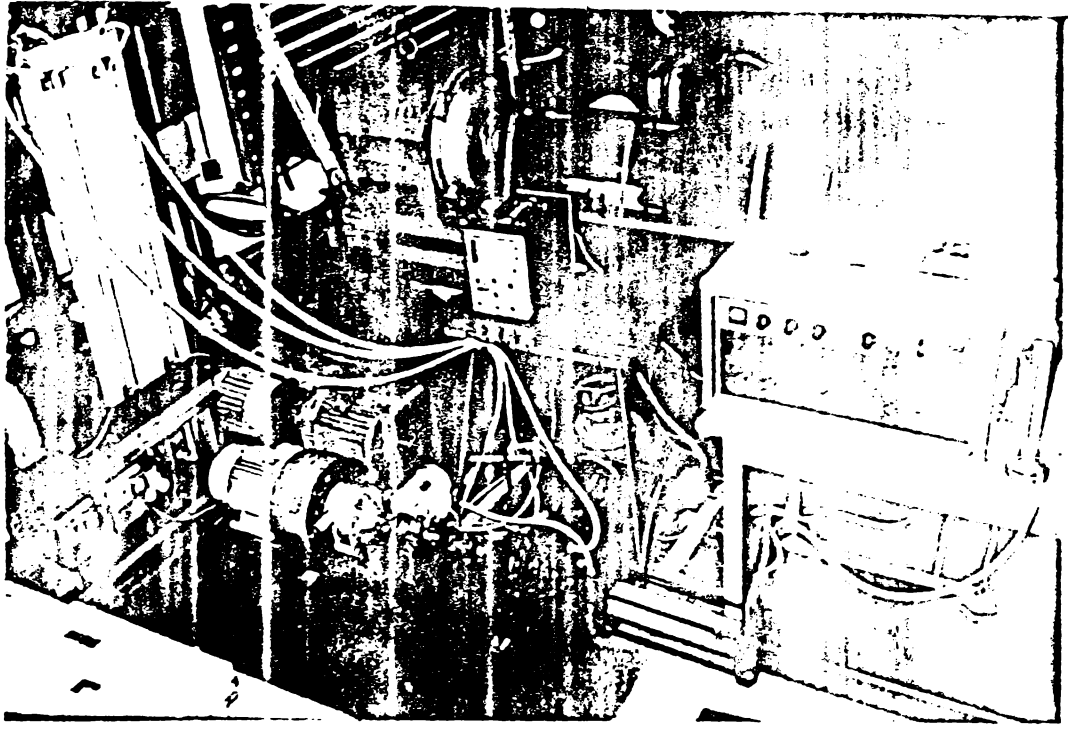
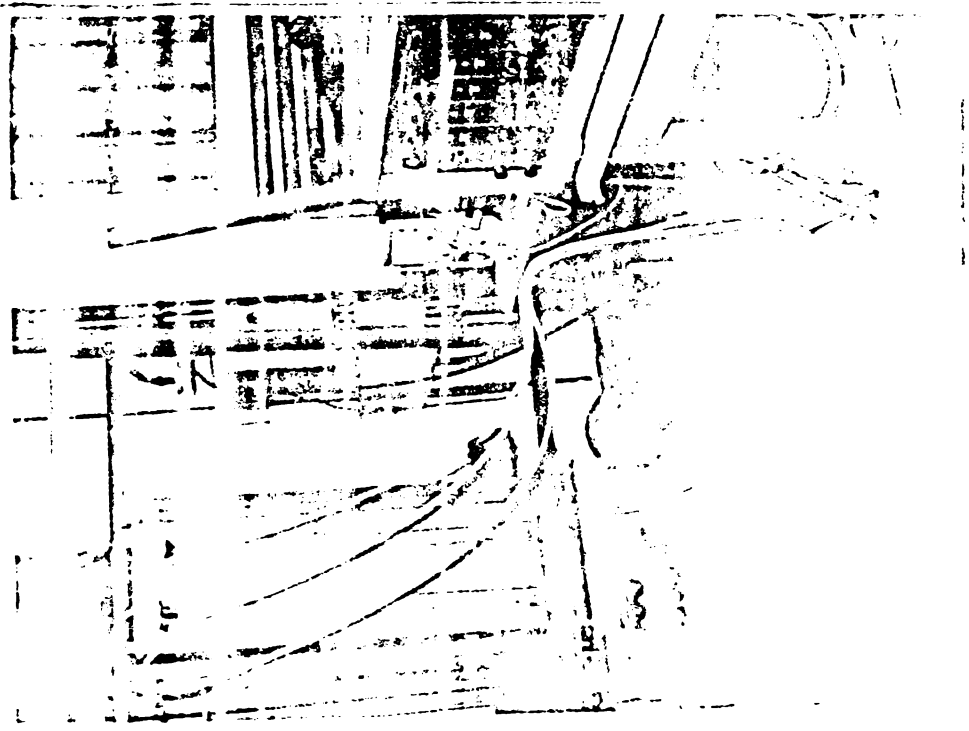


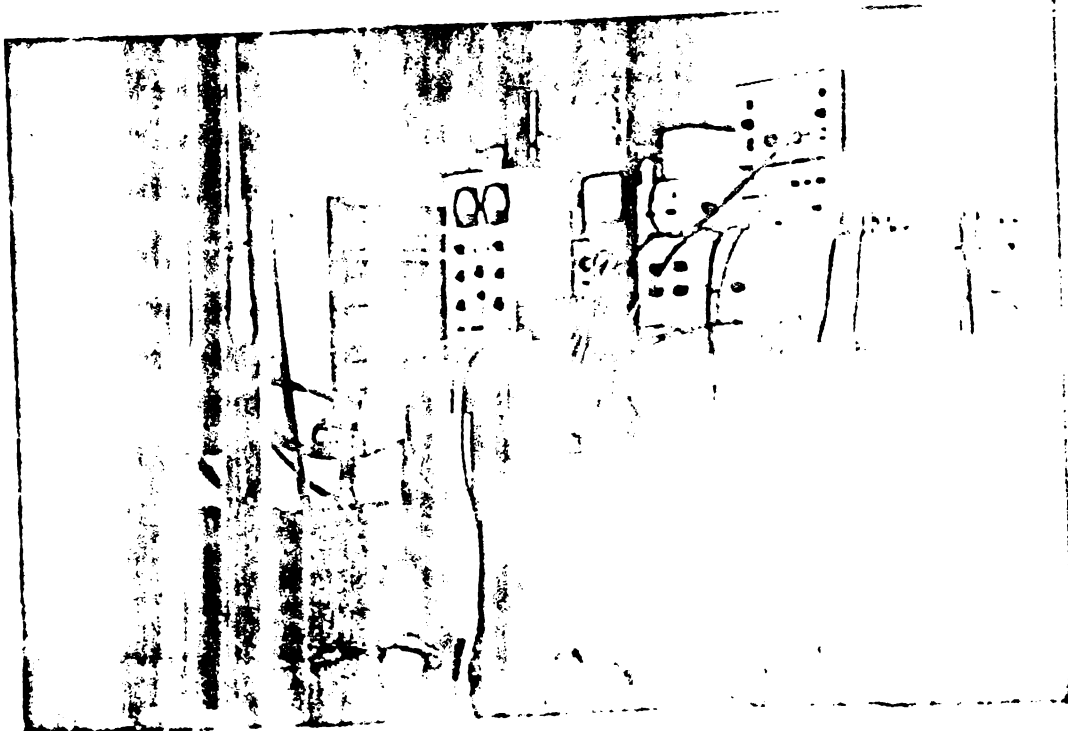
Fig. 32.1 Stațiunea de încercare dinamică a pompei/lor de la L MHT



22



23



24

Figure 1. Control room of the ship.

CR, are de asemenea în componența ei un tronson transparent pentru urmărirea amestecului bifazic aer-apă după trecerea sa prin pompă. Urmează în sensul de curgere al apei o vană de reglaj V acționată de dispozitivul Ac, un cot la 90° , o conductă dreaptă, un debitmetru cu turbină D și un alt racord tronconic.

Mașinile de antrenare sînt formate din motoarele electrice ME 1 (tip ASI-112 M-28-2 cu parametrii principali $P_0 = 4 \text{ kW}$, $n_0 = 2880 \text{ rot/min}$, $\cos \varphi = 0,87$, $U_0 = 380 \text{ V}$, $I_0 = 8,19 \text{ A}$, conexiune λ) realizat la Electromotor Timișoara și ME 2 (tip 41-4, SWS 625/49 cu parametrii principali $P_0 = 1,7 \text{ kW}$, $n_0 = 1380 \text{ rot/min}$, $\cos \varphi = 0,85$, $U_0 = 380 \text{ V}$, $I_0 = 4 \text{ A}$, conexiune λ) realizat la Electroprecizia Săcele. Aceste mașini acționează asupra generatorului de oscilații sinusoidale de turație G conceput și realizat la LMHT de autor /26/ pe baza unor angrenaje cu roți dințate. Pentru modificarea continuă a frecvenței semnalului se montează un variator hidraulic VH (tip D-13 cu $n_1 = 1500 \text{ rot/min}$, $n_2 = 0 \dots 60 \dots 1800 \text{ rot/min}$, $M = 4 \text{ kgfm}$ la $n_0 = 0 \dots 60 \dots 450 \text{ rot/min}$ și cu $P = 2,5 \text{ CP}$ de la $n_0 = 450 \dots 1800 \text{ rot/min}$ folosind ulei U 405) al firmei Böhringer, Sturm Öllgetriebe, Göppingen și pentru variația continuă a amplitudinii semnalului o camă dublă cu ghidaj-cadru GG concepută și realizată tot în LMHT /23/.

Instalațiile auxiliare cuprind dispozitivul de reglare a suprapresiunii și depresiunii în circuitul hidraulic și sistemul de injectare a aerului și de drenare a lui din stațiune. Prima instalație este compusă din pompa etajată de alimentare PA (tip 1-80 Timișoara) antrenată de motorul electric ME 4, rezervoarele R deschis și RI închis legate prin conducte de rezervorul K și separate prin patru vane de reglaj și sens. Instalația mai dispune și de un manometru de control M2 (tip Termotehnica, București). A doua instalație folosește un compresor volumic CV (tip EGV cu parametrii nominali $p_0 = 7 \text{ at}$, $Q_0 = 0,23 \text{ Nm}^3/\text{min}$, $n_0 = 1500 \text{ rot/min}$, $p_M = 10 \text{ at}$) fabricat de Uzina "Timpuri noi" București, antrenat de motorul electric ME 3 și dispune de acumulatorul de aer AA cu parametrii fluidului controlați de către rotametrul Rt (tip TG 300 Medingen, Dresden), termometrul T 1 și manometrul M 1.

Aparatura de măsură cu care este dotată stațiunea se compune din piezometrele cu mercur H , H_R și H_A realizate la IRI, conductoarele de presiune bazate pe un principiu inductiv TP_A , TP_R (tip PI/2-50 cu $p_M = 2 \text{ at}$, $f_M = 2000 \text{ Hz}$ construite la HRM Dresden) împreună cu amplificatoarele respective AP_A , AP_R (tip K... HRM

Darmstadt), traductorul de moment TM (teletensiometrul tip ZP-T 0,2-5,8-16, Huggenberger, Zürich) cu amplificatorul respectiv AM (tip N 2301, de fapt un tensometru electronic al FAEM, București), debitmetrul cu turbină D (tip HB 50/70, Turboquant, Budapesta), pre-amplificatorul A (tip Turboquant, Budapesta), numărătorul N cu afișaj numeric, secvențial (tip 537 A Numoport, IFA București), tahometrul Th (tip Jaquet, France), tahogeneratorul Tg (tip Tg 50030, Georgii Kobold, RFG), amplificatorul AT, baza de timp BT (tip BT Zimmerman, Leipzig), aparatele de filmat și fotografiat M și F2 (tip 1578/I Photo Recorder, Orion și respectiv tip Practika III A, Dresden), oscilografal cu 8 canale O (tip 8SO-1F2 cu vitezele de înregistrare de la 0,004...14 m/s, RFT, DDR) completul de măsură termoanemometric TA (tip DISA 2A Herlev, Dăneemark), termometrul T2 și barometrul B.

Pe baza etalonărilor prealabile acest ansamblu permite excitarea dinamică în cel puțin trei moduri a pompei hidrodinamice și anume prin generatorul G și vanele V1 și V2, într-un domeniu al pulsațiilor $\tilde{\omega} = 1...40$ rad/s. Astfel se pot determina caracteristicile de frecvență și matricea de transfer a unei turbopompe în regimuri energetice și cavitaționale sau în funcționare bifazică apă-aer. Rezultate ale acestor măsurători se vor prezenta în cap. 4. Pentru realizarea acestora se vor enumera unele condiții tehnice și condiții impuse în proiectarea și realizarea stațiunii :

- păstrarea unei viteze medii a fluidului $v = 1$ m/s și majoritatea elementelor circuitului hidraulic pentru a nu introduce pierderi hidraulice apreciabile ;
- rigidizarea generatorului de oscilații sinusoidale pentru a nu introduce perturbații suplimentare prin excitarea lui ;
- utilizarea unor conducte cu pereți mai groși pentru a micșora inertanța și complexanța rețelei hidraulice ;
- realizarea unui curent hidrodinamic cât mai uniform la intrarea în pompă prin dispunerea unei conducte drepte lungi înainte de mașină ;
- pulsatorii de debit sînt profilați pentru a induce perturbații suplimentare minime în curentul de lichid și să funcționeze fără cavitație sau degajare a aerului dizolvat ;
- rezervorul R este prevăzut cu o pernă de aer pentru a fi elastic și a permite decuplarea hidraulică a celor doi pulsatorii V1 și V2 ;
- suprafața interioară a elementelor circuitului hidraulic s-a protejat împotriva coroziunii prin acoperire cu o vopsea epoxidică ;

- calitatea apei din stațiune este menținută corespunzătoare prin adăug de $0,6 \text{ kg Na}_2\text{CrO}_4 \cdot 4 \text{ H}_2\text{O}$ la $1 \text{ m}^3 \text{ H}_2\text{O}$ completată cu aprox. $0,5 \text{ kg KOH}$ pentru a atinge $\text{pH} \geq 8 \dots 8,5$ și a avea astfel asigurată neutralitatea chimică a celor două medii solid și lichid în contact;

- asigurarea condițiilor pentru măsurarea corectă a debitului cu debitmetrul cu turbină D realizând o conductă dreaptă neper-turbată de lungime egală cu 10 diametrii de conductă amonte și 5 diametrii de conductă aval de acest element;

- amplitudinea fluctuațiilor nu trebuie să fie prea mare pentru a mai păstra valabile ipotezele dependențelor lineare dar nici prea mici pentru a nu fi înecate în zgomot. S-a admis această amplitudine între $2 \dots 6 \%$;

- s-a căutat reducerea turbulenței curentului prin dispozitive de liniștire DL 1, DL 2, DL 3 formate din grătare de uniformizare și site. Nu s-a optat pentru variații de diametre pentru a nu mări volumul rețelei hidraulice ;

- turația motorului electric și a transmisiei între radiere asigură turații până la 6000 rot/min pentru a realiza regiunile cavitaționale dorite ;

- arborele de legătură între ME 1 și P s-a realizat cât mai rigid la torsiune ;

- aerul blocat sau colectat în punctele superioare ale rețelei hidraulice se poate colecta și extrage prin legătura cu sistemul de creare a depresiei în instalație ;

- tructoarele de măsură și lanțul de instrumente asociate cu ele trebuie să aibe frecvențele proprii mai ridicate cu cel puțin un ordin de mărime față de frecvența de pulsație a mării. De excitație dinamică pentru a evita efecte de rezonanță sau participare dinamică a complexului de măsură și de alterare astfel a rezultatelor.

3.3 Stațiunea Caltech

Stațiunea pentru încercarea energetică și cavitațională a pompelor centrifuge cu prerotor axial existentă la Institutul de tehnologic din Pasadena (SUA) va fi denumită în cele ce urmează stațiunea Caltech. Schema circuitului hidraulic a stațiunii Caltech este redată în fig. 3.3.1 și fotografiile fig.3.3.2 și fig.3.3.3. Relația detaliat descrisă în /62, 121, 122/ este construită cu scopul măsurării și determinării funcțiilor de transfer și de frecvență precum și a altor caracteristici dinamice ale unor pompe axiale și centrifuge atât în regiuri energetice cât și cavitaționale. Circuitul hidraulic (vezi fig. 3.3.1) se compune dintr-o pompă P, antrenată de

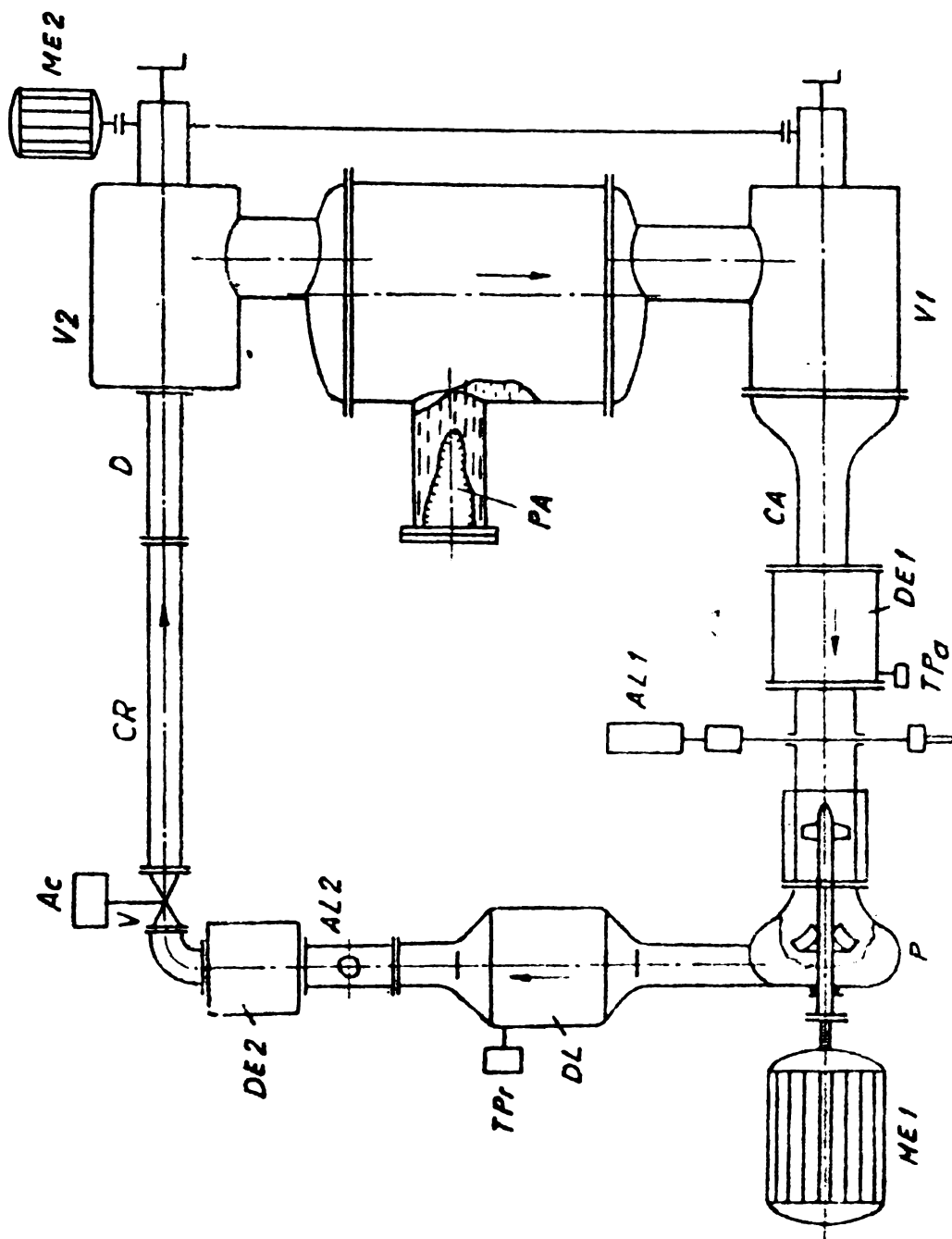


Fig. 33.1 Schema circuitului hidraulic a stațiunii Coltech

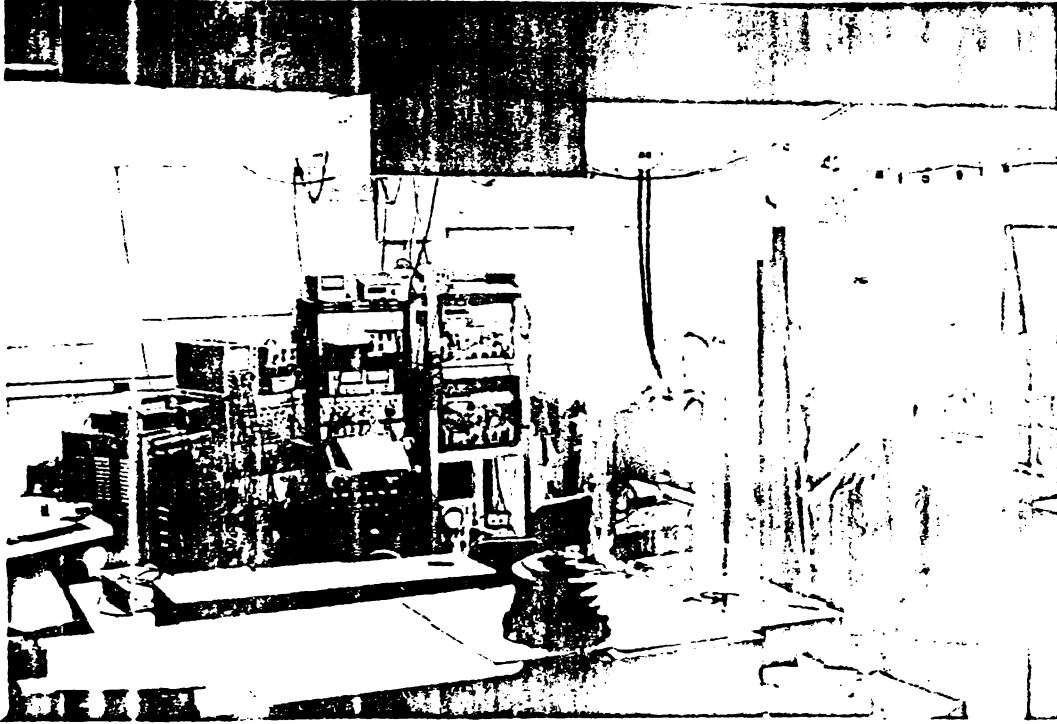


Fig.3.3.2 Stațiunea de încercări în aer
de la Caltech

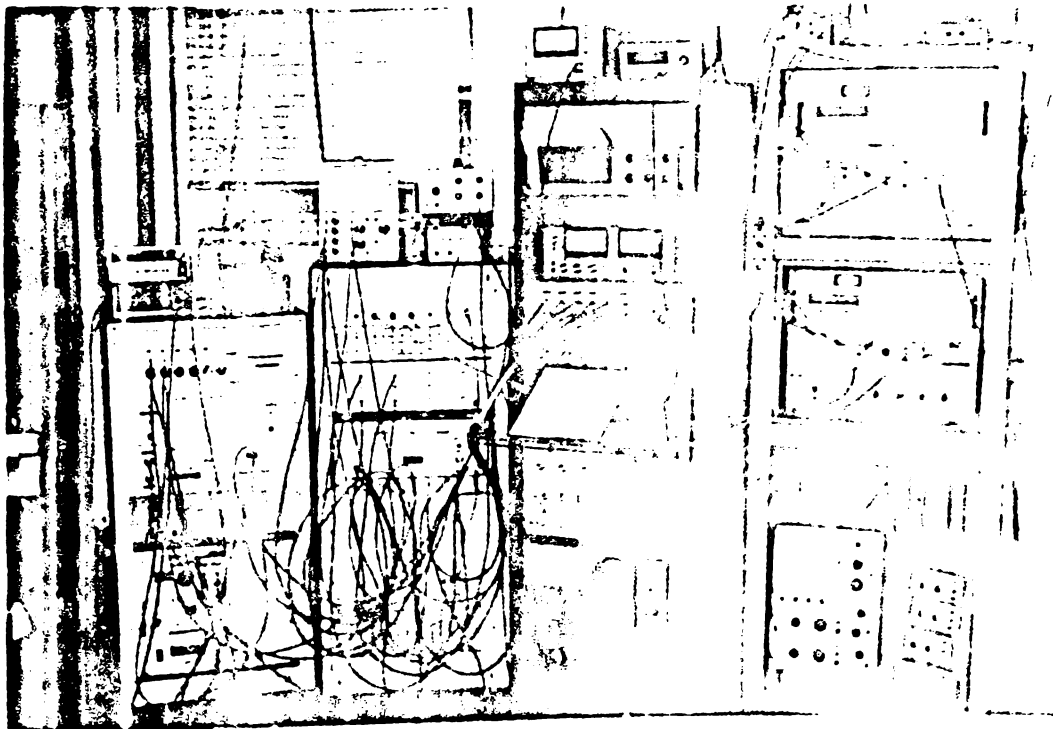
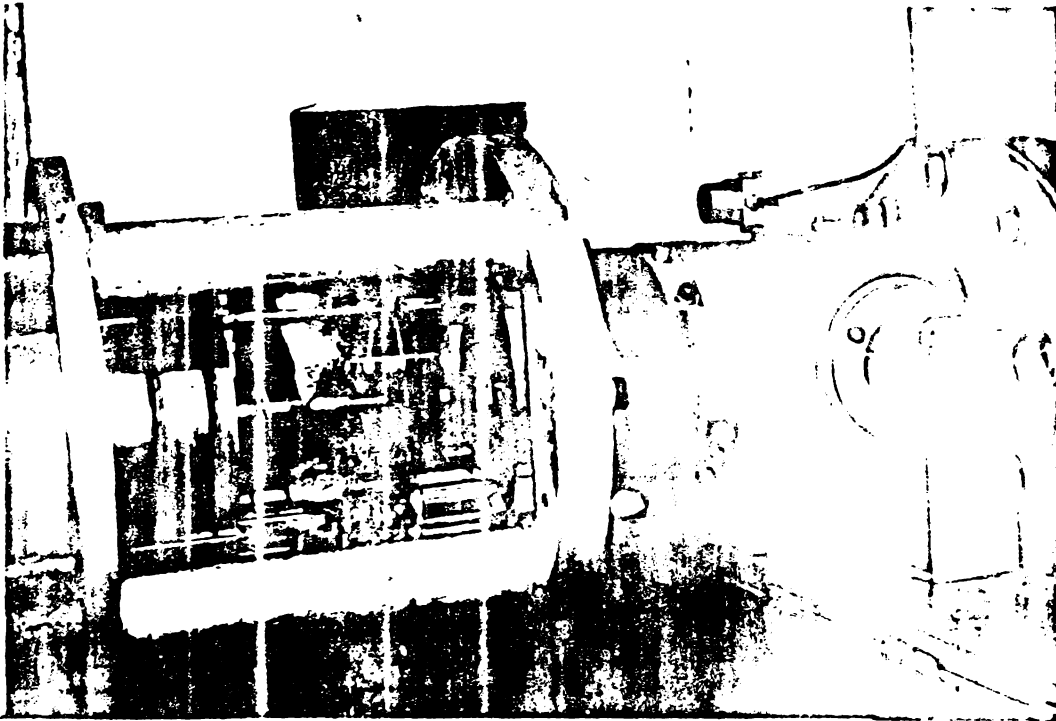


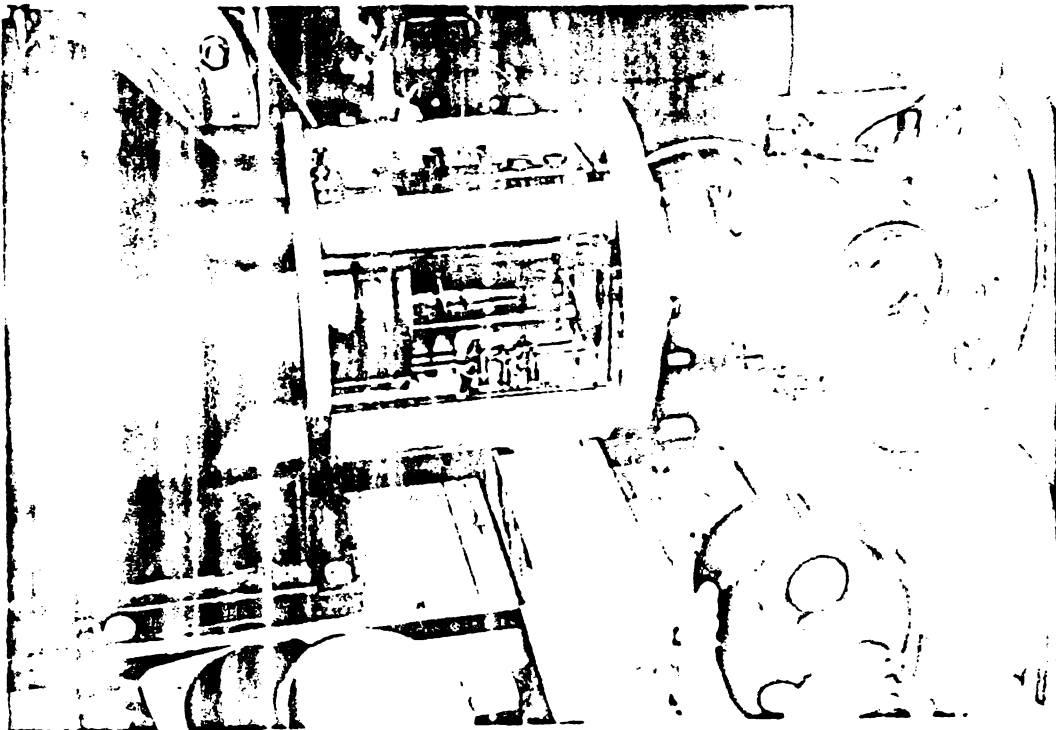
Fig.3.3.3 Aparatură de măsură
stațiunii de în.
de la Caltech

motorul electric ME, un dispozitiv de liniștire DL cu site și filtre, vana de reglare V acționată automat prin Ac, conductele de aspirație CA și refulare CR și rezervorul R cu perna de aer PA. Detaliile ale pompei cu zona activă a inductorului și aparatul de măsură sunt redat în fig.3.3.4 , fig.3.3.5 și fig. 3.3.6. Sistemul automat de menținere a aceluiași regim de funcționare mediu al pompei reglează constant debitul ~~constant~~ pompei pe baza indicațiilor debitmetrului de turbină D ce acționează prin intermediul unui dispozitiv de automatizare asupra acționării Ac și vanei speciale de reglare V. Pentru a nu obțină acest sistem cu fluctuațiile impuse în circuitul principal, motorul de debit are timpul de răspuns de ordinul a 5 secunde. Motorul principal al stațiunii este de a crea fluctuații ale curentului de lichid prin vanele de perturbație V1 și V2 într-un domeniu al frecvențelor până la 50 Hz și de a măsura variațiile de debit și presiune. În curentului hidraulic la intrarea respectiv ieșirea din pompă prin anemometrele cu laser AL, debitmetrele electromagnetice DE și respectiv traductorii de presiune TP_a și TP_r. Dimensiunile modeste ale stațiunii (conducte și rezervoare) sînt necesare pentru a menține sistemului la o valoare rezonabilă și a permite efectuarea măsurătorilor fără a introduce corecții legate de elemente cu parametri variabili. Dacă se analizează formele matricii de transfer a pompei prezentate în prezenta lucrare și anume WP în rel. (2.2.1) și (2.3.1.1) se observă faptul că prin modificarea concomitentă a debitelor și presiunilor în stațiune o singură mulțime de măsurători a mărimilor fizice respective este insuficientă (practic, mai puține ecuații necunoscute). Deci este necesar a putea perturba funcționarea pompei în mai multe moduri pentru a putea obține un set de date liniar independente. Acest lucru la prezenta stațiune se poate realiza prin două vane de perturbație V1 și V2. Se poate funcționa numai cu una din vane sau cu ambele. Dispozitivul comun de acționare prin motorul electric ME 2 poate introduce la aceeași frecvență de perturbație două diferite amplitudini de oscilație a mărimilor hidraulice și de asemenea cu deosebite faze relative între ele. Vanele de perturbație V1 și V2 și fig.3.3.8 funcționează ca și niște rezistențe hidraulice. În interiorul lor curentul hidraulic se bifurcă. O parte a lichidului trece printr-un filtru de bronz poros, relativ nestingherită și face parte din componenta medie a curentului lichid și cealaltă parte este cuprinsă în cilindrii concentrați prevăzuți cu fante. Unul din cilindrii concentrați este în scopul producerii componentei oscilatorii a curentului hidraulic.

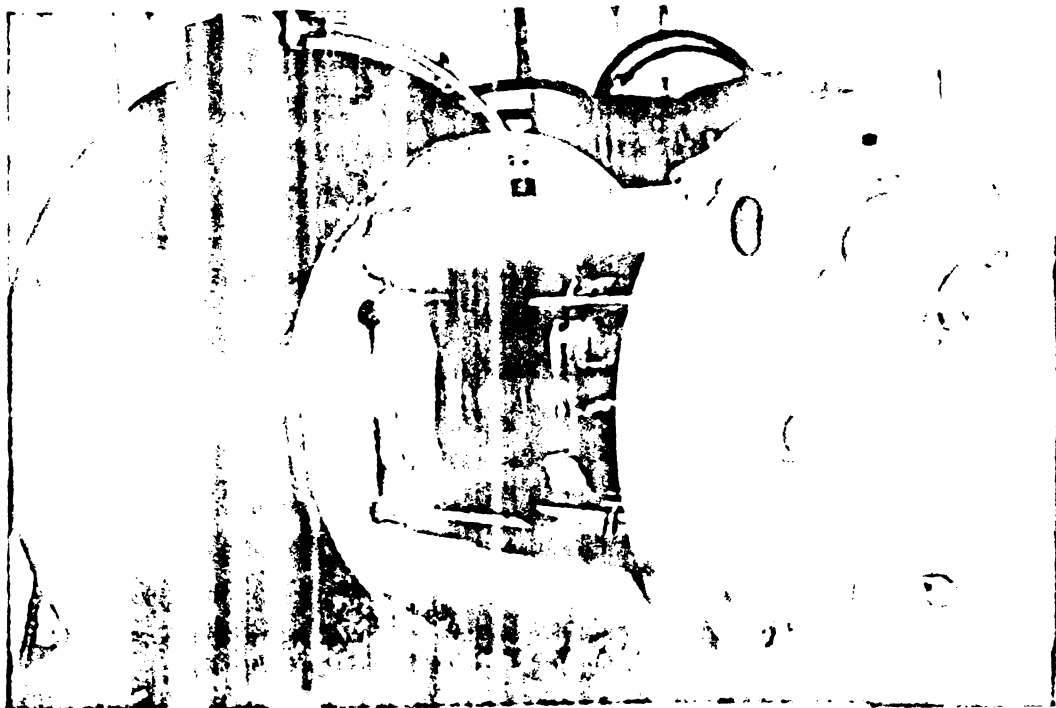
După cum se observă din fig. 3.3.1 cilindrii concentrați sunt în cele două vane de perturbație V1 și V2 pot fi cuplate printr-un dispozitiv



11/10/1967
 Son ... de
 pom ... ju-
 nal ...
 un ...
 la ...
 tou ... une



de
 ju-
 ...
 ...
 ...



de
 ju-
 ...
 ...
 ...

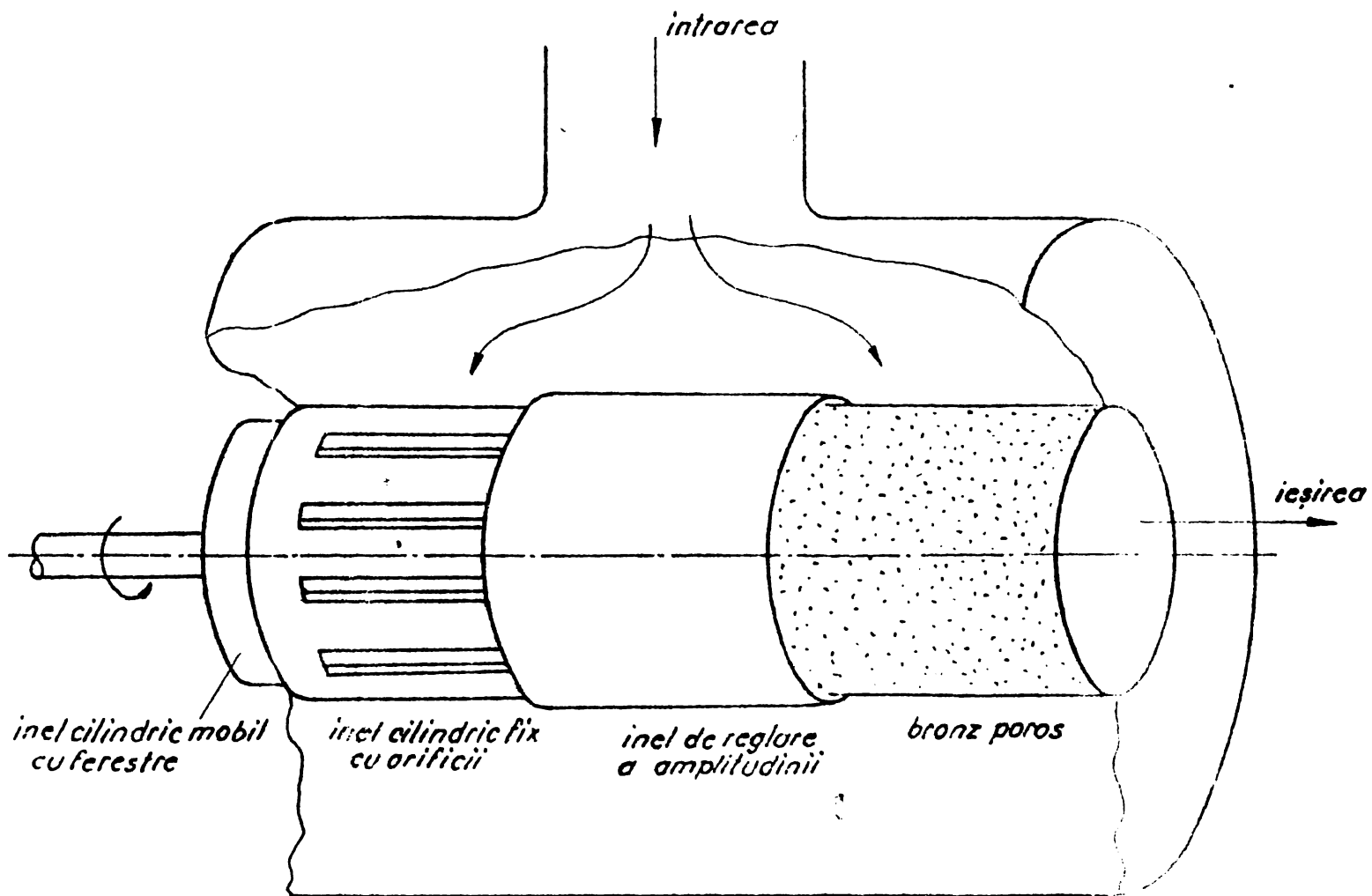


Fig. 33.7 Schema funcțională a vanei de perturbatie

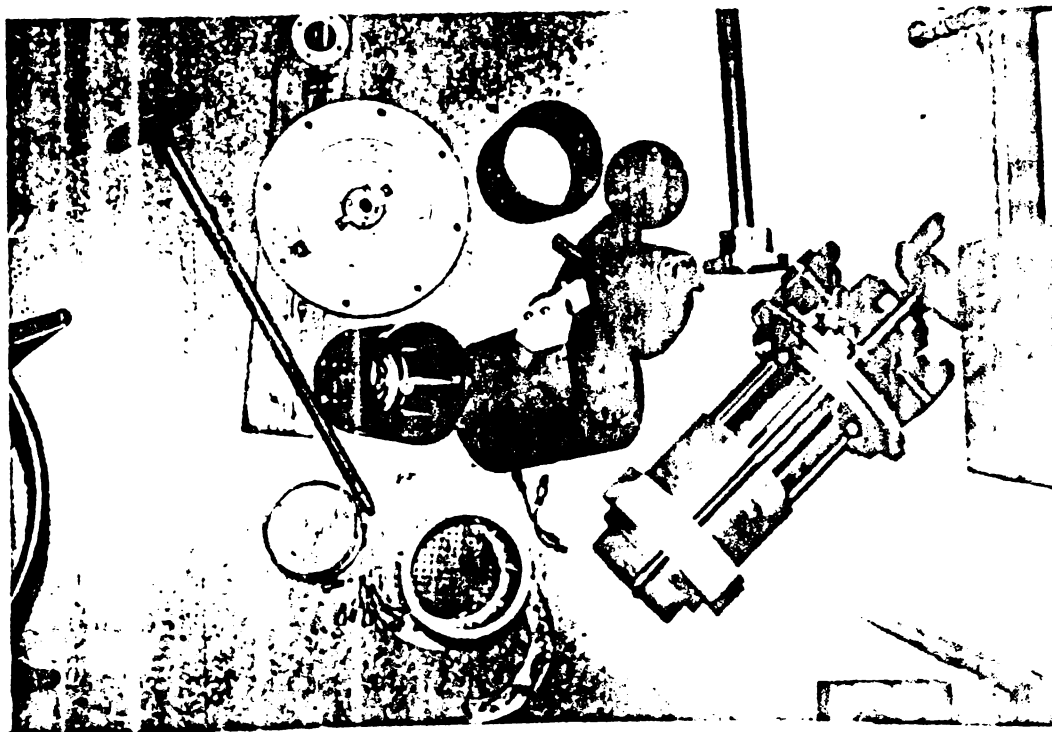


Fig. 3.5.8 Partile componente ale vanei de perturbatie în stare demontată și montată.

comun la aceeași antrenare, motorul electric ME 2. Acest motor este comandat la rîndu-i de a funcționa la o turație riguros constantă, de un regulator automat de turație.

Rezervorul R are scopul de a permite separarea apei antrenat în circuit, și este prevăzut cu un schimbător de căldură pentru menținerea constantă a temperaturii lichidului vehiculat în stațiune. Legat de acest rezervor se găsește un dom (compartiment) cu o pernă de aer separată de lichidul din rezervor printr-o membrană elastică care are rolul de a separa și decupla hidraulic cele două mase de perturbație. Modificarea nivelului presiunilor în stațiune se realizează printr-un sistem automat cuplat hidraulic tot la rezervorul R. Stațiunea Caltech are un panou de comandă și control în care sînt centralizate datele obținute de la instrumentele de măsură cu care este dotată instalația. Tot aici se pot citi valorile numerice de la conductoarele de măsură, se pot urmări parametrii sistemelor automate, se realizează conectarea cu instrumentele înregistratoare și cuplarea cu centrul de calcul printr-un terminal convențional.

În cadrul acestei instalații complexe experimentale autorul lucrării de față a soluționat două probleme :

1. Modificarea geometriei vanelor de perturbație pentru ca semnalul generat să fie mai apropiat de un semnal sinusoidal.

2. Includerea în racordul de aspirație, în fața pompei, a unui obstacol care să simuleze cotul frecvent întîlnit la instalații de pompare și care este plasat imediat amonte de rotorul magnetului.

1) Inițial, soluția existentă, avea niște vane de perturbație cu ferestrele din cilindrul mobil și orificiile din cilindrul fix conform fig.3.3.7. Ferestrele și orificiile au fost de formă dreptunghiulară în număr de 9 pe întreaga suprafață laterală a cilindrului cu lățimea golului și a plinului egale. Această situație oferea din punct de vedere geometric o variație triunghiulară a debitului. Această ~~con-~~
~~cluzie~~ a fost confirmată din punct de vedere hidrodinamic pentru frecvențe de pulsație mici și s-au mai încercat și variante cu dimensiuni inegale ale orificiilor și ferestrelor care oferea un semnal mai bun la frecvențe de pulsație mai ridicate. Pentru a extrage semnalul armonic dorit rezultatele măsurătorilor executate astfel erau prelucrate într-un analizor Fourier care extrage pulsația fundamentală în scopul găsirii funcțiilor de frecvență. S-a constatat o oscilație armonică dominantă de ordinul al treilea la aceste măsurători și se considera că se putea obține cu suficientă acuratețe frecvența fundamentală.

Pe baza analizei geometriei vanei de perturbație fig.3.3.8 s-a propus și proiectat un înlocuitor cilindric fix cu orificii complete cir-

culare fig.3.3.9. Cercurile de diametrul egal cu lăţimea ferestrei cilindrului mobil sînt aproape tangente între ele şi dispuse pe întreaga înălţime a ferestrei cilindrului mobil. Comparativ se oferă variaţia secţiunii geometrice a vanei de perturbaţie în ipoteza I a unui orificiu cu fereastra perfect sinusoidală, II a unui orificiu cu fereastra conjugată dreptunghiulară şi III a unui orificiu circular cu fereastra dreptunghiulară. Deci arile vor fi :

$$S_I = \Delta S_I \cos \alpha_I \quad (3.3.1)$$

$$\alpha_I = \omega \cdot t ; \Delta S_I = \frac{\pi}{2} ; \omega = \frac{\pi}{10} ; t \in [0, 10] \quad (3.3.2)$$

$$S_{II} = \pi - \alpha_{II} \quad (3.3.3)$$

$$\alpha_{II} = \omega \cdot t \quad \omega = \frac{\pi}{10} \quad t \in [0, 10] \quad (3.3.4)$$

$$S_{III} = \pi r^2 - r^2 \alpha_{III} \sin \alpha_{III} \cos \alpha_{III} \quad (3.3.5)$$

$$\alpha_{III} = \arccos [1 - u \cdot t] ; r = 1 ; u = \frac{2}{10} ; t \in [0, 10] \quad (3.3.6)$$

conform notaţiilor din fig. 3.3.9. Rezultatul unor calcule nu poate aprecia comparativ în tabelul 3.3.1.

Tabelul 3.3.1

t	α_I	S_I	α_{II}	S_{II}	α_{III}	S_{III}
0	0		0		0	π
1	$\pi/10$	3,06	0,314	2,83	0,65	2,97
2	$\pi/5$	2,83	0,628	2,51	0,935	2,68
2,5	$\pi/4$	2,67	0,785	2,35	1,04	2,52
3	$3\pi/10$	2,50	0,942	2,20	1,16	2,34
4	$2\pi/5$	2,06	1,256	1,88	1,37	1,97
5	$\pi/2$	1,57	1,57	1,57	1,57	1,57
10	π	0	3,14	0	3,14	0

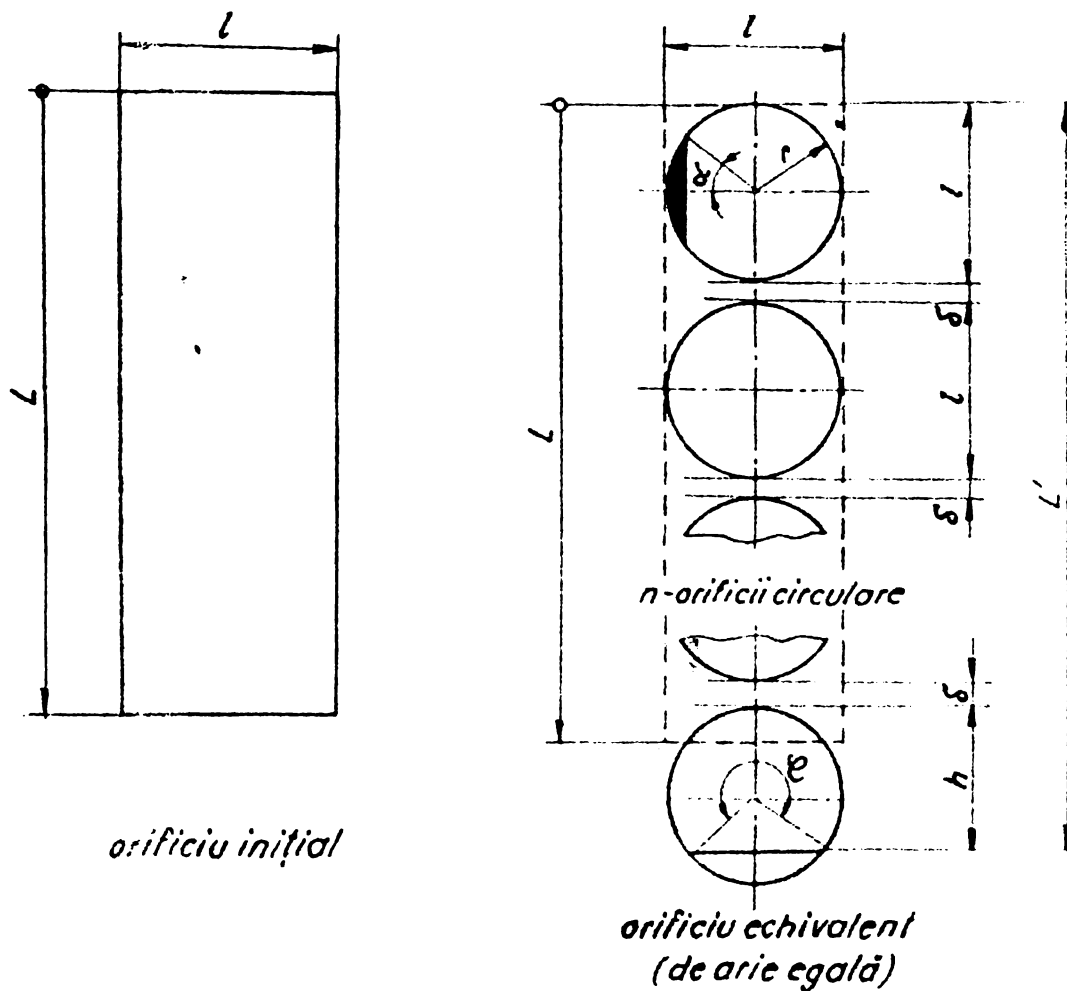
Se observă din formulele (3.3.1)...(3.3.6) şi tabelul 3.3.1 că abaterea maximă faţă de o situaţie ideală sinusoidală este :

$$\left. \frac{\Delta S_{I-II}}{S_I} \right|_M = \left. \frac{S_I - S_{II}}{S_I} \right|_{t=2,5} \approx 12 \% \quad (3.3.7)$$

Prin geometria vanei de perturbaţie introdusă se ajunge la o micşorare a acestei abateri la numai :

$$\left. \frac{\Delta S_{I-III}}{S_I} \right|_M = \left. \frac{S_I - S_{III}}{S_I} \right|_{t=3} \approx 6,4 \% \quad (3.3.8)$$

În fig.3.3.5 sînt reprezentate grafic pentru o apreciere com-



Dacă $n = \frac{4L}{\pi l} = [n] + \underline{n}$ (parte întreagă + parte subunitară)

$$L' = (l + \delta)[n] + l \frac{1 - \cos \frac{\varphi}{2}}{2}$$

unde $\varphi - \sin \varphi = 2 \underline{n} \pi$

Fig. 33.9 Orificiul inclului cilindric al vanei de perturbație.

parativă cele trei curbe de variație a ariei deschise de ferestrele vanei. De aici se deduce că varianta III este mai avantajoasă. În principiu există posibilitatea apropierii și mai accentuate, printr-o geometrie adecvată a orificiului sau a ansamblului ferestrelor, de o variație sinusoidală dar aceasta se poate obține numai pe seama unei profilări mai complicate a orificiilor, executabilă cu o tehnologie mai pretențioasă sau printr-o lege de mișcare a cilindrului mobil al vanei realizabilă prin mijloace mai laborioase decât cele actuale. Ca un dezavantaj al sistemului propus III se constată ușoară dependență a legii de variație a ariei de amplitudinea semnalului prin faptul că nu întotdeauna se vor găsi un același număr de cercuri al orificiului în câmpul liber al ferestrei. Această eroare este sub 1% și scade pe măsură ce $n = \frac{4L}{\pi l}$ numărul de cercuri crește. De asemenea la frecvențe de pulsație mai ridicate $f > 40$ Hz inerția coloanei lichide face ca forma hidrodinamică a semnalului de perturbație (variațiile de debit) să se îndepărteze tot mai mult de variația geometrică a deschiderii orificiilor.

2) Deoarece în majoritatea sistemelor hidraulice pompele funcționează cu rețele hidraulice prevăzute cu un cot la 90° înaintea montei de pompă s-a cercetat dacă această vecinătate nu conduce la caracteristici deosebite ale ansamblului față de caracteristicile plășilor obținute în condiții hidrodinamice ortodoxe. Atât în regim staționar cât și în regim nestaționar apare o ~~modificare~~ modificare a câmpului hidrodinamic la intrarea în rotorul pompei de către curența secundară generați în cot /53/, care se manifestă prin zone de stagnare, pulsații și chiar curent inversat în fața rotorului de pompă. Pentru că din motive tehnico-economice amplasarea unui cot la 90° amonte de pompă în circuitul hidraulic al stațiunii Caltech nu era posibilă s-a optat pentru păstrarea traseului hidraulic dar cu simularea prezenței cotului printr-un obstacol în conducta de aspirație fig.3.3.11. Acest obstacol de geometrie aproximativ triunghiulară (în secțiune longitudinală) are ca efect hidrodinamic o reducere a secțiunii de aspirație și generează aval^{de et} două vârtejuri elicoidale similare curenților secundari după cot /98/. În alegerea gradului de reducere a secțiunii și formei obstacolului s-a ținut cont ca prin prezența sa să nu declanșeze prea devreme fenomenul de cavitație în dreptul strângurii (în toate cazurile după ce apare cavitația dezvoltată în pompă). Calcularea a fost efectuat pentru un regim staționar pe baza datelor numerice existente în literatură /157/.

Conform fig.3.3.11 și având datele cunoscute : diametrul conductei $d = 101,6$ mm bitul nominal $Q_0 = 1,88$ l/s, turația pompei

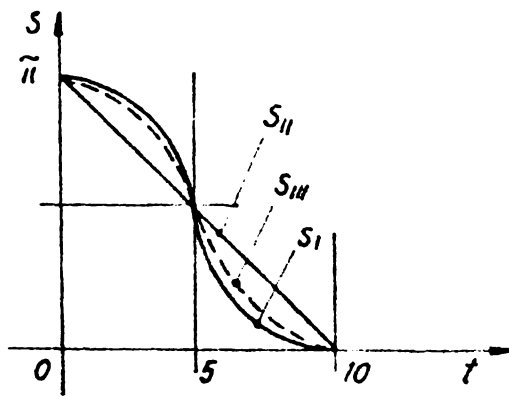


Fig. 33.10 Curbele de variație ale ariei deschise de orificiile vanelor de perturbație.

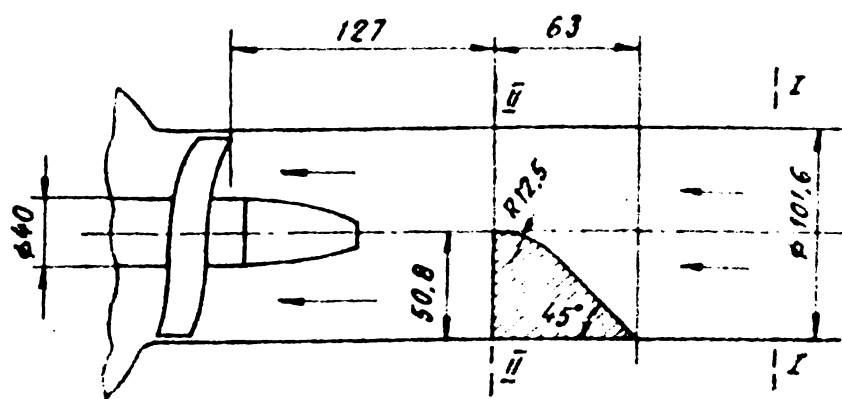


Fig. 33.11 Pragul proiectat și realizat pentru simularea colului amonte de rotarul pompei

$n_0 = 6000$ rot/min, lichidul vehiculat apă la temperatura de $t = 20^\circ\text{C}$, cu presiunea vaporilor saturați $p_{\text{vap}} = 2340 \text{ N/m}^2$ și valoarea coeficientului de cavitație critic al pompei după /1, 11, 113/ de $G_{c_p} \cong 0,08$ rezultă presiunea minimă admisibilă amonte de pompă din relația :

$$G_{c_p} = \frac{p_I - p_{\text{vap}}}{\frac{\rho}{2} U_M^2} \quad (3.5.9)$$

Conform fig. 3.3.6 pe baza aplicării ecuației transferului de energie și a conservării masei între secțiunile I și II și luând coeficientul critic de cavitație al obstacolului triunghiular cu datele din /105, 160/ la o valoare aproximativă $G_{c_\Delta} = 1,4$ defint :

$$G_{c_\Delta} = \frac{p_I - p_{\text{vap}}}{\frac{\rho}{2} v_I^2} \quad (3.5.10)$$

rezultă secțiunea minimă hidrodinamică. Din ea secțiunea transversală geometrică minimă II din dreptul obstacolului se obține și se proiectează în secțiunea transversală a conductei. Rezultatele experimentale obținute pe baza acestor raționamente sînt redată în cap. 4.

4. REZULTATE EXPERIMENTALE

4.1 Incercări dinamice energetice ale pompei centrifuge CRIS-50

Metodica încercărilor dinamice se poate explica în următoarele etape :

- verificarea compunerii stațiunii conform fig. 3.2.1
- controlarea etanșării circuitului hidraulic printr-o probă de supra- și depresiune. S-a acceptat o variație (scădere) a presiunii de 1 mm col. Hg într-o oră pentru o suprapresiune inițială de 1 atmosferă.
- asigurarea alimentării electrice a aparaturii de măsură și aducerea acesteia în regim termic staționar prin conectarea, cu 30 de minute înainte de măsurători, la rețea.
- umplerea circuitului hidraulic cu apă, în prealabil, deaerată. Se realizează astfel o ~~soliditate~~ mai bună a rezultatelor în ceea ce privește sensibilitatea cavitațională a lichidului de lucru. Degazarea lichidului se face prin funcționarea dispozitivului de creare a depresiunii adică a pompei PA cu robinetele de reglaj astfel aranjate încât să extragă apă din rezervorul închis RB și să o refuleze în rezervorul deschis RD, având grija ca vana V3 să fie în prealabil închisă. După funcționarea în regim de degazare o perioadă de 2-3 ore se deschide vana V3 și se modifică robinetele de reglaj astfel încât pompa PA să introducă apa deaerată în circuitul hidraulic al stațiunii (vezi fig.3.2.1). Conținutul volumic de aer în apă măsurat pe baza unor probe prelevate din stațiune s-a situat în domeniul 0,3...0,4 %. Aparatul pentru măsurarea conținutului de aer din apă este de tipul Van Slake și a fost construit de autor și este descris în lucrarea /8/.
- ridicarea curbelor de etalonare ale traductorilor de măsură. Traductorul de presiune de la aspirație TP_a are curba de etalonare din fig.4.1.1) obținută prin compararea indicațiilor traductorului AP_a cu cele ale piezometrului H_a . Diferite nivele de presiuni în stațiune s-au realizat prin instalația de creare a supra- și depresiunii și depresiunii în sistem. Traductorul de presiune de la refulare are curba de tarare prezentată în fig.4.1.2 utilizând aceeași sursă de modificare în trepte a presiunii în instalație și folosind indicațiile AP_r și H_r . Traductorul de moment s-a conectat static într-un montaj în care o extremitate a traductorului s-a fixat iar celelalte extremități i s-a atașat o balanță. Prin înfățișarea

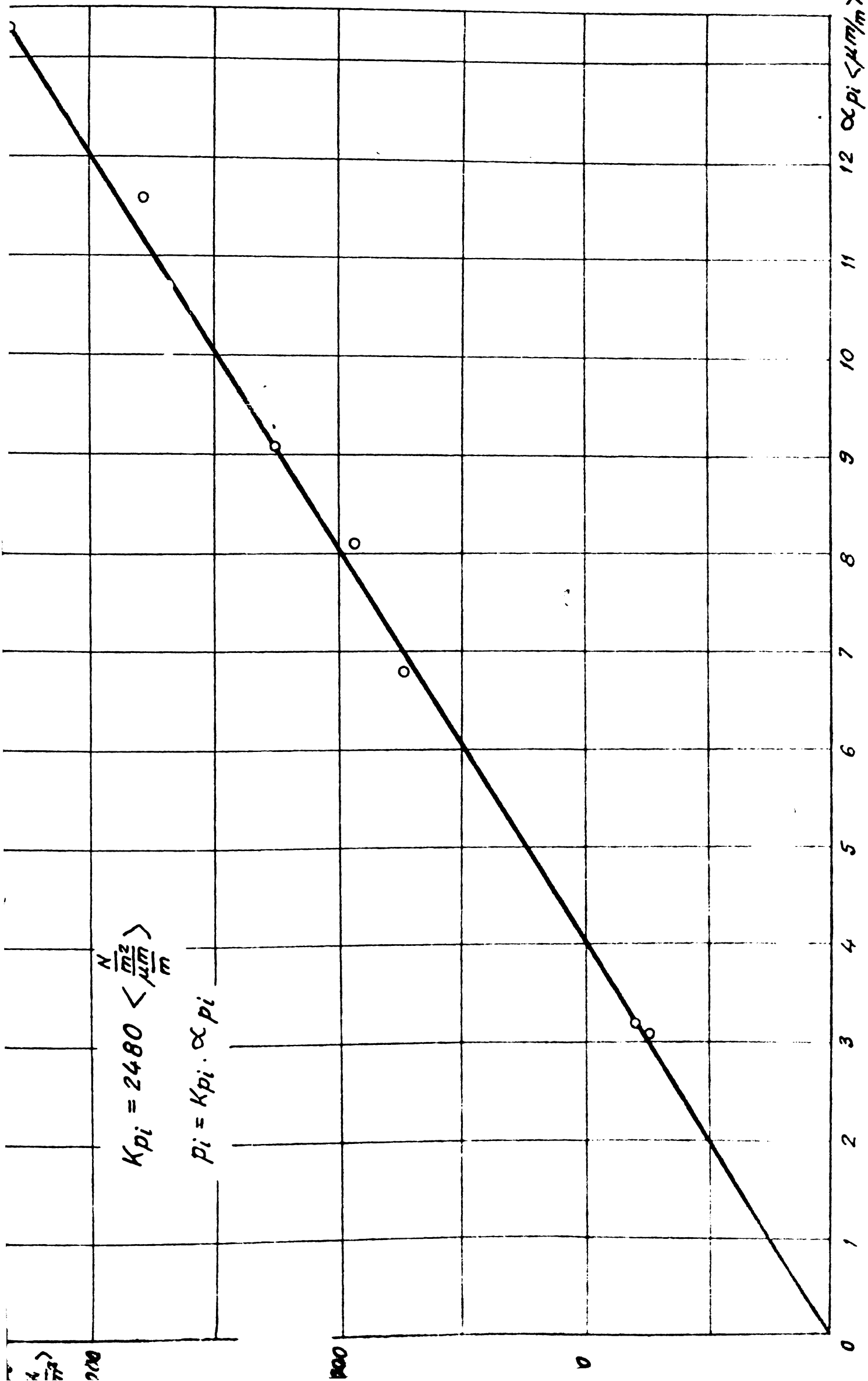


Fig. 41.1 Curba de etalonare a traductorului de presiune tip P 1/2 - 50 Höttinger cuplat cu amplificatorul KWS II - 50 folosit pentru măsurarea presiunii de la aspirația pompei.

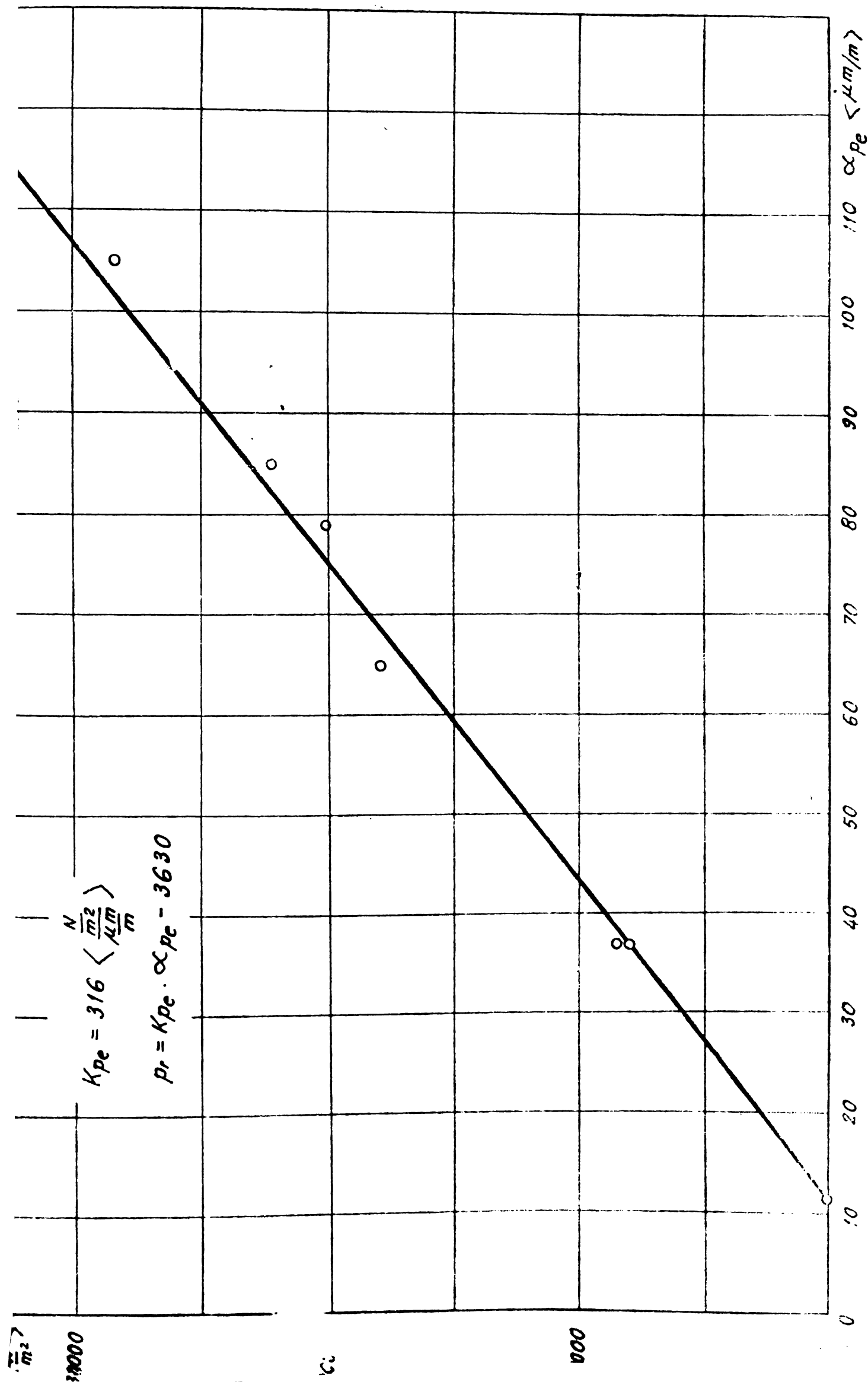


Fig. 41.2 Curba de etalonare a traductorului de presiune LHM tip MB-1 cuplat cu tensometrul electronic N 2301 folosit pentru măsurarea presiunii de la refularea pompei.

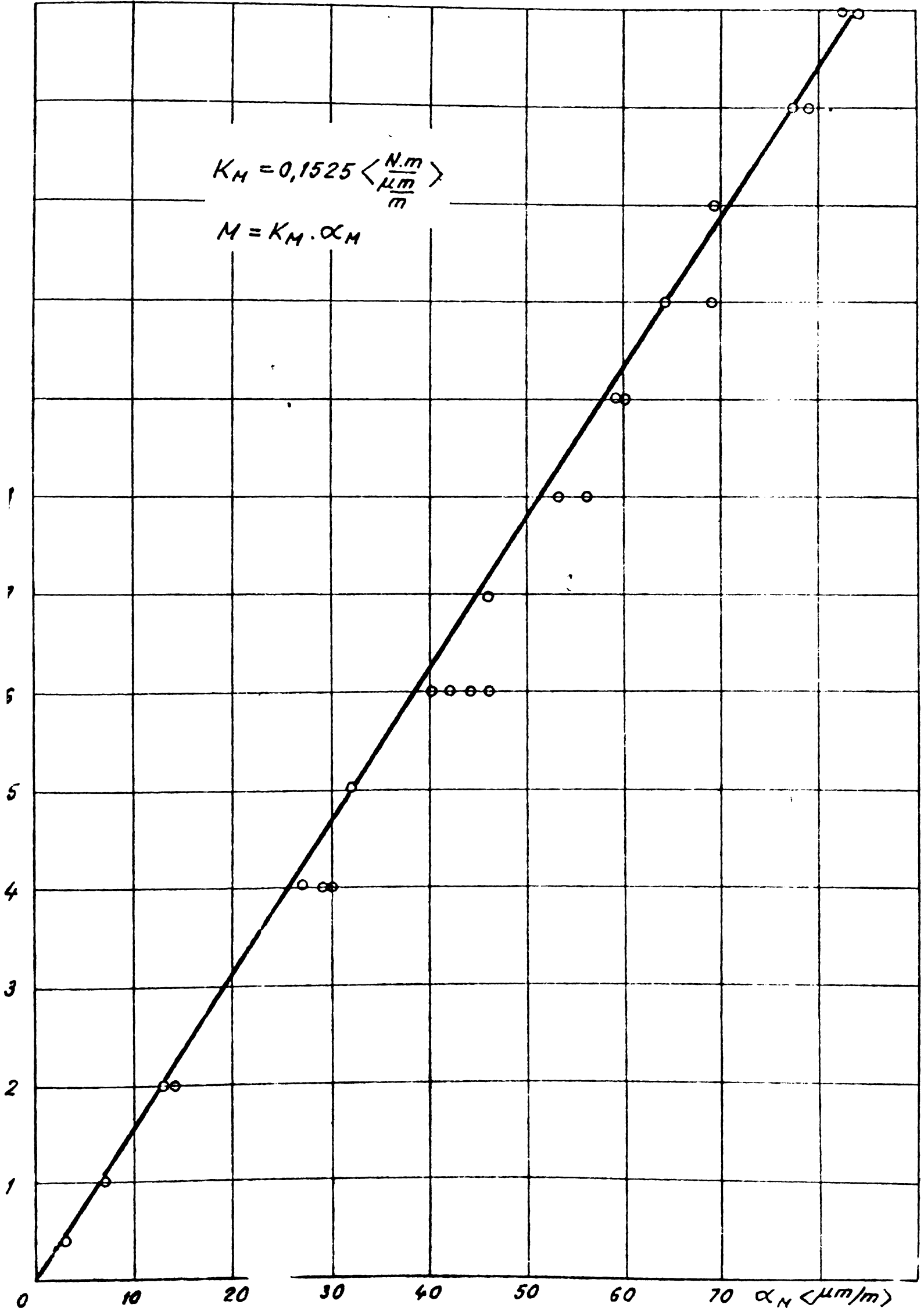


Fig. A1.3 Curba de etalonare a transductorului de moment tip ZF-T1 Huggenberger

balanței s-a determinat curba din fig.4.1.3 folosind indicațiile amplificatorului AM.

Curba de etalonare a debitmetrului cu turbină D s-a verificat într-un montaj special în care la refularea unei pompe după vana de reglare s-au plasat în serie debitmetrul și un vas etalonat.

La tahogeneratorul Tg s-au confruntat rezultatele obținute prin măsurătorile făcute la tahometrul Th și la indicațiile voltmetrului din amplificatorul AT, cu curba de etalonare a traductorului. Modificarea turației motorului electric ME 1 s-a realizat printr-un grup de frecvență variabilă care alimentează stațiunea din fig. 3.2.1.

Pentru curbele de etalonare determinate și verificate s-au înregistrat secvențe filmate cu oscilograful O. Liniaritatea elementelor de pe lanțul de măsură și amplificare pentru presiunea de la aspirație, presiunea de la refulare, moment mecanic și viteză unghiulară au permis ca în final să se deducă constanta de amplificare numai din două valori ale mărimii măsurate respectiv ale spoturilor.

- funcționarea în diferite regimuri staționare a instalației timp de 10...30 minute pentru a separa eventualele bule de gaz în zonele mai ridicate ale circuitului și a le evacua prin pușjare de acolo cât și pentru a umezi etanșările și a egaliza temperaturile în stațiune.

- determinarea curbelor caracteristice statice energetice ale pompei centrifuge CRIS-50. Acestea se stabilesc în manieră clasică menținând turația pompei constantă și reglând, cu vana de la refularea pompei V, regimul de funcționare. Unele rezultate sînt redade în fig. 4.1.4 și fig. 4.1.5 incluzînd măsurători obținute la diferite turații

- stabilirea curbelor caracteristice statice cavitaționale pe baza curbelor căzătoare primare din fig. 4.1.6, fig.4.1.7 /9/ și fig. 4.1.8 /6/ obținute prin metoda descrisă în /1, 88, 139/.

- se pornește motorul electric ME 1

- se instalează cu ajutorul vanei V regimul dorit de funcționare al pompei P. Acesta se verifică prin citirile înălțimii de pompă la piezometrul H, debitului la numărătorul N și turației la tahometrul Th

- se realizează nivelul de presiune dorit în sistem. Pentru încercări energetice pînă la turații de ordinul 4500 rot/min s-a constatat că o suprapresiune de 1 at citită la manometrul M2 din rezervorul R1, vas comunicant cu circuitul hidraulic principal, este

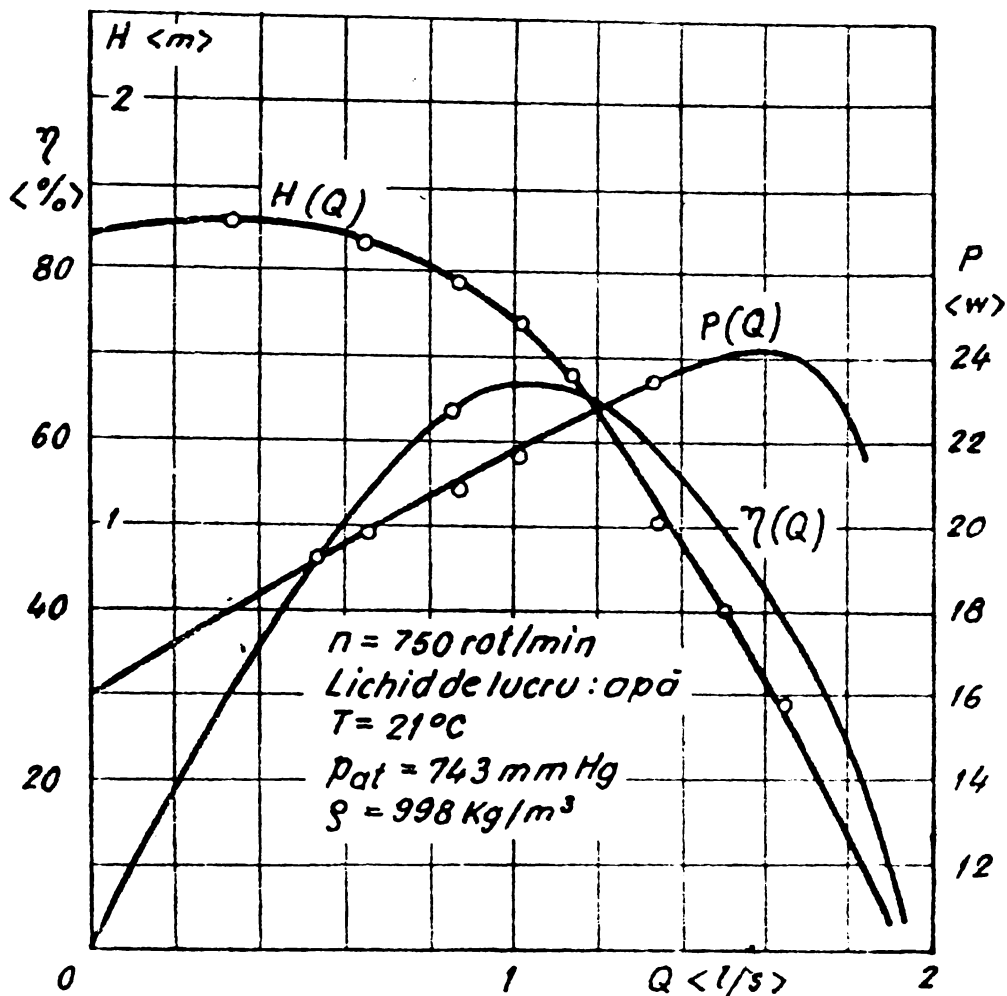


Fig. 41.4 Curbele caracteristice energetice ale pompei CRIS-50

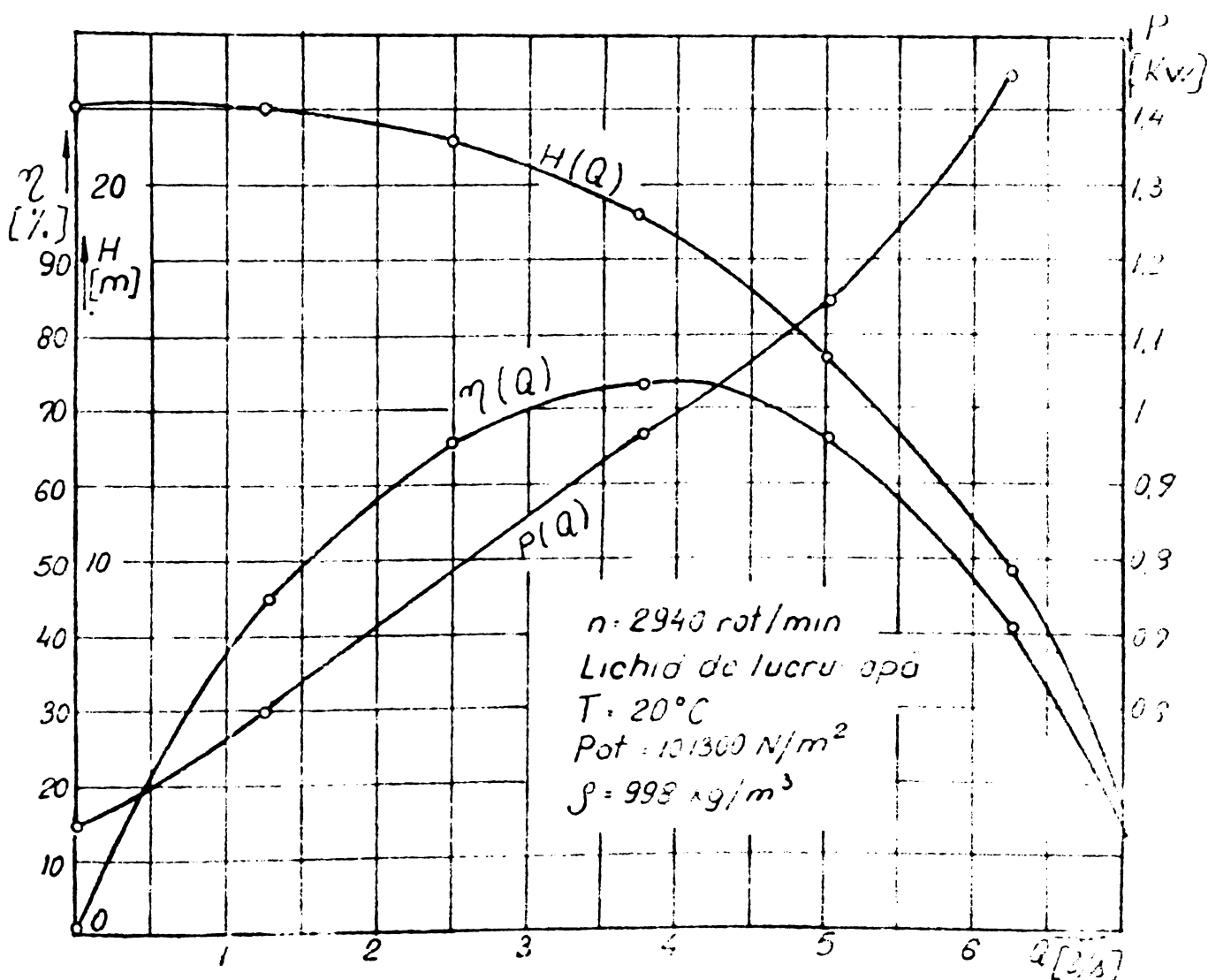


Fig. 41.5 Curbele caracteristice energetice ale pompei CRIS-50

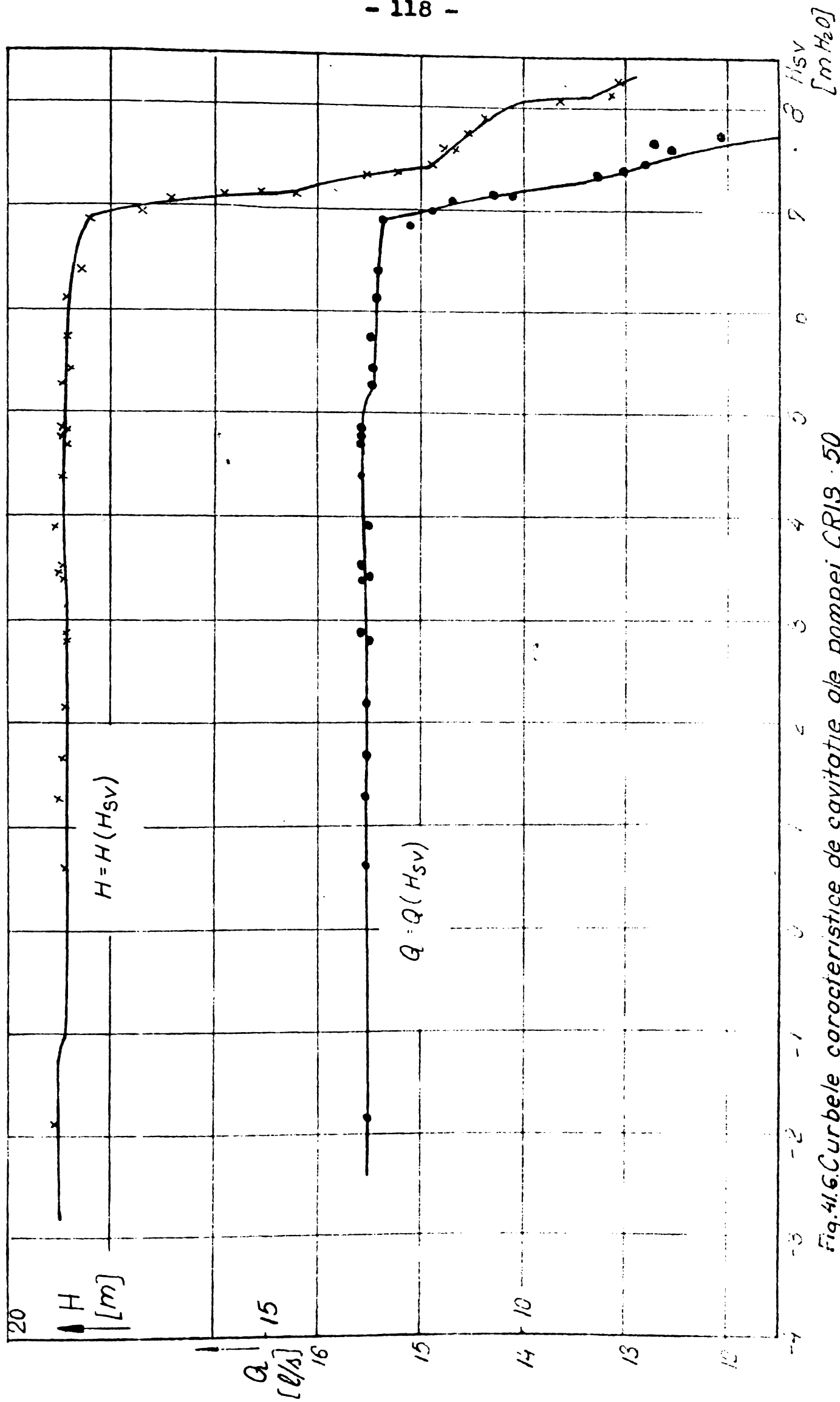
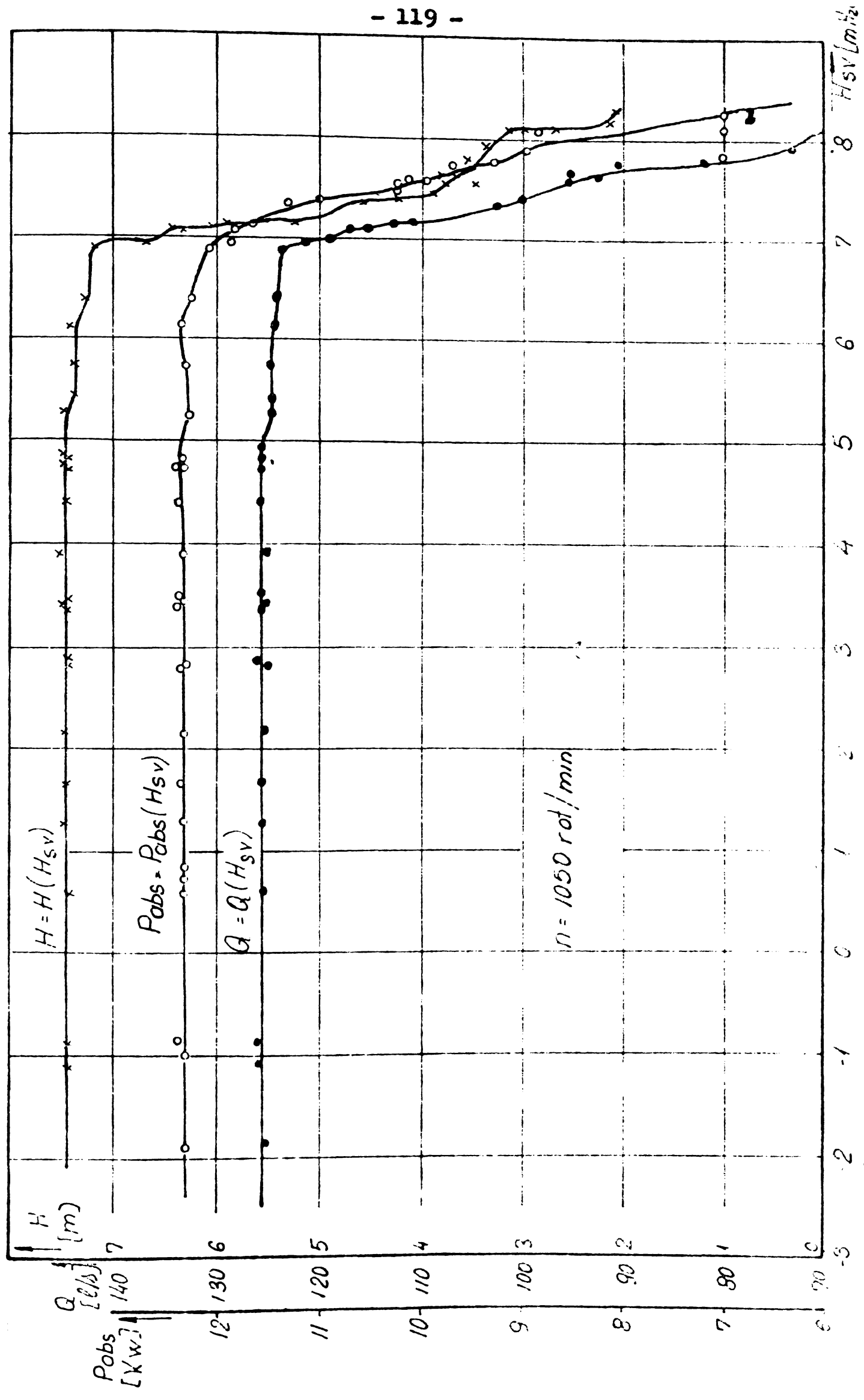


Fig. 41.6. Curbele caracteristice de cavitație ale pompei CRIȘ 50



Curbele caracteristice de cavitatie ale pompei Brotes 250a

Fig. 41.7

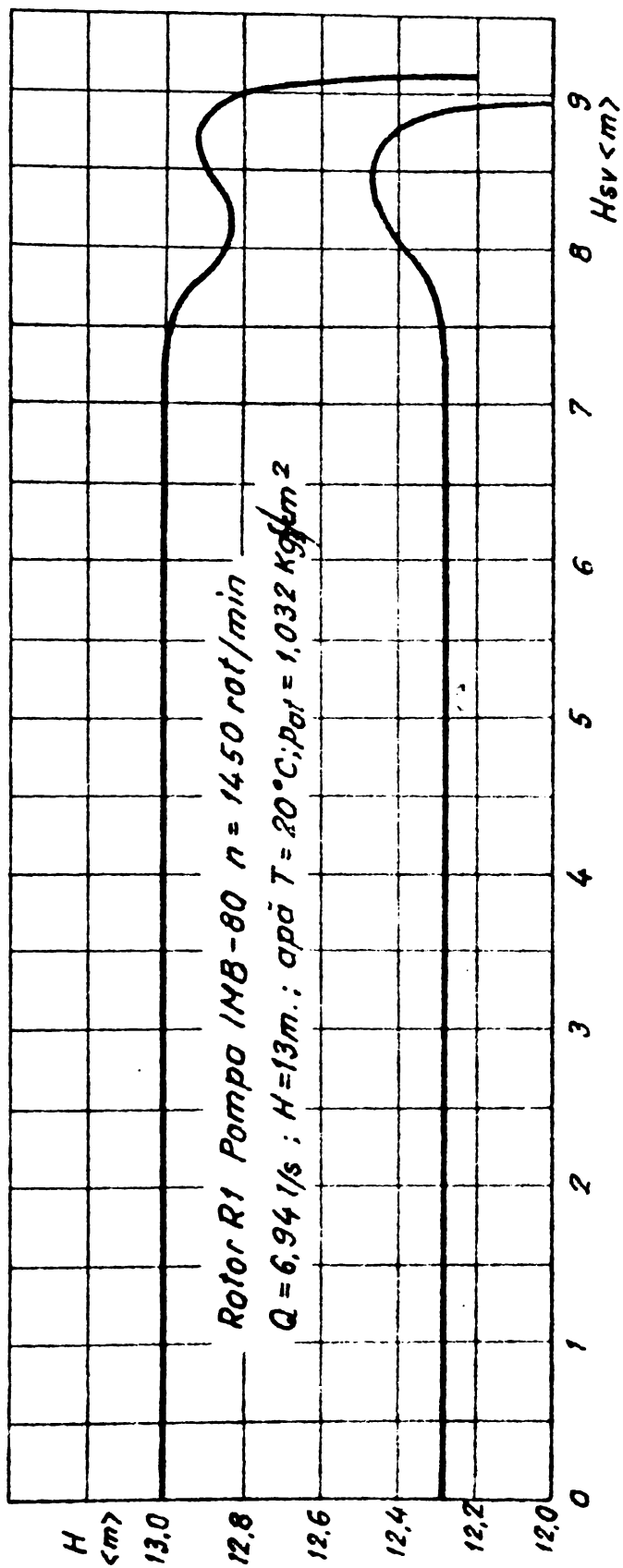


Fig. 41 8

suficientă pentru evitarea funcționării în regim cavitațional a pompei CRIS-50.

- se stabilesc pozițiile spoturilor pe ecranul osciloscopului și amplificările lor la oscilograful O. Aceasta se face pentru ca mărimile măsurate și urmărite să poată fi evaluate ulterior iar în regimuri tranzitorii aceste spoturi să nu depășească formatul vizualizat și filmat. În cursul înregistrărilor de câte ori se consideră necesar se revine la această etapă

- se stabilește la cama dublă CC excentricitatea dorită

- se pornește motorul electric ME 2

- se instalează turația dorită a variatorului hidraulic VH prin acordarea poziției manetelor care schimbă excentricitățile rotorilor motorului hidraulic și pompei volumice ale variatorului

- se verifică prin indicațiile osciloscopului O, dacă amplitudinea oscilațiilor de turație nu este prea mare. Pe baza studiilor din literatură /122/ s-a acceptat amplitudinea maximă de 4 % pentru a nu depăși domeniul de aproximare liniară a fenomenelor ce au loc în funcționarea unei pompe centrifuge. Dacă valoarea obținută depășește valoarea maximă admisă se corectează excentricitatea camei combinatorului CC.

- se obține astfel antrenarea pompei P cu o turație ce fluctuează sinusoidal cu amplitudinea și frecvența stabilite de experimentator

- se urmăresc și se apreciază pe ecranul oscilografului O mișcările spoturilor

- se selectează viteza de filmare și intensitatea luminoasă a spoturilor

- se cuplează antrenarea filmului și se înregistrează pe o hârtie sensibilă de 120 mm lățime secvențe cu durata de cel puțin 3-5 perioade complete pentru variații de turație de frecvență și amplitudine constante fig.4.1.9. Pe aceleași înregistrări apare și baza de timp t cu semnale dreptunghiulare de perioadă egală cu

$\Delta t = 0,2$ s. Concomitent cu turația se vor înregistra oscilații periodice mai mult sau mai puțin sinusoidale ale presiunii de la aspirație, presiunii de la refulare, momentului mecanic și debitului. Fiecare din aceste mărimi este decalată în timp față de sursa de perturbații (oscilațiile de turație).

În fig.4.1.9 se oferă un exemplu al unei secvențe a înregistrărilor unor mărimi caracteristice în regim dinamic.

Ultimele 7 etape se repetă pentru o altă frecvență de fluctuație a turației și rezultatul se obține sub forma unei secvențe

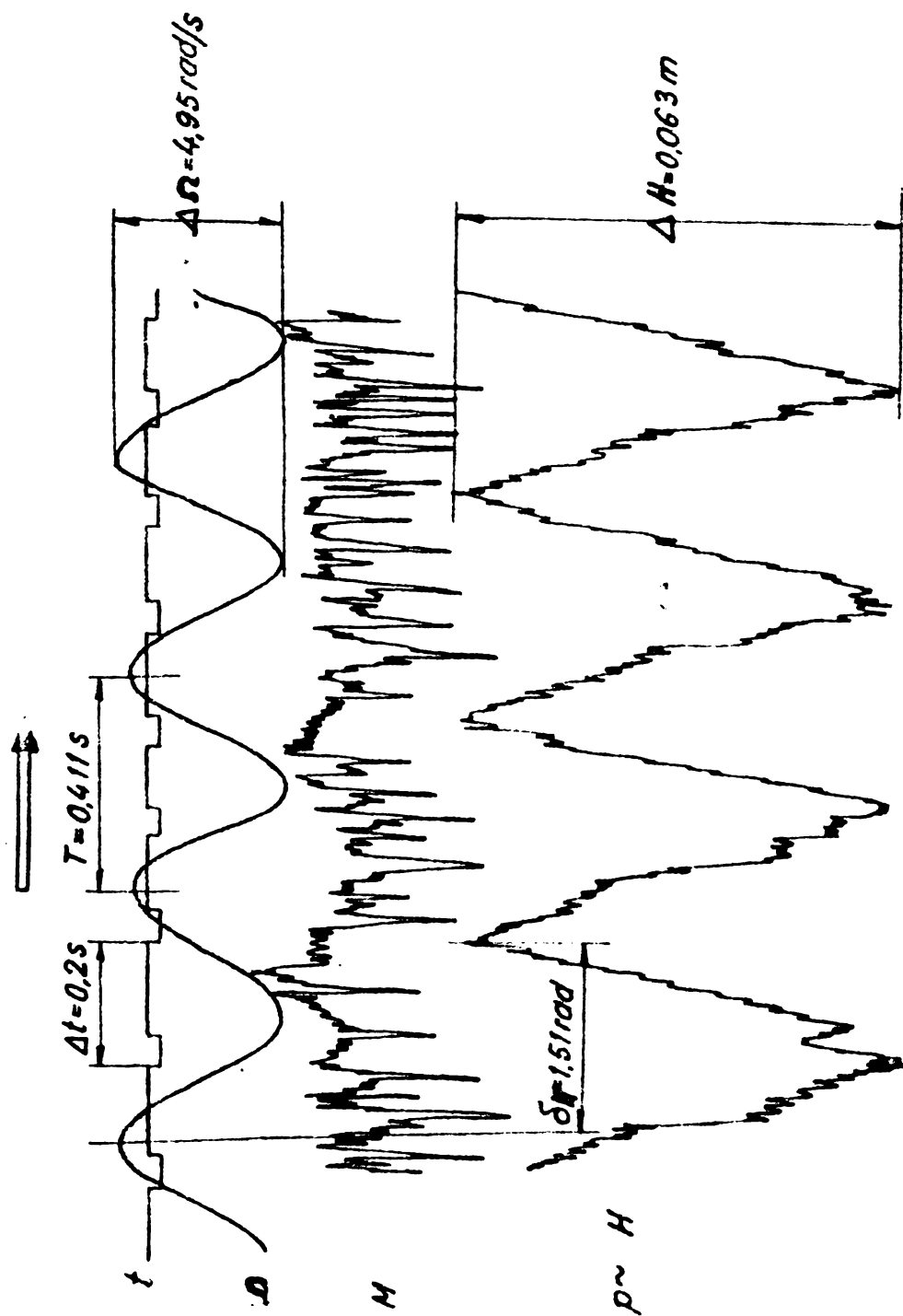


Fig. 41.6. Severele de impulsionale in timpul caracterizării
 în regim liniar sau periplu CRIS-50.

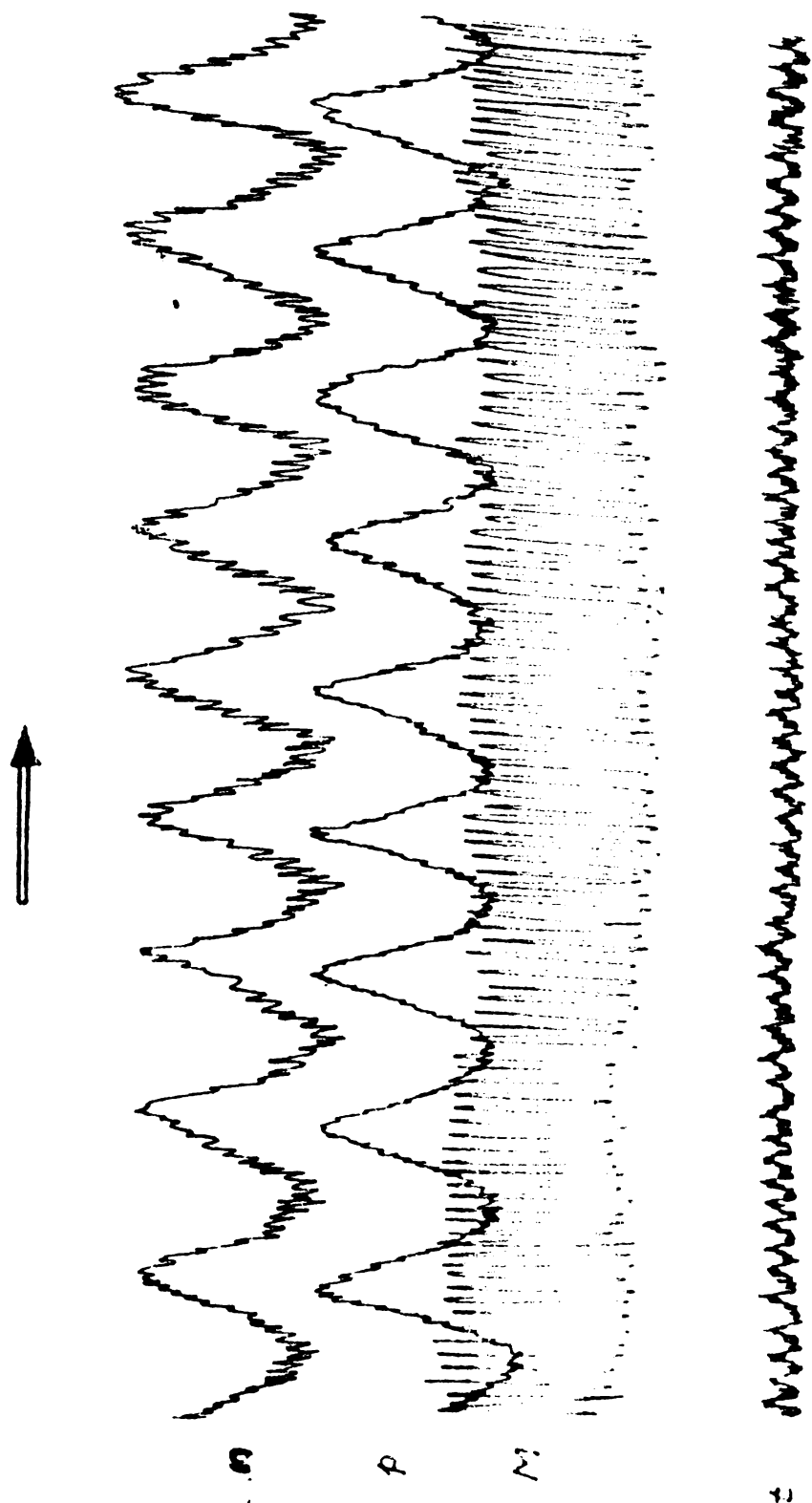


Fig. 4.1.10 Secvența înregistrărilor mărimilor caracteristice în regim dinamic ale pompei CRIȘ - 50

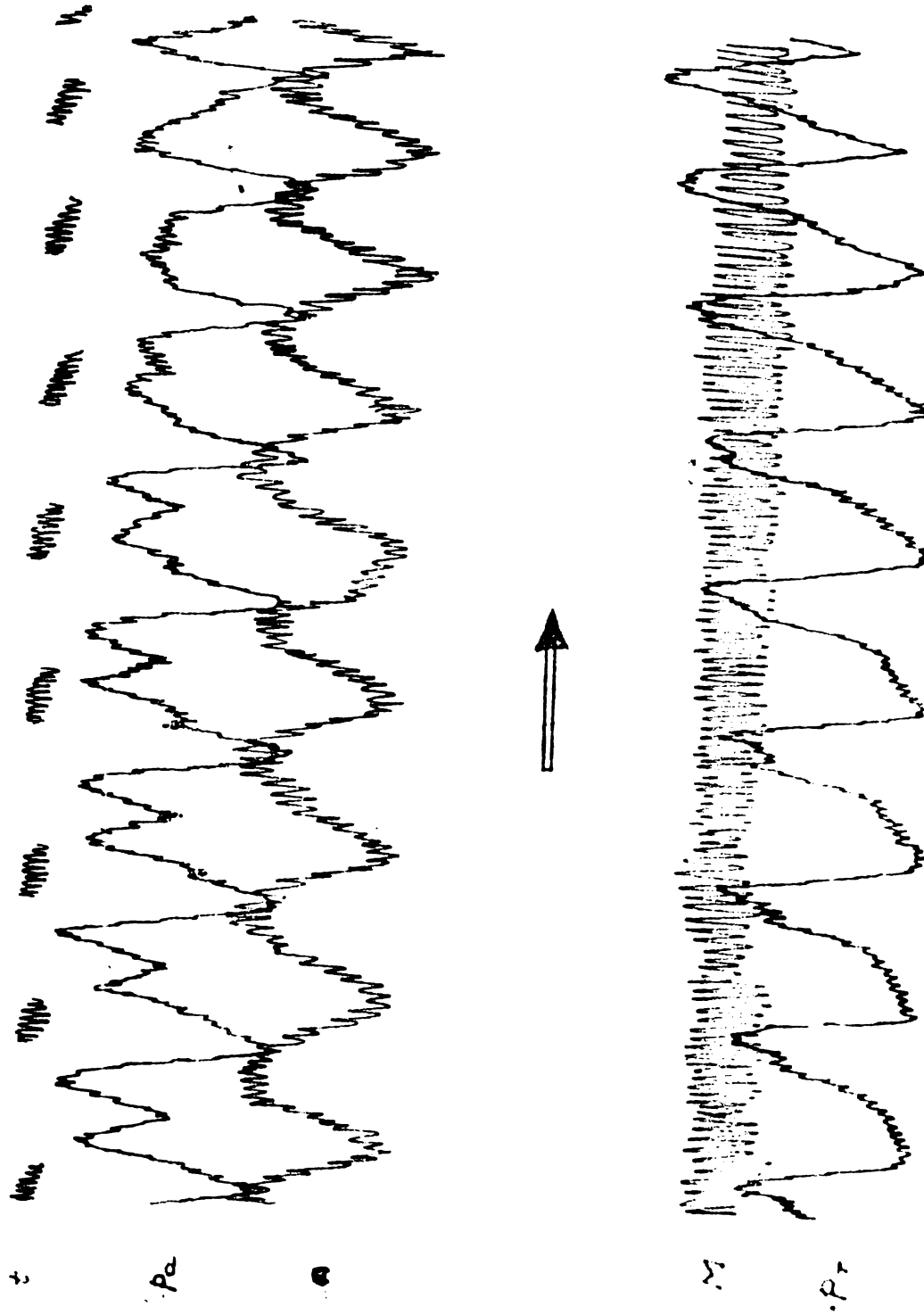


Fig. 4.1.11 Secvență a înregistrărilor membrilor caracteristice în regim dinamic ale pompei CRIS - 50

precum în fig. 4.1.10. Se acoperă întreaga gamă de frecvențe de fluctuație ce prezintă interes în studiul dinamic al pompei respective. Stațiunea LMHT permite frecvențe de fluctuație a turației $f = 0,5 \dots 20$ Hz.

Se repetă aceste operații pentru o altă amplitudine de fluctuație a turației. Astfel pentru a verifica influența caracterului neliniar al mașinii studiate s-a trecut de la 4 % la 6,3 % în ceea ce privește amplitudinea de fluctuație a turației fig.4.1.11.

Din fig.4.1.9...4.1.11 se pot extrage valorile amplitudinii turației Δn și presiunii Δp , respectiv înălțimii de pompare ΔH și defazajul între ele δ_H . Raportul variațiilor relative maxime de turație $\frac{\Delta n}{n}$ și înălțime de pompare $\frac{\Delta H}{H}$ împreună cu defazajul raportat la perioadă în grade se reprezintă în coordonate polare în fig.4.1.12. Planul complex asociat oferă inversul uneia din funcțiile parțiale de frecvență rezultate prin încercarea dinamică a pompei CRIS-50.

Observație. Funcțiile de transfer ale pompelor s-au definit în raport cu înălțimea de pompare (vezi rel. 2.2.1) iar în prezenta

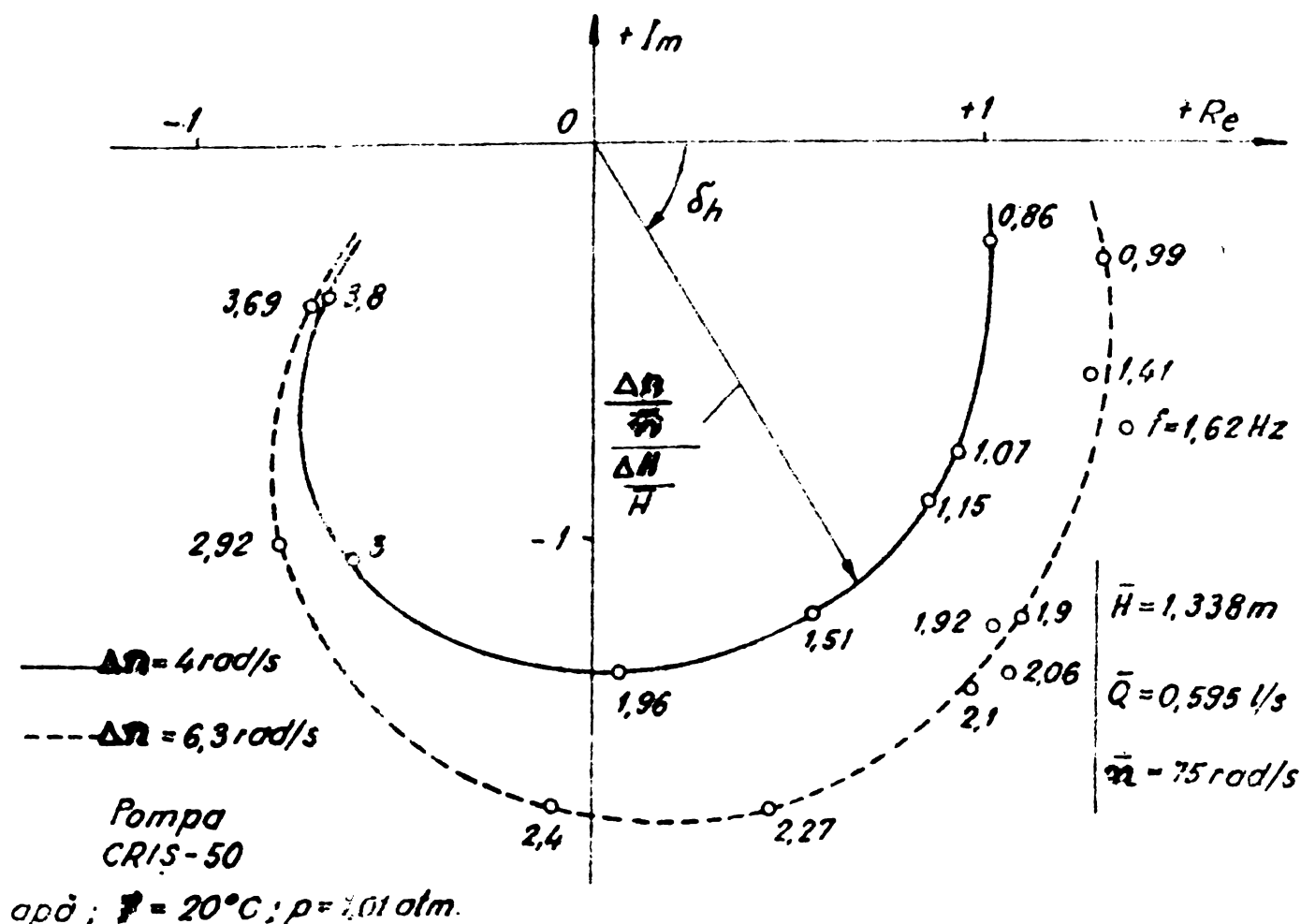


Fig. 4.1.12 Funcția parțială de frecvență a pompei CRIS-50

metodică s-au măsurat presiunile la aspirație și/sau refulare. Aceasta se consideră corect în baza unui model cu parametri concentrați și pe baza demonstrațiilor făcute în cadrul cap. 2.3:1 în care tocmai rel. (2.3.1.7) respectiv rel. (2.3.1.42) demonstrează limitele valabilității modelului adoptat.

4.2 Măsurători în regim dinamic cavitațional asupra pompei LPO/PT-7

Pompa centrifugală cu inductor axial de tipul LPO/PT echipată cu varianta de rotor 7 a fost testată în cadrul stațiunii Caltech reprezentată în fig. 3.3.1 și i s-au determinat funcțiile de transfer în regim cavitațional. Regimul dinamic cavitațional a fost realizat prin perturbarea armonică a debitului și a presiunii în două moduri ; I - numai cu dispozitivul amonte de pompă (vana de perturbație V 1) și II - numai cu dispozitivul aval de pompă (vana de perturbație V 2). Măsurătorile în regim nestaționar asupra pompei s-au făcut cu și fără micșorarea secțiunii de curgere amonte de pompă. Montajul conform fig. 3.3.6 prin plasarea unui obstacol triunghiular înaintea rotorului de pompă încearcă să simuleze prezența unui cot amonte de pompă.

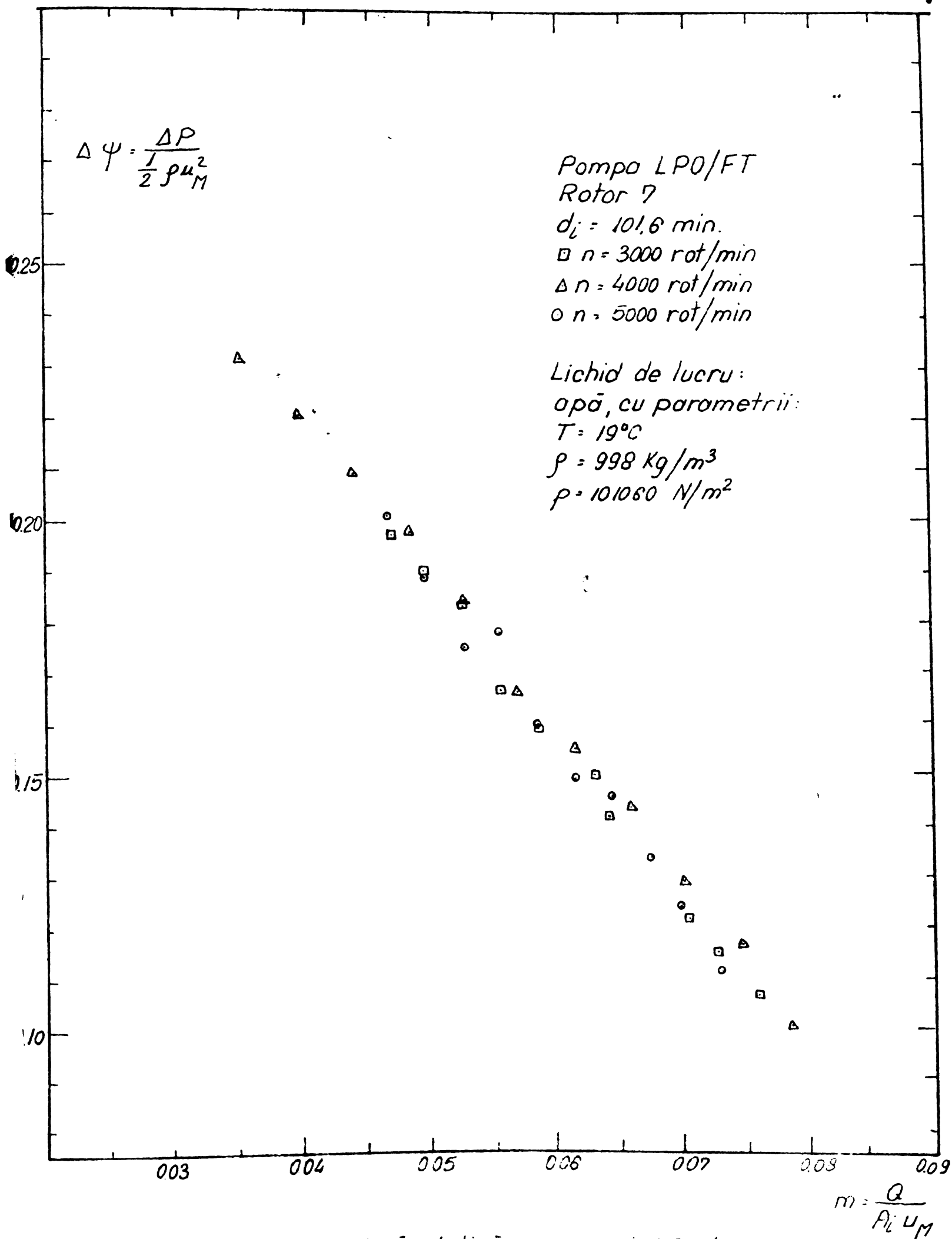
Curba caracteristică statică a pompei s-a determinat după metoda clasică /19/. Rezultatele încercărilor asupra variantei fără obstacol amonte de pompă sînt reprezentate în fig. 4.2.1 și cele cu obstacol amonte de pompă în fig. 4.2.2.

Prezența obstacolului introduce ușoare deosebiri în funcționarea statică energetică a mașinii cum rezultă din comparația celor două figuri. Influența obstacolului este mai pregnantă în funcționarea ansamblului în regimuri cavitaționale. Aceasta rezultă din analiza curbelor caracteristice statice cavitaționale ale pompei care s-au măsurat de asemenea fără obstacol amonte fig.4.2.3 și cu obstacol amonte de pompă fig. 4.2.4.

Diferite regimuri cavitaționale statice fără obstacol amonte (dar cu un rotor de tip 65) au fost fotografiate și se prezintă în suita din fig. 4.2.5...fig.4.2.16. Parametrii de funcționare ai pompei sînt ; $n = 6000$ rot/min, $\Delta\psi = 0,263$, $m = 0,0699$, $p_{at} = 743$ mm col.Hg , $T = 25^{\circ}\text{C}$ iar coeficientul de cavitație al pompei s-a modificat de la $\sigma_{hsc} = 0,714$ în fig.4.2.5 pînă la $\sigma_{usc} = 0,0126$ în fig. 4.2.16.

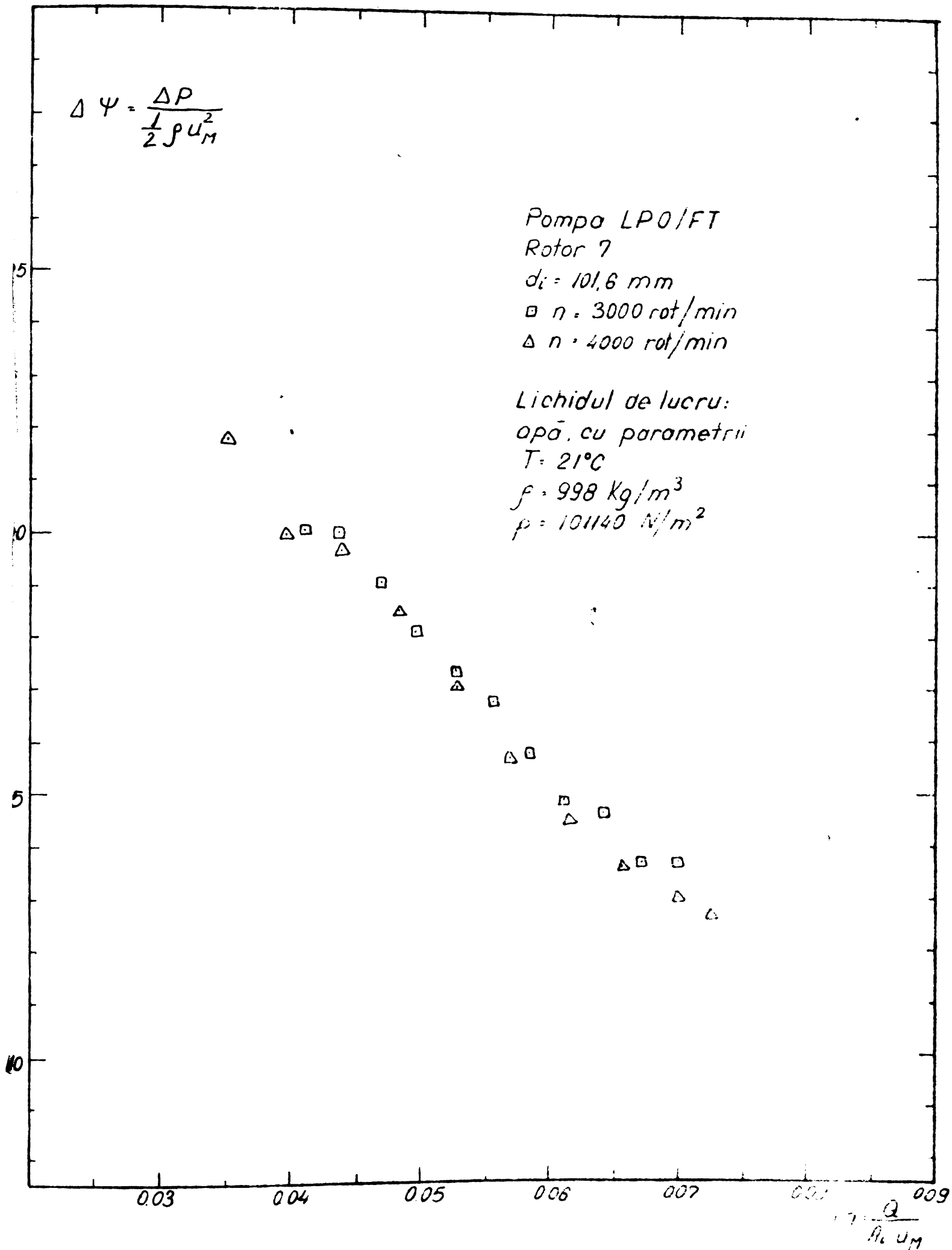
Analizînd fotografiile se observă următoarele ;

- dezvoltarea zonei cavitaționale în rotorul pompei odată cu scăderea coeficientului de cavitație al pompei ;



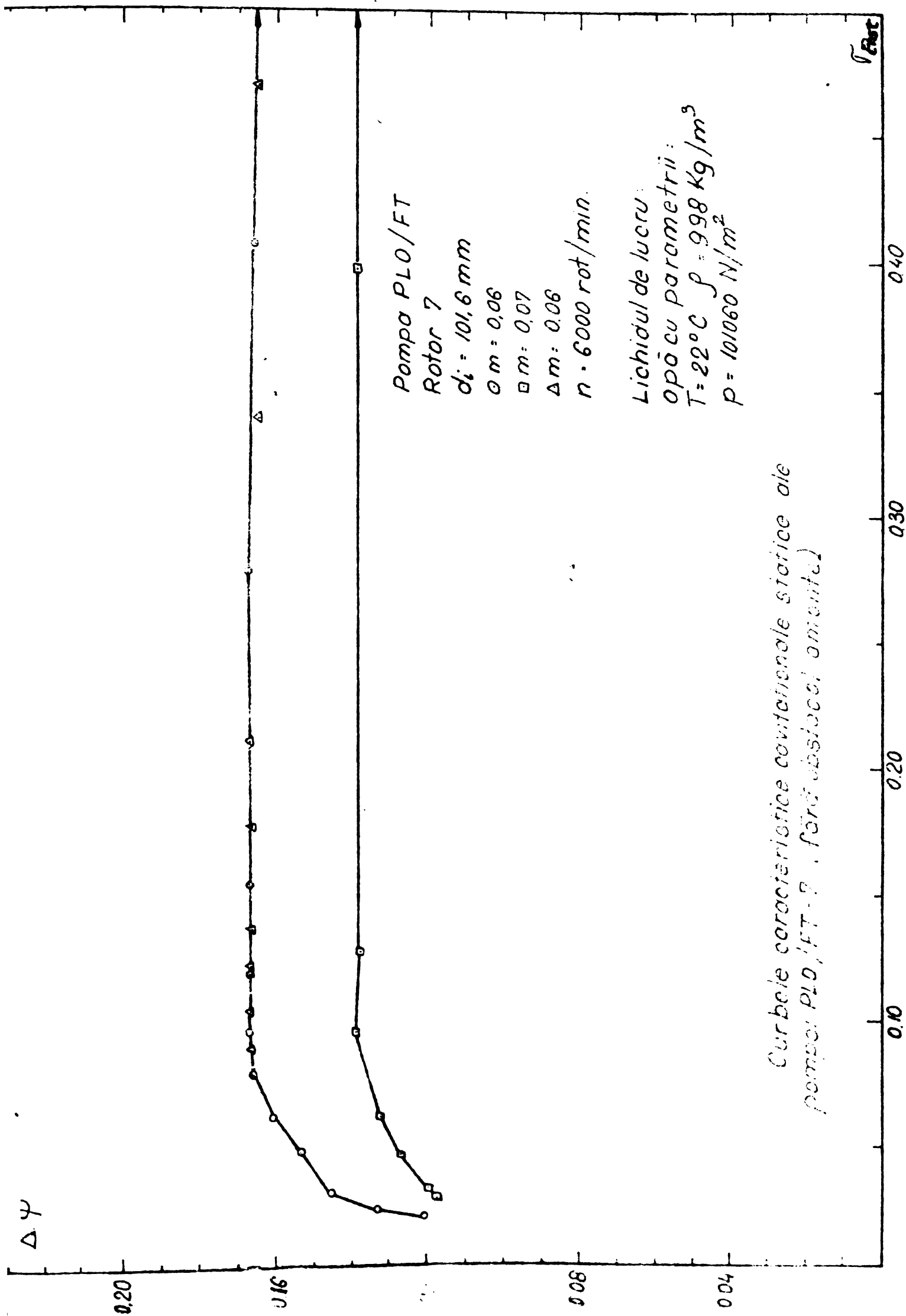
Curba caracteristică statică a pompei LPO/FT-7
(fără obstacol amonte)

Fig. 42.1



Curba caracteristică statică a pompei LPO, FT-7
(cu obstacol amonte)

Fig. 42.2



Curbele caracteristice convitionale statorice ale pompei PLO/FT-7, fără obstacol amonte.

Fig 42.3

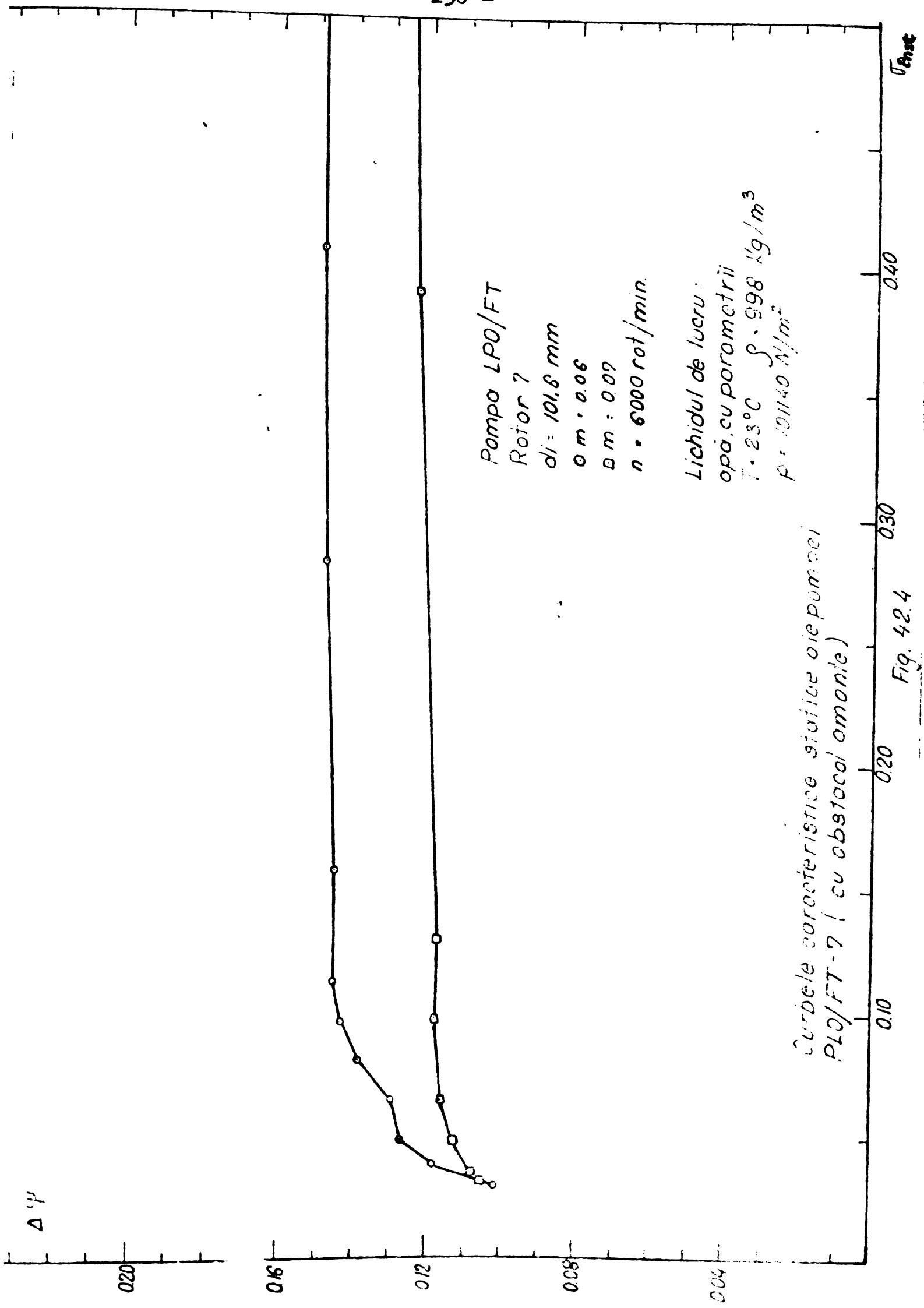


Fig. 42.4

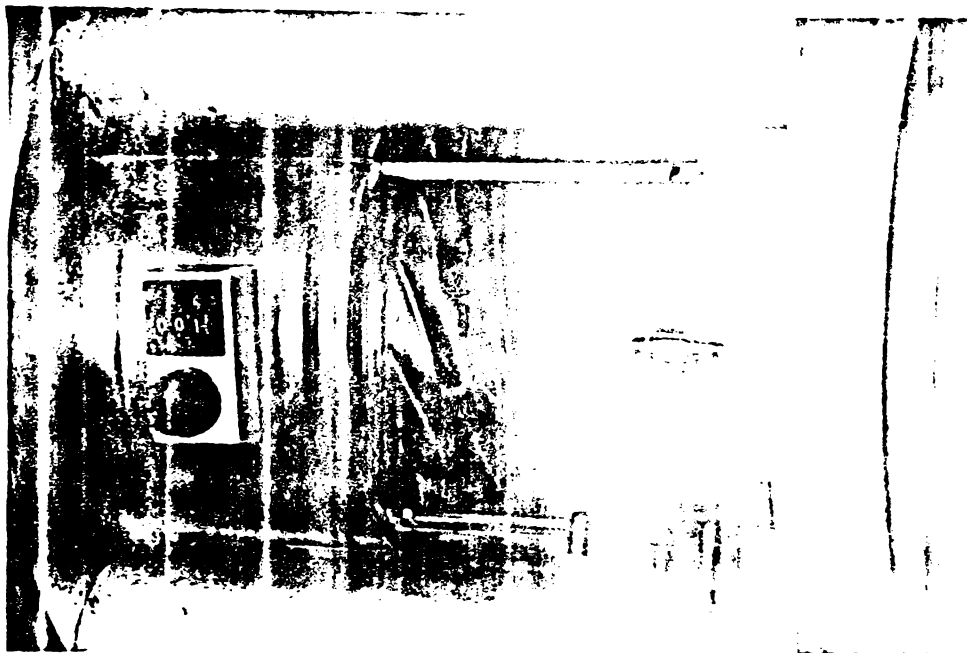


FIG. 4.2.5 $Q = 18,8 \frac{1}{s}$; $n = 604 \frac{\text{rot}}{\text{min}}$; $G_{\text{out}} = 0,7187$



FIG. 4.2.6 $Q = 18,8 \frac{1}{s}$; $n = 607 \frac{\text{rot}}{\text{min}}$; $G_{\text{out}} = 0,7187$

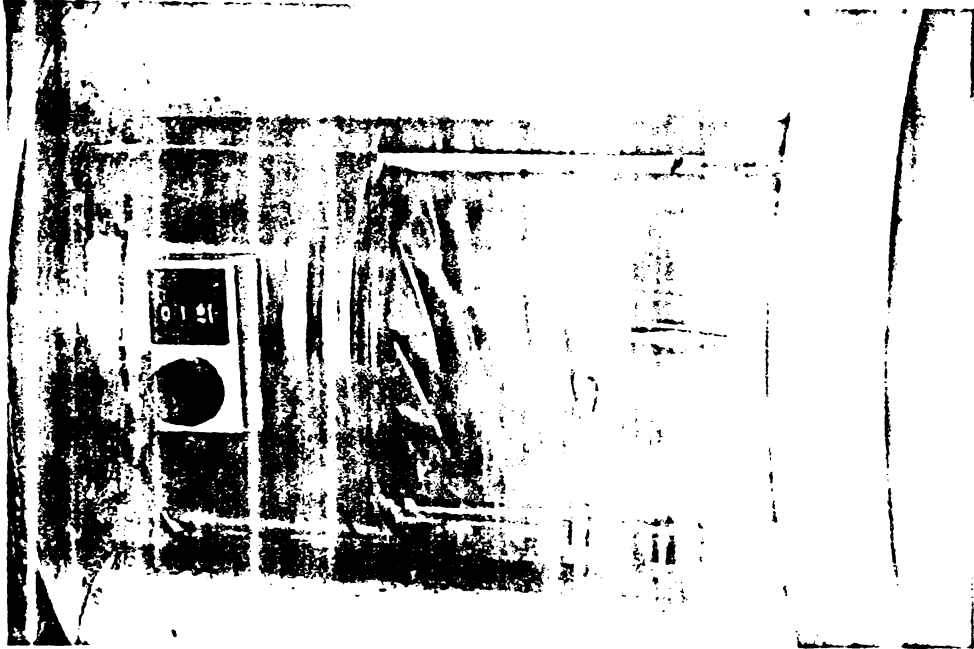


Fig. 4.2.17 $Q = 18,8 \frac{1}{3}$; $n = 6044 \text{ rot/min}$; $\sigma_{\text{ent}} = 0,211$

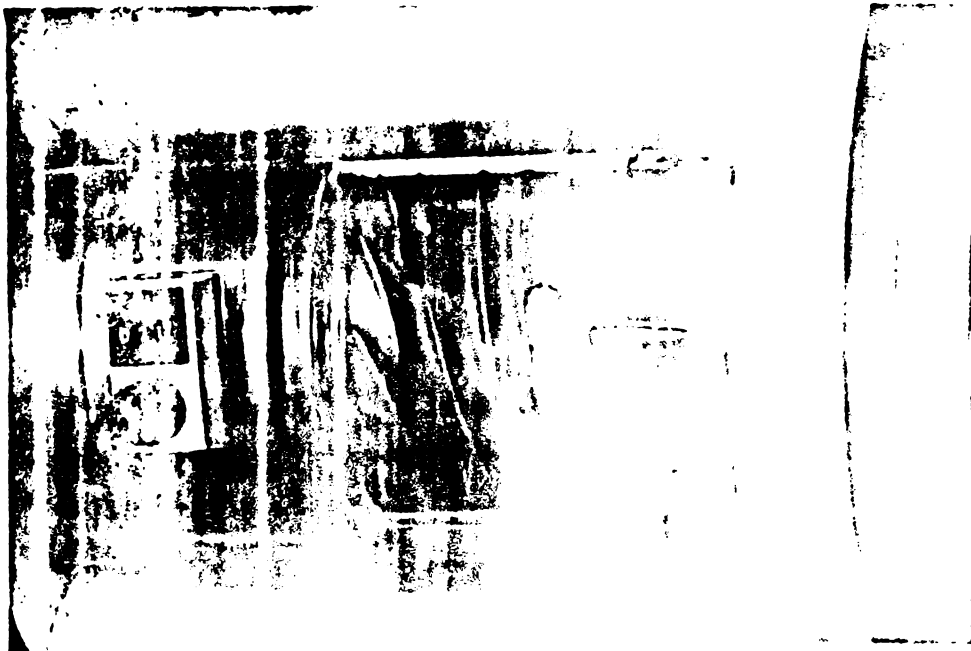


Fig. 4.2.18 $Q = 18,8 \frac{1}{3}$; $n = 6046 \text{ rot/min}$; $\sigma_{\text{ent}} = 0,211$



Fig. 4.2.9 $Q = 18,8 \frac{\text{л}}{\text{с}}$; $n = 6018 \frac{\text{rot}}{\text{min}}$; $\sigma_{\text{Dist}} = 0,0039$



Fig. 4.2.10 $Q = 18,8 \frac{\text{л}}{\text{с}}$; $n = 6044 \frac{\text{rot}}{\text{min}}$; $\sigma_{\text{Dist}} = 0,075102$

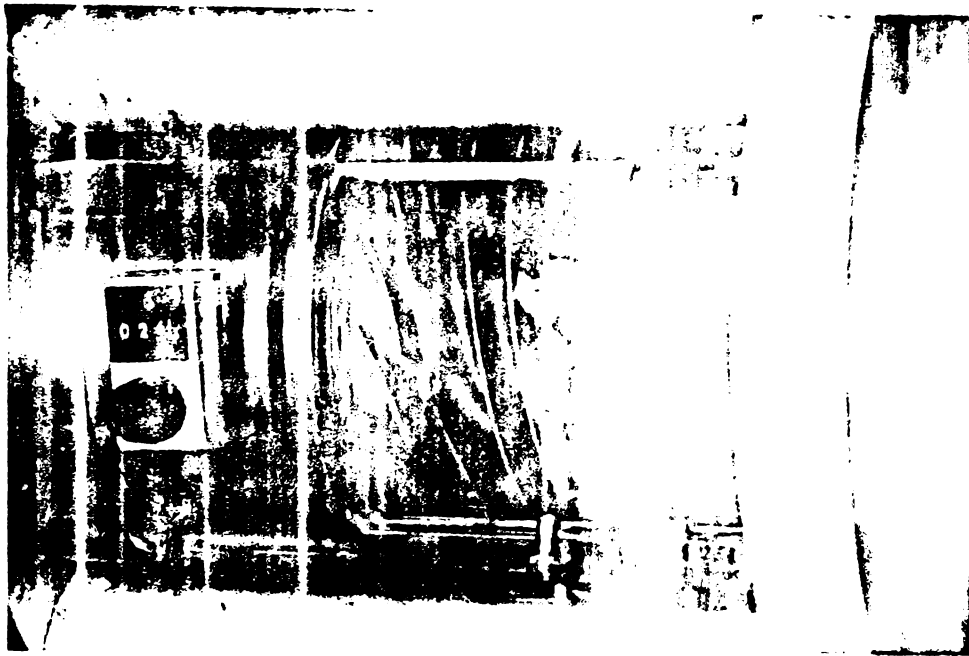


Fig. 4.2.11 $Q = 18,8 \frac{1}{s}$; $n = 6022 \frac{rot}{min}$; $\sigma_{D_{int}}$



Fig. 4.2.12 $Q = 18,8 \frac{1}{s}$; $n = 6008 \frac{rot}{min}$; $\sigma_{D_{int}}$



Fig. 4.2.13 $Q = 18,7 \frac{1}{s}$; $n = 6017 \frac{rot}{min}$; $\sigma_{last} = 0,35582$



Fig. 4.2.14 $Q = 18,6 \frac{1}{s}$; $n = 6011 \frac{rot}{min}$; $\sigma_{last} = 0,35511$



Fig.4.2.15 $Q = 18,5 \frac{\text{л}}{\text{с}}$; $n = 6015 \frac{\text{rot}}{\text{min}}$; $\sigma_{\text{Dist}} = 0,033241$

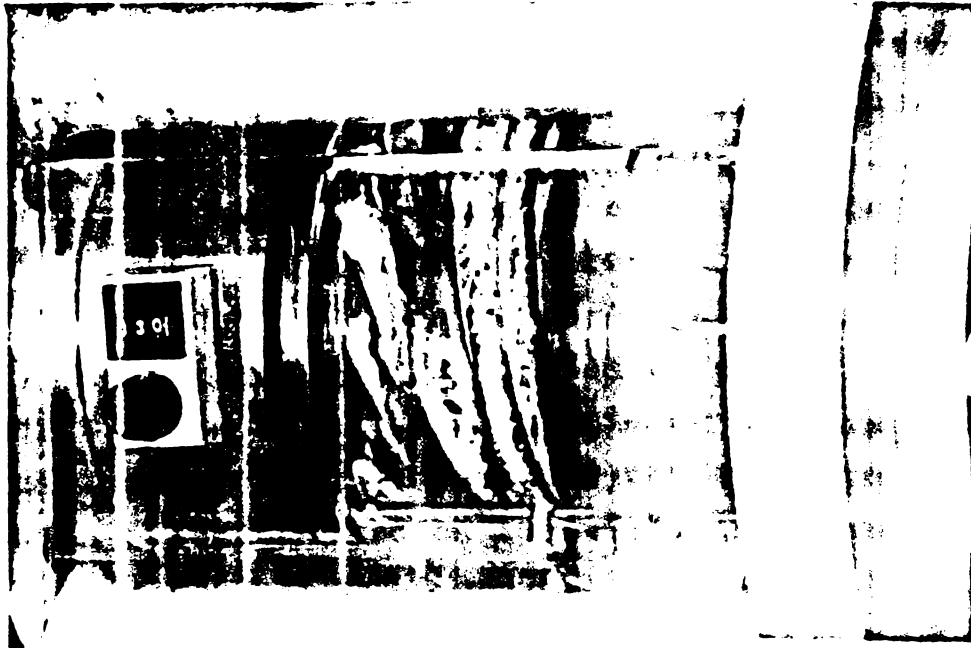


Fig.4.2.16 $Q = 18,2 \frac{\text{л}}{\text{с}}$; $n = 6013 \frac{\text{rot}}{\text{min}}$; $\sigma_{\text{Dist}} = 0,011549$

- trecerea de la cavitația de rost la cavitația pe paletă și apoi la cavitația întregului canal rotorice al pompei la micșorarea lui σ_{Inst}

- extinderea și amonte de rotorul pompei a zonei bifazice cavitate pentru valori scăzute ale coeficientului de cavitație (depresiuni mari la aspirație) asociate cu funcționarea la un regim deosebit de cel optim când fenomenele de prerotație, oscilații în masa de lichid și blocări ale canalelor rotorice intervin în funcționarea mașinii. Astfel în fig. 4.2.13 cavitația în curentul secundar inversat din fața rotorului de pompă se poate observa.

- caracterul puternic nestaționar al fenomenului de cavitație (auto-oscilații) chiar dacă parametrii globali ai mașinii se mențin constanți după cum rezultă din fig. 4.2.14 și fig.4.2.15 care reprezintă fotografii în momente deosebite dar la același coeficient de cavitație.

În prezența unui obstacol triunghiular amonte funcționarea pompei este redată prin fotografiile făcute rotorului 7 și prezentate în seria din fig. 4.2.17...fig.4.2.32. Regimul de funcționare al pompei a fost caracterizat prin parametrii : $n = 6000$ rot/min, $\Delta\psi = 0,15$, $m = 0,06$, $p_{at} = 748$ mm col Hg, $T = 26^\circ\text{C}$ și $\sigma_{Inst} = 0,686...0,0306$.

Se observă că începând cu fig.4.2.23 și în continuare apare cavitația datorită obstacolului amonte în dîra de lichid ce se apropie de rotorul de pompă. Deci pentru valori ale lui $\sigma_{Inst} < 0,1$ fenomenele de cavitație în obstacolul triunghiular amonte de pompă și cele în rotorul de pompă interferează. Dealtfel aceasta este și cauza pentru care apare aspectul lăptos al curentului în fotografiile din fig. 4.2.29...fig.4.2.32 și modelul spectrului de bule simulează cel mai apropiat această funcționare. Drept urmare nu se mai disting în această situație detaliile de curgere prin pompă și zona buturului rotorului. Aceste fotografii explică diferențele care apar în curbele caracteristice statice de cavitație cu și fără obstacol amonte de pompă. Urmărirea vizuală în regimuri nestaționare a funcționării pompei a scos în evidență că dacă la stadii incipiente de cavitație apare cavitația de rost atunci la stadii mai avansate ale fenomenului apar multiple forme de cavitație dintre care modelul ce mizează pe un spectru de bule dezvoltat în cap. 2.3.3 se pare că se potrivește cel mai bine cu situația reală.

Pentru regimuri nestaționare s-au recoltat imagini ale spoturilor pentru secvențe de câteva perioade ce arată modul cum variază viteza, presiunea și debitul amonte și aval de pompă pentru diferite frecvențe de fluctuație. În fig.4.2.33...fig.4.2.48 sînt vizualizate

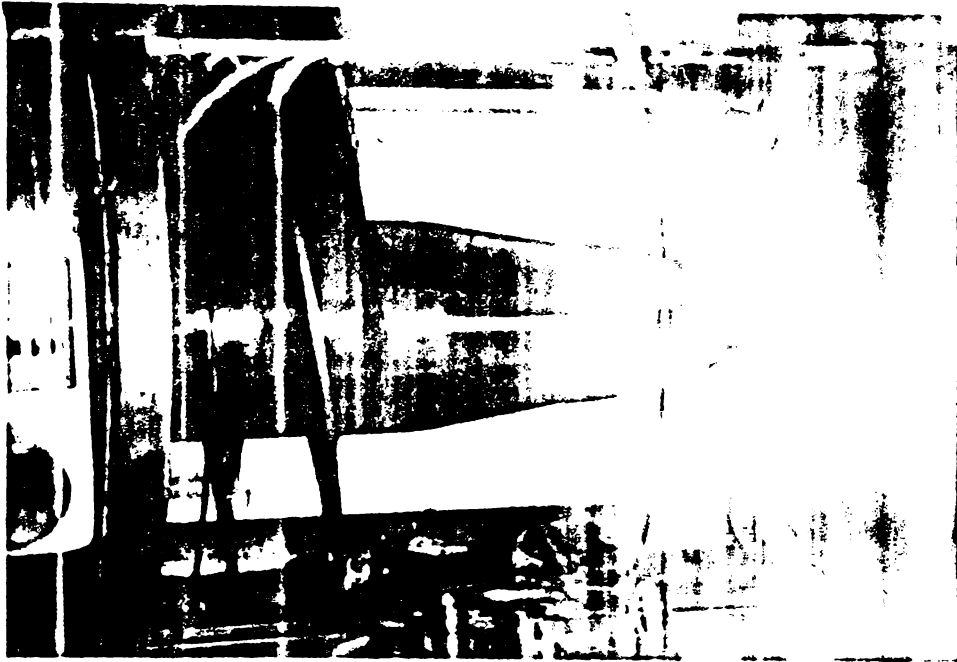


Fig.4.2.17 $n = 6024 \text{ rot/min}$; $G_{\text{out}} = 0,65$; $\eta = 2,7$



Fig.4.2.1 $n = 6032 \text{ rot/min}$; $G_{\text{out}} = 0,48$; $\eta = 1,8$ p/v.

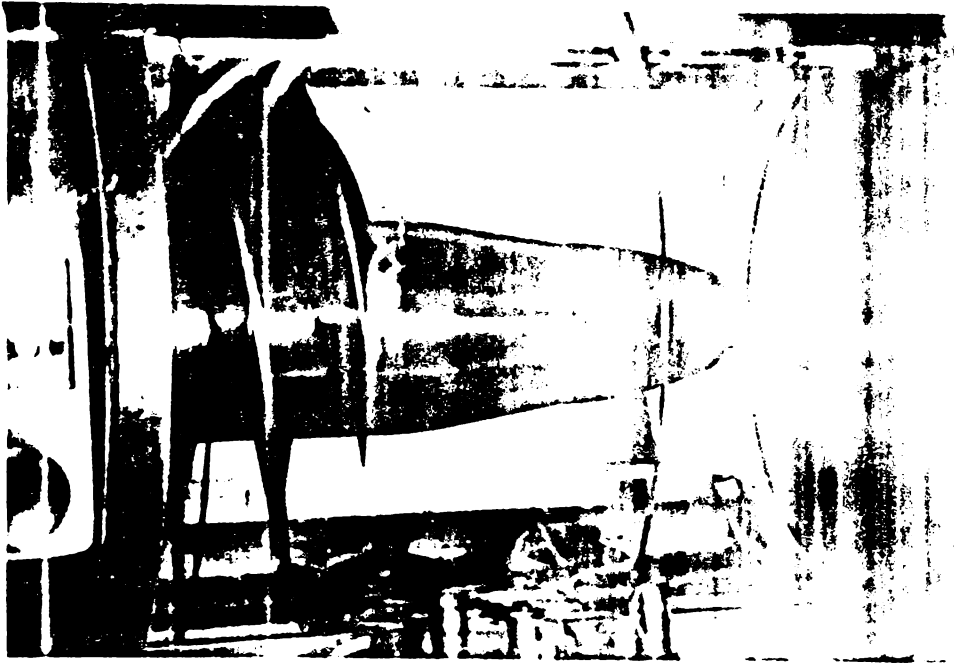


Fig.4.2.19 $n = 6022 \text{ rot/min}$; $G_{inst} = 0,57951$; \dots

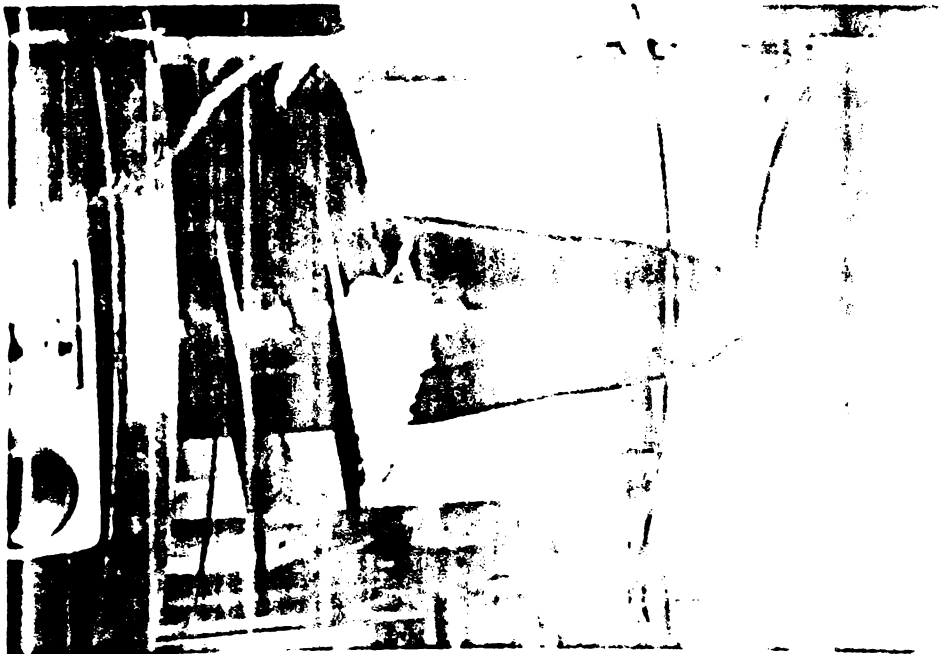


Fig.4.2.20 $n = 6028 \text{ rot/min}$; $G_{inst} = 0,20$; \dots

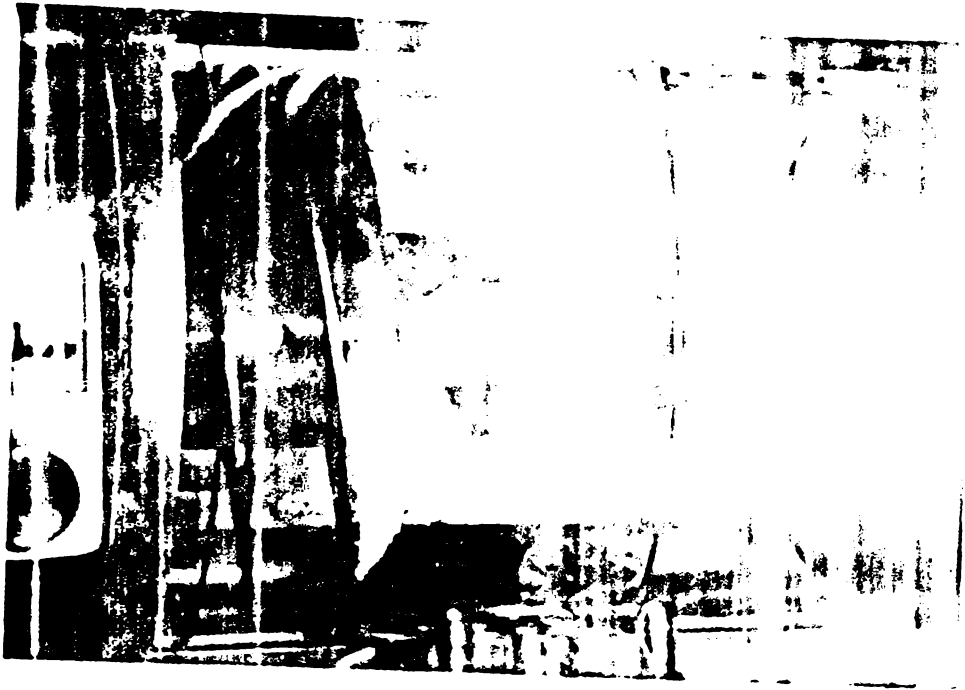


Fig. 4.2.21 $n = 6018 \text{ rot/min}$; σ_{last}



Fig. 4.2.22 $n = 6019 \text{ rot/min}$; σ_{last}



Fig. 4.2.23 $n = 6019 \text{ rot/min}$; $\sigma_{\text{lost}} = 0,135$; \dots



Fig. 4.2.24 $n = 6035 \text{ rot/min}$; $\sigma_{\text{lost}} = 0,12$; \dots



Fig.4.2.25 $n = 6035 \text{ rot/min}$; $G_{\text{disc}} = 0,102 \text{ g}$; 13, 1)



Fig.4.2.26 $n = 6030 \text{ rot/min}$; $G_{\text{disc}} = 0,10 \text{ g}$; 13, 1)

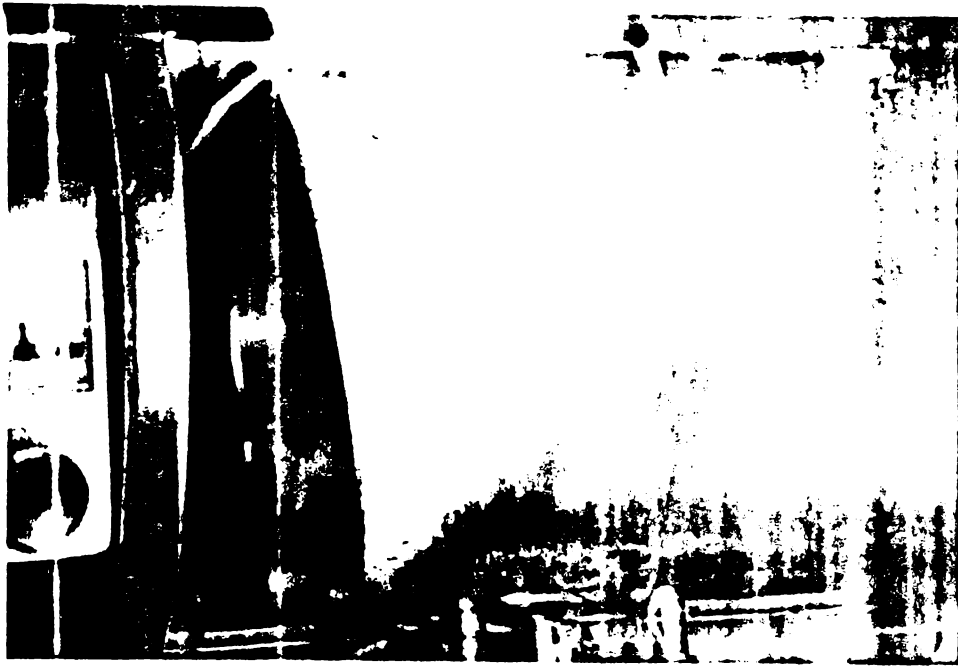


Fig.4.2.27 $n = 6030 \frac{\text{rot}}{\text{min}}$; $\sigma_{\text{Bst}} = 0,06$; $Q = 18,2 \text{ l/s}$



Fig.4.2.28 $n = 6035 \frac{\text{rot}}{\text{min}}$; $\sigma_{\text{Bst}} = 0,048$; $Q = 18 \text{ l/s}$



Fig.4.2.29 $n = 6010 \text{ rot/min}$; $\sigma_{\text{Dist}} = 0,0304$; $Q = 17,6 \text{ l/s}$



Fig.4.2.30 $n = 6017 \text{ rot/min}$; $\sigma_{\text{Dist}} = 0,02$; $Q = 16,6 \text{ l/s}$



Fig. 4.2.31 $n = 6017 \text{ rot/min}$; $\sigma_{\text{Dist}} = 0,015$ $Q = 15,8 \text{ l/s}$

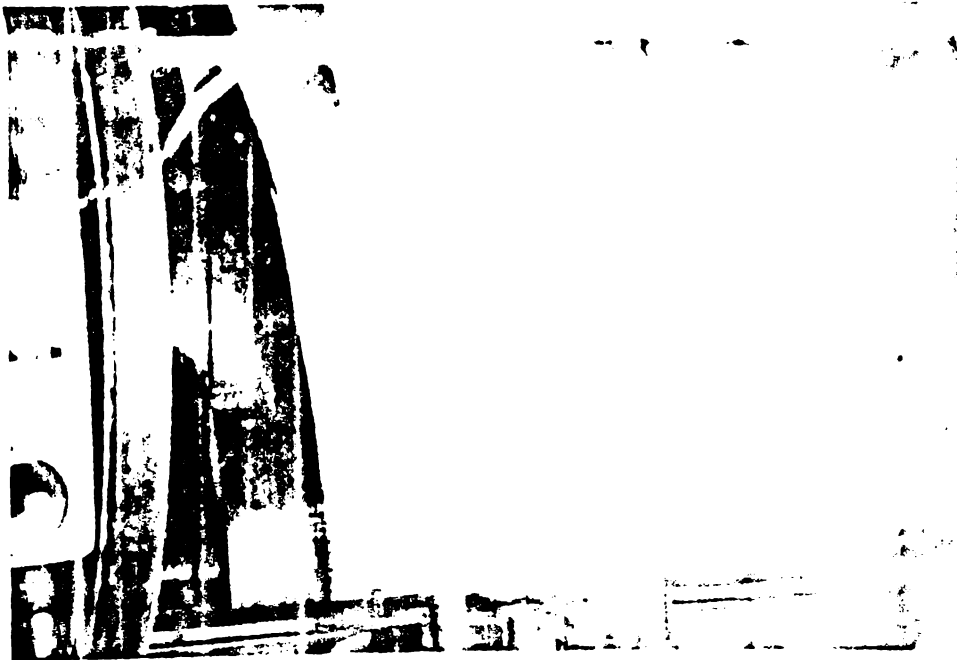


Fig. 4.2.32 $n = 6019 \text{ rot/min}$; $\sigma_{\text{Dist}} = 0,011$ $Q = 13,9 \text{ l/s}$

următoarele mărimi (privind de sus în jos fiecare înregistrare) :
 v_i - viteza amonte de pompă ; v_e - viteza aval de pompă (ambele măsurate cu anemometrul cu laser) ; p_i - presiunea amonte de pompă și p_e - presiunea aval de pompă înregistrate prin traductorii de presiune respectivi și Q_i - debitul volumic înaintea pompei și Q_e debitul volumic după pompă stabiliți cu traductorii electromagnetici de debit.

Valorile instantanee ale acestor mărimi pentru pompa DPO/MT cu rotorul 7 fără obstacol amonte, în regim cavitațional dinamic realizat cu dispozitivul de perturbație al vanei amonte sînt redate în fig.4.2.33... fig.4.2.36 și cu dispozitivul de perturbație al vanei aval în fig.4.2.37...fig.4.2.40. Din grafice rezultă deosebiri între cele două moduri de excitare a mașinii și se remarcă forma semnalului mai apropiată de o variație armonică la frecvențele mai ridicate decît la cele mai scăzute. Aceste înregistrări au fost utilizate la determinarea funcțiilor de transfer ale pompei. În cazul obstacolului amonte de pompă s-au înregistrat aceleași mărimi cu excepția vitezei amonte de pompă datorită suprapunerii în spațiu a sensului obstacolului triunghiular cu cea a plasării anemometrului cu laser. În fig.4.2.41...fig.4.2.44 sînt marcate spoturile pentru cazul perturbației amonte și în fig. 4.2.45...fig.4.2.48 se află înregistrările cu perturbația generată aval de pompă.

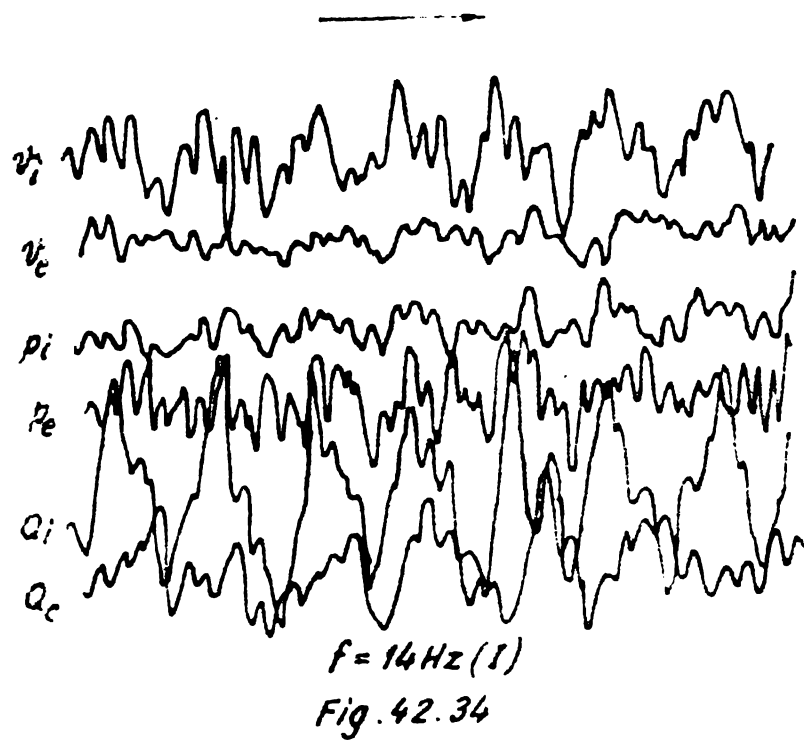
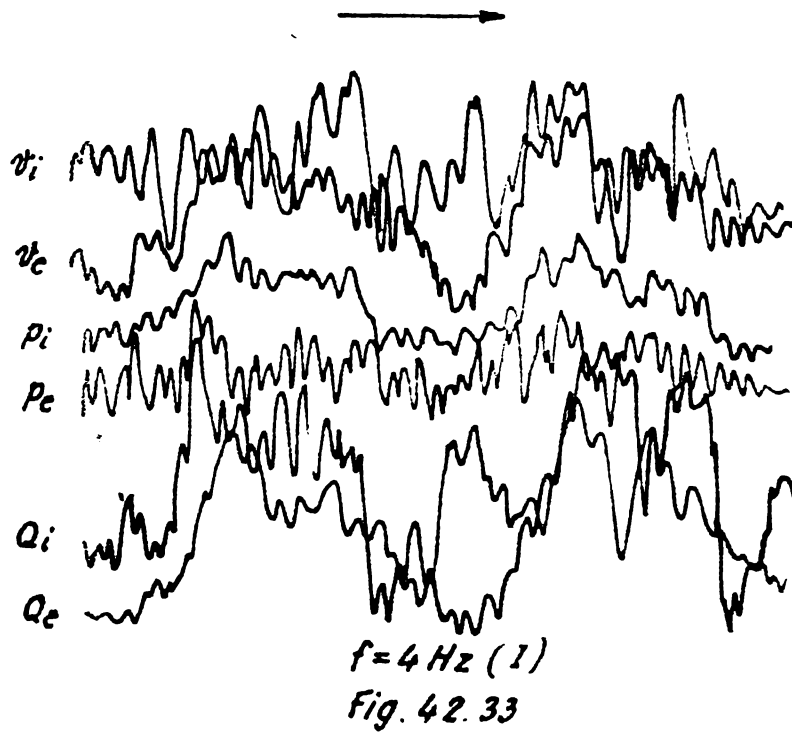
În toate aceste înregistrări deși variațiile diferiților parametri sînt periodice ele se îndepărtează substanțial de lege sinusoidală. Odată cu creșterea frecvențelor de fluctuație forma semnalului se apropie de variația armonică dorită.

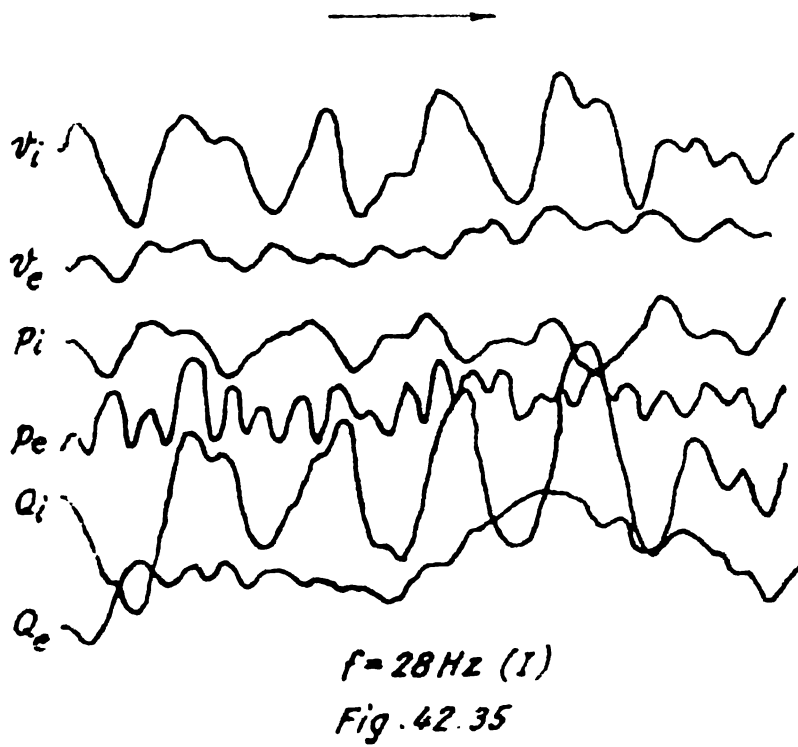
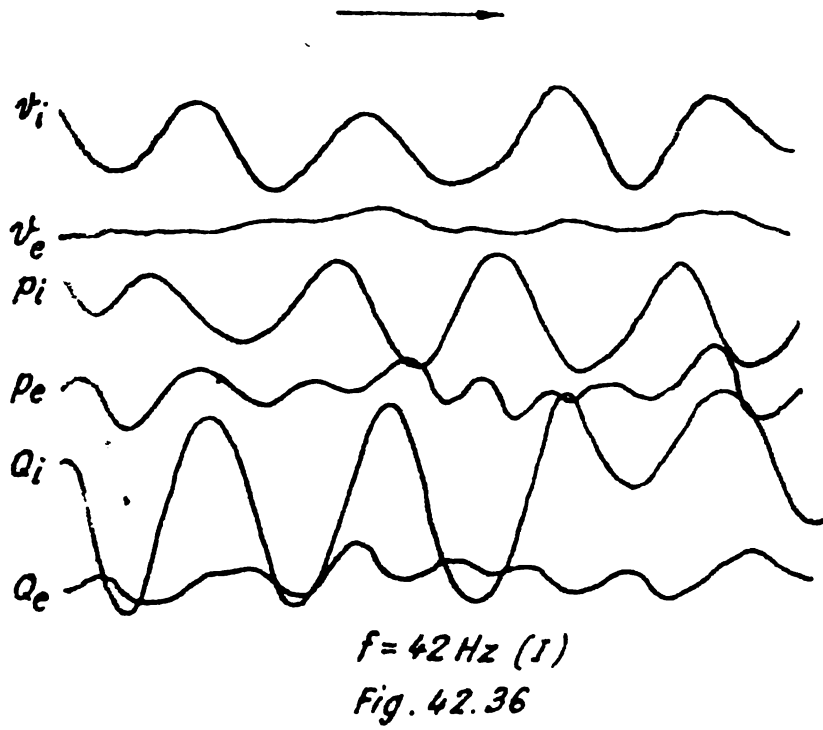
Locul frecvențelor pentru funcțiile de transfer de față în cap.2 sînt redate în fig. 4.2.49...fig.4.2.60.

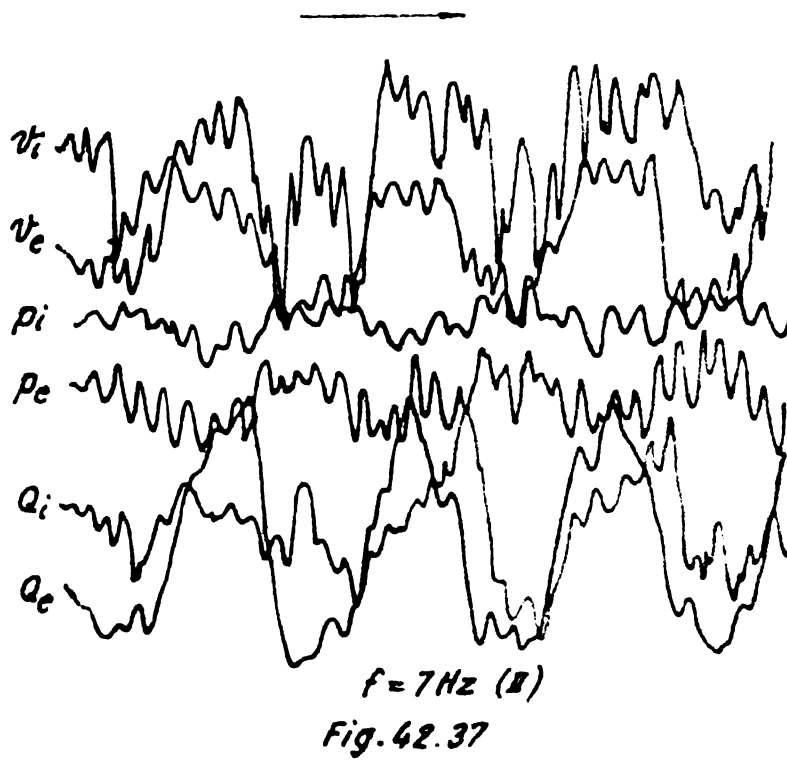
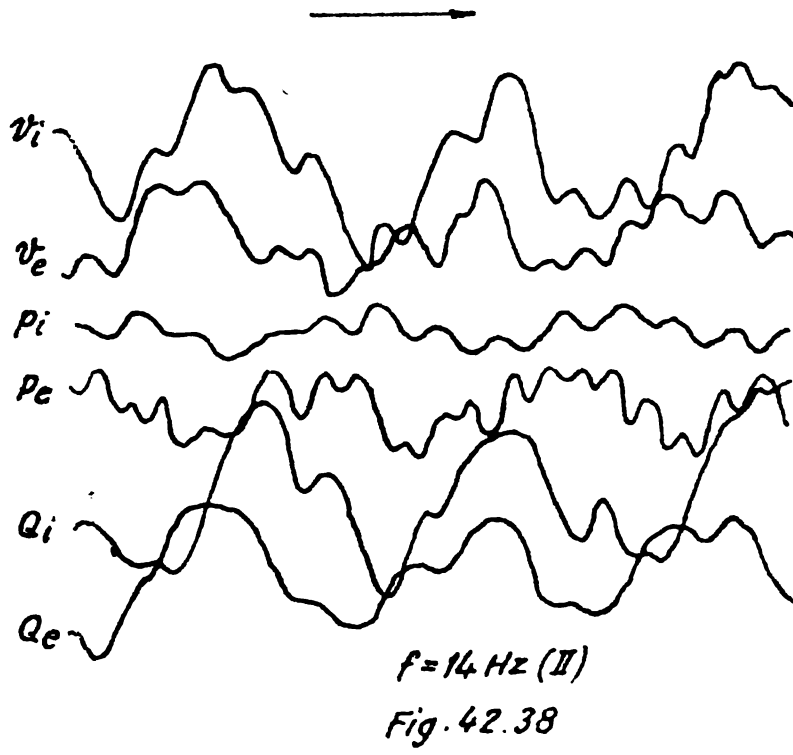
Graficele s-au reprezentat sub forma unor linii fine din cauza frecvențelor relativ puține (ca număr) înregistrate.

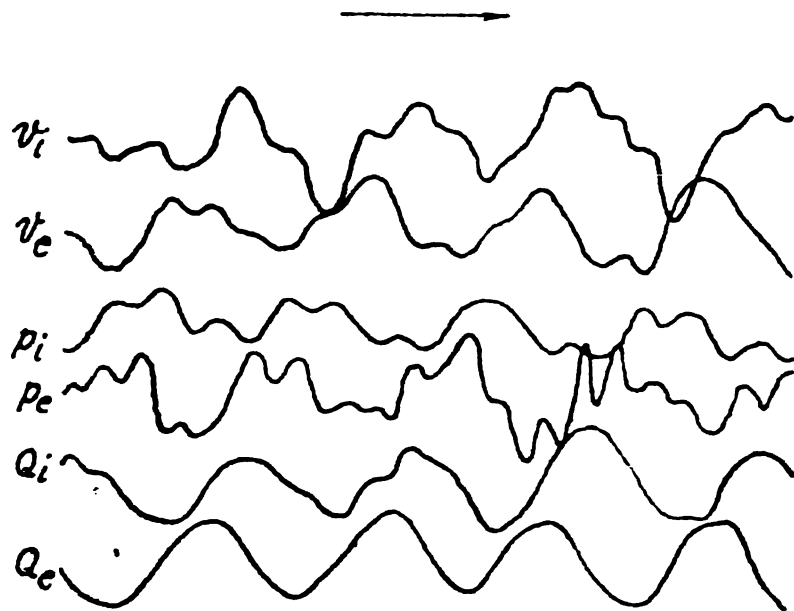
Locul frecvențelor pentru amplificarea de presiune W_{11} , impedanță WP_{12} , complezanță WP_{21} și amplificarea de debit W_{22} sînt redate în două regimuri deosebite cavitaționale fără obstacol amonte în fig.4.2.49...fig.4.2.52 și respectiv în fig.4.2.53...fig.4.2.56 și pentru cazul prezenței obstacolului amonte de pompă în fig.4.2.57...fig.4.2.60. Se observă diferențe apreciabile în evoluția locului frecvențelor pentru cele două regimuri cavitaționale și de asemenea deosebiri notabile între situațiile cu și fără obstacol amonte.

Se apreciază că în afara situațiilor deosebite analizate sursele acestor deosebiri pot apare și din cauza unor erori ^{de măsurare}. Se a insistat în mod deosebit pentru echiparea adecvată a stațiunii Caltech cu aparatură de măsură și înregistrare de precizie ridicată verificată.



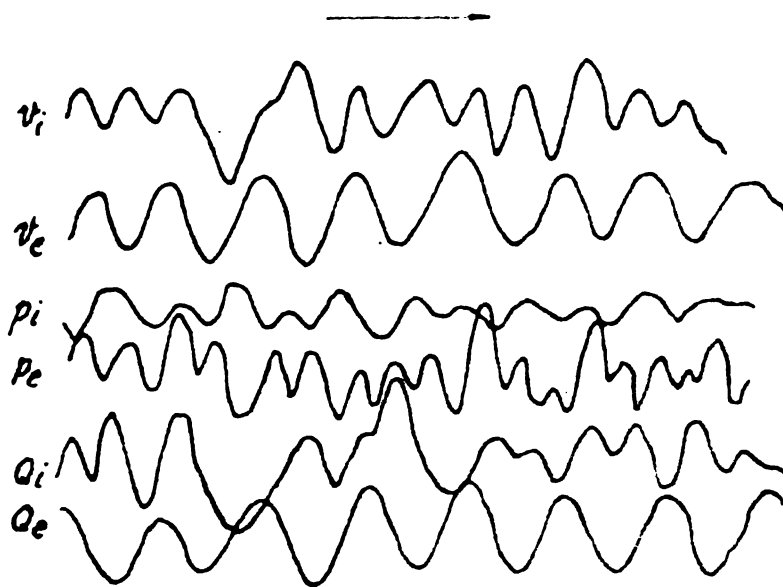






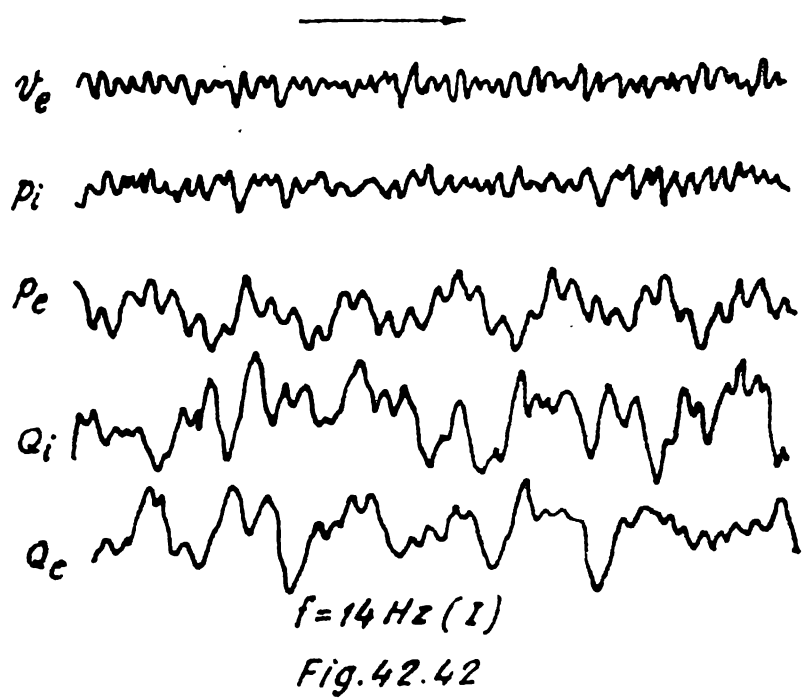
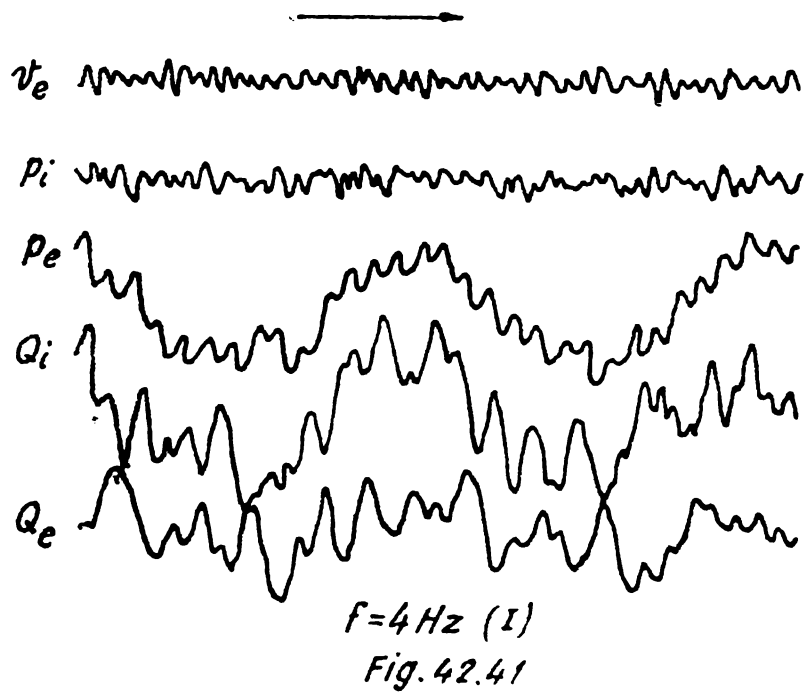
$f = 21 \text{ Hz (II)}$

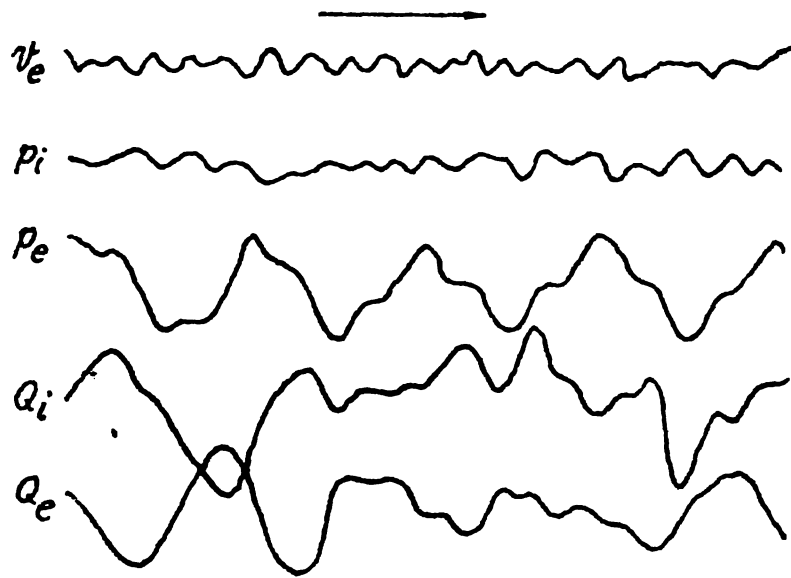
Fig. 42.39



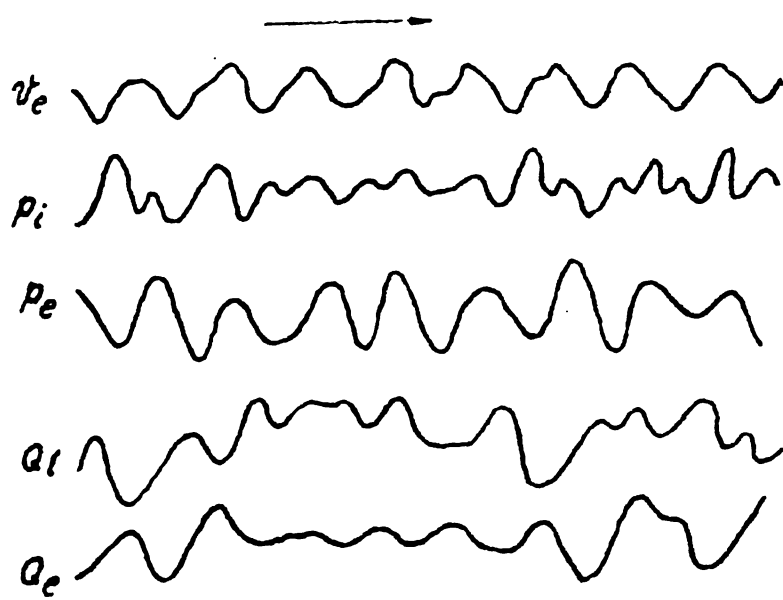
$f = 35 \text{ Hz (II)}$

Fig. 42.40

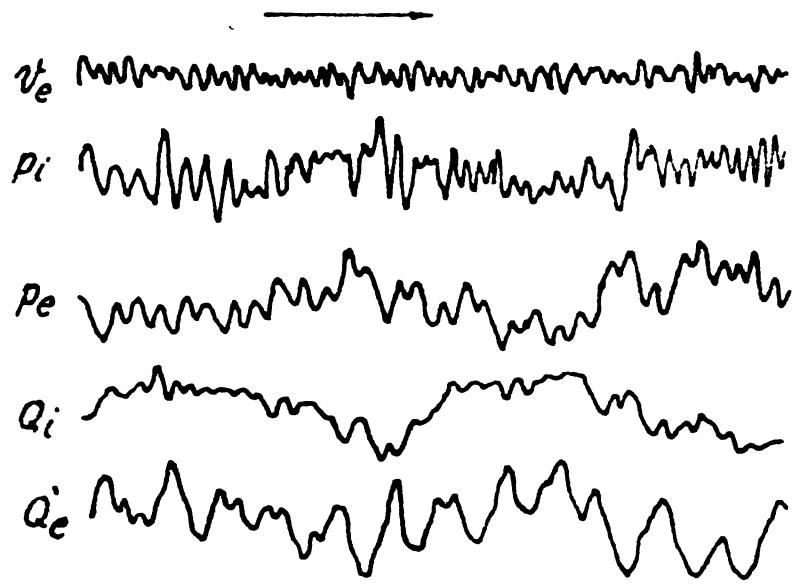




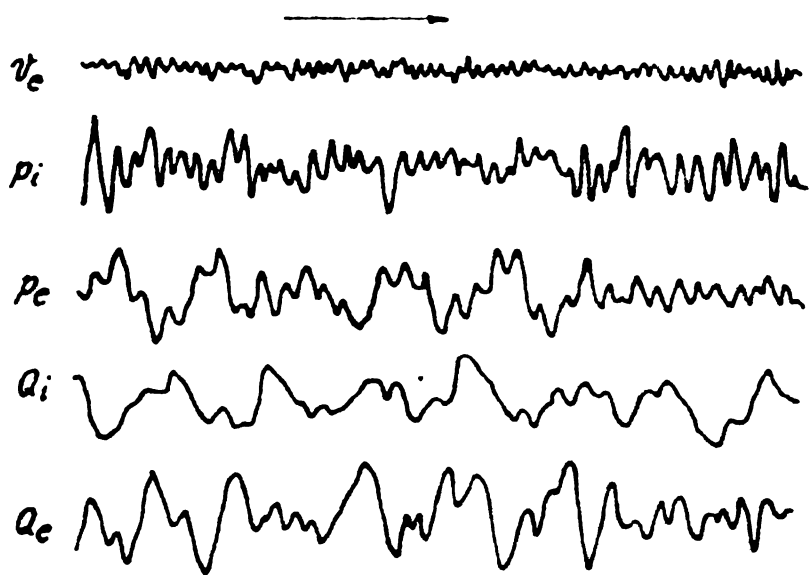
$f = 21 \text{ Hz } \downarrow$
Fig. 42.43



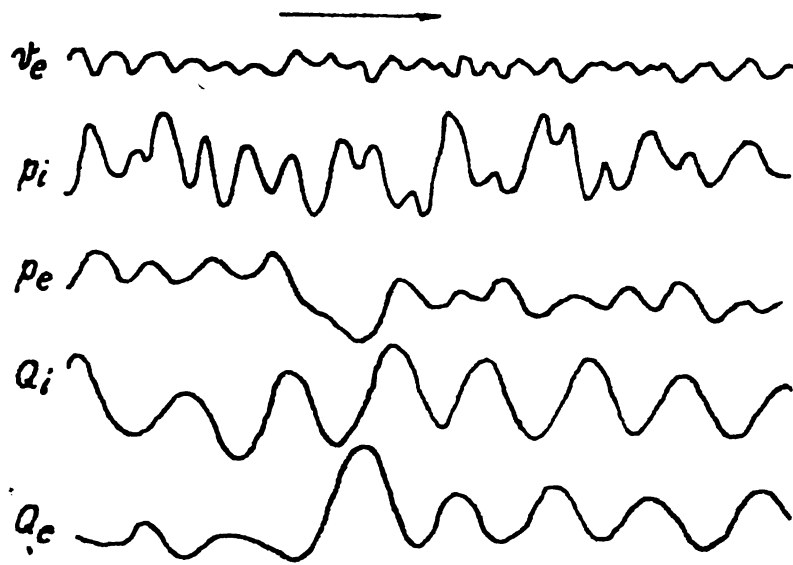
$f = 42 \text{ Hz } \downarrow$
Fig. 42.44



$f = 4 \text{ Hz (II)}$
Fig. 42.45

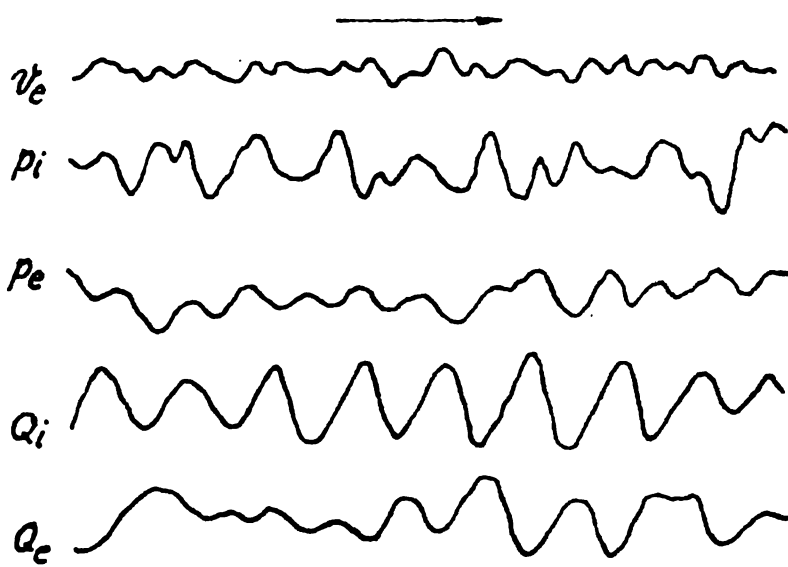


$f = 14 \text{ Hz (II)}$
Fig. 42.46



$f = 35 \text{ Hz (II)}$

Fig. 42.47



$f = 42 \text{ Hz (II)}$

Fig. 42.48

tă static și dinamic se pare că semnalele generate conțin o cantitate apreciabilă de zgomot de natură hidrodinamică din cauza regimului turbulent de funcționare și din cauza a o serie de perturbații introduse de însăși configurația geometrică a circuitului hidraulic. Ambele aceste surse de erori sînt intrinseci fenomenelor analizate și de o parte, iar capacitatea analizorului de a extrage forma semnalului util dintr-un semnal poluat cu zgomot este limitată pe de altă parte.

Matricea de transfer a pompei după cum s-a arătat în alte lucrări /121/ este sensibilă la diferite perturbații externe greu de controlat și se admit erori de ansamblu asupra rezultatelor în regim dinamic pînă la 10 %. Alte cercetări /39/ au demonstrat avantajele utilizării debitmetrelor electromagnetice față de anemometrele cu laser în studiul dinamicii turbopompelor. Repetabilitatea și confidența rezultatelor este mai bună la locurile de frecvență obținute cu debitmetrele electromagnetice în ciuda unor calități din punct de vedere mai slabe față de anemometrele cu laser. Aici o pondere ridicată o are și caracterul local respectiv global al celor două instrumente și sensibilitatea la agenții externi în funcționarea celor două aparate.

Matricea de transfer a pompei BFO/EP-7 în regimul de funcționare prezintă efecte dinamice importante la funcționarea în condiționare, deosebite cantitativ și calitativ de cele deductibile din caracteristicile statice ale mașinii. Astfel comparînd fig.4.2.48 cu fig. 4.2.49 și fig.4.2.53 respectiv fig.4.2.4 cu fig.4.2.57 se observă că tangentele duse la curbele caracteristice statice au o valoare mult mai mică decît părțile reale ale locului frecvențelor pentru aceeași pompă și că defazajul măsurabil între presiunea amonte și înălțimea de pompare din locul frecvențelor nu este deductibil din funcții statice.

Impedanța pompei are în general partea reală negativă în concordanță calitativă cu caracteristica căzătoare a pompei și are o parte imaginară ce exprimă inertanța mașinii.

Se observă că punctul din cadranul întîi obținut în fig.4.2.58 la o frecvență de fluctuație $f = 14$ Hz ar putea fi datorat unei auto-oscilații. Rezultatul interesant obținut este umbrat de o oscilație ciudată în jurul frecvenței de 14 Hz a o serie din locurile de frecvență reprezentate care se pot datora unor rezonanțe din punct de vedere al circuitului hidraulic al stațiunii Caltech. Complexanța și amplitudinea de masă au valori apreciabile după cum rezultă din locul frecvențelor. Modelele avansate în cap.2 oferă rezultate cantitative în ceea ce privește mai mici pentru aceste funcții de transfer decît cele măsurate și simen-

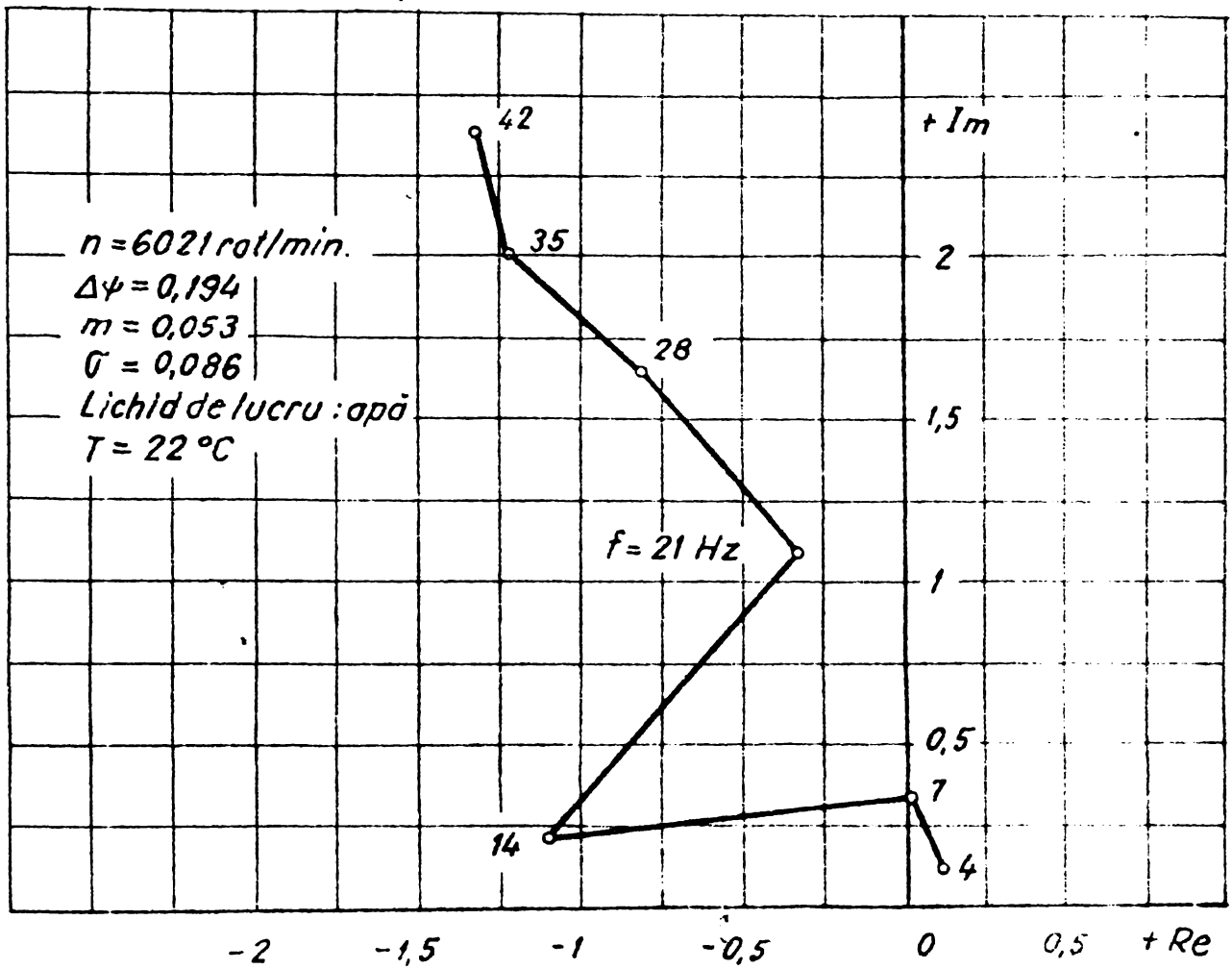


Fig. 42.49 Locul frecvențelor WP_{11} al pompei LP₀/FT-7

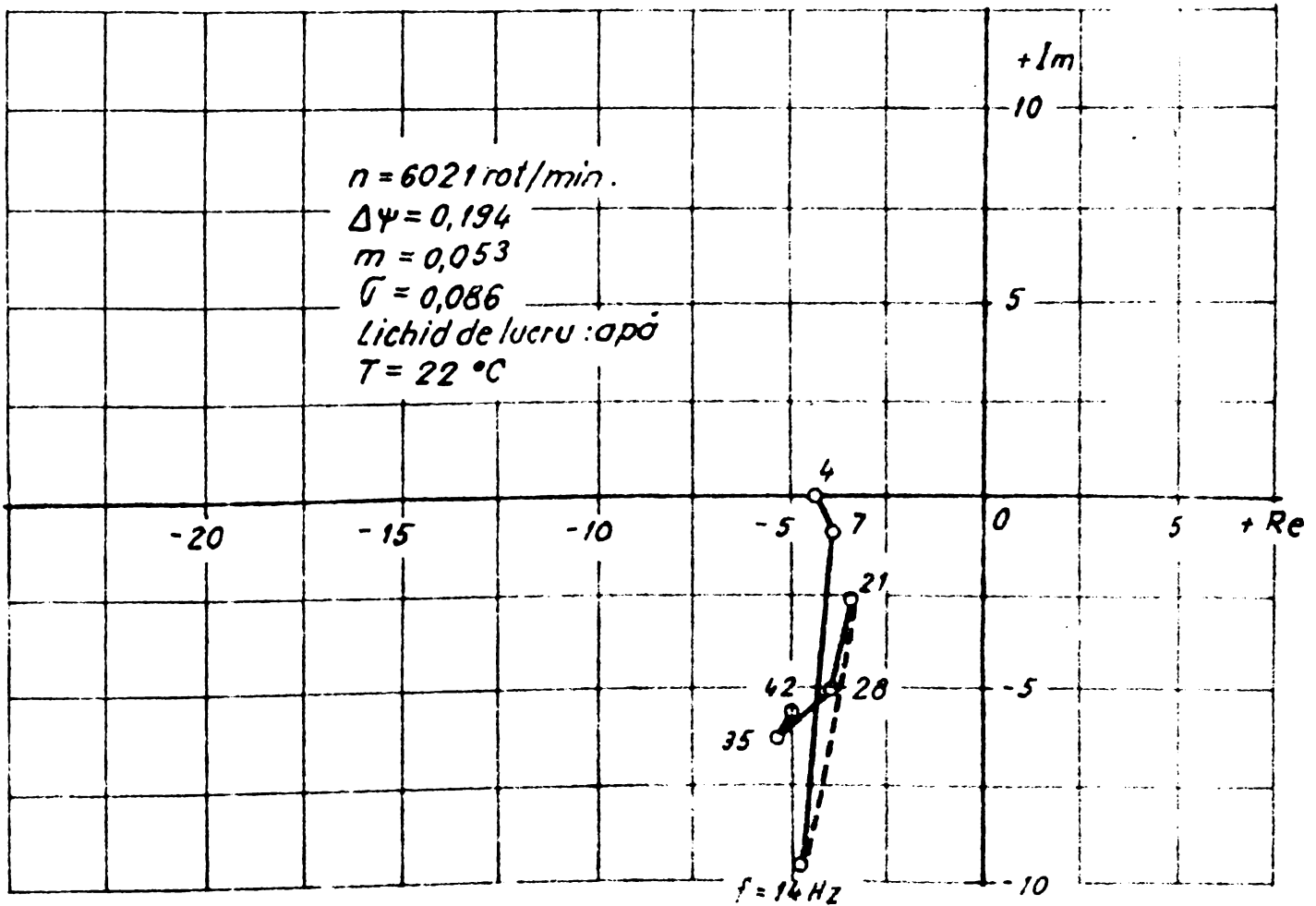


Fig. 42.50 Locul frecvențelor WP_{10} al pompei LP₀/FT-7

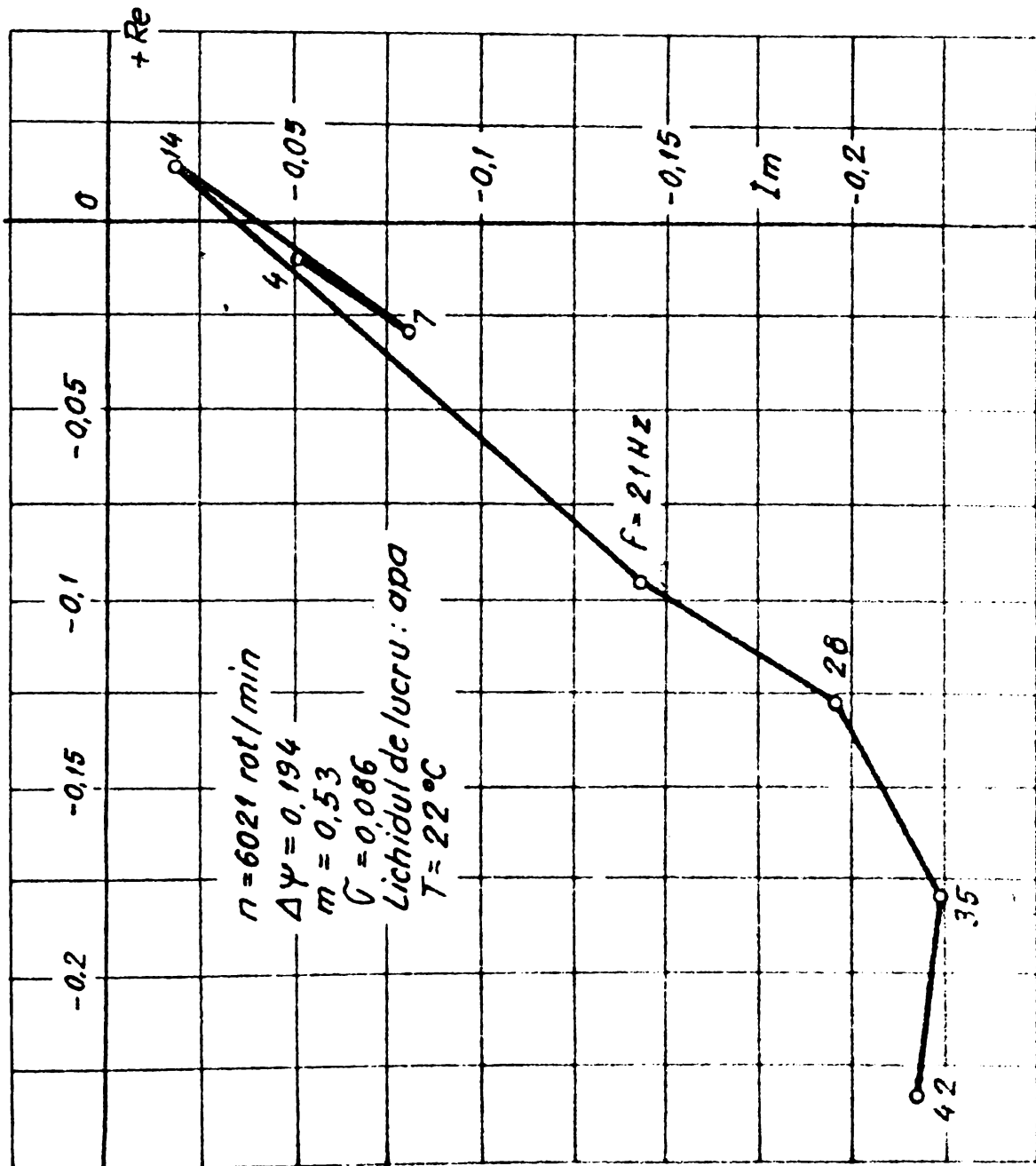


Fig. 42.51 Locul frecvențelor WP 21 al pompei LP.7 / FT.7

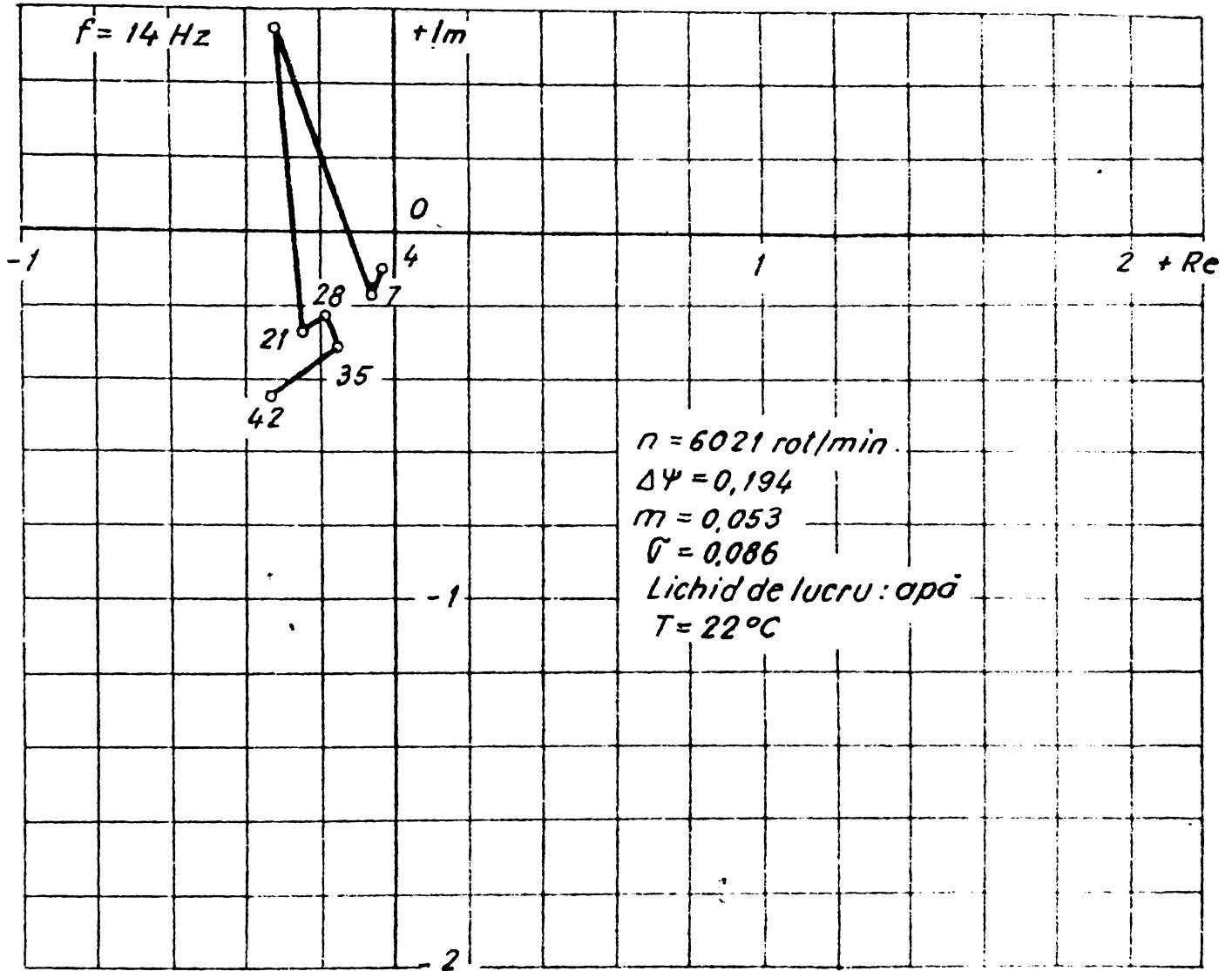
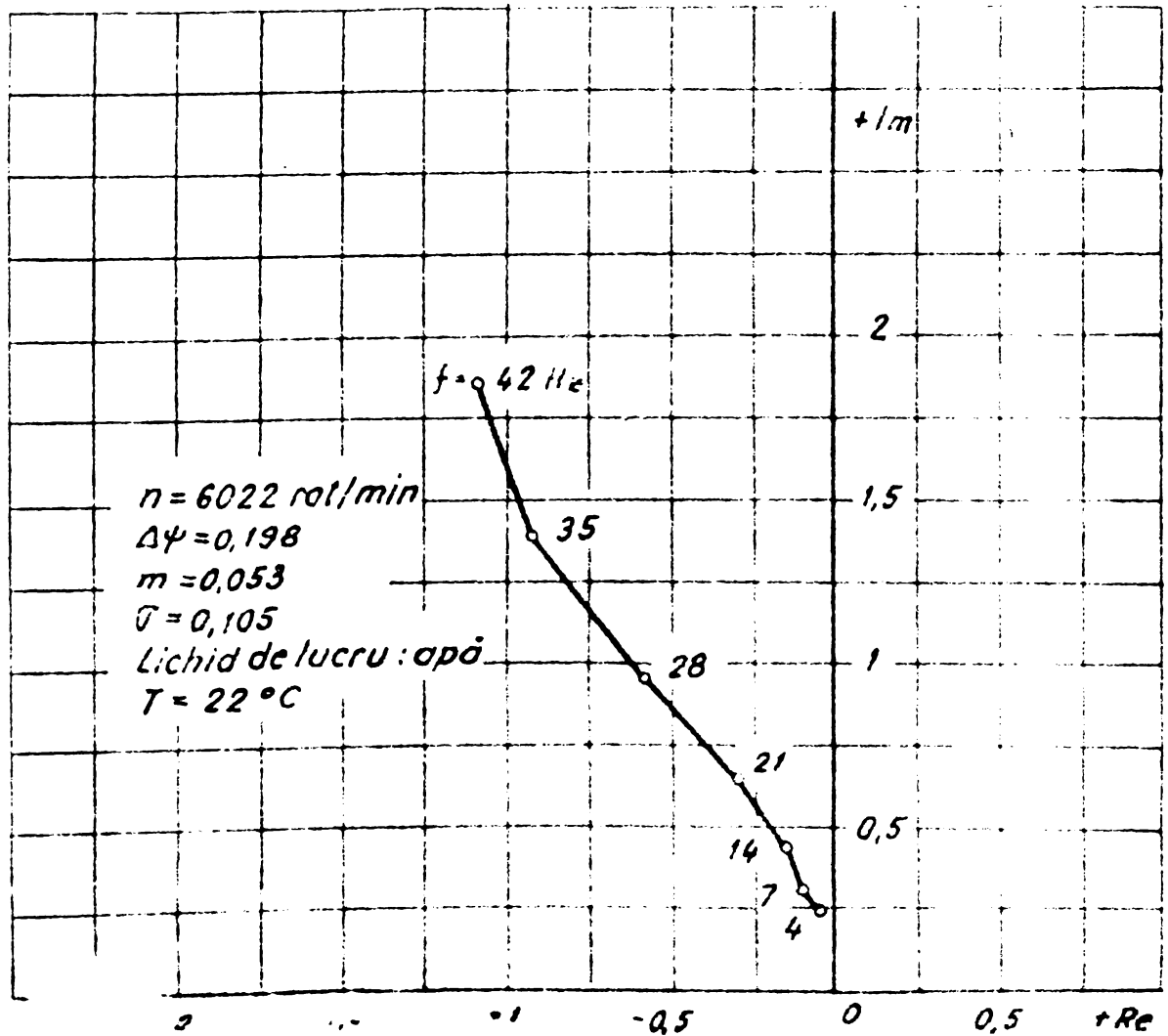


Fig. 4.52 Locul frecvențelor WP_{22} al pompei LP₀/FT-7



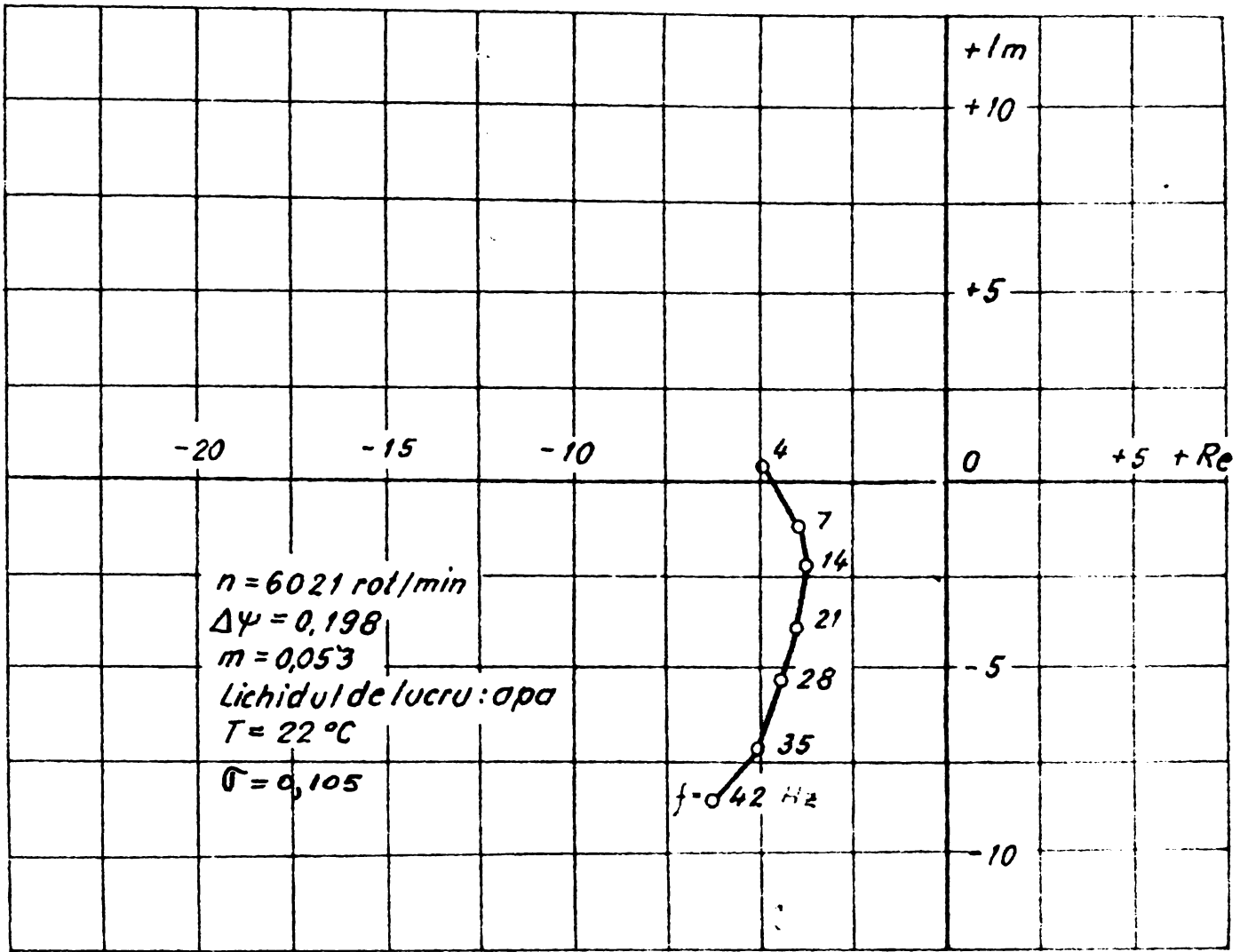


Fig. 42.54 Locul frecvențelor WP_{12} al pompei LP₀/FT-7

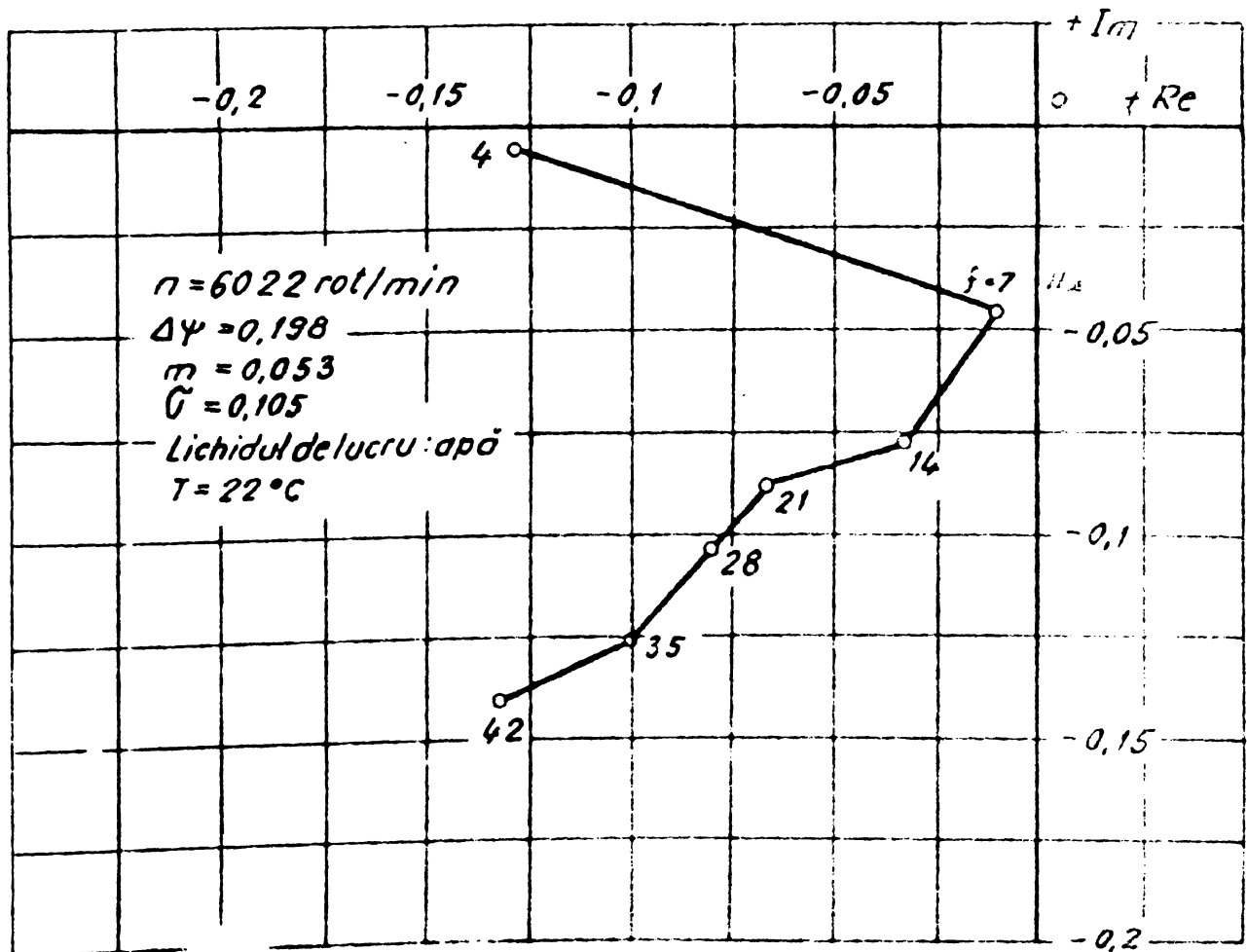


Fig. 42.55 Locul frecvențelor WP_{21} al pompei LP₀/FT-7

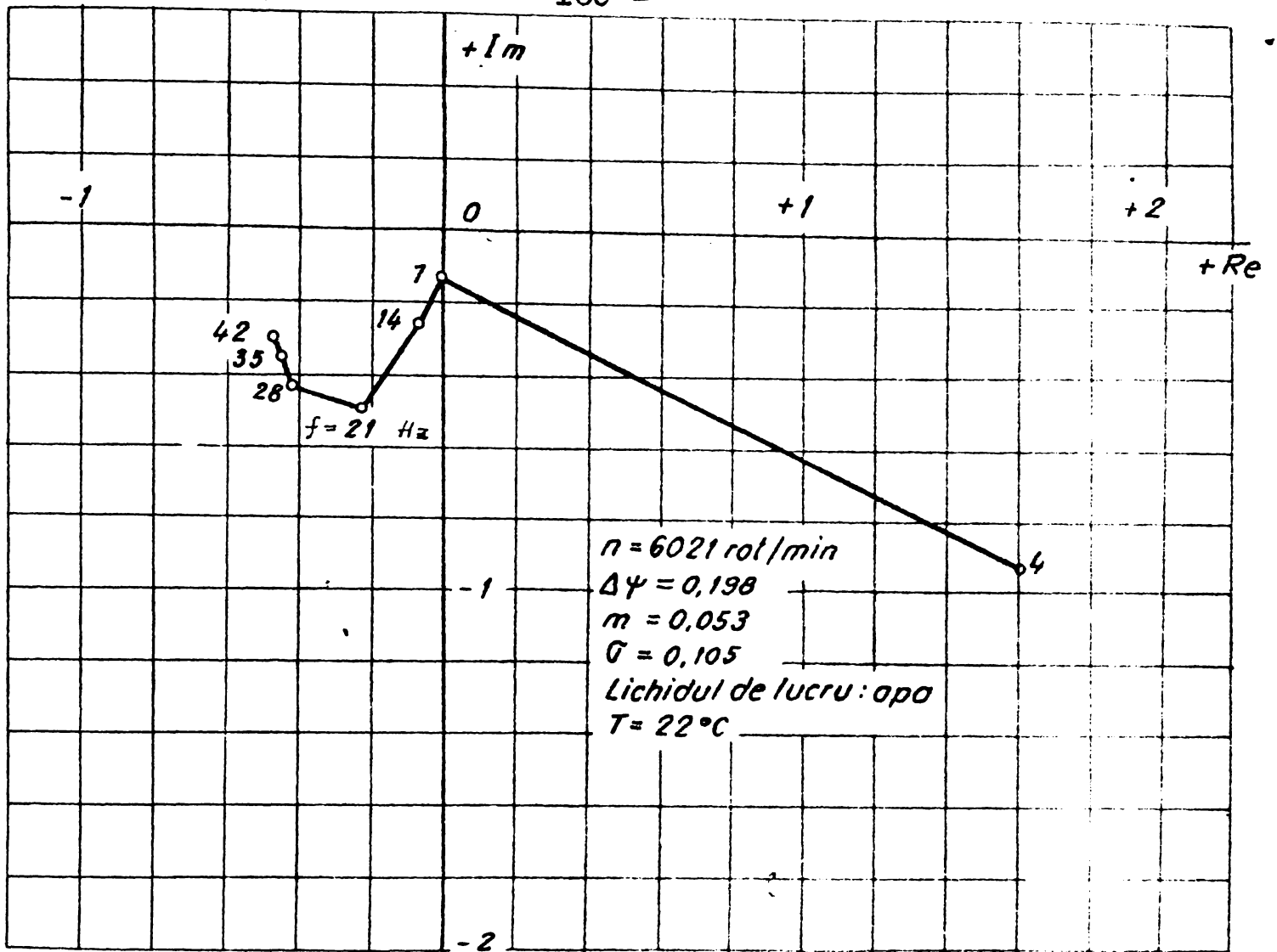


Fig. 42.56 Locul frecvențelor WP_{22} al pompei LP₀/FT-7

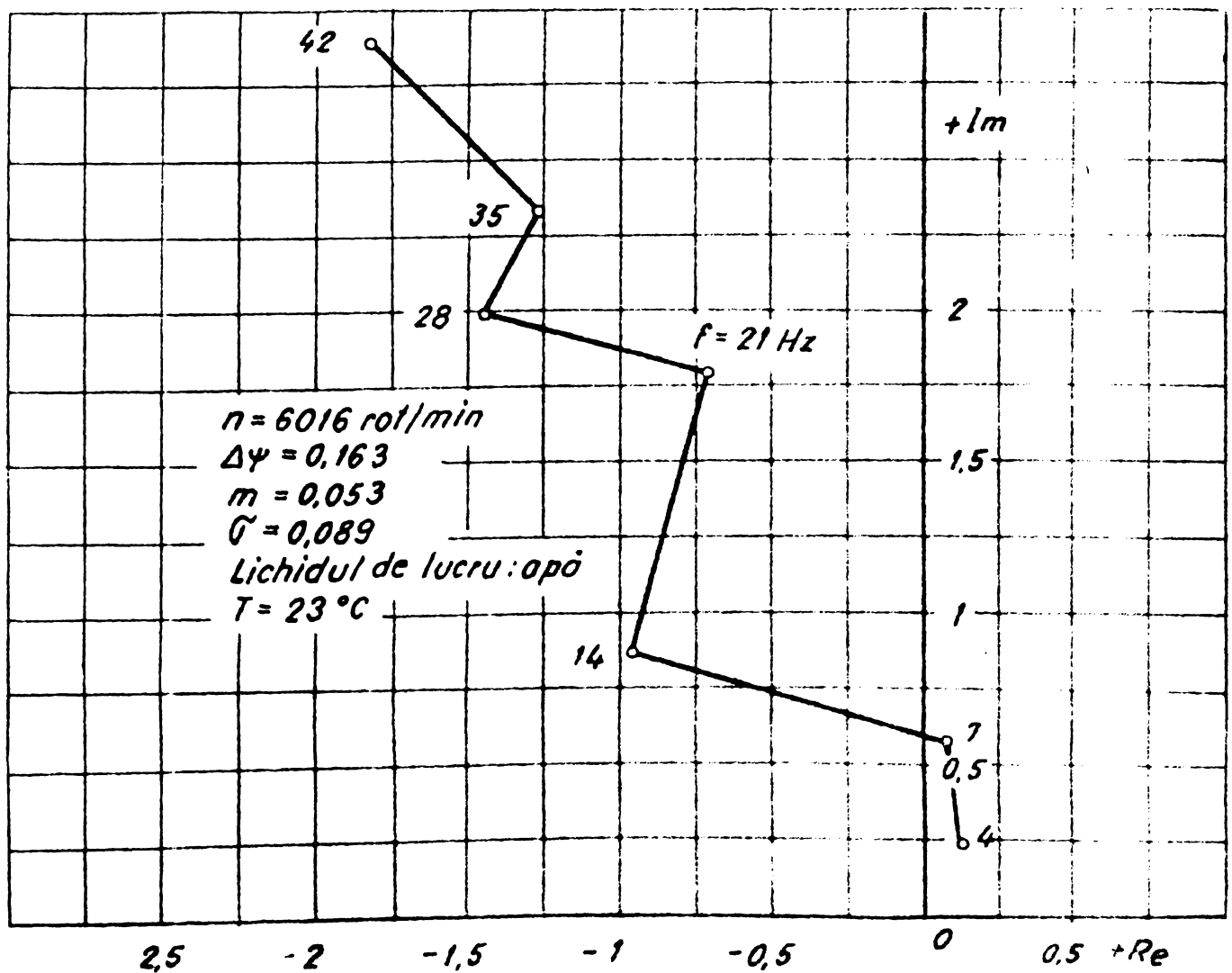


Fig. 42.5 Locul frecvențelor WP_{21} al pompei LP₀/FT-7

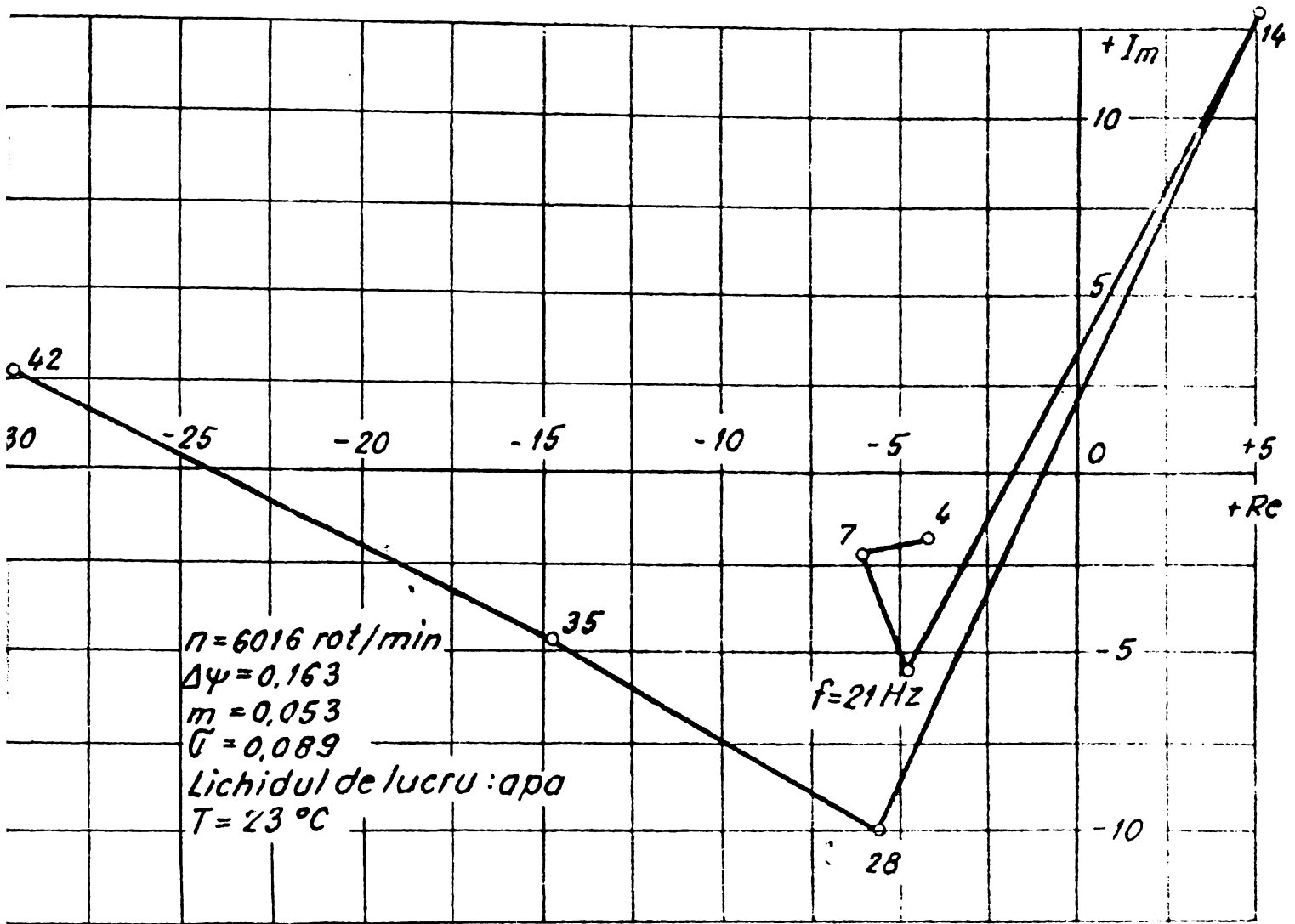


Fig. 42.58 Locul frecvențelor WP_{12} al pompei $LP_0/FT-7$

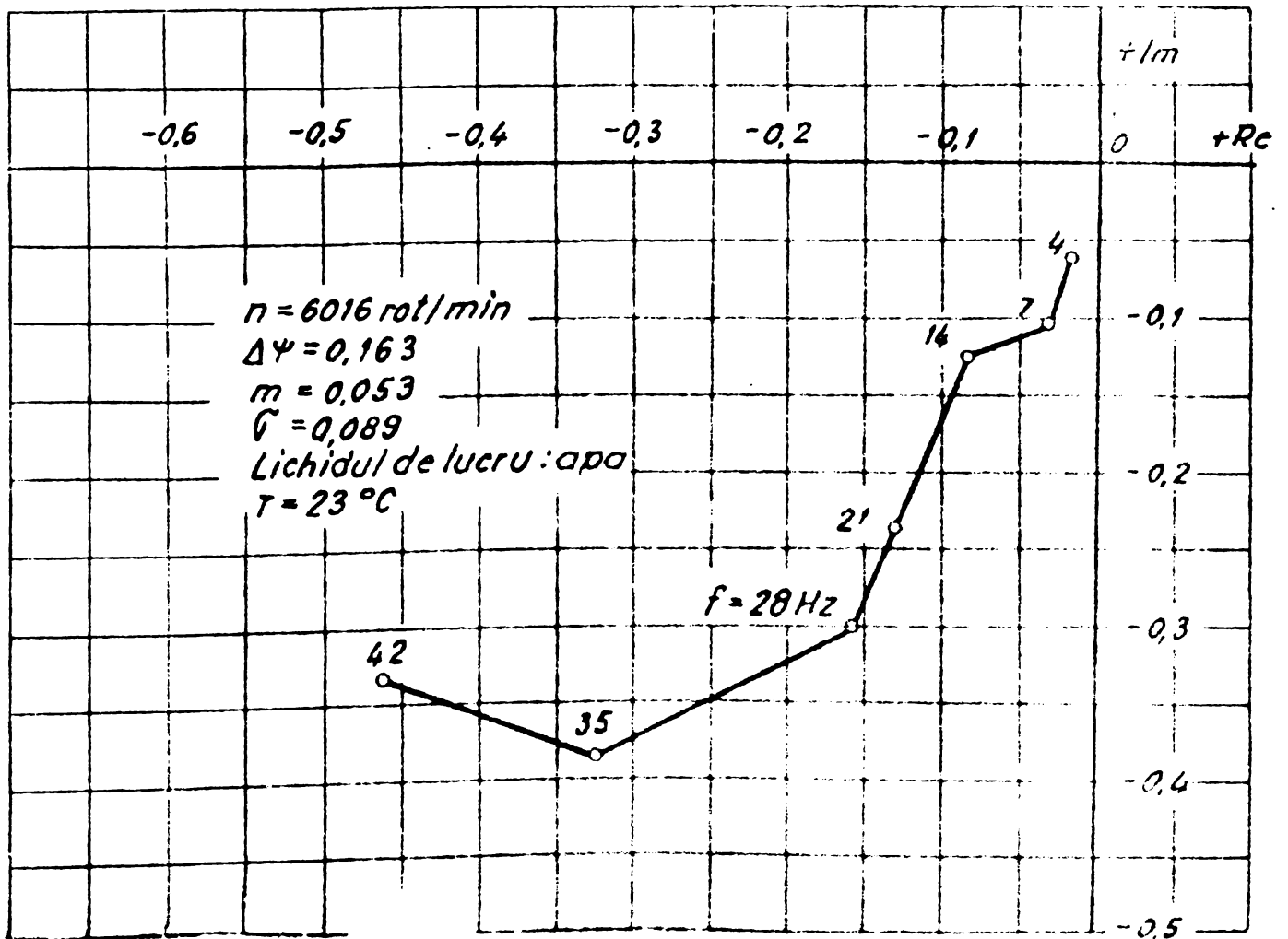


Fig. 42.59 Locul frecvențelor WP_{12} al pompei

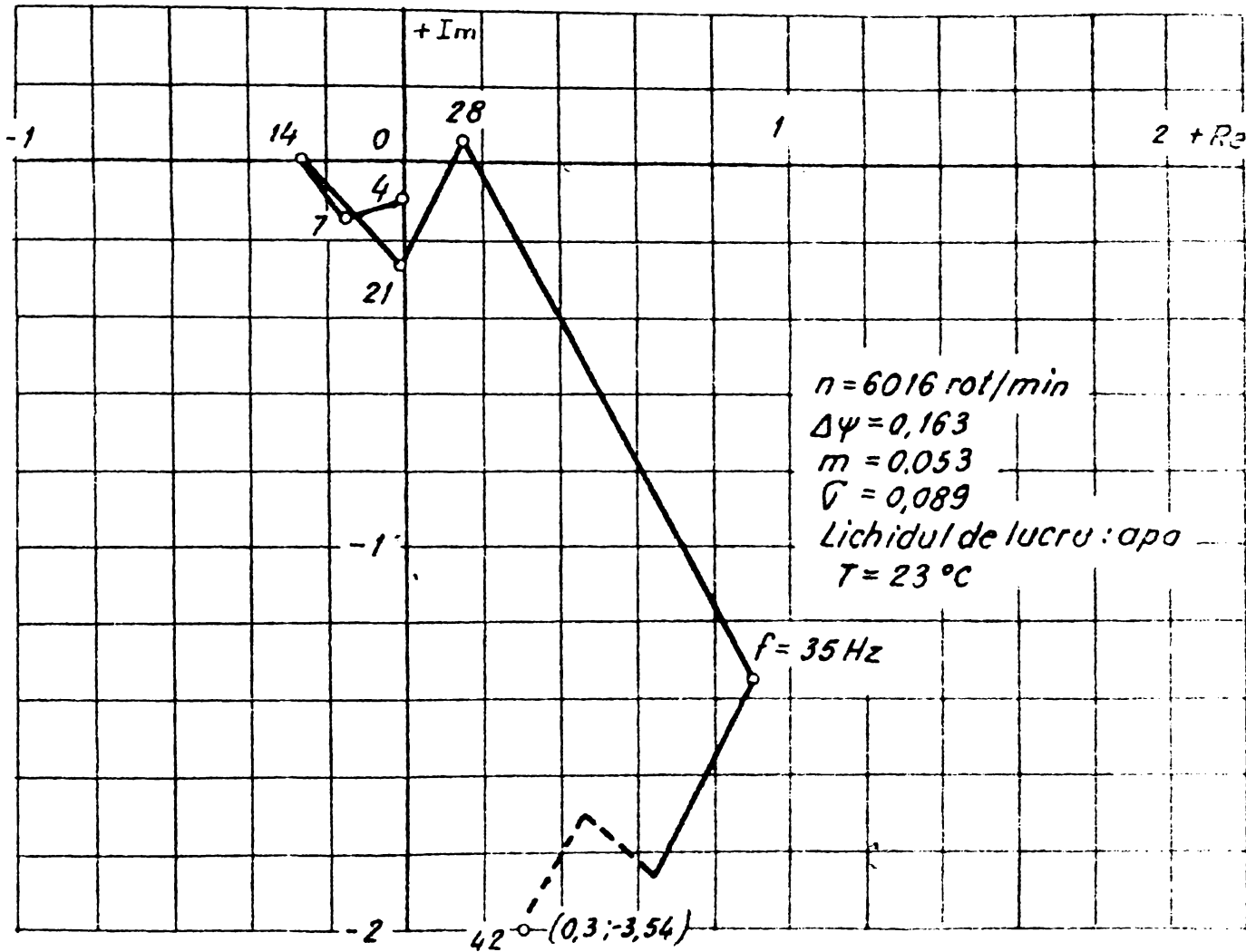


Fig. 42.60 Locul frecvențelor WP22 al pompei LP0/FT-7

tal. Discrepanța apare din cauza simplității modelelor folosite. Situația reală în care interferează diferite tipuri de cavități este interesant de remarcat că observația vizuală a regimurilor ca. staționale dinamice a arătat o ușoară diminuare a efectelor optime ale cavității în regimuri nestaționare față de cele staționare corespunzătoare. Această contradicție argumentează în plus pentru necesitatea unor măsurători dinamice de mare acuratețe pentru pompele hidrodinamice. S-ar putea ca o serie de rezultate să fie afectate de fenomene neliniare generate de dispozitivele de perturbație.

Diferența esențială care s-a manifestat dinamic prin plusarea obstacolului amonte de pompă constă în faptul că impedanța din partea reală (rezistența cu semn schimbat) aproximativ constantă în obstacol și puternic variabilă în prezența sa. Aceasta dovedește că influența unui curent hidrodinamic perturbat la intrarea în pompă este mult amplificată în regimuri dinamice față de cele statice.

5. EXTINDERI ALE PROBLEMEI DE IDENTIFICARE A POMPEI
(UNELE ASPECTE LEGATE DE IDENTIFICAREA STATISTICĂ ȘI DE STABILITATEA CAVITATIONALĂ A POMPEI)

5.1 Analiza statistică folosită pentru stabilirea funcțiilor de transfer ale unei pompe

Cercetarea statistică a dinamicii curentului de lichid din pompe centrifuge și legătura sa cu mărimile stereomecanice caracteristice ale mașinii se pretează unei analize corelaționale din cauza utilizării turbopompelor ca element de reglare în sisteme automate, acționări hidraulice, turbotransmisi, instalații mici etc. Se semnalează că în sisteme complexe apar deseori efecte nedorite precum vibrații, suprasarcini hidraulice etc., din cauza necoordonanței caracteristicilor dinamice ale pompelor, urmate uneori de sub-oscilații și pierderea stabilității în funcționare [75].

Uneori acordarea unor semnale de probă determină se aranjează procesul. Atunci se impune pentru identificare utilizarea unor generatoare de semnale aleatoare (metoda activă) sau se folosesc fluctuațiile mărimilor caracteristice din funcționarea normală a pompei (metoda pasivă). Aceste metode permit stabilirea funcțiilor dinamice ale turbopompelor. Analiza se poate efectua în domeniul timpului prin funcțiile de corelație sau în domeniul frecvențelor prin funcțiile de densitate spectrală. Pompa hidraulică se prezintă ca un element cu legături multiple și se pot adăuga conform rel. (2.3.1.1) drept intrări: presiunea statică la intrare p_1 , debitul la intrare ψ_1 sau presiunea statică la intrare p_1 , debitul la intrare adimensional la aspirație m_1 sau debitul volumic la aspirație și variația relativă a turajiei ψ sau turajul. Ieșirea pompei este: ieșiri: înălțimea de pompare adimensională $\Delta \psi$, sau cota de presiunii statice Δp , variația debitului la ieșire adimensional la mașină Δm sau creșterea debitului volumic $\Delta \psi$ și momentul mecanic adimensional μ_r .

Din teoria generală referită în [75], [76], [77], [78], [79], [68], [60] se pot deduce prin particularizare pentru pompa hidraulică următoarele relații de formă:

$$K_{\Delta \psi, p_1}(\tau) = \int_{-\infty}^{+\infty} y_{\Delta \psi, p_1}(\omega) e^{j\omega \tau} d\omega \quad (2.1)$$

$$K_{\Delta p, n}(\tau) = \int_{-\infty}^{+\infty} y_{\Delta p, n}(\omega) e^{j\omega \tau} d\omega \quad (2.2)$$

Pentru mărimile de intrare și ieșire se pot utiliza și relațiile de formă (2.1), (2.2) în care τ este timpul și ω este frecvența în rad/s.

și relații între mărimile de ieșire numai sau de intrare numai precum :

$$K_{Q_e, P_e}(\tau) = \int_{-\infty}^{+\infty} y_{Q_e, P_e}(t) K_{P_e, P_e}(\tau - t) dt \quad (5.1.3)$$

În aceste relații, în general $K_{x_1, x_2}(\tau)$ sînt funcții de intercorelație, iar $K_{x_1, x_1}(\tau)$ sînt funcții de autocorelație și $y_{x_1, x_2}(t)$ este funcția pondere (răspuns tranzitoriu la un impuls impuls a canalului analizat).

Aplicînd expresiilor (5.1.1)...(5.1.3) transformata Fourier se obțin :

$$S_{\Delta Q, P_1}(i\omega) = W P_{21}(i\omega) S_{P_1, P_1}(\omega) \quad (5.1.4)$$

$$S_{\Delta p, n}(i\omega) = W P_{13}(i\omega) S_{n, n}(\omega) \quad (5.1.5)$$

$$S_{Q_e, P_e}(i\omega) = W P_{Q_e, P_e}(i\omega) S_{P_e, P_e}(\omega) \quad (5.1.6)$$

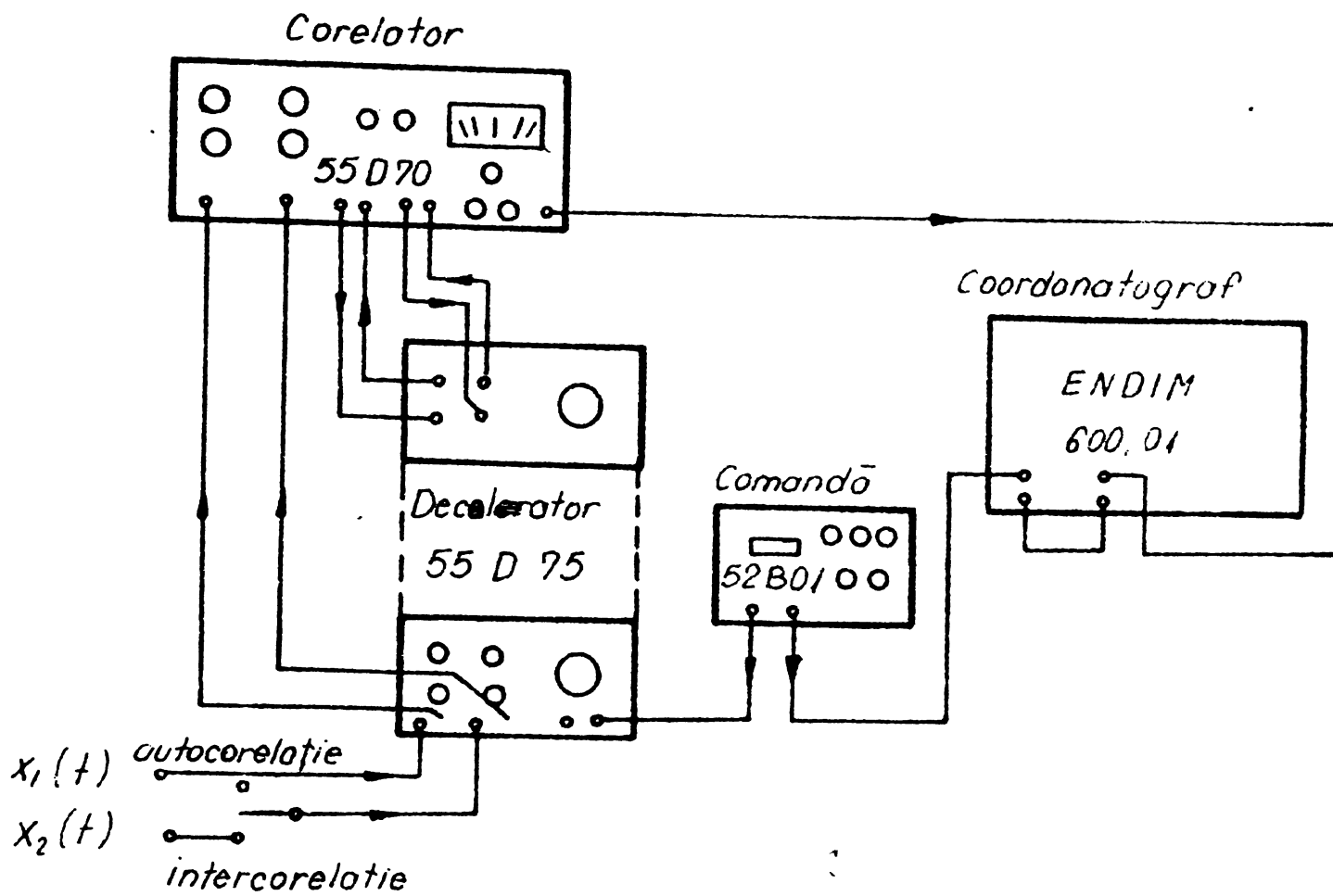
unde S_{x_1, x_2} reprezintă funcțiile de densitate ^{auto} de spectru, iar K_{x_1, x_2} sînt funcțiile de densitate intercorelație și W - funcția de transfer (sau frecvență).

Dacă se cunosc corelogramele detaliate caracterizate de K_{x_1, x_2} ex. cele care intervin în rel. (5.1.1)...(5.1.3) se pot găsi funcțiile de pondere respective prin rezolvarea ecuațiilor integrale (5.1.1)...(5.1.3). Astfel funcția de transfer nu prezenta ne poate determina direct dacă se dispune de funcțiile de densitate spectrale corelație conform rel. (5.1.4)...(5.1.6). Relațiile între funcțiile de corelație și cele de densitate spectrale pot fi determinate conform rel. (5.1.7) și (5.1.8) se prezintă astfel :

$$S_{x_1, x_1}(\omega) = 2 \int_{-\infty}^{+\infty} K_{x_1, x_1}(\tau) e^{-i\omega\tau} d\tau \quad (5.1.7)$$

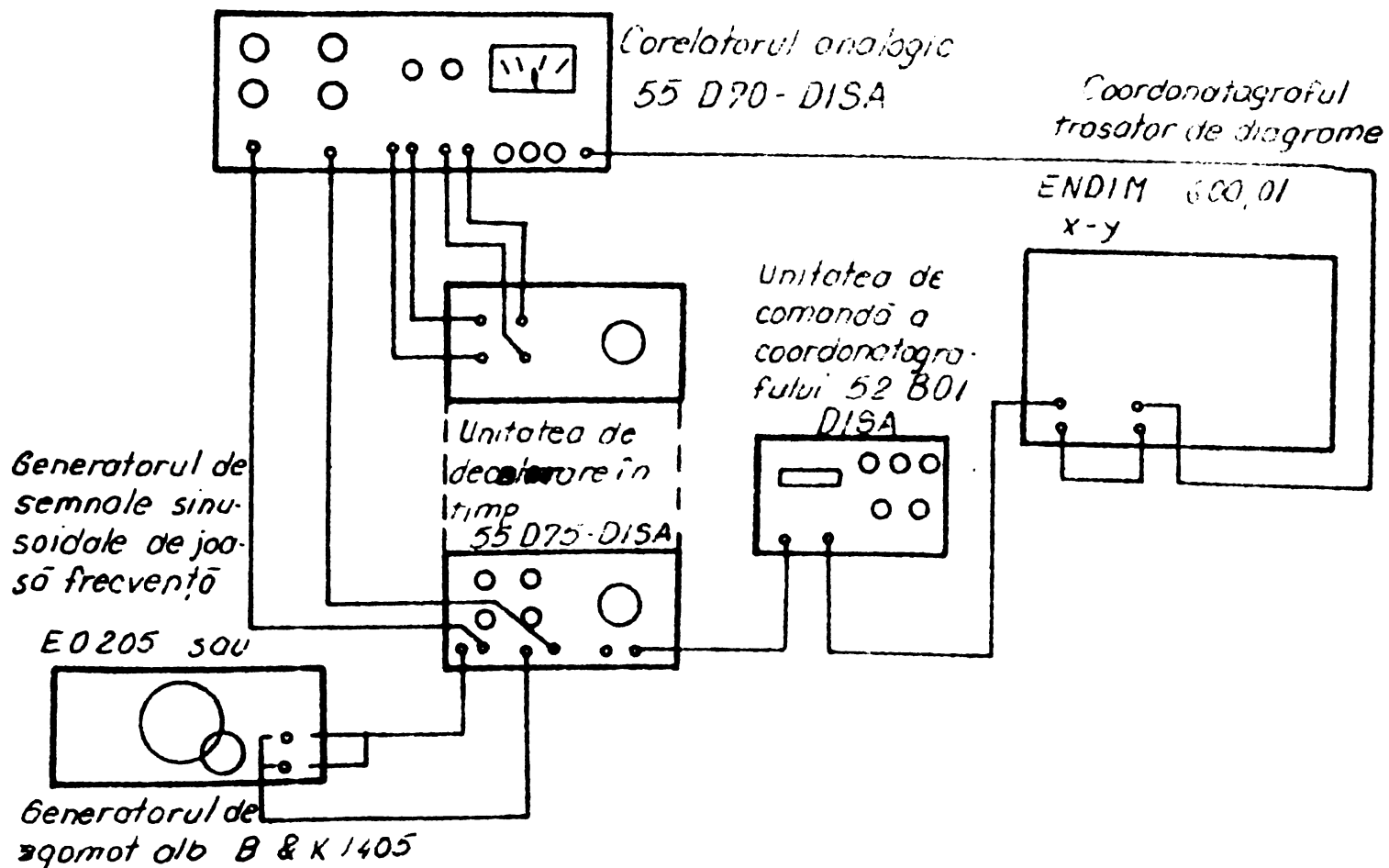
$$S_{x_1, x_2}(\omega) = 2 \int_{-\infty}^{+\infty} K_{x_1, x_2}(\tau) e^{-i\omega\tau} d\tau \quad (5.1.8)$$

La stațiunea DISA cap.3.2 - s-a utilizat ca etalon un impuls generat prin corelație DISA conform schemei bloc din fig. 5.1.1. Pentru a se proceda la etalonarea corelatorului s-a utilizat un impuls de tipul zgomotului alb generat în stațiunea DISA. Caracteristicile de măsurare se poate observa în fig. 5.1.2. În figura 5.1.2 se poate observa înălțimea de pompare în regiunea de aspirație și diferența de presiune vibrațională nu au tratat din cauza defectelor electronice a corelatorului.



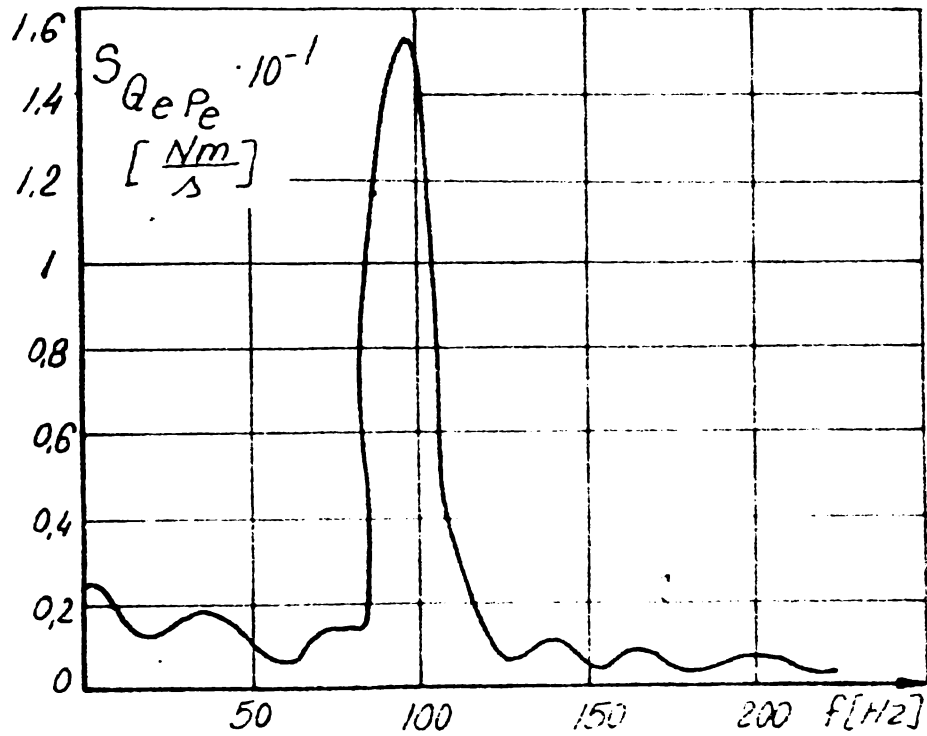
Complexul de aparate ce permite analiza prin corelație a două semnale

Fig. 51.1



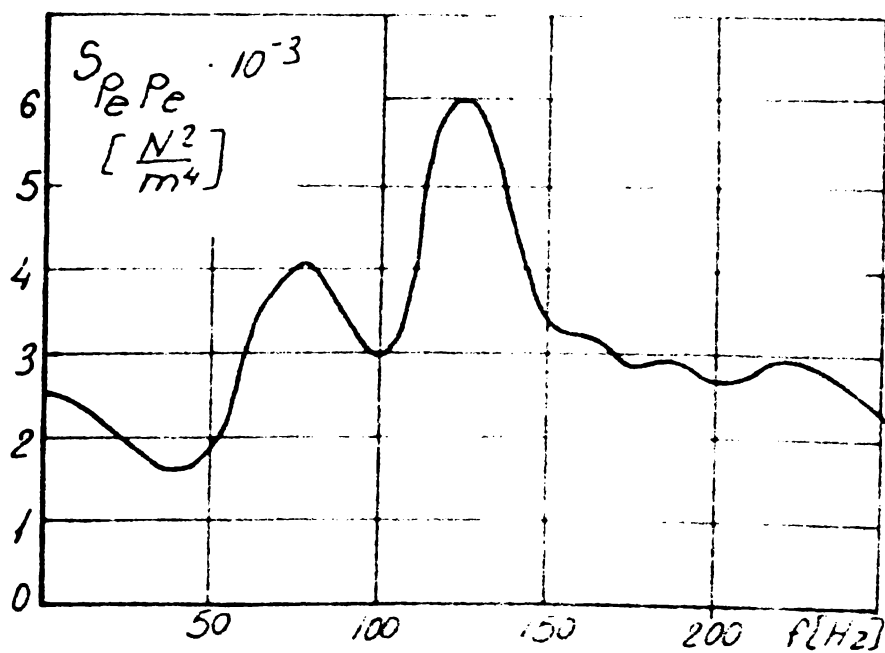
Schema aparatelor pentru etalonarea corelatorului

Rezultatele din literatură găsite /82/ se referă la mărimi-
le implicate în rel. (5.1.3) și (5.1.4). Pe baza funcționării unei
pompe centrifuge în regim energetic se pot determina corolarele și
densități spectrale referitor la presiunea și debitul de la ieșirea
re fig.5.1.3 și fig. 5.1.4.



Densitatea ^{infer} spectrală a debitului de la ieșirea
din pompă în funcție de presiunea de la ieșirea
din pompă

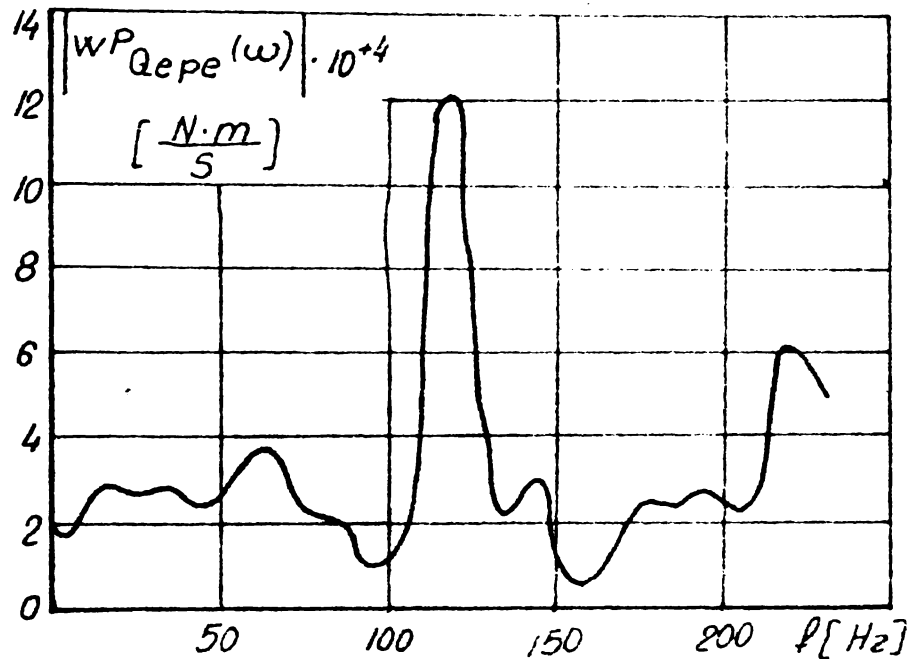
Fig 5/3



Densitatea ~~infer~~ spectrală a presiunii de la ieșirea
din pompă

Fig 5/4

Din acestea pe baza rel. (5.1.5) se deduce caracteristica amplitudine-frecvență din fig.5.1.5.

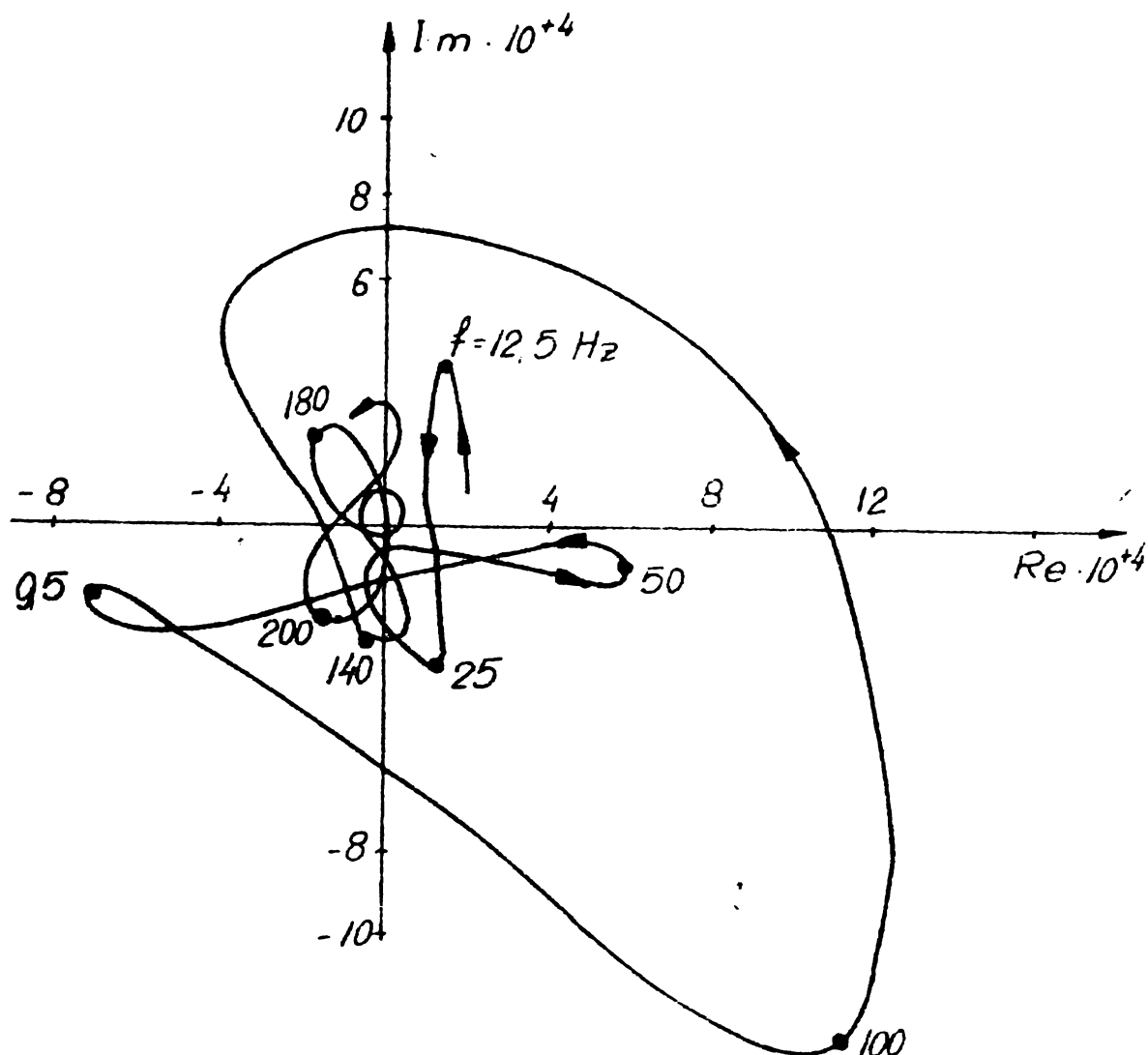


Caracteristica amplitudine-frecvență pentru corelația debitului la refulare-cu presiunea de la refulare la o pompă centrifugă

Fig 5/5

Analizând fig.5.1.5 se observă că pompa centrifugă în regimul normal, neconvențional de funcționare este un element complex și legătura între parametrii hidrodinamici de la refulare este caracterizată printr-un șir de frecvențe de rezonanță ($f_1 = 11,5$ Hz, $f_2 = 50$ Hz, $f_3 = 110$ Hz, $f_4 = 210$ m...). Frecvențele de rezonanță sînt legate de elementele constructive ale rotorului precum turația, numărul plătelor etc. Determinarea ajutorul corelatorului a defazajului între variabilele de măsură permite trasarea caracteristicii polare de frecvență amplitudine-fază fig.5.1.6.

Aceasta întărește părerea că în regimul normal de funcționare există fenomene hidrodinamice complexe. Pe baza fig.5.1.6 se pot realiza analize analitice ale funcției de frecvență și se pot lua în considerare fenomenele de rezonanță în sistemele hidrodinamice. În concluzie se observă că mișcarea lichidului în timpul refulării și refulare ale unei pompe se poate realiza după principiile principale debit și presiune considerând că în timpul refulării se poate lua în considerare și densitatea lichidului și în timpul refulării se poate



Caracteristica de frecvență a pompei centrifuge ce corelează debitul și presiunea de la refulare

Fig 516

bilă asupra compoziției spectrale a parametrilor amintiți /13/. Frecvențele de rezonanță totuși nu depind esențial de natura fluidului vehiculat. Numai amplitudinea oscilațiilor depinde de natura lichidului de lucru și anume prin creșterea vâscozității sau densității oscilațiilor se micșorează, iar cu creșterea densității lichidului amplitudinile cresc. Se observă că funcțiile de corelație și densitate spectrală a pompelor au componente periodice. De asemenea funcția de corelație a debitului volumic de la refulare din pompă cu presiunea statică de la refulare fig.5.1.5 are un caracter foarte amortizat, iar funcția de corelație a debitului volumic de la aspirația în pompă cu presiunea statică de la aspirația nu este dependentă de regimul de lucru al pompei /13, 17/. În fig.5.1.6 se poate estima că pompa hidrodinamică este descrisă satisfăcător până la frecvențe reduse ca un element amplificator, apoi cu creșterea frecvenței ca o legătură consecutivă de elemente amortizate.

riodice și în fine la frecvențe mai ridicate ordinul ecuației diferențiale ordinare crește (cu cât cresc numărul de vîrfuri de rezonanță în fig. 5.1.5). În general pompa se consideră precum un filtru, trece jos. Din analiza statistică se pot trage concluzii și cu privire la reglarea parametrilor hidrodinamici de la refulare al lichidului de lucru prin intermediul pompei. Prin aceste metode statistice se poate evalua influența vibrațiilor elementelor componente ale unei turbomașini asupra frecvențelor de rezonanță ale turbomașinii /59/.

În esență metoda statistică este o alternativă utilă în analiza dinamică a pompelor și deși prezintă dificultăți de natură experimentală și cere o prelucrare mai pretențioasă a datelor, beneficiază de avantajul extragerii informației utile fără a influența funcționarea normală a mașinii.

5.2 Stabilitatea și auto-oscilațiile pompelor

Stabilitatea în sensul acordat acestei noțiuni de Liapunov /49, 125, 166/ se va aplica pentru sisteme hidraulice în componența cărora se găsesc pompe hidrodinamice funcționând în regimuri energetice, cavitaționale sau bifazice. Un sistem se consideră stabil dacă dintr-o stare staționară sau autonomă de echilibru o perturbație mică îl conduce la o modificare amortizată în timp a variației mărimilor fizice caracteristice.

Sistemele hidraulice au o oarecare afinitate spre o funcționare nestabilă. Pentru ca un sistem hidraulic să devină nestabil sînt necesare următoarele condiții : fluidul să poată dezvolta o mișcare oscilatorie, să existe o parte a sistemului care să rețină sau să restituie energia potențială sub formă de poziție sau de presiune (adică să fie prezente forțe elastice) și de asemenea să existe un element care să inițializeze sau să transmită periodic impulsuri sau vibrații de frecvență constantă.

Instabilitățile sistemelor de pompare se pot asocia unor regimuri de bază tranzitorii sau staționare. Într-o pompă hidrodinamică funcționând cu lichid, dar mai ales cu mediu bifazic (de ex. apă-aer) sau în cavitație atunci cînd pereții solizi ai conductelor și recipientelor amonte sau aval de pompă sînt elastici, dacă apar vibrații ale organelor de reglare a debitului (precum vane, palete) sau ale părților mobile ale pompei (de ex. rotorul, paletele) se întrunesc condiții pentru o funcționare nestabilă. Situația clasică de nestabilitate apare atunci cînd punctul de funcționare al sistemului se găsește în domeniul cu pantă pozitivă al curbei caracteristice a pompei $H_p(Q)$ și dacă curba caracteristică a rețelei hi-

draulice $H_{rt}(Q)$ este moale (cu caracter capacitiv) avînd rezervoare cu suprafața liberă la refulare.

În cadrul încercărilor energetice și cavitaționale ale unor pompe s-au înregistrat regimuri nestabile de funcționare și în afara situației clasice amintită anterior. Astfel măsurătorile energetice efectuate asupra pompelor PCN 80-200 ; P-400 /25/ și Brateș-250 /21/ au evidențiat regimuri nestabile de funcționare prin înregistrarea fluctuațiilor unor mărimi caracteristice. Variațiile de presiune captate la refularea pompei în diferite regimuri de funcționare sînt prezentate în fig. 5.2.1. Măsurarea a fost efectuată cu un traductor inductiv de presiune tip PI/2-50 H.B.M. cuplat cu oscilograful tip H 102 T, SSSR. Pompa PCN 80-200 a funcționat la o turație constantă de $n_0 = 1700$ rot/min și cu caracteristicile nominale de $Q_0 = 44,5$ l/s și $H_0 = 51,7$ m. Oscilațiile de presiune pentru diferite regimuri de funcționare sînt de frecvențe de aprox. $f = 150$ Hz cu excepția unui regim de $f = 40$ Hz și de amplitudini cuprinse între $\frac{\Delta H}{H_0} = 8...17$ %. Între multiplele cauze care pot genera aceste oscilații nu se exclude funcționarea nestabilă. Această concluzie a fost confirmată la încercările efectuate în stațiunea Caltech unde s-au vizualizat prin particule fine solide (pulbere de aluminiu) sau gazoase (aer) structura curentului hidrodinamic în pompă și s-au pus în evidență o serie de forme de instabilitate în diferite regimuri de funcționare. Deseori la regimuri deosebite de cel nominal apare o oscilație amplă masivă pe direcție axială denumită și auto-oscilație. Independent sau împreună cu aceasta s-a observat și o blocare parțială rotitoare - cu $0,3...0,7$ din turația pompei - a canalelor rotorice. Ambele instabilități depășesc ca amplitudine ușoara nestabilitate inerentă funcționării unei turbomașini și care se datoresc variației de presiune de la o paletă rotorică la alta sau ~~la~~ presiunii de mișcare și a cîmpului de viteze din rotor. S-a remarcat că aceste nestabilități depind de distorsiunea curentului de la intrare, de suprafața carcusei rotorului, de tipul rotorului pompei, etc.

Auto-oscilațiile au o frecvență egală cu frecvența proprie de oscilație a maselor de lichid ce se găsesc în conductele de aducțiune și evacuare ale pompei. Frecvența oscilațiilor de presiune este independentă de turația pompei și depinde doar de dimensiunile geometrice ale instalației. Odată cu micșorarea dimensiunilor sistemului hidraulic frecvența pulsațiilor de presiune nu crește oricît. Limitarea variației înălțimii de pompare a pompei se produce din cauza imposibilității paletelor rotorului de pompă de a

modifica atât de rapid circulația vitezei curentului în jurul lor. Astfel că sub o anumită dimensiune a sistemului oscilațiile dispar. Durata modificării circulației vitezei în jurul paletelor este invers proporțională cu turația pompei. Auto-oscilațiile, aceste nestabilități cu evoluție ciclică depind de volumul ocupat de lichid la refularea pompei. Această dependență este redată după /99/ în fig. 5.2.2 și fig. 5.2.3. Curbele sînt cu bună aproximație hiperbolice cu existența la lungimi mai mari ale conductei de refulare a unor salturi de frecvență și amplitudine. În fig. 5.2.4 și fig. 5.2.5 se oferă legătura între amplitudinea oscilațiilor de presiune și frecvențele lor în funcție de lungimea conductei de aspirație pentru un volum constant la refulare. Se observă creșterea amplitudinilor oscilațiilor de presiune odată cu creșterea volumului atașat la refularea pompei. Independența frecvenței oscilațiilor de presiune față de turația pompei este reprezentată în fig. 5.2.6.

Pe baza celor prezentate se va dezvolta un model de studiu al stabilității unei pompe funcționind împreună cu o rețea hidraulică. Se va considera mașina multiparametrică și mediul vehiculat bifazic iar tratarea se va face într-o aproximație liniară.

Aplicînd ecuația transferului de energie prin pompă în regim nestaționar rezultă relația :

$$\frac{l}{gA} \cdot \frac{dQ}{dt} = H_p - H_{rt} \quad (5.2.1)$$

Tinînd cont de funcțiile $H_p(Q, n, \varphi)$ și $H_{rt}(Q, \varphi)$ pentru abateri mici de la regimul inițial de echilibru se obține :

$$\frac{l}{gA} \cdot \frac{dQ}{dt} = \left. \frac{\partial H_p}{\partial Q} \right|_0 \Delta Q + \left. \frac{\partial H_p}{\partial n} \right|_0 \Delta n - \left. \frac{\partial H_p}{\partial \varphi} \right|_0 \Delta \varphi - \left. \frac{\partial H_{rt}}{\partial Q} \right|_0 \Delta Q - \left. \frac{\partial H_{rt}}{\partial \varphi} \right|_0 \Delta \varphi \quad (5.2.2)$$

Ecuația echilibrului dinamic al maselor rotitoare se exprimă prin :

$$J \frac{dn}{dt} = M_a - M_r \quad (5.2.3)$$

Stiînd că $M_a(n)$ și $M_r(Q, n, \varphi)$, rel. (5.2.3) devine :

$$J \frac{dn}{dt} = \left. \frac{\partial M_a}{\partial n} \right|_0 \Delta n - \left. \frac{\partial M_r}{\partial Q} \right|_0 \Delta Q - \left. \frac{\partial M_r}{\partial n} \right|_0 \Delta n - \left. \frac{\partial M_r}{\partial \varphi} \right|_0 \Delta \varphi \quad (5.2.4)$$

Ecuația de continuitate aplicată fluidului cuprins în mașină este :

$$V_p \cdot \frac{d\varphi}{dt} = (\varphi Q)_e - (\varphi Q)_i \quad (5.2.5)$$

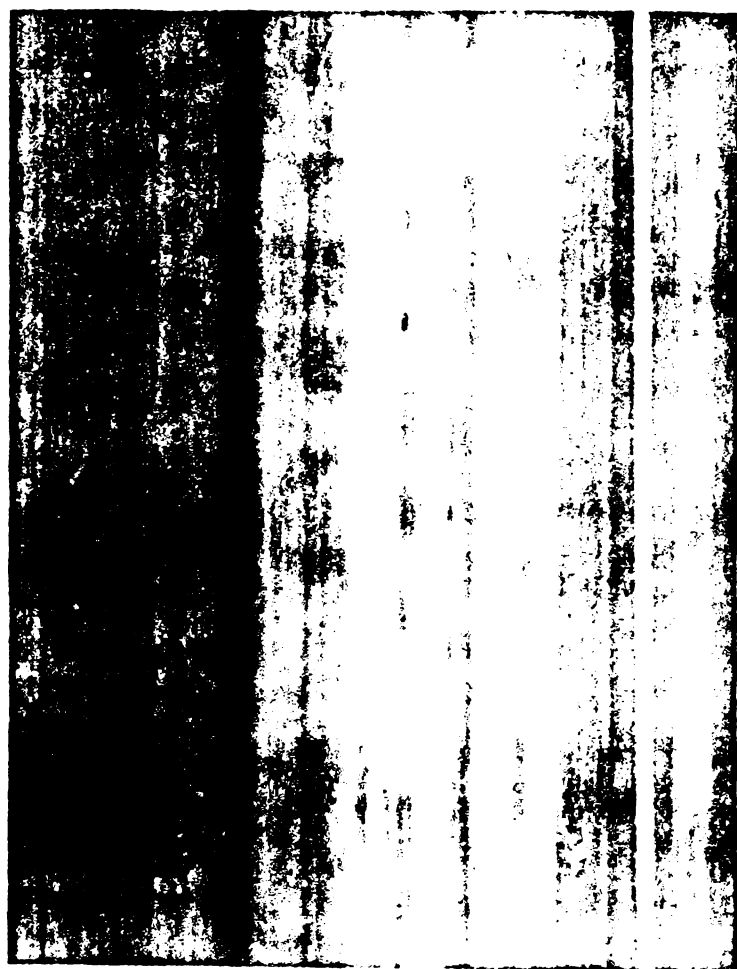
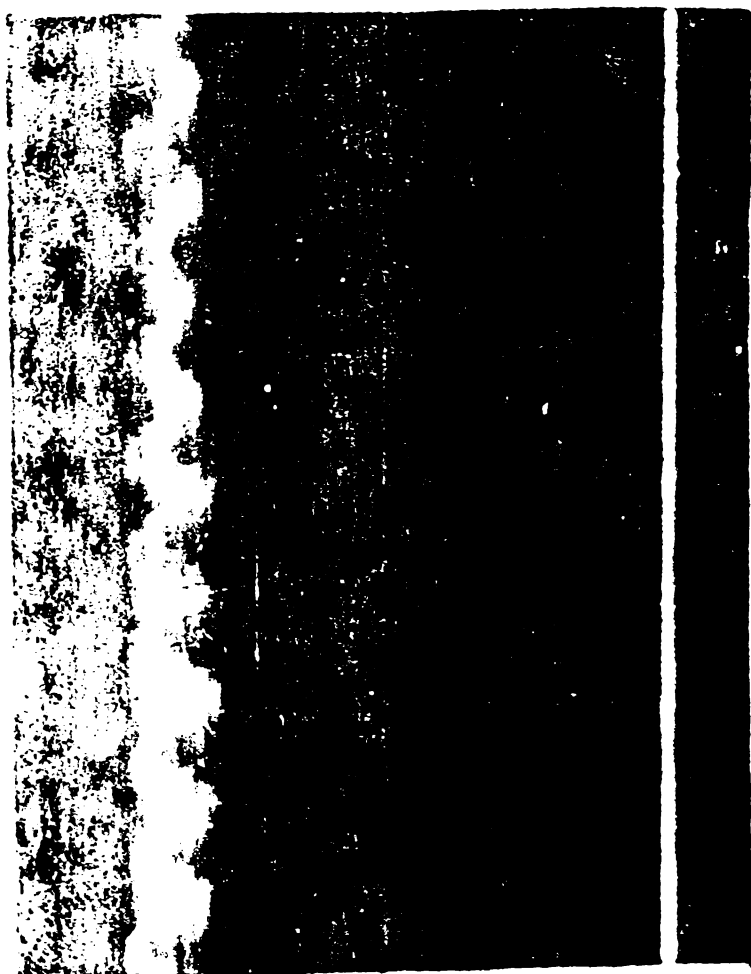
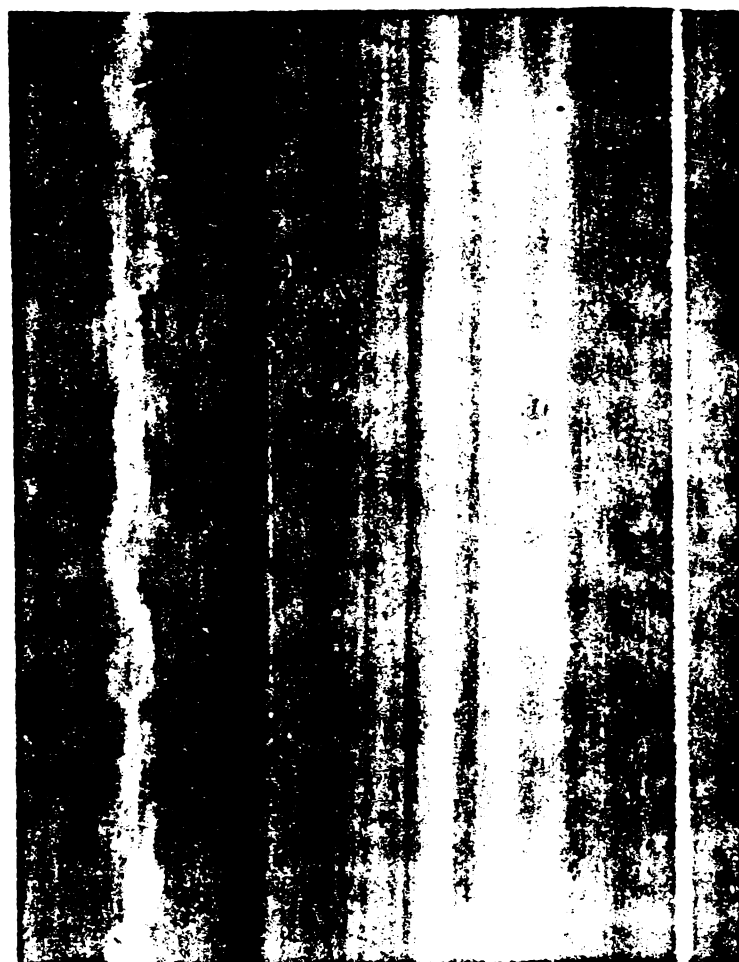


Fig. 5.2.1

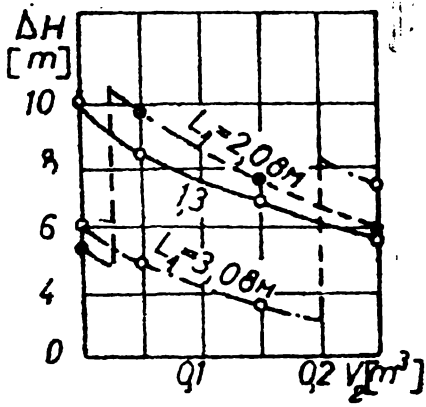


Fig. 5.2.2

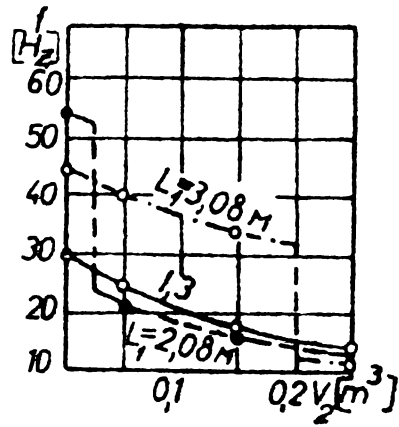


Fig. 5.2.3

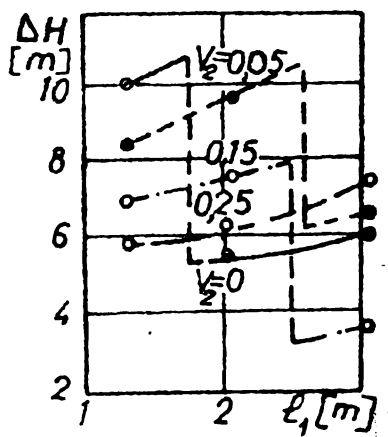


Fig. 5.2.4

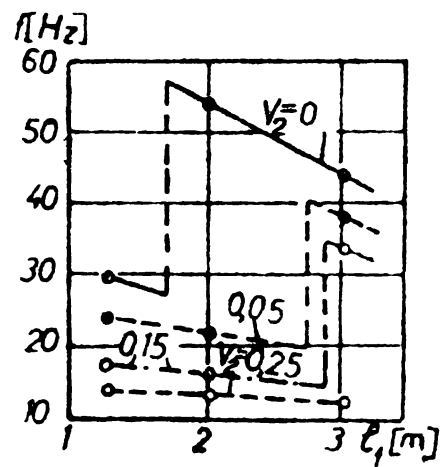


Fig. 5.2.5

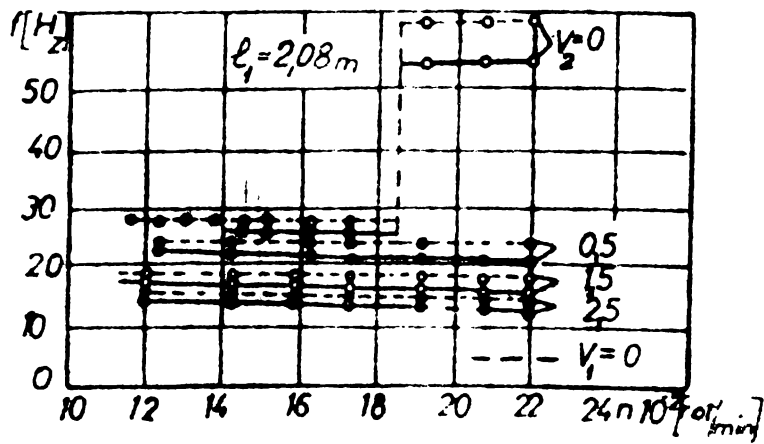


Fig. 5.2.6

Se va presupune că debitele masice la intrarea în pompă depind de densitatea și debitul volumic al fluidului $(\rho Q)_i(\rho, Q)$ iar la ieșire de aceleași elemente plus turația pompei $(\rho, Q)_e$ (n, ρ, Q) astfel încât :

$$V_P \frac{d\rho}{dt} = \left. \frac{\partial(\rho Q)_e}{\partial n} \right|_0 \Delta n + (\rho_e - \rho_1) \Delta Q + (Q_e - Q_1) \Delta \rho \quad (5.2.6)$$

Aranjînd rel. (5.2.2), (5.2.4) și (5.2.6) în forma canonică a ecuațiilor de stare ale unui sistem se obține :

$$\left\{ \begin{aligned} \frac{dQ}{dt} &= \frac{gA}{l} \left[\left(\left. \frac{\partial H_P}{\partial Q} \right|_0 - \left. \frac{\partial H_{rt}}{\partial Q} \right|_0 \right) \Delta Q + \left. \frac{\partial H_P}{\partial n} \right|_0 \Delta n + \left(\left. \frac{\partial H_P}{\partial \rho} \right|_0 - \left. \frac{\partial H_{rt}}{\partial \rho} \right|_0 \right) \Delta \rho \right] \quad (5.2.7) \end{aligned} \right.$$

$$\left\{ \begin{aligned} \frac{dn}{dt} &= \frac{1}{J} \left[- \left. \frac{\partial M_r}{\partial Q} \right|_0 \Delta Q + \left(\left. \frac{\partial M_a}{\partial n} \right|_0 - \left. \frac{\partial M_r}{\partial n} \right|_0 \right) \Delta n - \left. \frac{\partial M_r}{\partial \rho} \right|_0 \Delta \rho \right] \quad (5.2.8) \end{aligned} \right.$$

$$\left\{ \begin{aligned} \frac{d\rho}{dt} &= \frac{1}{V_P} \left[(\rho_e - \rho_1) \Delta Q + \left. \frac{\partial(\rho Q)_e}{\partial n} \right|_0 \Delta n + (Q_e - Q_1) \Delta \rho \right] \quad (5.2.9) \end{aligned} \right.$$

Condiția stabilității sistemului (5.2.7)...(5.2.9) este ca $\det [\bar{A} - \lambda I] = 0$ să aibe soluțiile proprii λ_1 cu partea reală negativă. Adică :

$$\begin{vmatrix} A_{11} - \lambda & A_{12} & A_{13} \\ A_{21} & A_{22} - \lambda & A_{23} \\ A_{31} & A_{32} & A_{33} - \lambda \end{vmatrix} = 0 \quad (5.2.10)$$

unde :

$$A_{11} = \frac{gA}{l} \left(\left. \frac{\partial H_P}{\partial Q} \right|_0 - \left. \frac{\partial H_{rt}}{\partial Q} \right|_0 \right); \quad A_{12} = \left. \frac{\partial H_P}{\partial n} \right|_0;$$

$$A_{13} = \frac{gA}{l} \left(\left. \frac{\partial H_P}{\partial \rho} \right|_0 - \left. \frac{\partial H_{rt}}{\partial \rho} \right|_0 \right)$$

$$A_{21} = - \frac{1}{J} \left. \frac{\partial M_r}{\partial Q} \right|_0; \quad A_{22} = \frac{1}{J} \left(\left. \frac{\partial M_a}{\partial n} \right|_0 - \left. \frac{\partial M_r}{\partial n} \right|_0 \right); \quad A_{23} = - \frac{1}{J} \left. \frac{\partial M_r}{\partial \rho} \right|_0$$

$$A_{31} = \frac{\rho_e - \rho_1}{V_P}; \quad A_{32} = \left. \frac{\partial(\rho Q)_e}{\partial n} \right|_0; \quad A_{33} = \frac{Q_e - Q_1}{V_P} \quad (5.2.11)$$

Rearanjînd ecuația (5.2.10) se obține :

$$\lambda^3 - (A_{11} + A_{22} + A_{33})\lambda^2 + (A_{11}A_{22} + A_{11}A_{33} + A_{22}A_{33} - A_{12}A_{21} - A_{13}A_{31} - A_{23}A_{32})\lambda + A_{11}(A_{23}A_{32} - A_{22}A_{33}) + A_{12}(A_{21}A_{33} - A_{23}A_{31}) + A_{13}(A_{22}A_{31} - A_{21}A_{32}) = 0 \quad (5.2.12)$$

sau conform criteriului Routh-Hurwitz pentru a avea soluții ale ecuației (5.2.12) cu partea reală negativă este necesar ca :

$$A_{11} + A_{22} + A_{33} < 0 \quad (5.2.13)$$

$$A_{11}A_{22} + A_{11}A_{33} + A_{22}A_{33} > A_{12}A_{21} + A_{13}A_{31} + A_{23}A_{32} \quad (5.2.14)$$

$$A_{11}A_{22}A_{33} + A_{12}A_{23}A_{31} + A_{13}A_{21}A_{32} < A_{11}A_{23}A_{32} + A_{22}A_{13}A_{31} + A_{33}A_{12}A_{21} \quad (5.2.15)$$

Explicitând relația (5.2.13) rezultă :

$$\frac{gA}{l} \left(\frac{\partial H_p}{\partial Q} \Big|_0 - \frac{\partial H_{rt}}{\partial Q} \Big|_0 \right) + \frac{1}{J} \left(\frac{\partial M_a}{\partial n} \Big|_0 - \frac{\partial M_r}{\partial n} \Big|_0 \right) - \frac{Q_e - Q_1}{V_p} < 0 \quad (5.2.16)$$

Similar se pot explicita și rel. (5.2.14) și (5.2.15).

Se vor obține astfel setul de condiții generale necesare pentru a avea o funcționare stabilă a unui sistem de pompare cu mediu bifazic, într-o aproximație liniară. Dificultatea aplicării metodei constă în necesitatea cunoașterii prealabile a o serie de curbe caracteristice ale sistemului. Rezultatul obținut aici extinde cazul clasic indicând existența și a altor zone cu funcționare stabilă sau nestabilă a unui sistem hidraulic cu pompe hidrodinamice în componența sa.

Rel. (5.2.16) generalizează inegalitățile cunoscute din literatură /90, 99, 129/ care se folosesc drept criterii de stabilitate a pompelor funcționând într-o rețea. Se observă că prin particularizarea rel. (5.2.16) prin neglijarea variațiilor de turație, adică anularea celui de al doilea termen și egalarea cu zero a celui de al treilea în regimuri energetice se regăsește relația cunoscută:

$$\frac{\partial H_{rt}}{\partial Q} \Big|_0 > \frac{\partial H_p}{\partial Q} \Big|_0 \quad (5.2.17)$$

drept condiție a stabilității.

Calculul inegalităților (5.2.13)...(5.2.16) este necesar pentru analizarea stabilității regimului de funcționare al unui sistem hidraulic de pompare ce lucrează fie în regim energetic, fie cu mediu bifazic lichid-gaz sau în cavitație. În acest scop trebuie cunoscute curbele caracteristice ale pompei $H_p(Q, n, \rho)$, $M_r(Q, n, \rho)$ ale motorului de antrenare $M_a(n)$ și ale rețelei $H_{rt}(Q, \rho)$ olt și variația debitului masic al pompei cu turația $(\rho Q)_e(n)$ împreună cu debitele volumice și densitățile amestecu-

lui bifazic la intrarea și ieșirea din pompă. Unele din aceste dependențe se pot extrage din curbele din fig. 2.1.1 și fig. 2.1.2. La aceste date se adaugă lungimea traseului hidraulic l , aria transversală a conductelor A , momentul de inerție al părților rotitoare J și volumul interior al pompei V_p .

Modelul monodimensional global prezentat are șanse de predictibilitate pentru oscilații mici în măsura în care se poate asigura un amestec bifazic omogen și izotrop. Uneori păstrarea acestei calități nu se poate realiza după pompă iar înaintea ei doar prin măsuri speciale. Deoarece aceste condiții sînt și mai dificil de realizat în regimuri cavitaționale se va aborda nestabilitatea cavitațională într-o manieră locală din punct de vedere teoretic. Apoi se vor completa rezultatele cu unele date experimentale în scopul studierii și cercetării instabilităților induse de fenomenul de cavitație în pompele hidrodinamice.

Considerînd modelul spectrului de bule valabil pentru funcționarea unei pompe în regimuri cavitaționale se va analiza dinamica unei bule cavitaționale din punct de vedere al stabilității. Ecuația de mișcare a unei bule sferice mici după [3] folosită în prezenta lucrare în rel. (2.3.3.1) are expresia :

$$r \frac{d^2 r}{dt^2} + \frac{3}{2} \left(\frac{dr}{dt} \right)^2 = \frac{p_{cav} - p_{\infty}(t)}{\rho_L} - \frac{2S}{\rho_L} - \frac{4}{r} \frac{dr}{dt} \quad (5.2.18)$$

unde raza inițială a bulei este r_0 , cîmpul de presiuni la o distanță apreciabilă de bulă este funcție de timp $p_{\infty}(t)$, iar presiunea de cavitație în bulă p_{cav} este :

$$p_{cav} = p_{vap} [T(r)] + p_G \quad (5.2.19)$$

egală cu suma presiunilor parțiale ale gazului din bulă p_G și a presiunii de vaporizare a lichidului în funcție de temperatura peretelui bulei $p_{vap} [T(r)]$. Presiunea gazului din bulă rezultă din ecuația de stare a gazului și este :

$$p_G = \frac{K(T)}{r^3} \quad (5.2.20)$$

În echilibru în regim staționar $r = r_0$ și ec. (5.2.13) devine :

$$0 = p_{vap} - p_{\infty} - \frac{2S}{r_0} + \frac{K}{r_0^3} \quad (5.2.21)$$

Pentru a analiza dacă acest echilibru este stabil se introduce perturbația :

$$r = r_0 [1 + \varepsilon(t)] \quad (5.2.22)$$

unde $\epsilon(t)$ este un parametru mic. Ecuația (5.2.18) linearizată prin înlocuirea rel. (5.2.22) are forma :

$$\frac{d^2 \epsilon}{dt^2} + \frac{4 \gamma}{r_0^2} \frac{d\epsilon}{dt} + \frac{1}{\rho_L r_0^2} \left(\frac{3K}{r_0^3} - \frac{2S}{r_0} \right) \epsilon = \frac{p_{vap} - p_\infty}{\rho_L} - \frac{2S}{\rho_L r_0} + \frac{K}{\rho_L r_0^3} \quad (5.2.23)$$

Conform (5.2.21) membrul drept al rel. (5.2.23) este nul.

Considerînd oscilații armonice

$$\epsilon = \epsilon_0 e^{i\omega t} \quad (5.2.24)$$

rezultă frecvența :

$$\omega = \frac{2 \gamma}{r_0^2} \pm \sqrt{\left(\frac{3K}{r_0^3} - \frac{2S}{r_0} \right) \frac{4 \gamma^2}{\rho r_0^2} - \frac{4 \gamma^2}{r_0^4}} \quad (5.2.25)$$

Se observă că dacă :

$$\frac{1}{\rho r_0^2} \left(\frac{3K}{r_0^3} - \frac{2S}{r_0} \right) > \frac{4 \gamma^2}{r_0^4} \quad (5.2.26)$$

se dezvoltă o mișcare periodică a bulei. In cazul cînd :

$$\frac{1}{\rho r_0^2} \left(\frac{3K}{r_0^3} - \frac{2S}{r_0} \right) = \frac{4 \gamma^2}{r_0^4} \quad (5.2.27)$$

nu apar oscilații. Iar în situația :

$$\frac{1}{\rho r_0^2} \left(\frac{3K}{r_0^3} - \frac{2S}{r_0} \right) < \frac{4 \gamma^2}{r_0^4} \quad (5.2.28)$$

se realizează o creștere exponențială a bulei. Astfel în funcție de parametrii bulei și ai lichidului se pot separa zone stabile și nestabile de evoluție a unei bulei singulare în regim cavitațional.

Generalizînd la nivelul spectrului de bule ce evoluează la pompele funcționînd în cavitație se remarcă existența unor condiții prielnice de apariție a unor nestabilități de tipul auto-oscilațiilor. Complexitatea fenomenelor ce apar în regim de autooscilație cavitațional de funcționare a pompelor face ca exprimarea analitică a fenomenelor și chiar găsirea unor corelații semnificative să fie dificilă.

La încercarea experimentală a unor pompe s-au înregistrat regimuri nestabile cavitaționale. Astfel la pompa LPO/FT cu rotorul 7 încercată în stațiunea Caltech pentru un diametru al rotorului de $\phi 101,6$ mm, turația $n = 6000$ rot/min coeficientul de debit

$m = 0,07$ și coeficientul de cavitație $\sigma_{crit} = 0,136$ s-au înregistrat pulsații ale mărimilor caracteristice în fig. 5.2.7 și fig. 5.2.8. În aceste oscilograme de sus în jos spoturile înregistrate repre-

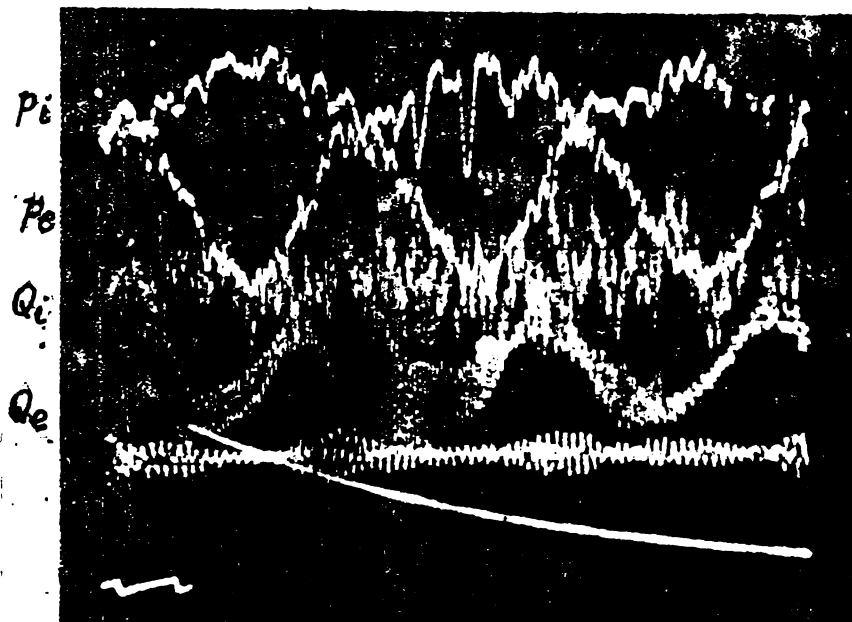


Fig. 5.2.7

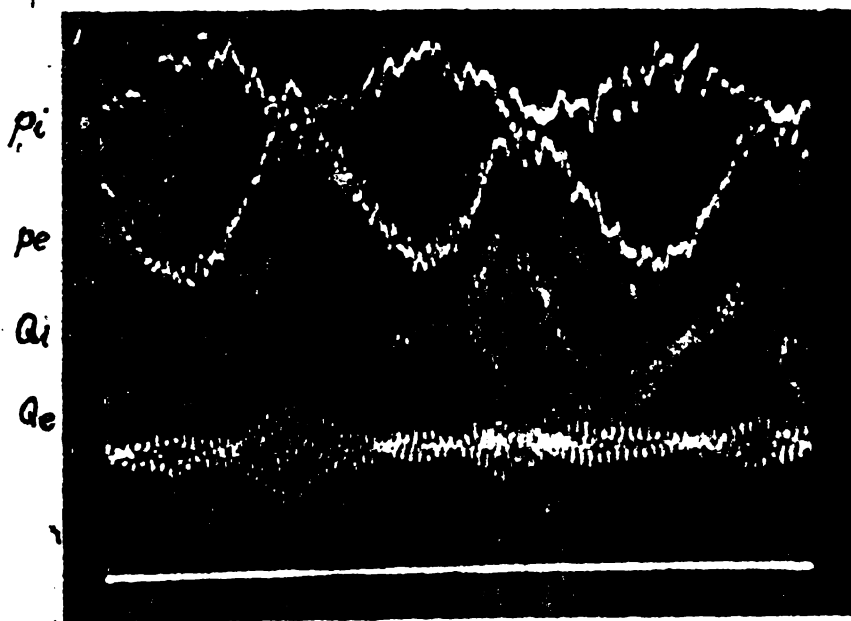


Fig. 5.2.8

zintă presiunea statică la aspirația pompei, presiunea statică la refularea pompei, debitul amonte și aval de pompă și accelerațiile punctului de priză a presiunilor de pe conducta amonte și aval de pompă. Se observă discordanța de fază la nivelul presiunilor amonte și aval de pompă tipică autooscilațiilor cavitaționale. Frecvența oscilațiilor este de $f = 16...17$ Hz iar amplitudinea variațiilor de presiune amonte de 17 % iar aval de 31 %. Autooscilația cavitațională nu este generată din exterior ci se automenține din interior. Ea se prezintă ca un fenomen intermitent cu durata de ordinul

secundelor din cauza neomogenității curentului. Ea apare în apropierea căderii curbelor caracteristice și impune o limitare în plus în utilizarea acestor mașini. Se observă că autooscilația este însoțită de curenți inversați. La cavitație foarte dezvoltată autooscilația dispare.

Autooscilațiile cavitaționale într-o pompă sînt caracterizate prin fluctuații mari de presiune și debit masic. Frecvența oscilațiilor s-a observat că depinde direct proporțional de debit și coeficientul de cavitație /39/. Amplitudinea fluctuațiilor este invers proporțională cu debitul. De asemenea ~~se pare că~~ există o legătură între caracteristicile dinamice precum amplificarea debitului masic WP_{22} și impedanța pompei WP_{12} în raport cu evoluția stabilității pompei. Autooscilația evoluează similar la turbomașini generatoare precum pompele, ventilatoarele și compresoarele și este legată de stabilitatea curenților elicoidali. Complexitatea curentului hidrodinamic în rotorul turbomașinilor și zonele imediat amonte și aval de rotor fac să apară fenomene cu evoluție tridimensională și nestaționară precum autooscilațiile, prerotația curentului, vârtejul elicoidal, zone de stagnare, blocare rotitoare etc. /22, 53, 85/.

Fenomenele de autooscilație cavitațională în sistemele hidraulice prevăzute cu pompe centrifuge se manifestă sub forma unor oscilații sau salturi finite periodice a presiunii și debitului cu o frecvență de ordinul de mărime al ciclurilor pe secundă. Pînă în prezent nu există o teorie generală adecvată sau o înțelegere în profunzime a fenomenelor de nestabilitate legate de autooscilații. Probabil că în viitor se va trece de la modelele de aproximație de ordinul I la modele neliniare de ordin superior, eventual cu parametrii distribuiți și se vor lămurii o serie de fenomene locale precum stagnarea curentului pentru a obține rezultate cu valabilitate generală.

Pe baza rezultatelor obținute se vor putea introduce dispozitive automate care să evite funcționarea în zonele nestabile energetice și cavitaționale ale pompelor.

6. CONCLUZII

Din lucrarea prezentată se pot extrage următoarele

1. Cercetarea funcționării pompelor centrifuge în regimuri dinamice energo-cavitacionale multivariabile în regimuri dinamice energo-cavitacionale este necesară și posibilă.

2. Modelele teoretice prezentate permit stabilirea regimului dinamic la oscilații mici, în ipoteza unor dependențe a pompelor hidrodinamice. Variantele propuse sunt pălămbu- nătățiri.

3. Comportarea turbopompelor, mașinilor hidraulice în gene- ral, la oscilații mari din cauza neliniarității curbelor caracteris- tice se poate trata actualmente numai pe baza caracteristicilor sta- tice adică a unui model static.

4. Matricea de transfer energetică permite obținerea rezultate multumitoare spre deosebire de explicația func- tionării transfer în regim cavitacional unde modelele succesive cavitacională, cavitație pe paletă, nor de bule cavitacionale de- vedit incomplete și solicită noi completări sau puncte ineditate.

5. Stațiunea experimentală este foarte simplă. Stabilirea unor funcții de transfer și mobilități de pr- onică a unei pompe. Extinderea spre medii bifazice cavitacionale este posibilă în dotarea actuală a stațiunii.

6. Stațiunea experimentală are unele particularități specifice legate de tehnica experimentării și aparatură special referitor la fluctuațiile de debit și asigurarea repetabilității măsurătorilor.

7. Extinderea problematicii cavitacionale la mașinile în cadrul cap. 5. constituie o problemă de căutare viitoare.

8. Concordanța calitativă a rezultatelor experimentale este satisfăcătoare. Direcții viitoare pentru desăvîșirea și perfecționarea rezultatelor. Modelul monodimensional al stațiunii de măsurări și de asemenea este posibilă realizarea de aparatură experimentale, adaptarea unei aparatură de măsurare a datelor și chiar cuplarea stațiunii de măsurare cu un sistem automat de prelucrare a datelor.

convergenței cantitative a rezultatelor teoretice și experimentale.

9. Răspunsul dinamic al pompelor centrifuge în regim staționar are o alură complexă care nu poate fi explicată prin simpla extrapolare a rezultatelor din regim staționar sau din regiunea cuasi-staționară. Astfel termenul "amplificare cavitațională" din matricea de transfer are o mărime și defazare ce este dependentă de viteza de rotație. "Rezistența" pompei scade cu frecvența de rotație. "Complexanța" pompei are valori mari datorate prezenței cavității sub formă de nor de bule, de zonă cavitațională pe paletă și de rost. "Amplificarea debitului real" se prezintă ca o mărime complexă în mod surprinzător deoarece din analiza matricei rezultă existența numai a unei părți imaginare.

10. Folosirea metodei active de încercare dinamică a pompelor hidrodinamice prin semnale periodice sinusoidale permite identificarea dinamică a acestor mașini.

Se consideră următoarele drept contribuții ale autorului :

1. Cercetarea teoretică și experimentală asupra pompelor centrifuge în regimuri energizate cavitataționale în condiții armonice a turației.

2. Deducerea ecuației dinamice energizate-cavitataționale a pompei pe baza curbelor caracteristice (rel. (2.1.10)).

3. Stabilirea unui model energizate-cavitatațional al unei pompe (sau oricărei alte turbomășini) în condiții de rotație și înălțimi de pompare exprimate în funcție de viteza de rotație (2.3.1.1).

4. Determinarea funcțiilor de transfer ale unei pompe centrifuge funcționând în regimuri energizate-cavitataționale la viteze mici sinusoidale de turație. Demonstrarea existenței acestor funcții (cap. 2.2 respectiv rel. (2.2.55), (2.2.56), (2.2.57), (2.2.58), (2.2.59), (2.2.60) până la (2.2.67)).

5. Concepția, proiectarea și realizarea metodei active de încercare dinamică a pompelor fig. 3.2.1.

6. Realizarea unui generator mecanic de semnale sinusoidale de turație care formează și obțineți un număr de rotații acordat autorului /26/.

7. Măsurarea, prelucrarea și prezentarea rezultatelor

8. Conceperea unui dispozitiv de fluctuație a debitului îmbunătățit fig.3.3.8 și fig.3.3.10.

9. Stabilirea cantitativă experimentală a influenței cotelui amonte de pompă (simulat printr-o strangulare treaptă fig. 3.3.11), asupra alurii funcțiilor de transfer în regim cavitațional cu modul de excitație al debitului amonte fig.4.2.57- 4.2.60.

10. Prezentarea mai unitară a problemelor modelării și identificării dinamice a pompelor centrifuge.

11. Sugerarea aplicațiilor posibile ale problemei studiate cât și preconizarea unor dezvoltări viitoare ale subiectului dinamicii turbomașinilor.

12. Deducerea ecuației inertanței în ipoteza fluctuațiilor vitezei unghiulare rel. (2.3.1.40).

13. Stabilirea teoretică (rel.(2.3.2.101)) și efectuarea măsurătorilor experimentale (fig. 4.1.12) asupra funcției de transfer ce leagă fluctuațiile de turație cu cele de presiune la intrarea în pompă.

14. Deducerea formulei complexanței unui curent de bule de gaze sau vapori în regim cavitațional în ipoteze restrictive hidrodinamice și termodinamice pentru o aproximație cuasistatică și linearizată dinamică a frecvențelor de fluctuație a perturbației rel. (2.3.3.42).

15. Determinarea condițiilor mai generale de stabilitate ale unui sistem de pompare în aproximație lineară, funcționând cu mediu bifazic, omogen și izotrop în rel. (5.2.13...5.2.16).

7. BIBLIOGRAFIE

- /1/ A.J.Acosta, Cavitation and fluid machinery, Conf.Cavitation, 1974, Edinburgh.
- /2/ A.J.Acosta, O.Furuya, A brief note on linearized, unsteady, supercavitating flows, J.of ship research No.2/1979.
- /3/ A.J.Acosta, Cavitation inception and internal flows with cavitation, DTNSRDC-79 011, Bethesda.
- /4/ V.Ancușa, Determinarea curbelor de sensibilitate la cavitație a unui profil hidrodinamic ținând cont de influența conținutului de nuclee din apă, Teză de doctorat, IPTV Timișoara, 1972
- /5/ D.A.Anderson, ..., Response of a radial-bladed centrifugal pump to sinusoidal disturbances for noncavitating flow, NASA, TN D-6556, 1971.
- /6/ I.Anton, Curbele caracteristice de cavitație ale pompelor cu turatăie specifică joasă, Teză de doctorat IPTV, 1968, Timișoara.
- /7/ I.Anton, M.Bărglăzan, Aparat pentru măsurarea conținutului de aer în apă, Conf.de maș.hidr., Timișoara, 1964.
- /8/ I.Anton, M.Bărglăzan, A.Mihailovici, Der Einfluss des Wasserluftgehaltes auf die energetischen und kavitationellen Kennlinien der hydraulischen Axialmaschinen, Hydro-Turbo, Marianske Lazne, 1967.
- /9/ I.Anton, M.Bărglăzan, Incercarea energetică a pompelor Brateș 250-a, Caiet selectiv Fac.Mec. IPTVT, 1969.
- /10/ I.Anton, L.Vékás, A study on the cavitation bubble formation process, Rev.Roum.de Mecanique Appliquée, Tom.13, No.6, 1973.
- /11/ I.Anton, Turbine hidraulice, Ed.Pachia, Timișoara, 1979
- /12/ V.Anton, Cercetări experimentale privind influența geometriei unor rețele de profile asupra caracteristicilor lor energetice și cavitaționale, Teză doctorat, IPTV Timișoara, 1972.
- /13/ N.N.Arșenevschii, Obratimie ghidromășini, Energhia, Sova, 1977.
- /14/ H.R.Badowski, An explanation for instabilities in cavitating inducers, Cavitation forum, ASME, 1969.
- /15/ A.Bărglăzan, Mașini hidraulice, Litografia IPTV, 1951, Timișoara
- /16/ A.Bărglăzan, Fenomenul de cavitație la mașini hidraulice, St.Cerc.St.Tehn. Timș., 1, 1954.

- /17/ A.Bărglăzan, Funcționarea pompelor în cazul variației frecvenței rețelei electrice, Hidrotehnica No.10, 1955, București
- /18/ A.Bărglăzan, V.Dobândă, Turbotransmisiile hidraulice, Ed.Tehnică București, 1957.
- /19/ A.Bărglăzan, I.Anton, V.Anton, I.Preda, Încercările mașinilor hidraulice și pneumatice, Ed.Tehnică, 1959, București.
- /20/ M.Bărglăzan, Contribuții la proiectarea reabsorbitorilor, Conf. de maș.hidr., Timișoara, 1964.
- /21/ M.Bărglăzan, Proiectarea unei stațiuni pentru încercarea turbinelor hidraulice, Bul.St.și Tehn.al IPTV Timișoara, Tom. 14, Fasc.2, 1969
- /22/ M.Bărglăzan, C.Buza, Some relationship between the diagonal pump and the hydraulic system a head it, proc.of the IVth Conf.on Fl.Mach., 1972, Budapesta.
- /23/ M.Bărglăzan, Studiul unui regulator de turție în regim dinamic Bul.St.și Tehn.al IPTV Timișoara, Tom. 18, No.1, 1973.
- /24/ M.Bărglăzan, Reglarea și automatizarea mașinilor hidraulice, Litografia IPTV, 1974, Timișoara.
- /25/ M.Bărglăzan, Studiul experimental asupra caracteristicilor energetice și cavitaționale ale unei pompe cu parametrii $Q = 400 \text{ l/min}$; $H = 45 \text{ m}$; $n = 2900 \text{ rot/min}$, contract de colaborare cu GIIL Timișoara, 1974.
- /26/ M.Bărglăzan, I.Drașovean, Procedeu de generare mecanică a oscilațiilor sinusoidale de turție, Brevet de invenție Nr.67681, OSIM, 1975, București.
- /27/ M.Bărglăzan, About hydraulic transients in hydroenergetical installations, IAHR Proceedings, Bucharest, 1975.
- /28/ M.Bărglăzan, Determinarea caracteristicilor dinamice ale unei pompe centrifuge, Lucrări tehnico-științifice M.ș.Hidr. Mai, 1977.
- /29/ M.Bărglăzan, M.Rădulescu, Analiza regimurilor tranzitorii în unele stațiuni din Laboratorul de mașini hidraulice, Lucrări tehnico-științifice, Secția Mașini hidraulice, IPTV Timișoara, 1977.
- /30/ M.Bărglăzan, M.Radovici, Studiul și funcționarea unui motor eolian cu ax vertical, Bul.St.și Tehn.al IPTV Timișoara, Fasc.1, 1978.
- /31/ M.Bărglăzan, Ecuația dinamică a frinelor hidraulice, Bul.St.și Tehn.al IPTV Timișoara, Tom.2, 1978.
- /32/ M.Bărglăzan, Contribuție la ecuația dinamică a hidroregulatorilor, Bul.St.și Tehn. al IPTV Timișoara, Tom.2, 1978.

- /33/ M.Bărglăzan, Regimuri tranzitorii în recipiente cu lichide, Prima ses.com.șt. a tin.ing.și cerc.stud., Timișoara, 1971.
- /34/ M.Bărglăzan, D.Galeriu, Particularități ale funcționării unui turbocuplaj cu rotorul secundar blocat, Bul.St.Șehn. IPTV Timișoara, Tom.25, No.1, 1979.
- /35/ M.Bărglăzan, Reglarea și automatizarea sistemelor hidraulice, Litografia IPTV 1979, Timișoara.
- /36/ M.Bărglăzan, The dynamic characteristics for a centrifugal pump, Memoriile Acad.RSR, 1980.
- /37/ F.E.Bilke, ..., A study of system coupled instability analysis techniques, Tech.Rep. AFRL-PR-66-143, 1966.
- /38/ D.Braisted, C.Brennen, Observation on instabilities of cavitating inducers, Cavitation forum ASME, 1978.
- /39/ D.Braisted, Cavitation induced instabilities associated with turbomachines, Diss., Caltech, 1979.
- /40/ C.Brennen, The dynamic behaviour and compliance of a stream of cavitating bubbles, Trans.ASME series J, No.4/1975.
- /41/ C.Brennen, A.J.Acosta, Theoretical, quasi-static analysis of cavitation compliance in turbopumps, Journal of space craft and rockets, Nr.3/1973.
- /42/ C.Brennen, A.J.Acosta, Dynamic performance of cavitating turbopumps, Proc.of the Vth Conf.on Fl.Mach. 1975, Budapest
- /43/ C.Brennen, A.J.Acosta, The dynamic transfer function for a cavitating inducer, Trans.ASME series J Nr.2/1978.
- /44/ C.Brennen, On the unsteady, dynamic response of phase changes in hydraulic systems, Summer Conf., 1977, Dubrovnik.
- /45/ C.Brennen, The unsteady, dynamic characterization of hydraulic systems with emphasis on cavitation and turbo-machines, Joint Symposium Fluid machinery, Fort Collins, 1978.
- /46/ C.Brennen, Bubbly flow model for the dynamic characteristics of cavitating pumps, J.Fluid mech. vol.89, part 1, 1978.
- /47/ C.Brennen, The thermo-hydraulic transfer function for a phase change in a flowing fluid system. Internat.Conf.on heat and Mass, Transfer, Dubrovnik, 1978.
- /48/ N.Budișan, T.Dragomir, E.Dragomir, Procedeu pentru identificarea unor sisteme liniare, Bul.St.și Șehn. al I.I.T. Timișoara, Seria Electron., Tom 18, Fasc.2, 1973.
- /49/ N.Budișan, I.Babușia, Teoria sistemelor automate, Lit.IPTV Timișoara, 1978.
- /50/ x x x, Cavitaționile avtocolerbania v nasosnih sistemah, vol.I, vol.II, Naukova dumka, Kiev, 1976.

- /51/ x x x, Cavitaționie avtocolobania i dinamica gidravlicheskih sistem. Naukova Dumka, 1977, Kiev.
- /52/ V.P.Cebaevschi, V.I.Petrov, Cavitaționie haracteristichi visocooborotnih shego-ventrobejnih nasosov, Moscow, Mashinostroenie, 1973.
- /53/ x x x, Centrifugal compressor and pump stability stall and surge, (ed.by P.C. Tramm and R.C.Dean Jr.) Conf.ASME, 1976, New York.
- /54/ D.Cioc, Contribuții la calculul mișcării nepermanente în conducte și la teoria sonicității cu aplicare la pompajul sonic, Studii de hidraulică ISCH, 1968, București.
- /55/ G.Constantinescu, Teoria sonicității, Ed.Cultura, 1962, București.
- /56/ B.J.Cooper,..., Control of variable-discharge pumps and dangers of pipeline resonance, Vibrations in hydraulic pumps and turbines I.Mech.E., 1967, London.
- /57/ M.R.Driels, An investigation of pressure transients in a system containing a liquid capable of air absorption, J. fluids engineering, No.3/1973.
- /58/ V.L.Dussourd, An investigation of pulsations in the boiler-feed system of a control power station, Trans.ASME, series D, Nr.4/1968.
- /59/ A.A.Dzidziguri,..., Statisticeschie haracteristichie sostavliaiushchih vibrații ventrobejnovo nasosa, Bull.of Acad.of the Georgian SSR, Tom.77 Nr.3/1975.
- /60/ A.A.Dzidziguri,..., Experimentalnoe issledovanie chastotnih haracteristic ventrobejnovo nasosa, Bull.of Acad.Sci.of the Georgian SSR, Tom 78, Nr.3/1975.
- /61/ A.A.Dzidziguri,..., Corelaționie funcții indra potoci gidcosti ventrobejnovo nasosa 8K-18, bull.of Acad.Sci.of the Georgian SSR, Tom.80, Nr.1/1975.
- /62/ R.W.Ehrhart, Auto-oscillation in the Hyatt plant's penstock system, Water Power, No. 4/1979.
- /63/ P.Eykhoff, Identificarea sistemelor, Ed.Tehnica, București, 1977.
- /64/ F.D.Ezekiel, H.M.Paynter, Computer representations of engineering systems involving fluid transients, Trans.ASME, Nr.8/1957.
- /65/ M.Fanelli, A.Cortese, Analytical research of hydraulic impedance for a single-stage centrifugal pump under small harmonic disturbances of frequency f , pumps in power stations, 1966, Braunschweig.

- /66/ M.Fanelli, Further considerations on the dynamic behaviour of hydraulic turbo-machinery, Water Power Nr.6/1972.
- /67/ M.Fanelli, Current studies on instationary behaviour of hydraulic machinery, 6th Symposium of IAHR, 1972, Rome.
- /68/ M.Fanelli, Les phénomènes de résonance hydraulique, La houille blanche Nr.4/1975.
- /69/ R.H. Fashbaugh, V.L.Streeter, Resonance in liquid rocket engine systems, Trans ASME series D Nr.4/1965.
- /70/ G.Federici, E.Raiteri, F.Siccardi, Cavitation detection and control in pumps, Proc.of the Vth Conf.on Fl.Mach. 1975, Budapest.
- /71/ G.W.Fitzsimmons, D.M.Gluntz, Design, performance and operation of jet pump recirculation systems for BWRs, Pumps for nuclear power plant MEIME, 1974, London.
- /72/ E.M.Gates, ..., Cavitation inception and nuclei distributions, Caltech Rept. No. E 244.1, 1979.
- /73/ F.G.Ghahremani, Pump cavitation compliance, Cavitation Forum ASME, 1970.
- /74/ Ia.A.Ghelfandbein, Metodî ciberneticescoi diagnosticii dinamiceschih sistem, Izd.Zinatne, Riga, 1967.
- /75/ Ia.A.Ghelfandbein, ..., Spectralniê caracteristichi iudai potoca țentrobejnovo nasosa, Izv.vuz.Mașinostroenie Nr.5/1971.
- /76/ Ia.A.Ghelfandbein, N.G.Sumov, Amplitudno-fazo-elasticheskie haracteristichi visocooborotno țentrobejnovo nasosa, Izv.vuz.Mașinostroenie, Nr.8/1972.
- /77/ Ia.A.Ghelfandbein, ..., Peredatocinaia funczia proteza țerecivania jidcosti țentrobejnim nasosom, Izv.vuz.Mașinostroenie Nr.9/1972.
- /78/ Ia.A.Ghelfandbein, ..., Regulirovanie gidrodinamiceskih parametrov na linii magnetania țentrobejnovo nasosa, Izv.vuz.Mașinostroenie Nr.12/1972.
- /79/ M.Gheorghiu, Studiul teoretic și experimental al caracteristicilor energetice ale rețelelor circulare de prize pentru aparate directe de turbină, Teză de doctorat, IIV Timișoara, 1976.
- /80/ J.E.Gibson, Sisteme automate neliniare, Ed.Tehnicii, 1977, București
- /81/ S.Gîrlășu... Optimizarea experimentală cu corelarea sistemelor de reglare a turației la stațiunea de încercări a modele de turbine ICPEH Reșița, Metode moderne în cercetare și realizarea hidroagregatelor, Reșița, 1978.

- /82/ V.N.Goțulenco, V.A.Mahin, Neustoicivost raboti țentrobejnovo nasosa pri smijenii vhodnovo davlenia, Ghidromeh. i teoria uprug. Nr.9/1968
- /83/ V.N.Goțulenco, K teorii pompajnih kolebanii v ghidrosistemah s țentrobejnîm nasosom, Ghidromeh. i teoria uprug. Nr.11/1970.
- /84/ V.N.Goțulenco, N.N.Goțulenco, Neustoicivie rejimî țentrobejnovo nasosa pri otcaciv.anii jidcosti iz ogranicenoi emcosti, Energomașinostroenie Nr.7/1975.
- /85/ E.M.Greitzer, Surge and rotating stall in axial flow compressors, Trans.ASME : ries A Nr.2/1976.
- /86/ G.Gruot, Determination of characteristics of a variable velocity pump. Application to the study of transient regimes. Proc.III Conf.Fl.Mech. and Fl.Mach., 1969, Budapest.
- /87/ P.Guiton, Regimes transitoires dans les circuits de circulation des condenseurs de centrales thermiques, Pumps.in power stations, 1966, Braunschweig.
- /88/ F.Gyulai, Studiul zonelor secundare de cavitație în turbopompe, Teză de doctorat, IPTV Timișoara, 1972.
- /89/ R.Herbertz, Untersuchung des dynamischen Verhaltens von Föttinger-Getrieben, Diss. T.U.Hannover, 1975.
- /90/ G.Hutarev, R.Dziallas, Über Kreiselpumpen mit labiler Drosselkurve, V.D.I. Nr.35/1940.
- /91/ G.Hutarev, Waterhammer in a full cavitating pump installation, Pumps in power stations, 1966, Braunschweig.
- /92/ S.V.Iasașvili,..., Spectr coherentnosti mehaniceschih i ghidrodinamiceschih parametrov iadra potoca jidcosti țentrobejnovo nasosa, Bull. of Acad.Sci.of the Georgian SSR, Tom 77, Nr.2/1975.
- /93/ S.V.Iasașvili,..., Experimentalnoe isledovanie spectra coherentnosti mehaniceschih i ghidrodinamiceschih parametrov iadra potoca jidcosti țentrobejnovo nasosa, Bull.of Acad. Sci.of the Georgian SSSR, Tom.78 Nr. 2/1975.
- /94/ Ionel Ion, Instalații de pompare reglabile, ca.renn ca, 1976, București
- /95/ K.Jaekel, Kräfte auf beschleunigt bewegte Tragflügelprofile, Ingenieur Archiv Nr.9/1938.
- /96/ E.Jenny, Über instationäre Vorgänge in radial-verdichtern insbesondere in Aufladegruppen von Verbrennungsmotoren, Schweizerische Bauzeitung, Nr.45/1961.

- /97/ K.Kamiyo, Some experimental results of cavitating inducer instabilities, Caltech, Rept., 1976.
- /98/ K.Kamiyo, An experimental investigation of cavitating inducers instability. ASME Rept. 77-WA/FE-14, 1977.
- /99/ V.V.Kazachevici, Avtoolebania (pompa) v compresorah, Mashinostroenie, 1974, Moscva.
- /100/ J.M.Killen, J.F.Ripken, A water tunnel air content meter, Rep. No.70, St.Anthony Falls Hydraulic Laboratory, Minneapolis, 1964.
- /101/ J.H.Kim, A.J.Acosta, A note on the unsteady cavity flow in a tunnel, J.Fluids engineering, No.1/1974.
- /102/ J.H.Kim, A.J.Acosta, Unsteady flow in cavitating turbopumps, Trans.ASME series J Nr.4/1975.
- /103/ V.G.Kinelev, Influence of liquid oscillations in fuel line on head of pump operating in regimes without reverse flow, Soviet Aeronautics, No.3/1977.
- /104/ C.P.Kittredge, Hydraulic transients in centrifugal pump systems, Trans.ASME, Nr.6/1956.
- /105/ R.T.Kampp, J.W.Daily, F.G.Hammit, Cavitation, Mc Graw Hill, N.Y. 1970.
- /106/ K.S.Kolesnikov, V.G.Kinelev, Mathematical model of cavitation phenomena in heliocentrifugal pumps, Soviet Aeronautics, Nr.4/1973.
- /107/ G.I.Krivcenko, ..., Ghidromehaniceskie perehodnie protsesi v gidroenergheticeskih ustanovkah, Energhia, 1975, Moscova.
- /108/ G.S.Liao, ..., Analysis of feedwater pump suction pressure decay under instant turbine load rejection, J.of eng.for power, No.2/1972.
- /109/ G.S.Liao, Protection of boiler feed pump against transient suction pressure decay, J.of eng.for power, No.3/1974.
- /110/ G.S.Liao, Analysis of drain pumping system for nuclear power plants under transient turbine loads, Trans.ASME series A Nr.4/1975.
- /111/ G.S.Liao, Protection of drain pumps against transient cavitation, J.of eng. for power, No.3/1976.
- /112/ A.A.Lomachin, Tentrobejnié i propelernie nasosy, Mashiz, 1950, Moscova.
- /113/ A.A.Lomachin, Uslovia podobia pri isledovaniih protsessov cavitatii na modeliah gidravlicheskih sump, Mashiz, No.215, 1961.

- /114/ H.B. Matthias, Beitrag zur dynamischen Untersuchung axialer Wasserturbinen nach der Frequenzgangmethode, Miss.Univ. Stuttgart, 1971.
- /115/ Al. Măruță, Teoria sonărității și aplicațiile sale tehnice, Studii de hidraulică ISCH 1973, București.
- /116/ J. Mikielwicz, A method for correlating the characteristics of centrifugal pumps in two-phase flow, J. of fluids engineering, No.4/1978.
- /117/ H. Miyashiro, Waterhammer in parallel operation of pumps installed in series, Pumps in power stations, 1968, Braunschweig.
- /118/ I.I. Morozov, B.G. Degtiar, O cavitațiunii colebanich v sisteme s lopastnîm nasosom, Izv. Acad. Nauk S.S.R., Energetica i transport, Nr.6/1975.
- /119/ M.S. Natanson, ..., Experimental investigation of cavitation induced oscillations of helical inducers, Fluid mechanics soviet research, No.1/1974.
- /120/ M.S. Natanson, Kineticiescaia model cavitațiunii colebania v nasosah, Izv. Acad. S.S.S.R., Energetica i transport, Nr.6/1975.
- /121/ S.L. Ng, C. Brennen, A.J. Acosta, The dynamics of cavitating inducer pumps, Conf. on Two-phase flow and cavitation, 1976, Grenoble.
- /122/ S.L. Ng, Dynamic Response of cavitating turbomachinery, Ph.D. Thesis, Caltech, 1976.
- /123/ S.L. Ng, C. Brennen, Experiments on the dynamic behaviour of cavitating pumps. J. Fluids Engineering No.2/1978.
- /124/ H. Ohashi, Analytical and experimental study of dynamic characteristics of turbopumps. NASA TR D-4298, 1968.
- /125/ W. Oppelt, Tehnica reglării automate. Ed. Tehnică, 1966, București.
- /126/ B.V. Ovsianicov, B.I. Borovschi, Teoria i raschet agregatov pitania jidcostih rachetnîh dvigatelei, Maşinostroenie, 1971, Moscova.
- /127/ C. Penescu, ..., Identificarea experimentală a proceselor automatizate, Ed. Tehnică, 1971, București.
- /128/ C. Pfeleiderer, Die Kreiselpumpen, Springer, 1955, Berlin.
- /129/ R. Piltz, Untersuchung zur Stabilität von Arbeitspunkten selbstregelnd betriebener Kreiselarbeitsmaschinen, Ingenieur Archiv, Nr.2/1977.
- /130/ V.A. Pivovarov, Proectirovanie i raschet sistem regul rovania gidroturbin, Maşinostroenie, 1973, Leningrad.

- /131/ M.S.Plesset, A.Proseretti, Bubble dynamics and cavitation, Annual review of fluid mechanics, 1977.
- /132/ x x x, Polyphase flow in turbomachinery (ed.by C.Brennen, P.Cooper, P.W.Rundstadler, jr), Meeting ASME, San Francisco, 1978.
- /133/ O.Popa, Rețele de profile Carafoli, Disertație, IPTV Timișoara, 1960.
- /134/ O.Popa, The determination of a general relation between the aerodynamic properties of a single airfoil and those of the same airfoil arranged in an arbitrary cascade. Proc. of the fourth Conf.on Fluid Machinery, Budapest, 1972.
- /135/ O.Popa, The transfer of the kinetic energy in the motion of simple fluids, Proc.of the 5th Conf.on Fl.Mach., 1975, Budapest.
- /136/ O.Popa, Mecanica fluidelor și măsurii hidraulice, vol.I și II, Litografia IPTV, 1975, Timișoara.
- /137/ I.L.Popescu, Mișcări nepermanente în hidrodinamica plană, Ed. Did.și Ped., 1967, București.
- /138/ M.Popoviciu, Evoluția bulelor cavitaționale produse prin scînteii electrice, Teză doctorat, IPTV Timișoara, 1971.
- /139/ I.Preda, Contribuții la definirea și determinarea caracteristicilor cavitaționale la turbinile Kaplan, Teză de doctorat, IPTV Timișoara, 1972.
- /140/ x x x, Pumps in power stations, Proc.of Intern.Symp. Braunschweig, 1966, VDI, Düsseldorf.
- /141/ D.H.Mc Queen, On the dynamics of compressor surge, Journal Mech.Eng.Sci. Nr.5/1976.
- /142/ M.H.Radhi, Theoretische und experimentelle Untersuchung über den Kavitationseinsatz an schwingenden Tragflügelprofilen, Teză de doctorat, 1975, Berlin.
- /143/ G.Rich, Transients in hydraulic turbines, Dover, 1964, New York.
- /144/ U.S.Rohtagi, Pump model for two-phase transient flow, Polyphase flow in Turbomachinery, ASME, New York, 1978.
- /145/ P.H.Rothe, P.W.Rundstadler, jr., First-order pump surge behaviour, J.fluids engineering, No.4/1978.
- /146/ S.Rubin, Longitudinal instability of liquid rockets due to propulsion feedback (POGO), Journal Spacecraft, Nr.3/1966.
- /147/ S.Rubin, Pogo suppression on space shuttle, NASA CR-2210, 1971.
- /148/ L.E.Sack, H.B.Nottage, System oscillations associated with cavitating inducers, Trans.ASME series D Nr.4/1975.

- /149/ V.E.Saren, Obtecanie rešetchi tonchih crivolineinîh profilei nastajonarnîh potocom nesjimaemoi jidcosti, Izv.Acad. Nauc Mehanica jidcosti i gaza, No.1, 1966.
- /150/ W.R.Sears, Some aspects of non-stationary airfoil theory and its practical application, J.of.aeronautical sciences, No.1/1941.
- /151/ P.Sliosberg, Criteres de stabilité de marche des pompes d'alimentation de chaudières munies d'un clapet à by-pass automatique, Pumps in power stations, 1966, Braun schweig.
- /152/ W.W.Solodownikow, A.S.Uskow, Statistische analyse von regelstrecken, VEB Technik, 1963, Berlin.
- /153/ A.J.Stepanoff, Centrifugal and axial flow pumps, John Wiley & Sons, 1957, New York.
- /154/ A.J.Stepanoff, Pumps and blowers, Two-phase flow, John Wiley & Sons, 1965, New York.
- /155/ W.Stevans, ..., Experimental evaluation of a pump test facility with controlled perturbations of inlet flow, IMA TN D-6543, 1971.
- /156/ V.L.Streeter ed., Handbook of fluid dynamics, Mc Graw Hill, 1960, New York.
- /157/ V.L.Streeter, E.B.Wylie, Hydraulic transients, Mc Graw Hill, 1967, New York.
- /158/ V.L.Streeter, E.B.Wylie, Transient analysis of offshore loading systems, Trans.ASME series J ar.2/1975.
- /159/ W.A.Symington, Analytical studies of steady and nonsteady motions of a bubbly liquid, Ph. D.thesis, Caltech, 1978.
- /160/ K.K.Salnev, Cavitația la suprafețe cu asperități de profil triunghiular, Comunic.Conf.de mașini hidraulice, vol.II, Sept.1964, Timișoara.
- /161/ C.Thirriot, Transient movement resulting from pump stopping, Proc.of the III Conf.on El.Mech.and M.Mech., 1969, Budapest.
- /162/ G.O.Thomas, Determination of pump characteristics using computerised pump transient analysis, Proc. 1st Intern. Conf.on Press. Surges BHRA 1972, Canterbury.
- /163/ J.Trampe Broch, On the measurement of frequency response functions, Bruel et Kjaer, Technical Review No.4, 1975.
- /164/ R.D.Vaage, ..., Investigation of characteristics of fluid system instabilities, Martin Marietta Corp. Denver, Sept. MCR-71-278, 1971

- /165/ I.Voia, Cercetări asupra fenomenului de ambalare a turbinelor hidraulice axiale, Teză de doctorat, IPTV Timișoara, 1977.
- /166/ A.A.Voronov, Elementele teoriei reglării automate, ed. tehnică, București, 1957.
- /167/ R.B.Wade, Linearized theory of a partially cavitating cascade of flat plate hydrofoils, Appl.sci.res. 1967,
- /168/ D.P.Wang, T.Y.Wu, General formulation of a perturbation theory for unsteady cavity flows, Trans.ASME series D Nr.4/ 1965.
- /169/ x x x Waterhammer in pumped storage projects (ed. by W.L. Gibson and V.L.Streeter) Conf.ASME, 1965, New York.
- /170/ L.Wijnjarden, On the equations of motion for mixtures of liquid and gas bubbles, Journal of fluid mechanics, Vol.33/ 1968.
- /171/ Y.Yanaguchi, M.Tanaka Calculations of transient phenomena in turbines and pumps, Hitachi Review, Nr,13/1967.
- /172/ W.3.Young,..., Study of cavitating inducer instabilities, Pratt Whitney Aircraft, Rept. PR-5131, 1972.
- /173/ A.N.Zarea, Vlianie neustanovivșegosia rejima na skorosti vrasčenia rabočevo colesa țentrobejnovo nasosa, Gidromeliceschie mașini, Nr.11/1977.

C U P R I N S

	Pag.
PREFATA.....	3
NOTATII.....	4
1. INTRODUCERE	
1.1 Despre regimurile nestaționare în turbomașini.....	9
1.2 Funcționarea pompelor hidrodinamice în regimuri tranzitorii și nestaționare.....	11
1.3 Aspecte ale identificării pompelor centrifuge.....	13
2. MODELE DINAMICE ALE TURBOPOMPELOR	
2.1 Ecuația dinamică linearizată a turbopompelor.....	19
2.2 Modelul structural energetic al pompei centrifuge...	28
2.3 Funcțiile de transfer cavitaționale ale pompelor....	
2.3.1 Definierea mărimilor caracteristice.....	38
2.3.2 Modelul mișcării potențiale.....	49
2.3.3 Modelul spectrului de bule.....	69
3. CERCETARI EXPERIMENTALE DESPRE DINAMICA TURBOPOMPELOR	
3.1 Metode de încercare dinamică.....	94
3.2 Stațiunea LMHT.....	95
3.3 Stațiunea Caltech.....	100
4. REZULTATE EXPERIMENTALE	
4.1 Incercări dinamice energetice ale pompei centrifuge CRIS-50.....	112
4.2 Măsurători în regim dinamic cavitațional asupra pompei LPO/FT-7.....	126
5. EXTINDERI ALE PROBLEMELOR DE IDENTIFICARE A POMPELOR	
5.1 Analiza statistică folosită pentru stabilirea func- țiilor de transfer ale unei pompe.....	163
5.2 Stabilitatea și auto-oscilațiile pompelor.....	169
6. CONCLUZII.....	180
7. BIBLIOGRAFIE.....	183

Total 193 pagini